



UNIVERSIDAD NACIONAL
“PEDRO RUIZ GALLO”



Facultad de Ingeniería Mecánica y Eléctrica

EXAMEN DE SUFICIENCIA PROFESIONAL

Para Optar el Título Profesional de

INGENIERO MECÁNICO ELECTRICISTA

**“DISEÑO DE UN SISTEMA HIBRIDO EÓLICO SOLAR
PARA LA GENERACIÓN DE ENERGÍA ELÉCTRICA
PARA EL CASERÍO VIRGEN DEL CARMEN DISTRITO Y
PROVINCIA DE JAÉN DEPARTAMENTO DE
CAJAMARCA”**

Autor:

Bach. JUAN JACOBO RIVERA PONCE DE LEÓN

Asesor:

Ing. Robinson Tapia Asenjo

Lambayeque – Perú

2018



UNIVERSIDAD NACIONAL
“PEDRO RUIZ GALLO”



Facultad de Ingeniería Mecánica y Eléctrica

EXAMEN DE SUFICIENCIA PROFESIONAL

Para Optar el Título Profesional de

INGENIERO MECÁNICO ELECTRICISTA

“DISEÑO DE UN SISTEMA HIBRIDO EÓLICO SOLAR
PARA LA GENERACIÓN DE ENERGÍA ELÉCTRICA
PARA EL CASERÍO VIRGEN DEL CARMEN DISTRITO Y
PROVINCIA DE JAÉN DEPARTAMENTO DE
CAJAMARCA”

Autor:

Bach. JUAN JACOBO RIVERA PONCE DE LEÓN

Aprobado por el Jurado Examinador

PRESIDENTE: M.Sc. JUAN ANTONIO TUMIALAN HINOSTROZA

SECRETARIO: Dr. DANIEL CARRANZA MONTENEGRO

MIEMBRO: Dr. JORGE LUIS NOMBRETA TEMOCHE

ASESOR: Ing. ROBINSON TAPIA ASENJO

Lambayeque – Perú

2018



**UNIVERSIDAD NACIONAL
“PEDRO RUIZ GALLO”**

Facultad de Ingeniería Mecánica y Eléctrica



EXAMEN DE SUFICIENCIA PROFESIONAL

TITULO

“DISEÑO DE UN SISTEMA HIBRIDO EÓLICO SOLAR PARA LA GENERACIÓN DE ENERGÍA ELÉCTRICA PARA EL CASERÍO VIRGEN DEL CARMEN DISTRITO Y PROVINCIA DE JAÉN DEPARTAMENTO DE CAJAMARCA”

CONTENIDOS

CAPITULO I: PROBLEMA DE LA INVESTIGACIÓN.

CAPITULO II: MARCO TEÓRICO.

CAPITULO III: MARCO METODOLÓGICO.

CAPITULO IV: PROPUESTA DE LA INVESTIGACIÓN

CAPITULO V: ANÁLISIS E INTERPRETACIÓN DE LOS RESULTADOS.

CAPITULO VI: CONCLUSIONES.

AUTOR: Bach. JUAN JACOBO RIVERA PONCE DE LEÓN

M.Sc. JUAN A. TUMIALAN HINOSTROZA
PRESIDENTE

Dr. DANIEL CARRANZA MONTENEGRO
SECRETARIO

Dr. JORGE L. NOMBRETA TEMOCHE
MIEMBRO

Ing. ROBINSON TAPIA ASENJO
A SESOR

Lambayeque – Perú

2018

DEDICATORIA

A Dios, por darme la oportunidad de vivir y por estar conmigo en cada paso que doy, por fortalecer mi corazón e iluminar mi mente y por haber puesto en mi camino a aquellas personas que han sido mi soporte y compañía durante todo el periodo de estudio.

A mi esposa Nancy de Jesús Ortigas Delgado, a mi hija Guadalupe Soledad Rivera que es lo más valioso que Dios me ha dado.

A mis padres Ramón Rivera Rodrigo y María Soledad Ponce de León Malca por darme vida, que siempre creen en mí y porque siempre me apoyaron, gracias por darme una carrera para mi futuro, todo esto se lo debo a ustedes.

Bach: Juan Jacobo Rivera Ponce De León

AGRADECIMIENTO

A los Docentes de la Facultad de ingeniería Mecánica y Eléctrica-UNPRG, en especial a mi asesor en ing. Robinson Tapia Asenjo, por creer en mí, por sus consejos y los momentos divertidos que pasamos en las asesorías y dudas presentadas en la elaboración de este examen de suficiencia profesional.

A mis amigos y compañeros Ronald Avellaneda Montenegro y Américo Sánchez Coronel.

Bach: Juan Jacobo Rivera Ponce De León

RESUMEN

El objetivo general del presente examen de suficiencia profesional fue diseñar un sistema eólico solar-fotovoltaico para la generación de energía eléctrica del Caserío Virgen del Carmen en el distrito de Jaén, perteneciente al departamento Cajamarca, el tipo de investigación fue aplicada y el diseño de la investigación fue no experimental.

Del proseo de cálculo y recolección de datos se obtuvo: La energía promedia diaria requerida por el caserío Virgen del Carmen es de 18,258 kWh, con una máxima demanda de 6,286 kW. Según el SENAMHI se ha obtenido un valor de 4,75 kWh/m²/día y según el software SOLARIUS PLUS 6,15 kWh/m²/día. Para el dimensionamiento de ha considerado 4,75 kWh/m²/día. Con respecto de la velocidad del viento se ha obtenido los valores de la estación meteorológica automática Chota. Los datos se encuentran en el ANEXO 01. Se dimensiono el sistema eólico - solar el cual está compuesto por 01 aerogenerador ENAIR 70 PRO (debido a que las velocidades de viento son bajas y este aerogenerador tiene una velocidad de arranque de 2 m/s) , 20 paneles fotovoltaicos yingli solar de 250 Wp, 20 baterías de 260 Ah, 02 controladores de carga 150/60 y 01 inversor 48/10 000-230 V.

El Costo referencial para el sistema eólico- fotovoltaico es de S/. 326 541,33

Palabras clave: Viento, aerogenerador, radiación solar, panel fotovoltaico, controlador

ABSTRACT

The general objective of the present professional proficiency test was to design a solar-photovoltaic wind system for the generation of electricity from the Virgen del Carmen farm in the district of Jaen belonging to the Cajamarca department, the type of research was applied and the design of the research It was not experimental.

From the prosecution of calculation and data collection was obtained: The average daily energy required by the Virgen the Carmen hamlet is 18,258 kWh, with a maximum demand of 6,286 kW. According to SENAMHI, a value of 4,75 kWh / m² / day was obtained and according to the SOLARIUS PLUS software 6,15 kWh / m² / day. For the dimensioning of has considered 4,75 kWh / m² / day. With respect to the wind speed, the values of the Chota automatic weather station have been obtained. The data can be found in ANNEX 01. The wind-solar system, which is composed of 01 ENAIR 70 PRO wind turbine (due to low wind speeds and this wind turbine has a starting speed of 2 m / s), was dimensioned, 20 yingli solar panels of 250 Wp, 20 batteries of 260 Ah, 02 150/60 load controllers and 01 inverter 48 / 10 000-230 V.

The referential cost for the wind-photovoltaic system is S/.326 541,33

Keywords: Wind, wind turbine, solar radiation, photovoltaic panel, controller.

ÍNDICE

| | |
|--|------|
| DEDICATORIA | IV |
| AGRADECIMIENTO | V |
| RESUMEN | VI |
| ABSTRACT..... | VII |
| ÍNDICE..... | VIII |
| ÍNDICE DE TABLAS | X |
| ÍNDICE DE FIGURAS | XI |
| INTRODUCCIÓN..... | 1 |
| CAPITULO I: PROBLEMA DE INVESTIGACIÓN | 2 |
| 1.1. Realidad Problemática | 2 |
| 1.2. Formulación del Problema | 2 |
| 1.3. Delimitación de la Investigación | 3 |
| 1.3.1. Delimitación espacial | 3 |
| 1.3.2. Delimitación temporal..... | 7 |
| 1.4. Justificación e Importancia de la Investigación..... | 7 |
| 1.5. Limitaciones de la Investigación..... | 8 |
| 1.6. Objetivos | 9 |
| 1.6.1. Objetivo General | 9 |
| 1.6.2. Objetivo Específicos | 9 |
| CAPITULO II: MARCO TEÓRICO | 10 |
| 2.1. Antecedentes de Estudios..... | 10 |
| 2.2. Desarrollo de la temática correspondiente al tema. | 16 |
| 2.2.1. Energía Eólica. | 16 |
| 2.2.2. Energía Solar..... | 25 |
| 2.2.3. Sistemas Híbridos | 32 |
| 2.2.4. Baterías Solar y Eólicas. | 34 |
| 2.3. Definición conceptual de la terminología empleada. | 40 |
| CAPITULO III: MARCO METODOLÓGICO | 46 |
| 3.1. Tipo y diseño de investigación | 46 |
| 3.2. Población y muestra..... | 47 |
| 3.3. Hipótesis..... | 47 |
| 3.4. Variables - Operacionalización..... | 47 |

| | |
|--|----|
| 3.5. Métodos y Técnicas de investigación..... | 49 |
| 3.6. Descripción de los instrumentos utilizados..... | 50 |
| 3.7. Análisis Estadístico e interpretación de los datos..... | 50 |
| CAPITULO IV: PROPUESTA DE INVESTIGACIÓN..... | 51 |
| 4.1. Propuesta de la investigación | 51 |
| 4.1.1. Equipamiento de la propuesta | 51 |
| CAPITULO V: ANÁLISIS E INTERPRETACIÓN DE LOS RESULTADOS..... | 53 |
| 5.1. Población actual y proyección para el caserío Virgen del Carmen en Jaén. | 53 |
| 5.1.1. Alumbrado de vías publicas | 55 |
| 5.2. Calculo de la energía promedio diaria | 57 |
| 5.3. Evaluación de la energía solar disponible | 58 |
| 5.4. Evaluación de la energía eólica. | 61 |
| 5.5. Sistema EÓLICO SOLAR..... | 66 |
| 5.5.1. Sistema eólico | 66 |
| 5.5.2. Generador fotovoltaico | 67 |
| 5.6. Dimensionamiento del sistema de distribución en 220 V..... | 75 |
| 5.6.1. Cálculos eléctricos | 76 |
| 5.6.2. Cálculos mecánicos | 78 |
| 5.6.3. Presupuesto referencial del sistema eólico - fotovoltaico..... | 80 |
| CAPITULO VI: CONCLUSIONES..... | 86 |
| 6.1. Conclusiones..... | 86 |
| BIBLIOGRAFÍA..... | 87 |
| ANEXOS | 90 |

ÍNDICE DE TABLAS

| | |
|---|----|
| Tabla N° 1: Operacionalización de variables | 48 |
| Tabla N° 2: Tecnicas e instrumentos | 50 |
| Tabla N° 3: Tasa de crecimiento poblacional | 53 |
| Tabla N° 4: Tasa de crecimiento para el departamento de Cajamarca..... | 54 |
| Tabla N° 5: Energía promedia diaria en el Caserío Virgen del Carmen- Jaén..... | 57 |
| Tabla N° 6: Radiación solar en el departamento de Cajamarca con el software Solarius Plus | 60 |
| Tabla N° 7: valores de para algunos tipos de terreno | 62 |
| Tabla N° 8: Distribución de frecuencias y distribución acumulada de las velocidades de viento..... | 62 |
| Tabla N° 9: Transformación de coordenadas | 64 |
| Tabla N° 10: Probabilidad de horas de velocidad del viento en el periodo de tiempo de los datos | 65 |
| Tabla N° 11: Curva de potencia del aerogenerador E70 PRO de 5kW..... | 67 |
| Tabla N° 12: Energía suministrada por el sistema eólico fotovoltaico | 68 |
| Tabla N° 13: Tabla de caída de tensión máxima | 72 |
| Tabla N° 14: Conductores eléctricos en los diferentes tramos | 73 |
| Tabla N° 15: Características eléctricas de los conductores NYY | 74 |
| Tabla N° 16: Caída de Tensión..... | 77 |
| Tabla N° 17: Características de los cables autoportantes..... | 78 |
| Tabla N° 18: Características De Los Postes De Concreto Armado | 79 |
| Tabla N° 19: valor referencial para el suministro de materiales para el sistema eólico-fotovoltaico..... | 80 |
| Tabla N° 20: costo directo del sistema eólico solar | 81 |
| Tabla N° 21: presupuesto de La red secundaria- suministro | 82 |
| Tabla N° 22: Montaje de la red secundaria..... | 83 |
| Tabla N° 23: Costo directo de la red de distribución secundaria..... | 84 |
| Tabla N° 24: Costo total del sistema eólico solar..... | 85 |

ÍNDICE DE FIGURAS

| | |
|---|----|
| Figura N° 1: Ubicación de Virgen del Carmen en Jaén | 3 |
| Figura N° 2: Temperatura en el distrito de Jaén | 4 |
| Figura N° 3: Precipitación en el distrito de Jaén | 5 |
| Figura N° 4: Velocidad promedio del viento en Jaén | 7 |
| Figura N° 5: Mapa eólico del Perú..... | 19 |
| Figura N° 6: Sistema de generación eléctrica de energía eólica..... | 20 |
| Figura N° 7: Partes de un aerogenerador | 24 |
| Figura N° 8: Mapa del Atlas Solar del Perú | 27 |
| Figura N° 9: Panel Solar..... | 29 |
| Figura N° 10: Regulador de Carga..... | 30 |
| Figura N° 11: Inversor..... | 31 |
| Figura N° 12: Soporte para paneles..... | 32 |
| Figura N° 13: Sistema Híbrido Eólico - Solar..... | 33 |
| Figura N° 14: Tipos de baterías | 38 |
| Figura N° 15: Radiación solar en el departamento de Cajamarca | 59 |
| Figura N° 16: Curva de Reajuste | 64 |
| Figura N° 17: Distribución de WEIBULL | 66 |
| Figura N° 18: Aerogenerador E70 PRO | 66 |
| Figura N° 19: Inversor MUST Solar de 10 kW..... | 71 |
| Figura N° 20: sistema eólico - solar..... | 75 |

INTRODUCCIÓN

El presente examen suficiencia profesional titulado: “**DISEÑO DE UN SISTEMA HIBRIDO EÓLICO SOLAR PARA LA GENERACIÓN DE ENERGÍA ELÉCTRICA PARA EL CASERÍO VIRGEN DEL CARMEN DISTRITO Y PROVINCIA DE JAÉN DEPARTAMENTO DE CAJAMARCA**” es una propuesta que permite electrificar el caserío Virgen del Carmen debido a la problemática que presenta, y a las consecuencias que trae consigo la ausencia de energía eléctrica.

En el Capítulo I, se presenta la realidad problemática existente en el caserío Virgen del Carmen en cuanto a la carencia de energía eléctrica utilizando el método de la observación. Luego se enuncia la formulación del Problema, para luego justificar el trabajo de investigación realizado y presentar los Objetivos de la Investigación.

En el Capítulo II, se presenta el Marco Teórico, donde se muestran los antecedentes y la teoría relacionada con el tema de investigación.

En el Capítulo III, se presenta el Marco Teórico, en el cual se describe el diseño de la Investigación es decir la forma como se van a obtener los datos y procesarlos, describiendo las Variables y su operacionalización, así como la población, además de las técnicas e instrumentos de recolección de datos utilizados en la investigación, así como los Métodos de Análisis de Datos.

En el Capítulo IV, se presenta los componentes mínimos que se usarán en el sistema híbrido Eólico – Solar.

En el Capítulo V, se presenta los resultados obtenidos en base a los objetivos planteados.

En el Capítulo VI, se presenta las Conclusiones.

CAPITULO I: PROBLEMA DE INVESTIGACIÓN

1.1. Realidad Problemática

El caserío Virgen del Carmen se encuentra ubicado en el distrito y provincia de Jaén, departamento de Cajamarca. Cuenta con 25 viviendas, 01 local comunal, 01 iglesia católica y 01 centro de educación inicial.

La población no cuenta con energía eléctrica, han utilizado como fuente de iluminación las velas, mecheros, y usos esporádicos de pequeños grupos electrógenos en algunas viviendas.

El estado peruano ha decidido impulsar decididamente el uso y aplicación de las energías renovables: Eólica, biomasa, solar, geotérmica, hidráulica y mareomotriz (Según el Artículo 3° de DLEG-1002-2008) que jugarán un rol central en el futuro bienestar de nuestra sociedad.

Con la finalidad de reducir el consumo de electricidad proveniente de energías convencionales, se propone utilizar energías no convencionales como la energía eólica y solar fotovoltaica para generar energía eléctrica y lograr que los habitantes del caserío Virgen del Carmen tengan el suministro eléctrico y mejorar su calidad de vida.

1.2. Formulación del Problema

¿Aprovechando la energía eólica y solar será posible diseñar un sistema de generación de energía eléctrica para el caserío Virgen Del Carmen, Distrito de Jaén, Provincia Jaén, Departamento de Cajamarca?

1.3. Delimitación de la Investigación

1.3.1. Delimitación espacial

El Distrito de Jaén es uno de los doce distritos de la Provincia de Jaén en el Departamento de Cajamarca, bajo la administración del Gobierno regional de Cajamarca, en el Perú. (Ver Figura N° 1)



Figura N° 1: Ubicación de Virgen del Carmen en Jaén¹

¹ http://www.perutoptours.com/index06ja_mapa_jaen.html

Temperatura²

La temporada calurosa dura 5,8 meses, del 14 de septiembre al 6 de marzo, y la temperatura máxima promedio diaria es más de 31 °C. El día más caluroso del año es el 13 de enero, con una temperatura máxima promedio de 32 °C y una temperatura mínima promedio de 19 °C.

La temporada fresca dura 1,9 meses, del 1 de junio al 28 de julio, y la temperatura máxima promedio diaria es menos de 29 °C. El día más frío del año es el 14 de julio, con una temperatura mínima promedio de 17 °C y máxima promedio de 29 °C.

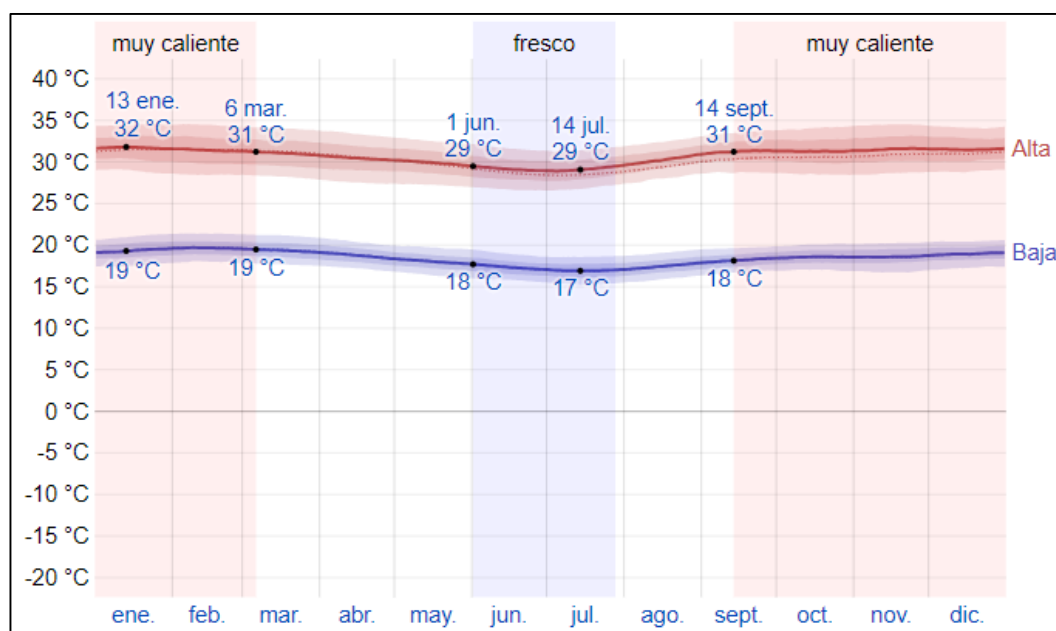


Figura N° 2: Temperatura en el distrito de Jaén³

² <https://es.weatherspark.com/y/19288/Clima-promedio-en-Jayanca-Per%C3%BA-durante-todo-el-a%C3%B1o>

³ <https://es.weatherspark.com/y/19992/Clima-promedio-en-Ja%C3%A9n-Per%C3%BA-durante-todo-el-a%C3%B1o>

Lluvia⁴

Para mostrar la variación durante un mes y no solamente los totales mensuales, mostramos la precipitación de lluvia acumulada durante un período móvil de 31 días centrado alrededor de cada día del año. Jaén tiene una variación considerable de lluvia mensual por estación.

La temporada de lluvia dura 7,9 meses, del 23 de septiembre al 20 de mayo, con un intervalo móvil de 31 días de lluvia de por lo menos 13 milímetros. La mayoría de la lluvia cae durante los 31 días centrados alrededor del 8 de marzo, con una acumulación total promedio de 56 milímetros.

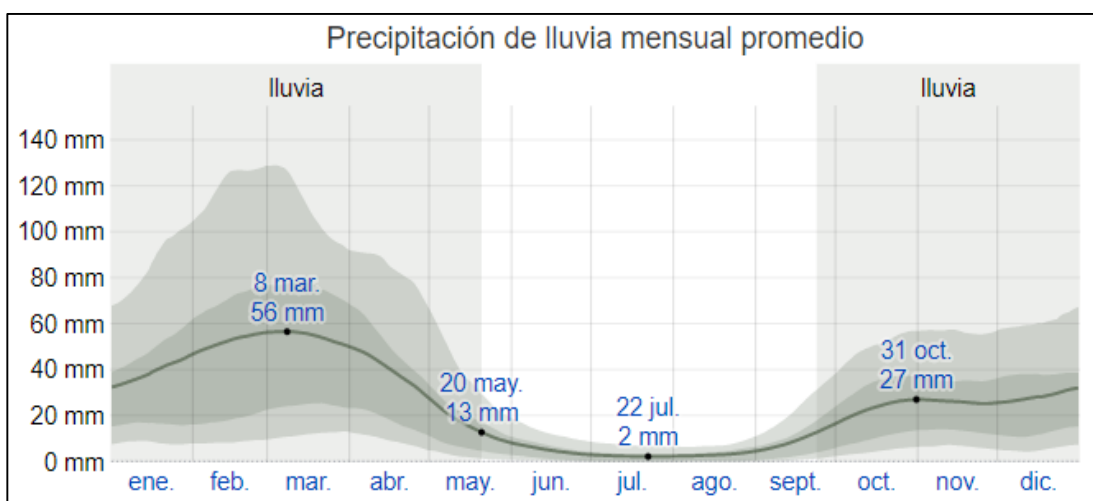


Figura N° 3: Precipitación en el distrito de Jaén⁵

⁴ <https://es.weatherspark.com/y/19288/Clima-promedio-en-Jayanca-Per%C3%BA-durante-todo-el-a%C3%B1o>

⁵ <https://es.weatherspark.com/y/19992/Clima-promedio-en-Ja%C3%A9n-Per%C3%BA-durante-todo-el-a%C3%B1o>

Viento⁶

Esta sección trata sobre el vector de viento promedio por hora del área ancha (velocidad y dirección) a 10 metros sobre el suelo. El viento de cierta ubicación depende en gran medida de la topografía local y de otros factores; y la velocidad instantánea y dirección del viento varían más ampliamente que los promedios por hora.

La velocidad promedio del viento por hora en Jaén tiene variaciones estacionales considerables en el transcurso del año

La parte más ventosa del año dura 3,8 meses, del 4 de junio al 29 de septiembre, con velocidades promedio del viento de más de 10,9 kilómetros por hora. El día más ventoso del año es el 1 de agosto, con una velocidad promedio del viento de 13,5 kilómetros por hora.

El tiempo más calmado del año dura 8,2 meses, del 29 de septiembre al 4 de junio. El día más calmado del año es el 3 de diciembre, con una velocidad promedio del viento de 8,3 kilómetros por hora.

⁶ <https://es.weatherspark.com/y/19288/Clima-promedio-en-Jayanca-Per%C3%BA-durante-todo-el-a%C3%B1o>

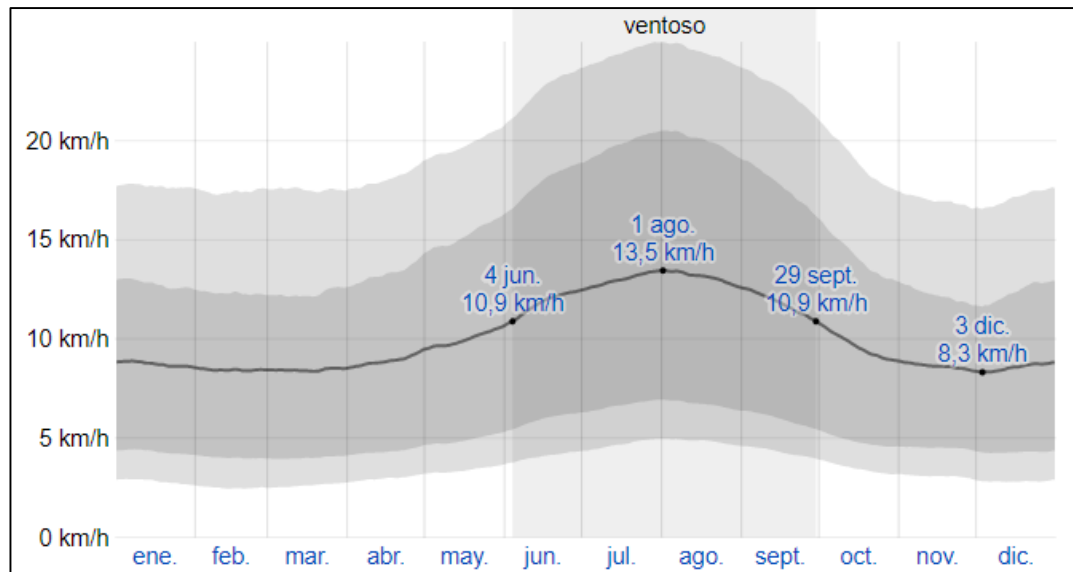


Figura N° 4: Velocidad promedio del viento en Jaén⁷

1.3.2. Delimitación temporal

Este examen de suficiencia tuvo una duración de 05 meses, en el que tuvieron participación activa los pobladores del caserío Virgen del Carmen en el distrito de Jaén.

1.4. Justificación e Importancia de la Investigación

Esta tesis es de mucha importancia pues con el diseño de un Sistema Híbrido eólico solar brinda la posibilidad a los habitantes de utilizar energía eléctrica proveniente de energías alternativas.

La ventaja de diseñar un sistema híbrido eólico solar es que nos permite garantizar la continuidad del servicio eléctrico, ya que posee dos fuentes de energías renovables.

⁷ <https://es.weatherspark.com/y/19288/Clima-promedio-en-Jayanca-Per%C3%BA-durante-todo-el-a%C3%B1o>

Justificación Científica.

Este tipo de investigación nos permite fomentar el uso de estas energías renovables como nuevas fuentes de estudio científico.

Justificación Ambiental

Con la implementación del sistema híbrido eólico solar se reducirá el uso de las energías convencionales y como consecuencia se reducirá el impacto ambiental negativo.

Justificación Social

Con el diseño del Sistema híbrido eólico solar posibilitará beneficios provechosos debido al aumento de la calidad de vida de los habitantes, solucionando el problema del servicio de energía eléctrica en localidades rurales inaccesibles. Dando lugar al inicio de expectativas de progreso y desarrollo para la comunidad, brindándoles así un mejor futuro para sus familias.

1.5. Limitaciones de la Investigación

El dato de radiación solar para el estudio se ha limitado a dos fuentes el atlas solar del SENAMHI del 2003 y el software SOLARIUS PLUS, con respecto de la velocidad del viento se han obtenido datos de la estación meteorológica automática de SENAMHI en Chota.

1.6. Objetivos

1.6.1. Objetivo General

Diseñar un sistema eólico solar-fotovoltaico para la generación de energía eléctrica del Caserío Virgen del Carmen en el distrito de Jaén perteneciente al departamento Cajamarca

1.6.2. Objetivo Específicos

- 1) Determinar demanda de energía eléctrica requerida por las unidades de vivienda y cargas de uso común en el caserío Virgen del Carmen.
- 2) Determinar la radiación solar y la velocidad del viento en el caserío Virgen del Carmen.
- 3) Realizar los cálculos justificativos para determinar las especificaciones técnicas de los equipos que logren suministrar energía eléctrica a las viviendas del caserío Virgen del Carmen.
- 4) Determinar el costo referencial del sistema eólico solar.

CAPITULO II: MARCO TEÓRICO

2.1. Antecedentes de Estudios

Contexto Internacional

Según **Coronel Villavicencio** (2017) en su tesis titulada “ESTUDIO DE SISTEMAS HÍBRIDOS CON SEGUIMIENTO SOLAR PARA LA COMUNIDAD DE YUWINTS EN EL ORIENTE ECUATORIANO” El presente trabajo realiza el estudio de un sistema híbrido con seguimiento solar para la comunidad de Yuwints en el oriente ecuatoriano, los parámetros variables del estudio son: el recurso solar, la demanda energética horaria de las viviendas de la comunidad y el dimensionamiento adecuado de los equipos de la instalación híbrida con seguimiento solar. La propuesta plantea generar energía eléctrica mediante un sistema de seguimiento solar que permita cubrir con las necesidades energéticas de las viviendas de la comunidad, constituyéndose como la única fuente de generación de energía eléctrica. El documento expone una revisión literaria de los principales componentes de las instalaciones fotovoltaicas aisladas y conectadas a la red, también se revisan los diferentes sistemas de seguimiento solar como los beneficios en la captación solar que prestan los diversos sistemas de seguimiento solar, un eje, dos ejes, en comparación con las instalaciones de paneles solares fijos.

Para el desarrollo se ha tomado en cuenta la demanda energética de las viviendas en base a una encuesta in-situ, se realiza un programa de optimización en el software de MATLAB con la finalidad de seleccionar

grupos de viviendas hasta un determinado límite de energía y poder seleccionar el lugar de emplazamiento del sistema fotovoltaico. Con los datos de radiación y latitud, se realiza el análisis de la captación anual media de energía de los sistemas de seguimiento en comparación con una instalación fija en el software CENSOL 5.0 con el fin de analizar el sistema fotovoltaico con seguimiento más adecuado para la comunidad de estudio.

Consecuente a la elección del sistema de seguimiento, se realiza el dimensionamiento de los equipos del sistema fotovoltaico, el cálculo de la caída de tensión de cada sistema hacia las viviendas. Se realiza también un análisis comparativo en el software Homer Energy del sistema de seguimiento seleccionado con una instalación fija con los datos de la comunidad, se exhibe los resultados obtenidos de las simulaciones realizadas, y se presenta finalmente las conclusiones y recomendaciones del estudio (CORONEL VILLAVICENCIO 2017).

Según **GOMEZ ARBOLEDA Y MORA MADRIGAL (2009)** en su tesis titulada “SISTEMAS HÍBRIDOS EÓLICO-SOLAR Y EÓLICO-DIESEL (ES/ED)”, nos expresa que las energías renovables o limpias, constituyen un grupo de fuentes con gran potencial de desarrollo, por su tecnología, bajo impacto ambiental y por su tendencia a ser viables económicamente. Otro factor importante, es que el uso de estas tecnologías satisface las necesidades energéticas de zonas aisladas de la red. En muchos casos la producción en dichas zonas resulta costosa, por lo cual, combinar estrategias de generación -Sistemas Híbridos- deriva en mejoras técnicas y económicas.

El presente trabajo de grado tiene como finalidad el estudio de los sistemas híbridos Eólico-Diésel (E-D) y Eólico-Solar (E-S). Se parte de un completo análisis bibliográfico, posteriormente se describe las tecnologías mencionadas de manera independiente, finalmente se analiza el comportamiento de los sistemas agregados como un todo y se implementa a modo de ejemplo una simulación en EMTDC-PSCAD.

En aras de complementar el estudio, se presenta la información encontrada en relación a la situación actual a nivel nacional y mundial, de la aplicación y desarrollo de los sistemas trabajados y su respectivo impacto en el sector social e industrial. Además, se describe la situación energética actual de las Zonas No Interconectadas (ZNI) en Colombia y los respectivos recursos disponibles en estas.

Es importante manifestar que en Colombia, no se posee una regulación clara para la Generación Eólica y valdría la pena apoyar éstas iniciativas, así como los sistemas híbridos, mediante el reconocimiento de reducciones de Gases de Efecto Invernadero – GEI y/o facilitar y apoyar los mismos, como Mecanismos de Desarrollo Limpio- MDL, ante entidades mundiales y países que compran los bonos correspondientes. Para los sistemas híbridos, objeto de la tesis, es conveniente hacer énfasis en realizar gestiones ante las autoridades energéticas y ambientales, para facilitar su financiación y ejecución, mediante el FAZNI y el FAER (GÓMEZ ARBOLEDA y MORA MADRIGAL 2009).

Contexto Nacional

Así mismo **DÍAZ GALINO (2010)** en su tesis titulada: “ANALISIS ENERGETICO DE UN SISTEMA HIBRIDO EOLICO-FOTOVOLTAICO EN EL SECTOR TIPICO IV UTILIZANDO EL METODO DE SERIES SINTETICAS” nos expresa, que El presente trabajo que presento trata sobre la generación de energía eléctrica a partir de dos energía que pertenecen a las energías renovables, ambos tienen su origen en la radiación solar, siendo la energía eólica de una manera indirecta. El Sistema Hibrido Eólico-Fotovoltaico (SHEFV) es 100% renovable y limpio, por la que contribuye en la lucha contra la contaminación ambiental, el cambio climatológico, etc.

La presente tesis desarrollada en cuatro capítulos, se ha orientado al desarrollo de los procedimientos de aplicación del “Análisis Energético de un Sistema Híbrido Eólico-Fotovoltaico en el sector típico IV utilizando el método de series sintéticas”, el primer capítulo comprende el sustento teórico de los sistemas energéticos en general, el segundo capítulo trata sobre los métodos de dimensionamiento de un Sistema Híbrido Eólico - Fotovoltaico (SHEFV) en estos casos los sistemas híbridos ganan fiabilidad respecto a los sistemas con una sola fuente de energía, sin necesidad de sobredimensionamiento de los convertidores o los acumuladores.

El tercer capítulo se centra en el dimensionamiento de un sistema mixto eólico-fotovoltaico para una vivienda rural en la que se ha introducido aspectos relacionados al medio ambiente que inciden directamente en la estimación de la demanda energética que se desea cubrir.

Finalmente en el cuarto capítulo, se realiza la factibilidad económica de la instalación de un aerogenerador, los costos de inversión y costos de operación, cabe indicar que el procedimiento de aplicación de estos parámetros se caracteriza por apoyarse en la evaluación económica y el análisis de sensibilidad (DIAZ GALINOS 2010).

Es así como **HUALPA HUAMANI (2006)** en su tesis titulada “ESTUDIO DE FACTIBILIDAD DE SISTEMAS HÍBRIDOS EÓLICO–SOLAR EN EL DEPARTAMENTO DE MOQUEGUA” Donde nos dice que el uso de energías renovables en cualquier lugar de nuestro país requiere tener información actualizada sobre las características y operación de las alternativas de equipos que se pueden instalar. También es muy importante el conocer si existe o no recurso disponible en el lugar donde se planea realizar la instalación

Actualmente en nuestro país sólo existen datos confiables respecto del recurso solar, tal vez este hecho ha influido en que la energía solar sea la que más aceptación tenga en nuestro medio, sin embargo existe también energía del viento que puede y debe ser aprovechada.

En este trabajo se realiza un estudio de las características de salida de energía que tendría un sistema híbrido (solar–eólico) en la localidad de Ilo. Se escoge este lugar debido a que se cuenta con datos precisos de viento (velocidad y dirección) proporcionados por la Municipalidad Provincial de Ilo, asimismo se tienen disponibles los datos de radiación

solar y con ello es posible realizar un estudio preciso sobre la salida de energía del sistema.

Para lograr esto se desarrolla en los primeros capítulos la metodología que permite hacer el tratamiento estadístico de los datos con que se cuenta. Teniendo como base un ejemplo hipotético, pero bastante realista, de consumo de energía en una localidad rural se establecen la demanda de energía que se requiere para satisfacer necesidades básicas de luz y agua.

Finalmente y estableciendo a partir de las alternativas que ofrece el mercado, la configuración del sistema solar–eólico, se puede conocer la energía que es capaz de suministrar el sistema y hacer la comparación con la alternativa de grupo electrógeno la cual es una de las más utilizadas en nuestro país para suministrar energía en situaciones de aislamiento (HUALPA HUAMANÍ 2006).

Contexto Local

Según **ESCOBEDO LEON (2018)** en su tesis titulada “IMPLEMENTACIÓN DE UN SISTEMA FOTOVOLTAICO PARA UN LABORATORIO DE CÓMPUTO EN EL COLEGIO NACIONAL “COLOSO Y EMBLEMÁTICO JAÉN DE BRACAMOROS – JAÉN - CAJAMARCA” Nos dice que la presente tesis tuvo como objetivo general implementar un sistema fotovoltaico para un Laboratorio de Cómputo en el Colegio Nacional “Coloso y Emblemático Jaén de Bracamoros – Jaén – Cajamarca. Con la finalidad de promover el uso de las energías no convencionales (energía solar) disminuir el impacto

ambiental negativo producido por las energías convencionales. El tipo de investigación fue aplicada, luego de realizar la toma de datos y los cálculos se obtuvo lo siguiente: La energía eléctrica promedio diaria necesaria para el laboratorio de cómputo del Colegio es de: 8 986,48 Wh/día. La máxima demanda coincide con la potencia instalada y tiene un valor de: 1 711,71 W. Se determinó la radiación solar considerando 03 fuentes de radiación solar: El atlas de radiación solar del Perú del cual se obtuvo un valor promedio de radio solar de: 4,75 kWh/m²/día. Del software Meteonorm se obtuvo un valor de 5,50 kWh/m²/día. Del software Solarius Plus se obtuvo un valor de 6,15 kWh/m²/día. Se consideró el menor de los tres datos es decir 4,75 kWh/m²/día. el sistema fotovoltaico estará conformado por 24 paneles fotovoltaicos de la marca SIMAX de 150 Wp de potencia pico cada uno, 12 baterías RITAR de 200 A.h, 01 regulador de carga Blue Solar de 150/70, 01 inversor de 2 500 W. La potencia de captación del generador fotovoltaico es de 3,6 kWp. Finalmente se elaboró el presupuesto del sistema fotovoltaico requiriendo una inversión total de S/. 63 747,63. En el análisis Viabilidad del proyecto considerando el apoyo de la UGEL CAJAMARCA, se obtuvo un VAN de S/. 2 058,81 a una tasa del 15 % para un horizonte de 20 años con una TIR de 21%.

2.2. Desarrollo de la temática correspondiente al tema.

2.2.1. Energía Eólica.

La energía eólica es la energía obtenida a partir del viento, es decir, la energía cinética generada por efecto de las turbinas de aire, y que

es convertida en otras formas útiles de energía para las actividades humanas. El término «eólico» proviene del latín aeolicus, es decir «perteneciente o relativo a Eolo», dios de los vientos en la mitología griega⁸.

2.2.1.1. El viento

Una manifestación de las permanentes diferencias de presiones atmosféricas, que existen en nuestro planeta, es el movimiento del aire que no puede permanecer en reposo y se desplaza prácticamente sin cesar. Las corrientes constituyen los vientos.

Los vientos se definen por su dirección, sentido e intensidad (velocidad) por lo que se le considera físicamente como un vector, que puede expresarse con esas tres componentes, aunque a veces puede existir una componente vertical, por lo que el vector es tridimensional (CHAVEZ SOTO y MEDINA SANCHEZ 2014)

2.2.1.2. Potencial Eólico

Potencial Eólico en el Mundo

El potencial eólico en el mundo es de 95.000 gigavatios (95 teravatios) y la demanda de energía global es de 100.000 TW/h, lo que sugiere que la energía del viento sería suficiente para cubrir las necesidades del planeta, según la Asociación

⁸ https://es.wikipedia.org/wiki/Energ%C3%ADa_e%C3%B3lica

Eólica Mundial (WWEA, según sus siglas en inglés). En junio de 2014, había 337 GW de eólica instalada en el mundo.

El comité técnico de esta asociación ha publicado el primer informe mundial de valoración de recurso eólico, tras analizar la información procedente de las diferentes áreas. “En términos de coste, la eólica puede ganar hoy a la energía fósil y nuclear. El principal reto es cambiar las regulaciones en todo el mundo para que esta abundancia de viento pueda ser usada, para el beneficio del desarrollo humano, del clima y del medioambiente en general”, según Stefan Gsänger, secretario general de la WWEA⁹.

Potencial Eólico en el Perú¹⁰.

Perú tiene un potencial de generación eólica aprovechable de 22GW, según el Atlas Eólico del Perú, publicado en el marco del proyecto gubernamental de electrificación rural Foner. Si bien el potencial de generación eólica asciende a 77GW, la cifra disminuye si se excluyen las áreas situadas a más de 3.000m sobre el nivel del mar, con pendientes de más de 20%, en centros poblados, zonas protegidas o cerca de ríos, cañones o lagos.

⁹ <https://www.somoseolicos.com/2014/noticias/la-eolica-tiene-un-potencial-de-95-teravatios-en-el-mundo-suficientes-para-cubrir-la-demanda-energetica-global-segun-wwea/>

¹⁰ <http://www.sectorelectricidad.com/404/peru-el-potencial-eolico-supera-los-60-000mw/>

De las 25 regiones del país, 9 fueron identificadas por tener potencial eólico: Ica (9,14GW), Piura (7,55GW), Cajamarca (3,45GW), Arequipa (1,16GW), Lambayeque (564MW), La Libertad (282MW), Lima (156MW), Ancash (138MW) y Amazonas (6MW).

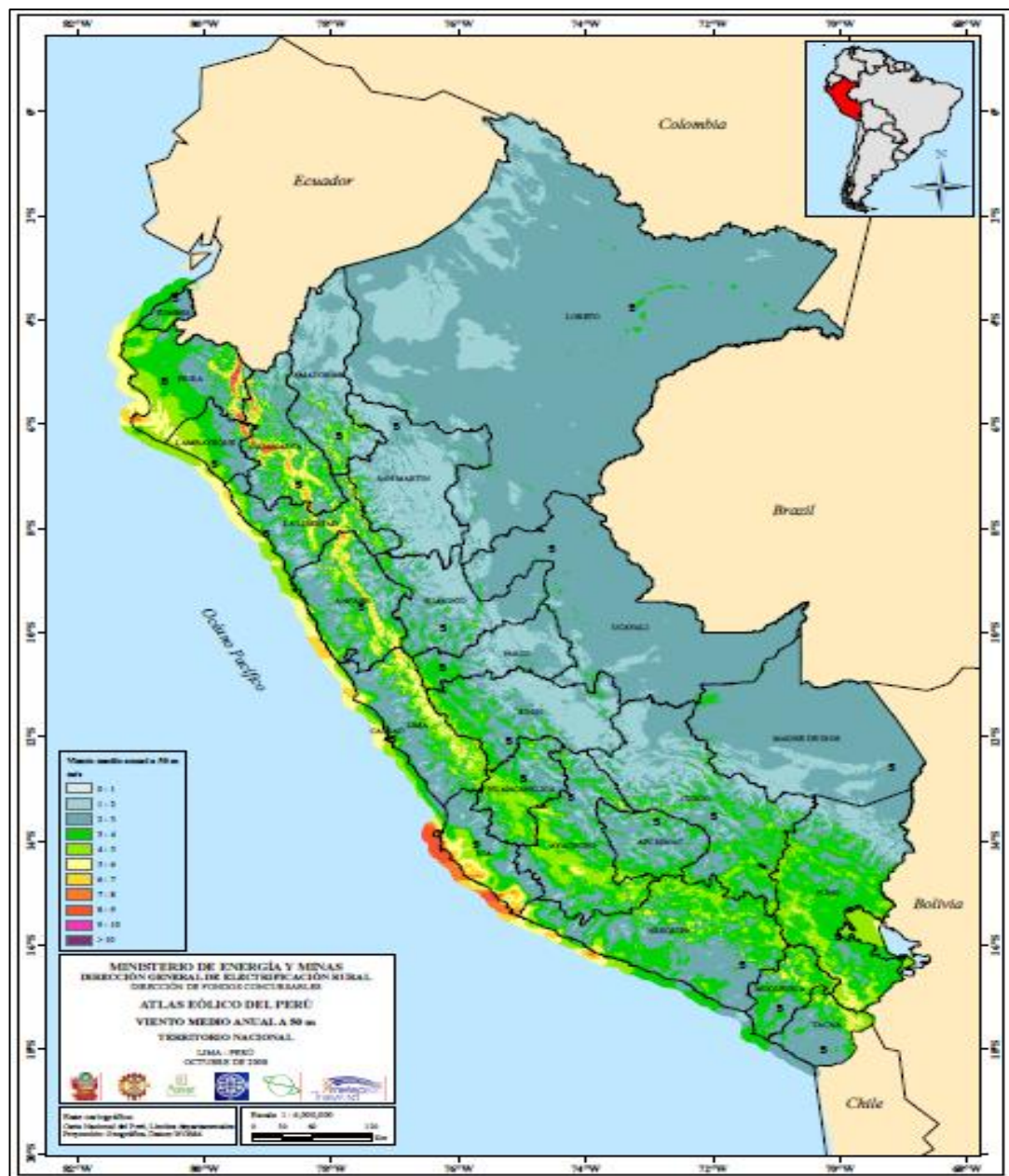


Figura N° 5: Mapa eólico del Perú¹¹

¹¹ http://www.minem.gob.pe/_publicacion.php?idSector=6&idPublicacion=537

2.2.1.1. Sistema de Generación Eólico

Un sistema eólico es un conjunto de máquinas eólicas (aerogeneradores) accionadas por el viento que son capaces de suministrar electricidad a gran escala a viviendas, granjas o pequeños núcleos rurales. Las máquinas eólicas destinadas a la producción de energía eléctrica se diferencian en función de las potencias nominales y son los siguientes (DIAZ GALINOS 2010):

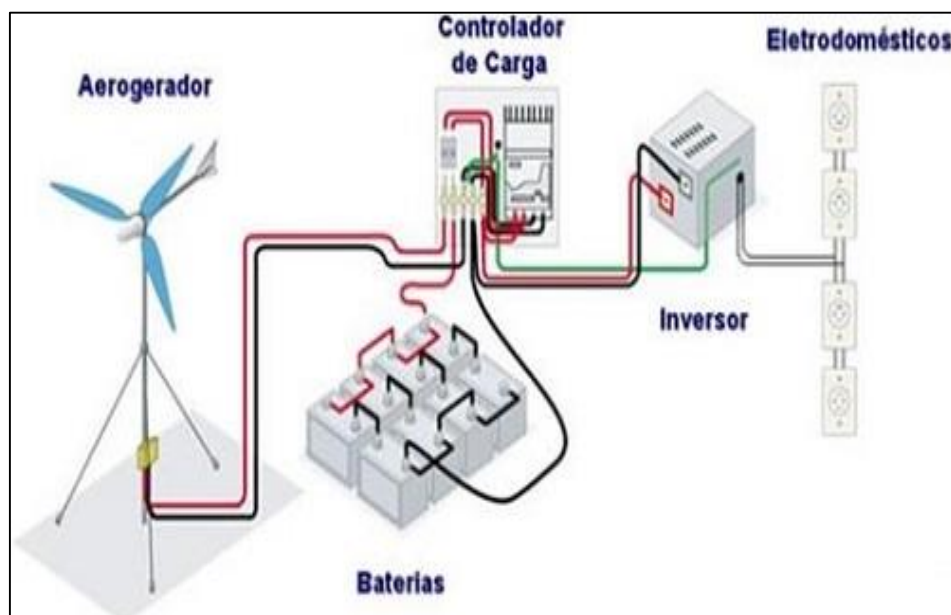


Figura N° 6: Sistema de generación eléctrica de energía eólica¹²

¹² <http://energiarenovables22.blogspot.com/2016/12/sistema-de-generacion-electrica-de.html>

Generador Eólico

Funcionamiento¹³

El funcionamiento es el siguiente: el viento incide sobre las palas del aerogenerador y lo hace girar, este movimiento de rotación se transmite al generador a través de un sistema multiplicador de velocidad. El generador producirá corriente eléctrica que se deriva hasta las líneas de transporte. Para asegurar en todo momento el suministro eléctrico, es necesario disponer de acumuladores.

Componentes del Sistema Eólico¹⁴:

La torre:

Es la parte que soporta la góndola y el rotor. Normalmente suelen ser de longitud elevada, ya que la velocidad del viento es mayor cuánto más lejos estamos del nivel del suelo.

Pueden ser tubulares o de celosía. Las primeras son más seguras para el personal de mantenimiento, ya que disponen de una escalera interior que llega hasta la parte superior de la turbina. Las segundas, aunque son más inseguras, tienen un coste es mucho más barato.

¹³ <https://iesvillalbahervastecnologia.files.wordpress.com/2010/10/energia-eolica.pdf>

¹⁴ <http://solo-eolica.blogspot.com/2009/10/componentes-de-un-aerogenerador.html>

La góndola:

Es un habitáculo que contiene los componentes más importantes de un aerogenerador, como el multiplicador o el generador eléctrico. Se puede acceder a ella desde la torre de la turbina.

El multiplicador:

Con el eje de baja velocidad a su izquierda y el de alta velocidad a su derecha, el multiplicador permite que el segundo gire 50 veces más rápido que el primero.

El eje de baja velocidad:

Se trata de un eje que conecta el buje del rotor al multiplicador. Por dentro del eje encontramos unos conductos del sistema hidráulico usados para los frenos aerodinámicos.

El buje del rotor:

El buje ("hub" en inglés) es el elemento al que van unidas las palas. Situado en la parte frontal del aerogenerador, acoplado al eje de baja velocidad, es el único elemento exterior que gira. Se le suele unir los rodamientos de pala, que minimizan el rozamiento de las palas. Normalmente se fabrica con acero fundido.

El eje de alta velocidad:

Si gira con la velocidad adecuada, este eje es el que permite que el generador eléctrico funcione. Dicha velocidad equivale aproximadamente a 1500 revoluciones por minuto (rpm). Además, lleva acoplado, por si falla el freno aerodinámico, un freno de disco mecánico de emergencia.

El generador eléctrico:

Se considera un generador eléctrico a todo aquél dispositivo que pueda mantener una diferencia de potencial eléctrico entre sus bornes (polos o terminales). Gracias a la acción de un campo magnético, un generador consigue su objetivo, transformar energía mecánica en eléctrica. En los aerogeneradores, el generador suele ser asíncrono o de inducción.

Las palas del rotor:

Son las responsables de "capturar" el viento y transmitir su potencia al buje. Existen de muchos tamaños y diseños, dependiendo normalmente de la potencia que se quiera generar.

La unidad de refrigeración:

Consiste en un ventilador eléctrico que enfriá el generador. Contiene también una unidad refrigerante por aceite o por agua, que se usa para enfriar el propio aceite del multiplicador.

El controlador eléctrico:

Se trata de un ordenador el cual monitoriza las condiciones del aerogenerador, y controla el mecanismo de orientación (que vigila la dirección del viento mediante la veleta). Si ocurre cualquier problema en el aerogenerador, como por ejemplo, un sobrecalentamiento en el multiplicador, automáticamente para el aerogenerador y "llama" al operario encargado de la turbina a través de un módem.

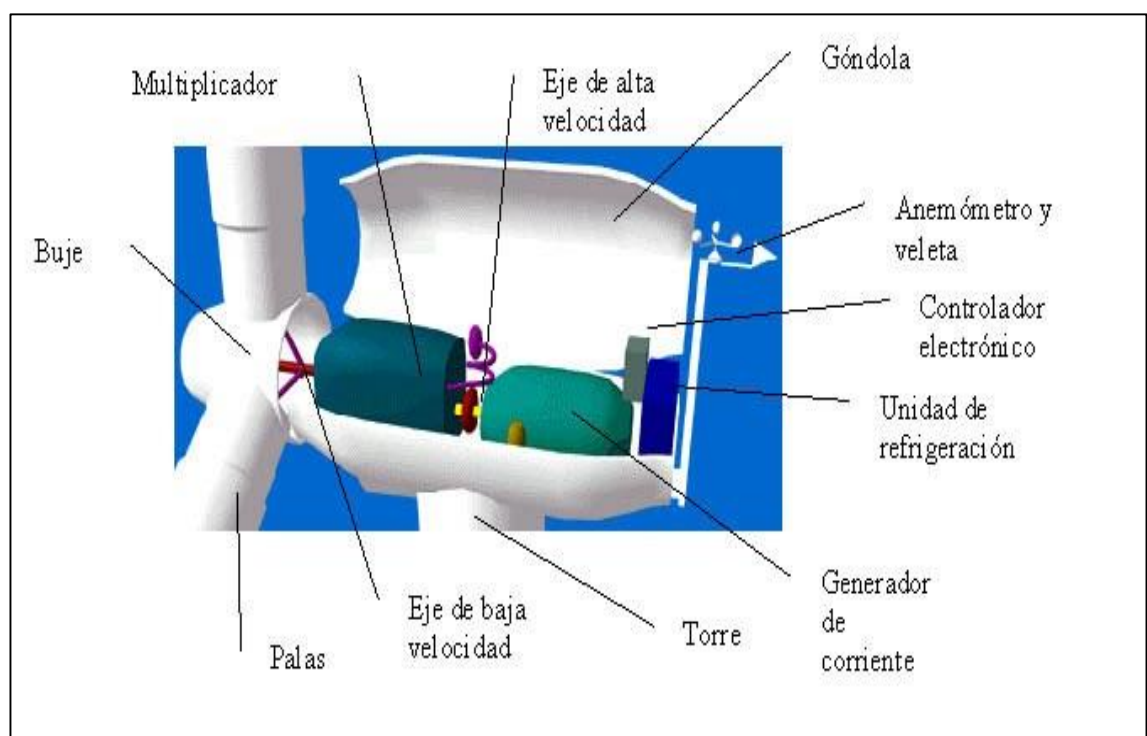


Figura N° 7: Partes de un aerogenerador¹⁵

¹⁵ <https://centraleolica.wordpress.com/partes-de-un-aerogenerador/>

2.2.2. Energía Solar.

El origen de la energía que el Sol produce e irradia está en las reacciones nucleares que se producen en su interior. En ellas, los átomos de hidrógeno, que es el elemento más abundante del Sol, se combinan entre sí para formar átomos de helio y, al mismo tiempo, una pequeña parte de la masa de dichos átomos se convierte en energía, la cual fluye desde el interior hasta la superficie (fotósfera) y desde allí es irradiada a todo el espacio en todas las direcciones. Aunque el Sol también emite partículas materiales, la mayor parte de la energía irradiada es transportada en forma de ondas electromagnéticas (fotones) en una amplia gama de longitudes de onda diferentes, las cuales se desplazan en el espacio vacío a la velocidad de la luz (300 000 km/s), tardando solamente ocho minutos en recorrer los 150 millones de km que hay entre el Sol y la Tierra¹⁶.

2.2.2.1. Potencial Solar

Potencial Solar en el Mundo¹⁷.

La energía que ofrece el sol en forma de luz y calor hoy puede ser transformada gracias a los avances tecnológicos, reduciendo el consumo de energía eléctrica y calorífica proveniente de fuentes tradicionales. El uso de energía solar se justifica no sólo por el ahorro en el consumo de energéticos

¹⁶ (HUALPA HUAMANÍ 2006)

¹⁷ <https://www.fumec.org/v6/htdocs/solar.pdf>

tradicionales sino porque contribuye al bien común, mejorando la calidad del aire, la rentabilidad macroeconómica y colaborando en la generación de empleos y riqueza a través de diversas oportunidades de negocio.

Algunos estudios revelan que la energía que el sol arroja a la tierra en un año es cuatro mil veces superior a la que se consume en el planeta y que para el año 2030 dos tercios de la energía consumida por la población mundial podrían originarse por tecnologías de energía solar fotovoltaica.

Potencial Eólico en el Perú

El Atlas de la Energía Solar del Perú elaborado por el Ministerio de Energía y Minas señala que el país cuenta con una elevada radiación solar, 5,5 a 6,5 kWh/m²; 5.0 a 6.0 kWh/m² en la Costa y en la Selva de aproximadamente 4,5 a 5,0 kWh/m². Unas cifras que denotan el altísimo potencial fotovoltaico que tiene el país latinoamericano, el cual debe ser aprovechado para generar energía limpia para sus habitantes¹⁸.

¹⁸ <https://autosolar.pe/blog/actualidad-de-energia-solar/peru-radiacion-solar-mas-alta-de-todo-el-planeta>

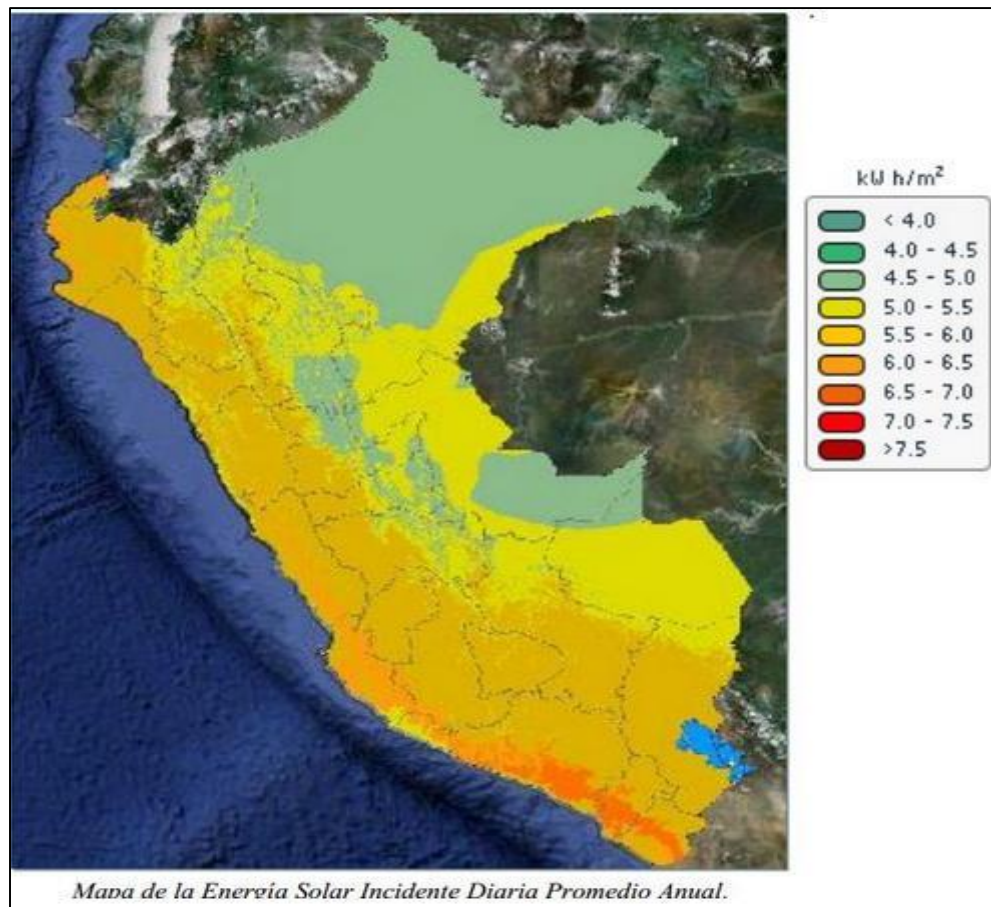


Figura N° 8: Mapa del Atlas Solar del Perú¹⁹

2.2.2.2. Sistema de Generación Solar.

La generación de energía solar es uno de los métodos más limpios de producción de energía ideado por el hombre hasta ahora, ya que se basa en la conversión de la captación de la radiación solar y su transformación en electricidad (fotovoltaica) o en calor (térmica), convirtiéndose en un proceso comparable al mecanismo básico de las plantas para generar su energía, conocido como fotosíntesis.

¹⁹

https://jmirez.files.wordpress.com/2015/09/mapa_de_la_energ3ada_solar_incidente_diaria_promedio_anual_perc3ba.jpg

Los rayos solares son una fuente básica de energía inagotable, el 99.98% de la energía proviene del sol como energía radiante y equivale a $173,000 \times 10^{12}$ Watts - unidad de medida de generación de energía. De esta energía, el 77% es reflejada o devuelta al exterior. Sólo el 23% es retenido en la tierra, este porcentaje se emplea casi todo en el ciclo hidrológico - evaporación, convección, precipitación y corrientes de agua, entre otras formas; una pequeña fracción 0.2% da lugar a olas, vientos y fenómenos de convección en la atmósfera y una fracción aún menor 0.02 % es capturada y transformada por las plantas en el proceso de fotosíntesis e ingresa de esta forma al sistema trófico que sustenta la vida sobre la tierra²⁰.

Funcionamiento.

La energía solar fotovoltaica corresponde a un sistema directo de conversión, ya que los fotones de la radiación solar interactúan de modo directo sobre los electrones del captador fotovoltaico para dar lugar al efecto fotoeléctrico y en él, a la generación de corriente eléctrica.

El componente básico de este modo directo de conversión de la energía es la denominada célula solar, con la que se construyen los paneles o módulos solares, los cuales

²⁰ <https://sabermas.umich.mx/archivo/tecnologia/133-numero-1755/268-paneles-solares-generadores-de-energia-electrica.html>

proporcionan una corriente eléctrica de valor dependiente de la energía solar que incide sobre su superficie²¹.

Componentes del Sistema Solar²²

Módulo solar (panel solar) fotovoltaico

Componente encargado de transformar la radiación solar en energía eléctrica a través del efecto fotoeléctrico. Están hechos principalmente por semiconductores (silicio) monocrystalinos o poli-crystalinos. Los de mejor precio y mayor disponibilidad en el mercado internacional y colombiano es el policristalino. Estos son caracterizados por su potencia nominal o potencia máxima que puede generar este panel en condiciones ideales (radiación de 1kW/m² y temperatura de 25°C).



Figura N° 9: Panel Solar²³

²¹ (DIAZ GALINOS 2010)

²² <https://www.sunsupplyco.com/componentes-de-un-sistema-de-energia-solar/>

²³ <https://www.linio.com.mx/p/panel-solar-fotovoltaico-policristalino-iusa-448137-toe2z2>

Regulador de carga

Este componente del sistema administra de forma eficiente la energía hacia las baterías prolongando su vida útil protegiendo el sistema de sobrecarga y sobre-descargas. Este componente es comercializado basado en su capacidad máxima de corriente a controlar (amperios).



Figura N° 10: Regulador de Carga²⁴

Batería (acumulador)

La energía eléctrica de los paneles, una vez regulada va a las baterías. Estas almacenan la electricidad para poder usarla en otro momento, su comercialización es basada en la capacidad de almacenar energía y es medida en Amperios hora (Ah).

²⁴ <https://www.tutiendaenergetica.es/regulador-carga-victron-bluesolar-light-24v-10a>

Inversor

Este componente convierte la corriente continua y bajo voltaje (12v o 24v típicamente) proveniente de las baterías o controlador en corriente alterna, para el caso de Colombia 120 V, de forma simplificada se puede decir que transforma la corriente continua en un toma corriente convencional. Por lo general es comercializado basado en su potencia en Watts, la cual es calculada como el voltaje por corriente ($P=VI$). Corresponde a la demanda máxima de (potencia) de los equipos que se van a conectar. Se puede prescindir de este componente cuando los equipos a conectar puedan ser alimentados por corriente directa. Como es el caso de algunos tipos de iluminación, motores y equipos diseñados para trabajar con energía solar.



Figura N° 11: Inversor²⁵

²⁵ <https://www.bmasdigital.com/inversor-de-corriente-cd-ca-potencia-nominal-800w>

Soportes

Este es un componente pasivo de los sistemas de energía solar. Encargado de mantener en su lugar los módulos fotovoltaicos y debe estar proyectado para soportar la intemperie de forma constante, expansiones térmicas durante mínimo 25 años.



Figura N° 12: Soporte para paneles²⁶

2.2.3. Sistemas Híbridos

Cuando dos o más sistemas de generación de energía se combinan en una sola instalación para la generación de energía eléctrica, surge lo que se denomina un sistema híbrido. Estos sistemas están compuestos generalmente por fuentes energéticas renovables y de ser necesario se complementan con grupos electrógenos, dejándolos en la mayoría de los casos solo para funciones de emergencia²⁷

²⁶ <http://chiapasolar.com/home/?product=2-paneles-250w-aluminio>

²⁷ <http://scielo.sld.cu/pdf/im/v14n1/im03111.pdf>

Los Sistemas que más se combinan en la actualidad son los siguientes:

1. Energía Solar
2. Energía Eólica:
3. Geotérmica:
4. Energía Hidroeléctrica:
5. Energía de Biomasa:
6. Energía del Mar:

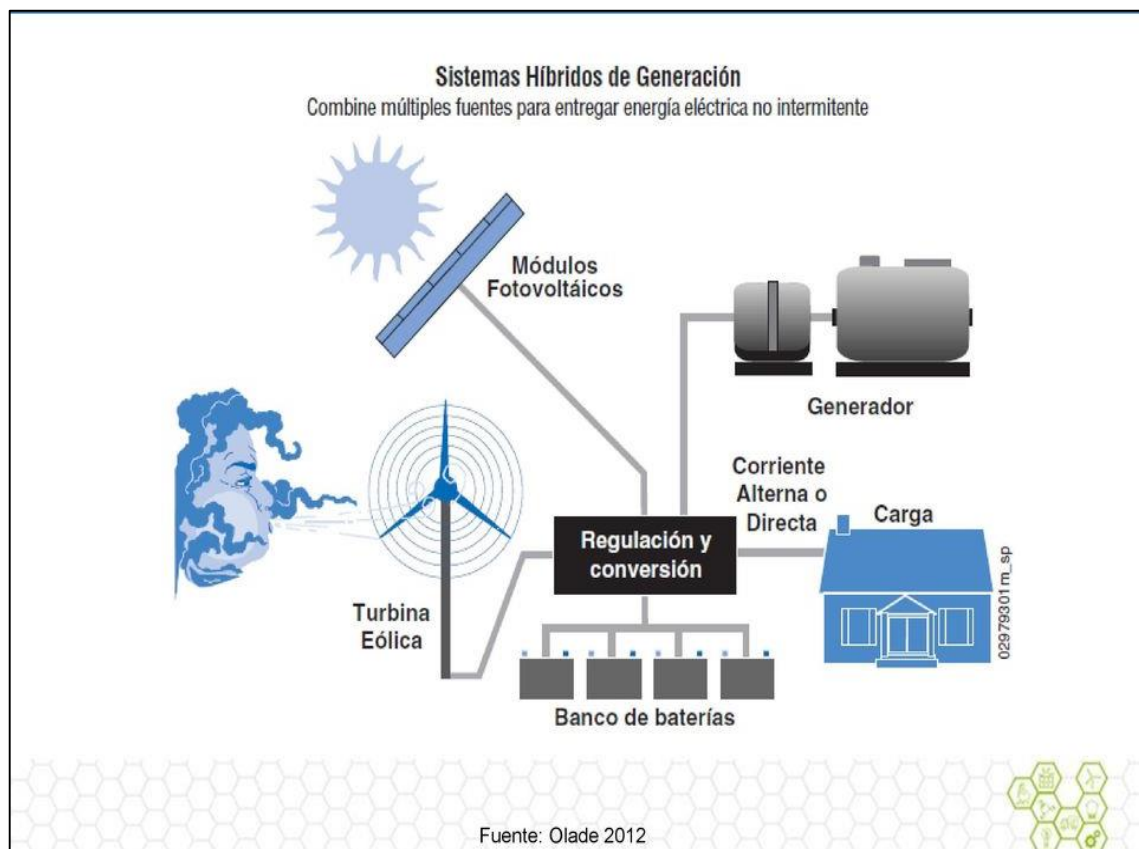


Figura N° 13: Sistema Hibrido Eólico - Solar²⁸

²⁸ <https://docplayer.es/16315985-Sesion-5-energia-eolica-gonzalo-guerron.html>

2.2.4. Baterías Solar y Eólicas.

Una batería es un sistema de almacenamiento de energía empleando procedimientos electroquímicos y que tiene la capacidad de devolver dicha energía posteriormente casi en su totalidad, ciclo que puede repetirse un determinado número de veces.

La unidad básica de una batería se denomina “celda”, reservándose el nombre batería a la unión de dos o más celdas conectadas en serie, en paralelo o en ambas formas para conseguir la capacidad y la tensión deseada. La celda está formada por los siguientes componentes: electrodos (cátodo (+) y ánodo (-)), electrolito (sustancia que contiene iones en su composición orbitando libremente, lo que le ayuda a comportarse como un conductor eléctrico) y separadores (para realizar una separación de los componentes de su interior).

La energía eléctrica es almacenada o liberada mediante reacciones electroquímicas que transportan electrones entre electrodos, que se encuentran interíormente conectados por un electrolito (soluciones líquidas, polímeros conductores sólidos, gel), para llevar cabo reacciones específicas de reducción/oxidación. Frecuentemente se utilizan catalizadores para acelerar las tasas de reacción a niveles aceptables.

El principio de funcionamiento de una batería está basado básicamente en un proceso reversible llamado reducción-oxidación, donde uno de los componentes se oxida (pierde electrones) y el otro

componente se reduce (gana electrones). Por lo tanto, se trata de un proceso en el que los componentes no se consumen, sino que únicamente cambian su estado de oxidación; por otro lado, dichos componentes pueden retornar a su estado original en las circunstancias adecuadas. Estas circunstancias son el cierre del circuito externo durante el proceso de descarga y la aplicación de una corriente externa durante el proceso de carga.

La capacidad de una celda es la cantidad total de electricidad producida en la reacción electroquímica, la cual se suele medir en amperios-hora (Ah). Se define como capacidad teórica al producto del número de moles que intervienen en la reacción completa de descarga (x), del número de electrones que intervienen en la reacción (n) y del número de Faraday ($F = 96500 \text{ C}$). Sin embargo, la capacidad real de la batería siempre resulta inferior a la capacidad teórica puesto que la utilización de los materiales activos nunca llega a ser del 100%.

En la práctica, la capacidad de una batería se calcula descargando dicha celda a una intensidad determinada hasta alcanzar un valor especificado de la tensión en bornes que se denomina tensión de corte. De esta forma, el valor de la capacidad es el producto de dicha intensidad de descarga (A) y la duración de la descarga (horas). Por este motivo, la capacidad de la batería se mide en miliamperios-hora (mAh) o en amperios-hora (Ah). Análisis económico de un sistema de almacenamiento para la disminución de desvíos de producción en un parque eólico

Los ciclos de carga/descarga definirán la vida útil de las baterías. A medida que una batería es descargada y cargada, su capacidad sufre alteraciones, de manera que, tras un cierto número de ciclos, la batería pierde calidad y no consigue completar con éxito las reacciones químicas. La carga en exceso puede también ser perjudicial para su vida útil. Las baterías también sufren un efecto denominado como “auto-descarga” cuando no se utilicen puesto que, a pesar de que no se empleen, la energía almacenada en su interior irá disminuyendo progresivamente con el paso del tiempo de forma espontánea.

Otro de los efectos que sufren las baterías es el llamado “efecto memoria”. Consiste en un fenómeno que reduce la capacidad de la batería con cargas incompletas. Se produce cuando se realiza la carga de una batería sin llegar a haber sido descargada del todo, lo que genera la creación de una especie de cristales en el interior que va a debilitar los electrodos y hace que la batería pierda parte de su capacidad real.

Existe una gran variedad de baterías para el almacenamiento de energía eléctrica. En el presente apartado se realizará una breve descripción de las cinco tecnologías que se utilizan con más frecuencia en aplicaciones de alta potencia actualmente, estudiando sobretodo sus principales parámetros como son capacidad y precio²⁹.

²⁹<http://bibing.us.es/proyectos/abreproj/70692/fichero/10+Baterias+para+Almacenamiento+de+Energ%C3%ADa.pdf>

a) Tipos de baterías³⁰

Baterías abiertas

En donde el electrolito (ácido) se encuentra en forma líquida, y se puede acceder a él a través de los tapones de cada vaso, como en el caso de las baterías automotrices, al estar abiertas, se puede controlar el estado de su carga por medio de un instrumento llamado densímetro, que mide la densidad del electrolito.

Baterías selladas

Existen las baterías de gel y las baterías AGM (absorbed glass material) separador de vidrio absorbente, estas baterías son especialmente usadas para las aplicaciones de sistemas fotovoltaicos por no requerir de mantención, su inconveniente es que no admiten descargas profundas, es decir que para extender su vida útil, es necesario controlar su descarga. Las llamadas baterías de libre mantención, son las más adecuadas para aplicaciones fotovoltaicas, también son llamadas VRLA (Valve Regulated Lead Acid) o Batería Regulada por Válvula.

³⁰ <http://radian.cl/documents/Curso-Solar-FV.pdf>

Baterías de gel

En las baterías de gel, se agrega un compuesto de silicona al electrolito, que provoca que el líquido, se vuelva una masa sólida como gelatina, si la batería se rompe, no hay riesgo de fuga de líquido.

Baterías AGM

Las baterías AGM usan separadores en sus celdas que están compuestos de fibra de vidrio microporoso absorbente, que actúan como esponja, absorbiendo el electrolito en el proceso de descarga y liberándolo en el proceso de carga de la batería. Las baterías de gel y AGM tienen un mejor funcionamiento en sus ciclos de carga y descarga y ambas son libres de mantenimiento.



Figura N° 14: Tipos de baterías³¹

³¹ https://www.damiasolar.com/actualidad/blog/articulos-sobre-la-energia-solar-y-sus-componentes/cuales-son-los-anyos-de-vida-de-cada-bateria-solar_1

b) Características de las baterías³²

Para escoger la batería, se analiza las características técnicas que poseen, como son: profundidad de descarga, ciclado, vida útil, madurez de la tecnología, etc. A continuación se describe las características principales de una batería.

Rendimiento: Es la relación entre la energía que se extrae de la batería y la energía que ingresa en la misma. Se debe a las pérdidas en la batería durante la carga y descarga, especialmente por efectos caloríficos.

Profundidad de descarga: Es el valor en porcentaje de la energía que se puede sacar de un acumulador plenamente cargado en una descarga. Por ejemplo, si tenemos una batería de 100Ah y la sometemos a una descarga de 20Ah, esto representa una profundidad de descarga del 20%.

Ciclos de carga/descarga: Es la cantidad de veces que se puede cargar y descargar una batería en su vida útil. Si la descarga es profunda el número de ciclos se reduce, por tanto su vida útil disminuye.

³² (Santillán Tituaña 2015-2016)

2.3. Definición conceptual de la terminología empleada.

Aerogenerador: Máquina que transforma la energía del viento en energía eléctrica.

Buje: Centro del rotor donde se acoplan las palas.

Amperio o ampere: Es la unidad de intensidad de corriente eléctrica.

Es la cantidad de electricidad que pasa por un conductor por un segundo.

La corriente está relacionada con la potencia expresada en watts o vatios de la siguiente forma P (watts)= I (amperes) x V (volts).

Anemómetro: instrumento que se utiliza para medir la velocidad del viento. Sus señales son empleadas por el controlador electrónico para conectar el aerogenerador cuando el viento alcance la velocidad de arranque. Si la velocidad es superior a la de corte, el ordenador parará el aerogenerador para evitar desperfectos en el mismo.

Bridas: Las secciones de la torre de un aerogenerador son atornilladas utilizando bridas de acero laminado en caliente, soldada a los extremos de cada sección de la torre.

Coeficiente de potencia: El coeficiente de potencia mide la eficiencia con la que el aerogenerador convierte la energía eólica en electricidad. Se obtiene dividiendo la potencia eléctrica disponible entre la potencia eólica de entrada.

Combustible fósil: Se considera combustible fósil al carbón, petróleo y el gas natural o sus derivados de ellos

Conexión directa a red: En la conexión directa a red el generador está directamente conectado a la red de corriente alterna, generalmente trifásica.

Contaminación: Cualquier alteración física, química o biológica del aire.

El agua o la tierra que produce daños a los organismos vivos.

Curva de potencia: Es un gráfico que indica cual será la potencia eléctrica disponible en el aerogenerador a diferentes velocidades de viento.

Densidad de potencia: La densidad de potencia calcula la distribución de energía eólica a diferentes velocidades del viento. Se obtiene multiplicando la potencia de cada velocidad del viento por la probabilidad del viento de la gráfica de Weibull.

Densidad del aire: La energía cinética del viento depende de la densidad del aire, es decir, de su masa por unidad de volumen, esto es, cuanto "más pesado" sea el aire más energía recibirá la turbina.

Disponibilidad: Relación entre el número de horas en las que un aerogenerador produce energía y el número de horas en que han existido velocidades de viento dentro del rango de funcionamiento del aerogenerador.

Energía Cinética: La energía cinética de un cuerpo es una energía que surge en el fenómeno del movimiento. Está definida como el trabajo necesario para acelerar un cuerpo de una masa dada desde su posición de equilibrio hasta una velocidad dada.

Gases invernadero: Son los gases que permiten pasar las radiaciones solares, pero no permiten pasar hacia el exterior de la atmósfera la radiación infrarroja emitida por la tierra. Esto modifica el equilibrio térmico de la tierra y puede originar incrementos en la temperatura de la tierra.

Góndola: Es donde se encuentran el multiplicador y el generador eléctrico, dos de los componentes claves del aerogenerador. Para

acceder al interior de la góndola ha de hacerse desde la torre de la turbina. El rotor del aerogenerador, formado por las palas y el buje, está situado a la izquierda de la góndola.

Hertzio o Hz: Medida de frecuencia o Número de ciclos de onda por segundo.

Isoventas: Líneas de un mapa eólico que unen puntos de igual velocidad media de viento, debiendo ser especificadas previamente las condiciones de determinación de la velocidad media.

Mapa eólico: Mapa en donde se consignan diversos datos de tipo eólico, tales como velocidades medias de viento, direcciones predominantes, regularidad.

Multiplicador: Sistema mecánico inverso al reductor de velocidad que mediante un conjunto de engranajes comunica al eje arrastrado o de salida una velocidad de giro mayor que la del eje motor o de entrada.

Mecanismo de orientación: es utilizado en el aerogenerador para girar el rotor de la turbina en contra del viento, de forma que pase a través del roto la mayor proporción de viento.

Multiplicador: es el sistema mecánico que mediante un conjunto de engranes comunica al eje de salida una velocidad de giro mayor que al eje de entrada.

Número de horas equivalentes: Parámetro usado en la caracterización del aprovechamiento de la energía eólica que es igual a la razón entre la energía generada durante un año y la potencia nominal de la máquina.

Pala: Elemento del aerogenerador que por aprovechamiento aerodinámico transforma la energía cinética del viento en energía mecánica en el eje del generador.

Parque eólico: Instalación eólica que comprende varios aerogeneradores y su infraestructura eléctrica, de medición y control correspondiente.

Potencia: Cantidad de energía consumida por unidad de tiempo. Unidad de potencia W (watt), un Kilowatt (KW) son 1 000 Watts, un Mega watt (MW) son

1 000 000 watts

Red eléctrica: Conjunto de líneas de transmisión, subestaciones eléctricas y obras conectadas entre sí para la conducción de energía eléctrica

Rosa de vientos: Gráfico que representa la frecuencia con la que se produce la velocidad de viento en las distintas direcciones.

Sistema hidráulico: El sistema hidráulico restaura los frenos aerodinámicos del aerogenerador.

Torre: Soporta la góndola y el rotor. Es mejor cuanto más alta ya que a mayor altura mayores velocidades de viento. Las torres pueden ser tubulares, de celosía o concreto.

Unidad de refrigeración: La unidad de refrigeración está compuesta por un ventilador eléctrico y una unidad de refrigeración de aceite. El primero se utiliza para enfriar el generador eléctrico y el segundo para enfriar el aceite del multiplicador. Algunas turbinas tienen generadores enfriados por agua.

Vela: Es un accesorio utilizada para medir la dirección del viento, envía sus señales al controlador electrónico de forma que éste pueda girar el aerogenerador en contra del viento utilizando el mecanismo de orientación.

Velocidad de arranque: Velocidad mínima de viento por encima de la cual el rotor comienza a girar.

Velocidad de corte: Velocidad máxima de viento por encima de la cual el rotor deja de suministrar potencia al eje motor.

Velocidad de diseño nominal: Velocidad del viento incidente para la cual se obtiene la potencia máxima.

Velocidad máxima crítica: Velocidad del viento a la que se pone en funcionamiento los sistemas de parada de emergencia en previsión sobre cargas mecánicas peligrosas.

Velocidad media anual del viento: Valor medio del módulo de la velocidad del viento en un emplazamiento y altura dados a lo largo de un año.

Inversor: Equipo que transforme la corriente continua procedente del regulador en corriente alterna para alimentar las cargas

Caja de conexión: Caja a donde se llevan los cables para realizar las conexiones.

Regulador: Se encarga de controlar la carga de las baterías, así como la descarga y evitar cargas o descargas excesivas

Consumo eléctrico: Número de Watts hora (Wh) o Kilowatts hora (kWh) utilizados para que funcione un aparato eléctrico durante un tiempo. Depende de la potencia del aparato y del tiempo que esté funcionando.

Corriente de corto circuito: Corriente que se mide en condiciones de corto circuito en los terminales de un módulo.

Corriente de máxima potencia: Corriente correspondiente al punto de máxima potencia.

Masa de aire: Medida de la distancia que atraviesa la luz en la atmósfera en su trayectoria hacia la superficie terrestre.

Voltaje de circuito abierto: Voltaje que se mide en los terminales sin carga de un sistema fotovoltaico.

Voltaje de máxima potencia: Voltaje correspondiente al punto de máxima potencia.

CAPITULO III: MARCO METODOLÓGICO

3.1. Tipo y diseño de investigación

En este examen de suficiencia la metodología utilizada para desarrollar y concluir se describe a continuación:

El tipo de investigación es Aplicada: Se hará uso de los conocimientos y bases teóricas de la ingeniería para dar solución al dimensionamiento del sistema híbrido eólico fotovoltaico. Utilizaremos los conocimientos de sistemas híbridos eólicos solares para solucionar el problema de falta de suministro de energía eléctrica en el caserío Virgen del Carmen.

El diseño de investigación es no experimental: es aquella investigación que se realiza sin manipular deliberadamente variables. Se basa fundamentalmente en la observación de fenómenos tal y como se dan en su contexto natural para analizarlos con posterioridad. En este tipo de investigación no hay condiciones ni estímulos a los cuales se expongan los sujetos del estudio. Los sujetos son observados en su ambiente natural³³.

Es investigación de Datos Primarios: Debido a que los datos se han extraído de la misma población en estudio.

³³ https://www.ecured.cu/Investigaci%C3%B3n_no_experimental

3.2. Población y muestra

Población son las 25 unidades de vivienda y las 03 cargas de uso común del caserío Virgen del Carmen en el Distrito de Jaén en el departamento de Cajamarca.

Muestra son las 25 unidades de vivienda y las 03 cargas de uso común del caserío Virgen del Carmen en el Distrito de Jaén en el departamento de Cajamarca.

3.3. Hipótesis

Si se diseña un sistema Híbrido eólico solar entonces se podrá generar energía eléctrica para el caserío Virgen del Carmen ubicada en el distrito y Provincia de Jaén en el departamento de Cajamarca.

3.4. Variables - Operacionalización

X: Variable independiente:

Energía eólica y energía solar

Y: Variable dependiente:

Energía eléctrica

Tabla N° 1: Operacionalización de variables³⁴

| Variables | Definición conceptual | Definición operacional | Indicadores |
|---|--|---|--|
| Variable independiente Energía eólica y energía solar | <p>La energía eólica: es la energía obtenida de la fuerza del viento, mediante la utilización de la energía cinética generada por las corrientes de aire. El término eólico viene del latín Aeolicus, perteneciente o relativo a Éolo o Eolo, dios de los vientos en la mitología griega y que quiere decir perteneciente o relativo al viento³⁵.</p> <p>La energía solar es una fuente de energía renovable que se obtiene del sol y con la que se pueden generar calor y electricidad³⁶.</p> | Dimensionamiento del sistema eólico solar. | Data de velocidad y dirección del viento. Data de la radiación solar de diferentes fuentes. Selección del aerogenerador (Kw) Potencia y unidades de paneles fotovoltaico (kWp). Controladores, baterías (Ah), inversores (P), elementos de protección |
| Variable dependiente Energía eléctrica | La Real Academia Española ³⁷ define electrificación como «acción y efecto de electrificar» y electrificar como: 1. Hacer que algo funcione por medio de la electricidad. 2. Proveer de electricidad a un lugar.» | Determinar la energía promedio diaria, la tensión de salida | Energía promedio diaria. (W.h) Tensión de suministro (V) Potencia (W) |

³⁴ Fuente: elaboración propia del autor

³⁵ <http://www.osinergmin.gob.pe/empresas/energias-renovables/energia-eolica/que-es-la-energia-eolica>

³⁶ <https://twenergy.com/energia/energia-solar>

³⁷ <https://es.wikipedia.org/wiki/Electrificaci%C3%B3n>

3.5. Métodos y Técnicas de investigación

Métodos

En este examen de suficiencia profesional utilizamos el método deductivo a partir de las teorías, leyes y normas emitidas por el Ministerio de Energía y Minas las aplicamos para calcular, seleccionar los equipos. Las técnicas principales empleadas fueron las siguientes:

Técnicas

a) Observación directa

Con esta técnica conoceremos el estado en que se encuentra el caserío Virgen del Carmen, ya sea en diferentes aspectos como social, económico, y ambiental.

b) La Entrevista

Así mismo utilizaremos la técnica de la entrevista: Se realizó a los propietarios de las viviendas del caserío con la finalidad de conocer las cargas existentes y además las cargas que podría utilizar al implementarse el sistema híbrido eólico solar, conoceremos el número total de habitantes, viviendas.

c) Análisis documental

Esta técnica se utilizó para recopilar información de diferentes bibliografías sobre sistemas híbrido eólicos solares tales como: tesis, revistas, software páginas web, etc.

3.6. Descripción de los instrumentos utilizados

Los instrumentos que se utilizaron de acuerdo a la técnica son los siguientes

Tabla N° 2: Tecnicas e instrumentos³⁸

| TÉCNICAS | INSTRUMENTOS |
|---------------------|--|
| Observación directa | Cuaderno de apuntes, fichas de campo, fotografías. |
| Entrevista | Cuaderno y lapicero |
| Análisis documental | Libros, tesis, revistas, páginas web de internet |

3.7. Análisis Estadístico e interpretación de los datos

La información obtenida en la presente tesis, como son datos de radiación solar, máxima demanda eléctrica y la energía generada con el sistema convencional y fotovoltaico, se han organizado en tablas y gráficas de barras utilizando el MS Excel 2016, De los datos de velocidad del viento obtenidos del SENAMHI se calculará la energía que se puede obtener de aerogenerador aplicando la distribución de WEIBULL.

El proceso de cálculo se hará utilizando hojas de cálculo de EXCEL 2016.

Los resultados se mostraron en tablas y gráficos

³⁸ Fuente: elaboración propia del autor

CAPITULO IV: PROPUESTA DE INVESTIGACIÓN

4.1. Propuesta de la investigación

Debido a la problemática de falta de suministro de energía eléctrica en el caserío Virgen del Carmen en el distrito y provincia de Jaén perteneciente al departamento de Cajamarca. Se propone la implementación de un sistema híbrido eólico solar.

4.1.1. Equipamiento de la propuesta

Para lograr electrificar el caserío Virgen del Carmen que se encuentra ubicado en el Distrito y Provincia de Jaén, departamento de Cajamarca.

Se propone el dimensionamiento de un sistema híbrido eólico solar.

Para lo cual se propone o siguiente:

a) Aerogenerador. En este se considerará un aerogenerador de marca reconocida y potencia comercializable el cual esta implementado con su controlador de carga

b) Generador Fotovoltaico: Se considerará en paneles fotovoltaicos de reconocida marca por ejemplo SIMAX y de una potencia lo suficiente como para poder suministrar en conjunto con el aerogenerador la energía a la carga.

b) Controlador de carga solar: De marca reconocida con la capacidad de corriente eléctrica de tal manera que pueda soportar la corriente de

cortocircuito del generador fotovoltaico y la potencia suficiente para que no se produzcan sobrecargas.

c) Banco de batería: Se considerará baterías de marca reconocida por ejemplo ROLLS y la capacidad se seleccionará en función de la energía de la carga y los días de autonomía.

d) El inversor: Con la finalidad de transformar la corriente eléctrica en CD a AC y poder suministrarle a la carga los 220 V y a una frecuencia de 60 Hz.

e) Red de distribución en 220 V:

Con la finalidad de poder llevar la energía desde el sistema híbrido a cada uno de las viviendas y así lograr su aprovechamiento por parte de los habitantes.

CAPITULO V: ANÁLISIS E INTERPRETACIÓN DE LOS RESULTADOS

5.1. Población actual y proyección para el caserío Virgen del Carmen en Jaén.

El caserío Virgen del Carmen tiene 25 viviendas, 01 local comunal, 01 iglesia católica, y 01 centro educativo inicial.

Para proyectar el número de viviendas es necesario obtener una tasa de crecimiento al como se muestra a continuación:

Tabla N° 3: Tasa de crecimiento poblacional³⁹

| DEPARTAMENTOS | 1995-2000 | 2000-2005 | 2005-2010 | 2010-2015 |
|---------------|-----------|-----------|-----------|-----------|
| PERU | 1.7 | 1.6 | 1.5 | 1.3 |
| COSTA | | | | |
| Callao | 2.6 | 2.3 | 2.1 | 1.8 |
| Ica | 1.7 | 1.5 | 1.3 | 1.2 |
| La Libertad | 1.8 | 1.7 | 1.5 | 1.3 |
| Lambayeque | 2.0 | 1.9 | 1.7 | 1.5 |
| Lima | 1.9 | 1.7 | 1.5 | 1.3 |
| Moquegua | 1.7 | 1.6 | 1.4 | 1.3 |
| Piura | 1.3 | 1.2 | 1.1 | 0.9 |
| Tacna | 3.0 | 2.7 | 2.4 | 2.1 |
| Tumbes | 2.8 | 2.6 | 2.3 | 2.0 |
| SIERRA | | | | |
| Ancash | 1.0 | 0.9 | 0.8 | 0.7 |
| Apurímac | 0.9 | 1.0 | 1.0 | 1.0 |
| Arequipa | 1.8 | 1.7 | 1.5 | 1.3 |
| Ayacucho | 0.1 | 0.3 | 0.4 | 0.4 |
| Cajamarca | 1.2 | 1.2 | 1.1 | 0.9 |
| Cusco | 1.2 | 1.2 | 1.1 | 1.0 |
| Huancavelica | 0.9 | 1.0 | 0.9 | 0.9 |
| Huánuco | 2.0 | 1.8 | 1.7 | 1.6 |
| Junín | 1.2 | 1.2 | 1.0 | 0.9 |
| Pasco | 0.4 | 0.6 | 0.5 | 0.4 |
| Puno | 1.2 | 1.2 | 1.1 | 1.0 |
| SELVA | | | | |
| Amazonas | 1.9 | 1.8 | 1.7 | 1.5 |
| Loreto | 2.5 | 2.2 | 2.0 | 1.9 |
| Madre de Dios | 3.3 | 2.9 | 2.6 | 2.3 |
| San Martín | 3.7 | 3.3 | 2.9 | 2.6 |
| Ucayali | 3.7 | 3.3 | 2.9 | 2.5 |

³⁹ https://www.inei.gob.pe/media/MenuRecursivo/publicaciones_digitales/Est/Lib0015/cap-52.htm

Tabla N° 4: Tasa de crecimiento para el departamento de Cajamarca

| Año | 1995-2000 | 2000-2005 | 2005-2010 | 2010-2015 |
|---------------------|-----------|-----------|-----------|-----------|
| Tasa de crecimiento | 2,00 % | 1,90 % | 1,70 % | 1,50 % |

Fuente: elaboración propia del autor

El valor promedio de la tasa de crecimiento es de: 1,78 % (De la tabla N° 4) con el cual proyectaremos la población para un periodo de 20 años (debido a que la vida útil de los paneles fotovoltaicos y del aerogenerador es de 20 años). Utilizaremos la siguiente ecuación:

$$P_{20} = P_0(1 + i)^n \dots (1)$$

Donde:

P₀: Población actual (125 habitantes)

P₂₀: Población proyectada al año 20

i: Taza de crecimiento poblacional (1,78 %)

Reemplazando en la ecuación (1) obtenemos que el número de habitantes proyectados para el año 20 es de:

$$P_{20} = 125 \times (1 + 0,0178)^{20} = 177,89 \approx 178 \text{ habitantes}$$

Para proyectar el número de viviendas trabajaremos bajo la hipótesis de que la relación del número de habitantes por vivienda es constante

$$\frac{Poblacion_0}{Viviendas_0} = \frac{Poblacion_{20}}{Vivienda_{20}} \dots (2)$$

$$Vivivenda_{20} = Vivienda_0 \times \left(\frac{Poblacion_{20}}{Poblacion_0} \right)$$

Reemplazando los resultados anteriores:

$$Vivivenda_{20} = 25 \times \left(\frac{178}{125} \right) = 35,60 \approx 36 \text{ vivendas}$$

5.1.1. Alumbrado de vías publicas

El número de puntos de iluminación (PI), se calculó según lo establecido en la norma DGE “Alumbrado de vías públicas en áreas rurales”, el mismo que se presenta a continuación.

a. Determinación del consumo de energía mensual por alumbrado público (CMAP):

$$\mathbf{CMAP} = KALP \times UN \dots (3)$$

Donde:

CMAP = Consumo mensual de alumbrado público en kW.h

KALP = Factor de AP en kW-h / usuario – mes. Dicho factor es el correspondiente al sector típico 4: KALP=3,3

NU = Número de usuarios de la localidad (25)

$$\mathbf{CMAP} = 82,5 \text{ kW.h}$$

b. Cálculo del número de punto de iluminación (PI):

$$\mathbf{PI} = \frac{CMAP \times 1000}{NHMAP \times PPL} \dots (4)$$

Donde:

PI = Puntos de iluminación.

CMAP = Consumo mensual de alumbrado público en kW.h.

NHMAP = Número de horas mensuales del servicio alumbrado público (horas/mes).

PPL = Potencia nominal promedio de la lámpara de alumbrado público en watts (60 W).

La cantidad de Puntos de iluminación (PI) en caso de ser decimal se debe redondear al número inferior.

El número de horas diarias de alumbrado público considerado debe estar comprendido entre 8 y 12 horas; mayormente 12 horas. (NHMAP = $12 \times 30 = 360$)

Reemplazando los datos en la siguiente formula obtenemos:

$$PI = \frac{CMAPEX1000}{NHMAP \times PPL} = \frac{82,5 \times 1000}{360 \times 60} = 3,82 \approx 3$$

Se utilizaran 3 lamparas de 60 W

5.2. Calculo de la energía promedio diaria

Tabla N° 5: Energía promedia diaria⁴⁰ en el Caserío Virgen del Carmen- Jaén

| Energía eléctrica promedio diaria y potencia instalada en el caserío Virgen del Carmen en Jaén | | | | | |
|---|--------------|----------|----------------|------------------------------|-----------------|
| Carga | Potencia (W) | Cantidad | Uso diario (h) | Consumo diario promedio (Wh) | potencia (W) |
| 1. Unidad de vivienda: 36 | | | | | |
| Lámparas | 8 | 3 | 3 | 72 | 24 |
| Radio | 10 | 1 | 5 | 50 | 10 |
| Carga de celular | 10 | 3 | 1 | 30 | 30 |
| Televisor | 80 | 1 | 3 | 240 | 80 |
| Sub total | | | | 392,00 | 144 |
| Sub Total de Casas | | | | 14 112,00 | 5 184,00 |
| 2. Local comunal: 1 | | | | | |
| Lámparas | 8 | 3 | 3 | 72 | 24 |
| equipo de sonido | 200 | 1 | 2 | 400 | 200 |
| Carga de celular | 10 | 3 | 1 | 30 | 30 |
| Televisor | 80 | 1 | 3 | 240 | 80 |
| Sub total | | | | 742,00 | 334 |
| 3. Iglesia: 1 | | | | | |
| Lámparas | 8 | 3 | 3 | 72 | 24 |
| equipo de sonido | 200 | 1 | 2 | 400 | 200 |
| Carga de celular | 10 | 3 | 1 | 30 | 30 |
| Sub total | | | | 502,00 | 254 |
| 4. Centro de educación inicial: 1 | | | | | |
| Lámparas | 8 | 3 | 3 | 72 | 24 |
| equipo de sonido | 200 | 1 | 2 | 400 | 200 |
| Carga de celular | 10 | 3 | 1 | 30 | 30 |
| Televisor | 80 | 1 | 3 | 240 | 80 |
| Sub total | | | | 742,00 | 334 |
| 4. Alumbrado público: 3 lámparas | | | | | |
| Lámparas | 60 | 3 | 12 | 2160 | 180 |
| Sub total | | | | 2160,00 | 180 |
| Total | | | | 18258,00 | 6286 |

⁴⁰ Fuente: elaboración propia del autor

Entonces la energía promedia diaria para el caserío Virgen del Carmen es de:

Energia promedio diaria para el caserio Virgen del Carmen es de: 18,258 kW.h

Se considerará la situación crítica para determinar la Máxima demanda es decir cuando la potencia instalada es igual a la máxima demanda, por lo tanto, la máxima es:

$$\text{Maxima Demanda} = 6,286 \text{ kW}$$

5.3. Evaluación de la energía solar disponible

Para determinar la radiación solar en el caserío Virgen del Carmen se ha considerado las siguientes fuentes.

ATLAS DE ENERGÍA SOLAR DEL PERÚ⁴¹, del cual podemos obtener la radiación solar máxima y mínima, para el departamento de Cajamarca⁴², observamos que la radiación solar más desfavorable varía entre 4,5 kWh/m²/día y 5,0 kWh/m²/día por lo que se considerará el valor promedio de 4,75 kWh/m²/día.

⁴¹ (SENAMHI 2003)

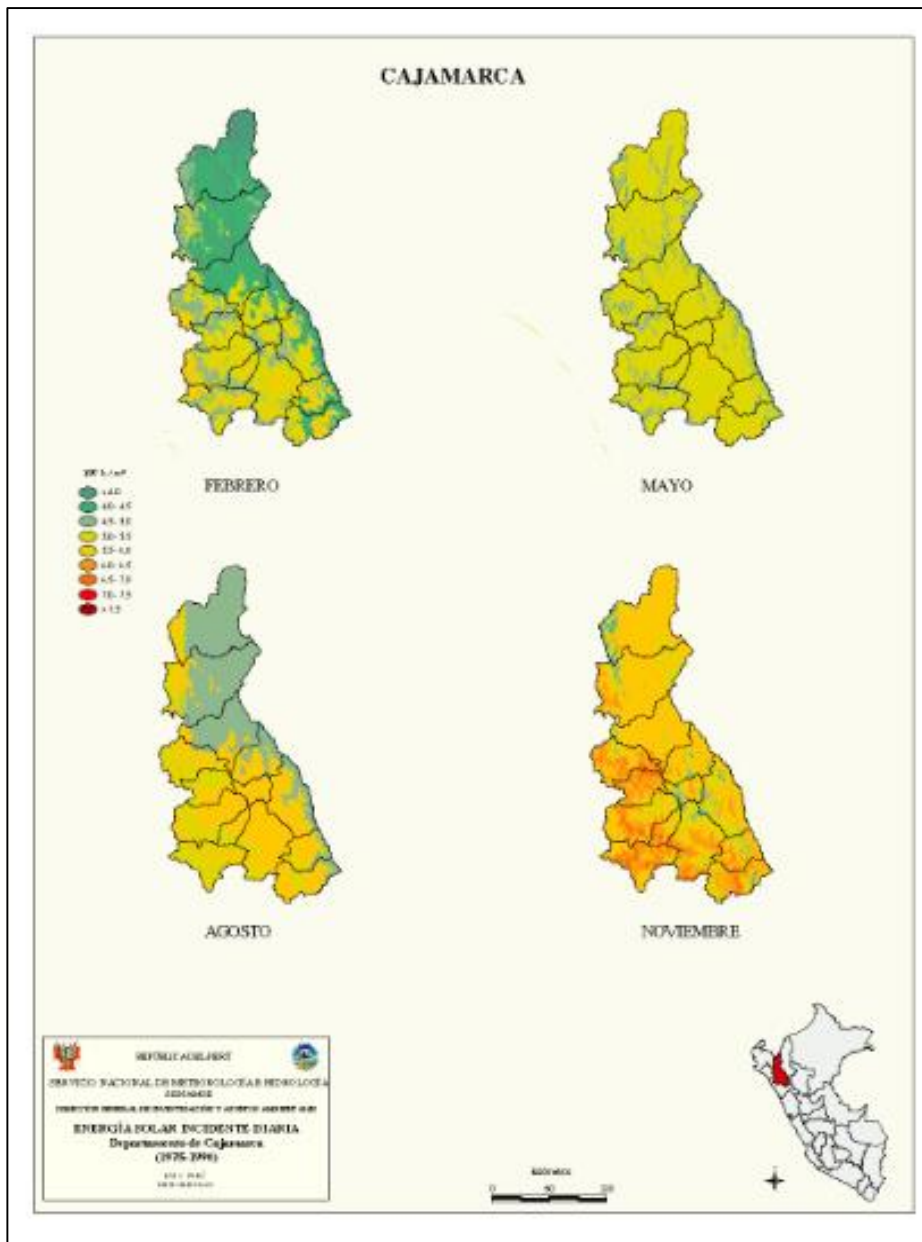


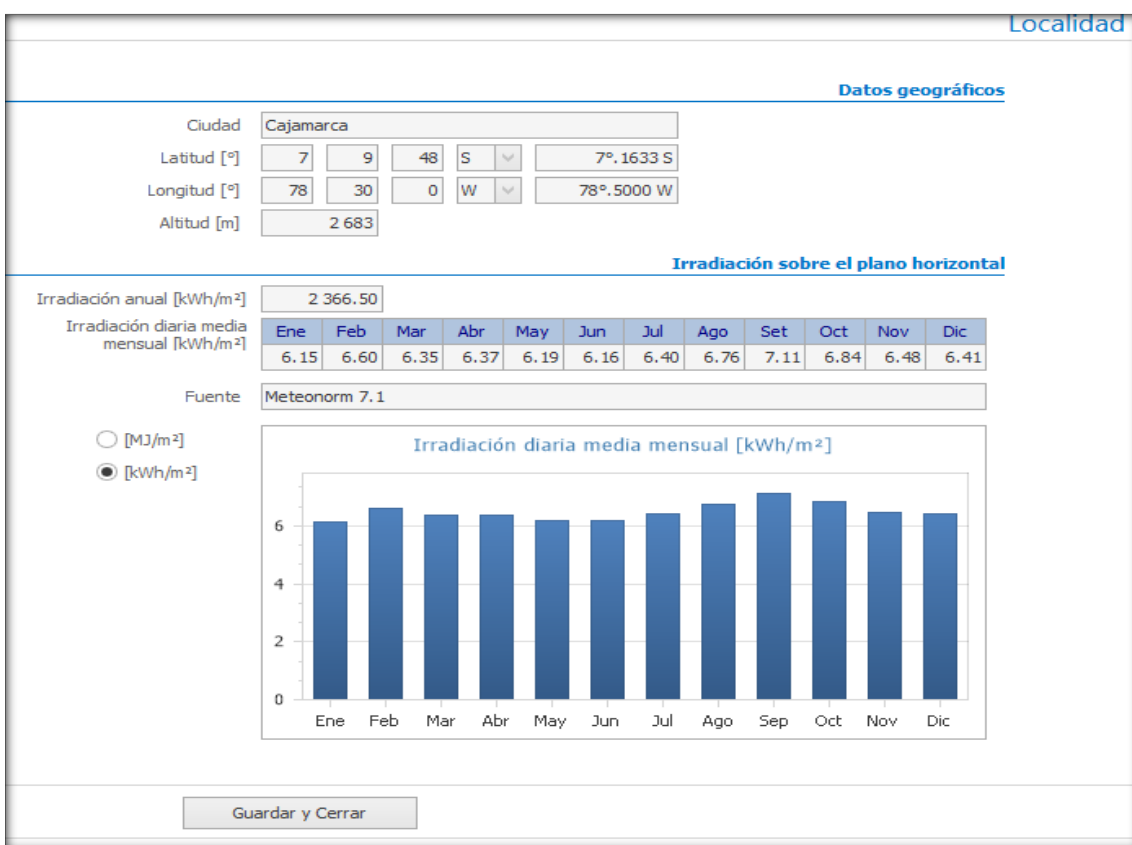
Figura N° 15: Radiación solar en el departamento de Cajamarca⁴³

⁴³ (SENAMHI 2003)

SOFTWARE SOLARIUS PLUS

Haciendo uso del software Solarius Plus en la Tabla N° 6 se muestran los resultados. De donde se obtiene que el valor de la radiación solar más baja es de 6,15 kWh/m²/día

Tabla N° 6: Radiación solar en el departamento de Cajamarca con el software Solarius Plus⁴⁴



Fuente: Solarius plus

La radiación solar para el cálculo del sistema eólico solar es de 4,75 kWh/m²/día.

⁴⁴ Software SOLARIUS PLUS

5.4. Evaluación de la energía eólica.

Según la Figura N° 4 donde se observa que los meses más críticos, es decir con menor velocidad promedio de viento mensual es el mes de marzo, abril.

La estación meteorológica automática de Chota (SENAMHI) nos ha facilitado los datos de la velocidad del viento para el mes de mayo (**ANEXO 01**) datos cada hora minutos. El número total de datos es de: 1 433.

Los datos de la estación meteorológica automática de chota han sido tomados a 2 m.

Se propone trabajar con un aerogenerador ANAIR 70 PRO por ser de marca reconocida y debido a que las velocidades de viento son bajas y este aerogenerador tiene una velocidad de arranque de 2,0 m/s (**ANEXO 03**)

El aerogenerador propuesto trabaja a una altura de 19 m. entonces para obtener la velocidad del viento a 19 m es necesario usar la función exponencial de HELLMAN.

$$V(h) = V_{ref} \left(\frac{h}{h_{ref}} \right)^\alpha \dots (4)$$

Dónde:

V (h) = Velocidad promedio del viento no conocida a una altura (m/s)

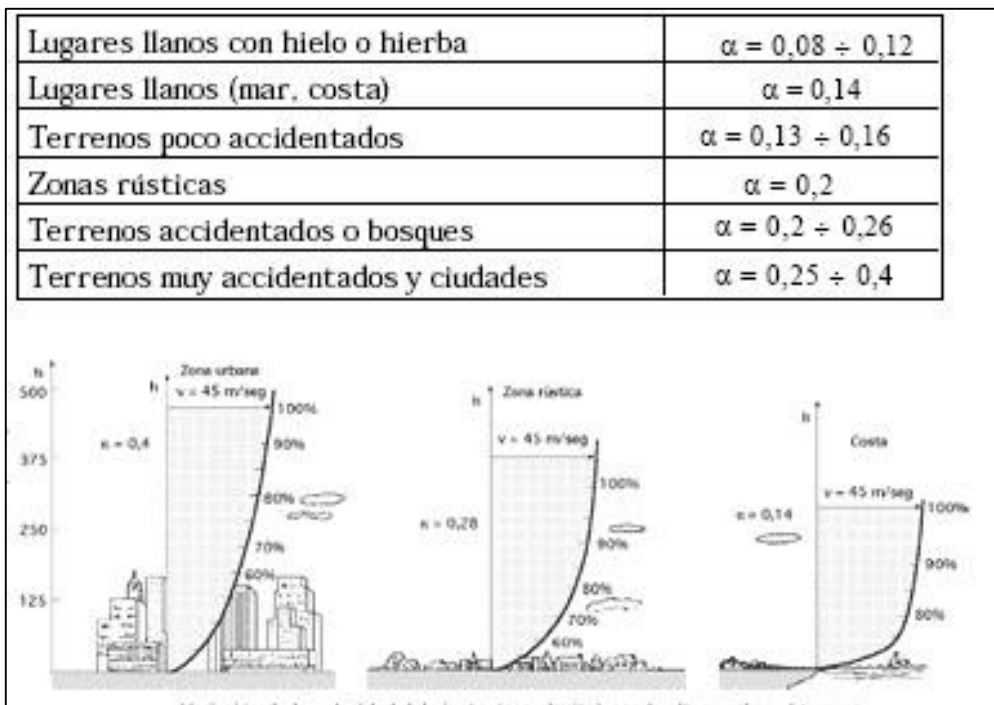
V_{ref.} = Velocidad promedio del viento conocida a una altura (m/s)

H = Altura a la que se desea conocer V (h) (m)

H_{ref.} = Altura a la que se midió V_{ref.} (m)

α = Coeficiente de rugosidad.

Tabla N° 7: valores de para algunos tipos de terreno



Fuente: <http://energiaeolica201.blogspot.com/p/estadistica-descriptiva.html>

El coeficiente de rugosidad que asumiremos según la Tabla N° 7 es de 0,20

Con esos datos entonces elaboramos la Tabla N° 8, tal como se muestra:

Tabla N° 8: Distribución de frecuencias y distribución acumulada de las velocidades de viento⁴⁵

| Velocidad del viento (m/s) | Frecuencia de la velocidad (h) | Frecuencia acumulada (h) | Frecuencia acumulada relativa(h) |
|----------------------------|--------------------------------|--------------------------|----------------------------------|
| 1 | 844 | 651 | 0,45429 |
| 2 | 234 | 978 | 0,68248 |
| 3 | 135 | 1166 | 0,81368 |
| 4 | 85 | 1258 | 0,87788 |
| 5 | 66 | 1328 | 0,92673 |
| 6 | 26 | 1380 | 0,96301 |
| 7 | 22 | 1401 | 0,97767 |
| 8 | 12 | 1419 | 0,99023 |
| 9 | 7 | 1428 | 0,99651 |
| 10 | 1 | 1432 | 0,99930 |
| 11 | 1 | 1433 | 1,00000 |

⁴⁵ Fuente: elaboración propia del autor

La velocidad del viento es una variable aleatoria que responde a la ley de distribución de WEIBULL

Se caracteriza porque emplea dos parámetros, el parámetro de forma y el parámetro de escala, es el método más usado para estimar la velocidad viento.

$$f(v) = \frac{k}{C} \cdot \left(\frac{v}{C}\right)^{k-1} \cdot e^{\left[\left(\frac{v}{C}\right)^k\right]} \dots (5)$$

Donde:

K: parámetro de forma

C: Parámetro de escala

Haciendo una transformación de coordenadas para determinar los parámetros k y c obtenemos lo siguiente:

De los valores de la tabla N° 8 se utilizan para dar forma a la recta expresada en la ecuación:

$$Y = K \cdot x + B \dots (6)$$

Hacemos que:

$$Y = \ln \left(\ln \left(\frac{1}{1 - F(v)} \right) \right) \dots de (7)$$

$$X = \ln(v) \dots de (8)$$

$$B = -k \cdot \ln(C) \dots de (9)$$

Donde "k" es el parámetro de forma y "C" el parámetro de escala. Al graficar los valores de X vs Y, se obtiene lo siguiente.

Tabla N° 9: Transformación de coordenadas

| Velocidad(m/s) | X= ln(v) | Y=ln(1/(1-F(v))) | ln(ln(1/(1-F(v)))) |
|----------------|----------|------------------|--------------------|
| 1 | 0,0000 | 1,8325 | -0,5014 |
| 2 | 0,6931 | 3,1495 | 0,1373 |
| 3 | 1,0986 | 5,3670 | 0,5190 |
| 4 | 1,3863 | 8,1886 | 0,7432 |
| 5 | 1,6094 | 13,6476 | 0,9607 |
| 6 | 1,7918 | 27,0377 | 1,1931 |
| 7 | 1,9459 | 44,7813 | 1,3355 |
| 8 | 2,0794 | 102,3571 | 1,5322 |
| 9 | 2,1972 | 286,6000 | 1,7331 |
| 10 | 2,3026 | 1433,0000 | 1,9834 |

Fuente: elaboración propia del autor

Haciendo una regresión lineal con los datos obtenidos los parámetros de la ecuación de Weibull Graficamos los puntos de la tabla en Excel tal como se muestra en la figura N° 16 y le hacemos un reajuste lineal

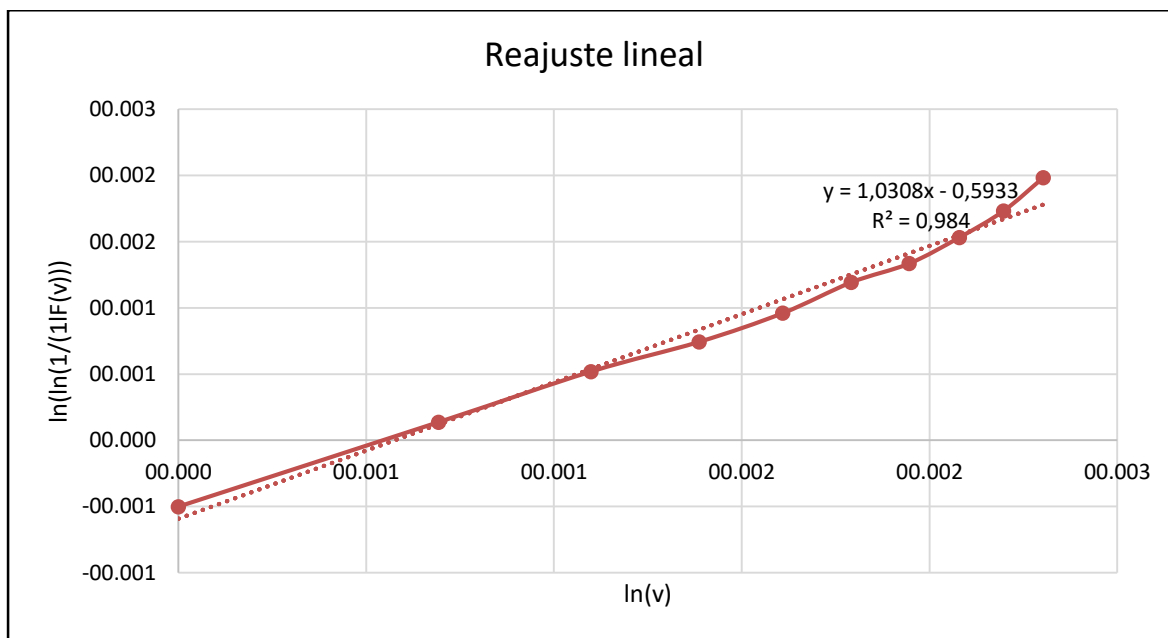


Figura N° 16: Curva de Reajuste⁴⁶

⁴⁶ Fuente: elaboración propia del autor

Y obtenemos la función lineal

$$Y = 1,0308X - 0,5933 \dots (10)$$

Entonces identificando los términos se obtiene que:

$$k = 1,0308$$

$$b = -0,5933 \text{ de donde obtenemos que } C = 1,778$$

Con estos valores de k y c y la ecuación de WEIBULL podemos determinar la frecuencia de la velocidad y queda tal como se muestra en la siguiente tabla N° 10:

Tabla N° 10: Probabilidad de horas de velocidad del viento en el periodo de tiempo de los datos

| velocidad (m/s) | f(v) | horas |
|--------------------|----------|--------|
| 0 | 0,000000 | 0,00 |
| 1 | 0,327763 | 469,68 |
| 2 | 0,188160 | 269,63 |
| 3 | 0,106068 | 152,00 |
| 4 | 0,059209 | 84,85 |
| 5 | 0,032834 | 47,05 |
| 6 | 0,018118 | 25,96 |
| 7 | 0,009958 | 14,27 |
| 8 | 0,005455 | 7,82 |
| 9 | 0,002980 | 4,27 |
| 10 | 0,001624 | 2,33 |
| 11 | 0,000883 | 1,26 |

Fuente: elaboración propia del autor

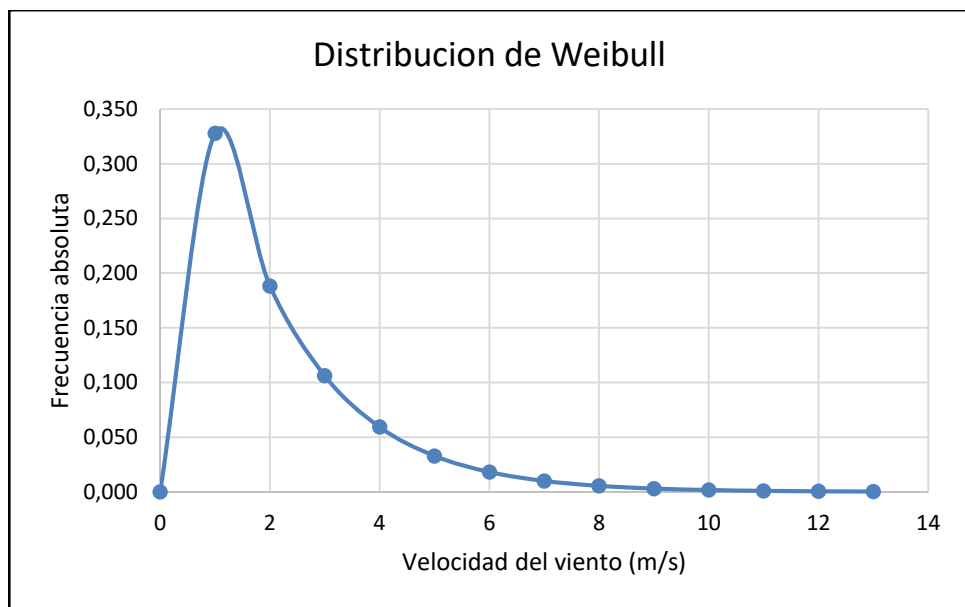


Figura N° 17: Distribución de WEIBULL⁴⁷

5.5. Sistema EÓLICO SOLAR.

5.5.1. Sistema eólico

En el sistema eólico fotovoltaico en la parte eólica se propone utilizar un aerogenerador E 70 PRO de 5kW (**ANEXO 03**).



Figura N° 18: Aerogenerador E70 PRO⁴⁸

⁴⁷ Fuente: elaboración propia del autor

⁴⁸ <https://www.enair.es/es/aerogeneradores/precios>

Tabla N° 11: Curva de potencia del aerogenerador⁴⁹ E70 PRO de 5kW

| velocidad (m/s) | Potencia (W) | horas/día | Energía (Wh) |
|-----------------|--------------|-----------|------------------|
| 0 | 0 | 0,00 | 0,00 |
| 1 | 0 | 469,68 | 0,00 |
| 2 | 15 | 269,63 | 4044,50 |
| 3 | 40 | 152,00 | 6079,81 |
| 4 | 245 | 84,85 | 20787,49 |
| 5 | 450 | 47,05 | 21173,03 |
| 6 | 925 | 25,96 | 24015,38 |
| 7 | 1400 | 14,27 | 19976,92 |
| 8 | 2100 | 7,82 | 16414,86 |
| 9 | 2800 | 4,27 | 11955,43 |
| 10 | 3400 | 2,33 | 7910,45 |
| 11 | 4000 | 1,26 | 5059,93 |
| TOTAL | | | 137417,81 |

La energía total suministrada por el aerogenerador es de 137 417,81 W.h y considerando los 31 días del mes, entonces la energía promedio diaria entregado por el aerogenerador es de: 2 252,75 W.h/día, observamos que la energía entregada por el aerogenerador es pequeña esto debido a que la velocidad del viento también lo es.

5.5.2. Generador fotovoltaico

5.5.2.1. Dimensionamiento del generador fotovoltaico

En la parte fotovoltaica se considera trabajar con 20 paneles fotovoltaicos de la marca YINGLI SOLAR de 250 Wp (**ANEXO 04**)

La tensión de trabajo será de 48 V, por lo tanto, el número de paneles fotovoltaicos en serie es de:

$$N_{mserie} = 48/24$$

⁴⁹ Fuente: elaboración propia

$$N_{mserie} = 2$$

El número de ramas de paneles fotovoltaicos en paralelo es de:

$$\text{Número de ramas de paneles} = \frac{20}{2} = 10$$

La energía diaria que entregara el generador fotovoltaico es de:

$$20 \times 250 \times 4,75 = 23\,750 \text{ W.h}$$

El sistema eólico fotovoltaico que se propone suministran:

Se usarán 20 paneles fotovoltaicos YINGLI SOLAR de 250 Wp

Tabla N° 12: Energía suministrada por el sistema eólico fotovoltaico⁵⁰

| | Equipos | Energía |
|------------------------|---|-------------------|
| Aerogenerador | 01 Aerogenerador de E70 PRO | 2 252,75 W.h/día |
| Generador fotovoltaico | 20 paneles fotovoltaicos de 250 Wp de la marca YINGLI SOLAR | 23 750,00 W.h/día |
| Total | | 26 002,75 W.h/día |

De la tabla N° 12, con un factor global de funcionamiento de 0,76 entonces la energía suministrado a la carga es de: 19 762,78 W.h/día y la que requiere la carga es de

⁵⁰ Fuente: elaboración propia del autor

$$E_{sistema} = 18\,258,00 \text{ W.h}$$

Entonces que el sistema eólico solar es capaz de suministrar energía eléctrica a la carga con una diferencia a favor que queda como reserva para el sistema.

5.5.2.2. Dimensionamiento del controlador fotovoltaico

En el dimensionamiento del controlador, utilizaremos la siguiente ecuación.

$$I_{minimo \, del \, regular} = 1,25 \times I_{Cortocircuito \, del \, panel} \times N_{Pmf} \dots (14)$$

$$I_{minimo \, del \, regular} = 1,25 \times 8,79 \times 5 = 109,85 \text{ A}$$

Consideraremos trabajar con controladores Blue Solar de 60 A

El número de controladores lo obtenemos con la siguiente ecuación:

$$N_{controladores} = \frac{I_{Minimo \, del \, regulador}}{I_{controlador \, seleccionado}} = \frac{109,85}{60} = 1,83 \approx 2$$

Se usarán 02 controladores VICTRON ENERGY de 60 A

5.5.2.3. Dimensionamiento del banco de baterías

La energía que llega a la carga: 19 762,78 kW.h/día

Ahora para el dimensionamiento de baterías utilizaremos las ecuaciones:

$$C_T = (N_{autonomia} \times E_{entregado \, a \, la \, carga}) / (P_D \times V_T) \dots (15)$$

Donde:

C_T = Capacidad mínima del banco de baterías, expresada en Ah.

$N_{autonomía}$ = Número de días de autonomía =2.

$P_D = 0,7$.

$V_T = 48$ V.

$$C_T = (2 \times 19\,762,78) / (0,7 \times 48)$$

$$C_T = 1\,176,36$$
 Ah

Propinemos el uso de baterías Formula Star de 260 Ah (**ANEXO 06**), por ser de maraca reconocida y además de capacidad ampliamente comercializable

El número de baterías que deben conectarse en serie:

$$N_{S bat.} = V_T / V_{bat.} \dots (16)$$

Donde:

$N_{S bat.}$ = Número de baterías que deben conectarse en serie.

V_T = Tensión de trabajo del sistema fotovoltaico (V).

$V_{bat.}$ = Tensión nominal de la batería (V).

$$N_{S bat.} = 48/12$$

$$N_{S bat.} = 4$$
 baterías

El número de baterías que deben conectarse en paralelo

$$N_{P bat.} = C_T / C_{bat.} \dots (17)$$

Donde:

$N_{P bat.}$ = Número de ramas de baterías en paralelo.

C_T = Capacidad total del banco de baterías (Ah).

$C_{bat.}$ = Capacidad individual de una batería (Ah).

$$N_{P\ bat.} = 1176,36 / 260$$

$$N_{P\ bat.} = 4,42 \approx 5$$

Luego el número total de baterías es de 20

Se usarán 20 baterías FORMULA STAR 260 Ah

5.5.2.4. Dimensionamiento del inversor

Para el dimensionamiento del inversor se considerará la siguiente ecuación.

$$\text{Potencia de entrada al inversor} = \frac{\text{Maxima demanda}}{\text{Rendimiento del inversor}} \dots (18)$$

$$\text{Potencia de entrada al inversor} = \frac{6,286}{0,94} = 6,907 \text{ kW}$$

Se propone usar inversores Must Solar de 10 kW (**ANEXO 07**)



Figura N° 19: Inversor⁵¹ MUST Solar de 10 kW

⁵¹ <https://autosolar.pe/pdf/Ficha-tecnica-3003019.pdf>

$$N_{inversores} = \frac{P_{carga}}{P_{inversor\ seleccionado}} = \frac{6,907}{10,0} = 0,69 \approx 1$$

Se usara 1 inversor MUST Solar de 10 kW

5.5.2.5. Dimensionamiento de los conductores eléctricos

Para el dimensionamiento de conductores eléctricos tendremos en cuenta las caídas de tensión recomendadas:

Tabla N° 13: Tabla de caída de tensión máxima⁵²

| TRAMO | TENSION DEL SISTEMA (V) | Caida permitible de tension (%) | Caida de tension permitida (V) |
|----------------------|-------------------------|---------------------------------|--------------------------------|
| PANELES-CONTROLADOR | 48 | 1% a 3% | 1,44 |
| CONTROLADOR-BATERIA | 48 | 1% | 0,48 |
| CONTROLADOR-INVERSOR | 48 | 1% | 0,48 |

Fuente: <https://www.sfe-solar.com/noticias/articulos/calcu-seccion-de-cable-para-paneles-solares/>

⁵² <https://www.sfe-solar.com/noticias/articulos/calcu-seccion-de-cable-para-paneles-solares/>

Tabla N° 14: Conductores eléctricos en los diferentes tramos⁵³

| | | | |
|---|---|---|---|
| Tramo: Generador fotovoltaico- Controlador | $I_{minimo\ del\ regular} = 1,25 \times I_{Cortocircutio\ del\ panel}$ $\times N_{P\ mf}$ $I_{MAX\ mf} = 1,25 \times 8,79 \times 5 = 54,94\ A$ | $S_{CABLE} = 2 \times L \times I / (56 \times \Delta V)$ $S_{CABLE} = 2 \times 5 \times 54,94 / (56 \times$ $1,44)$ $S_{CABLE} = 6,81\ mm^2$ | De la Tabla N° 16, seleccionamos el conductor 10 mm² NY |
| Tramo: Baterías- inversor | $I_{MAX\ inv} = 1,25 \times P_{Carga} / (V_{tension\ de\ trabajo} \times$ $\eta_{inversor})$ $I_{MAX\ inv} = 1,25 \times 6\ 286 / (48 \times 0,94) = 139,32\ A$ | $S_{CABLE} = 2 \times L \times I / (56 \times \Delta V)$ $S_{CABLE} = 2 \times 2 \times 139,32 / (56 \times$ $0,48)$ $S_{CABLE} = 20,73\ mm^2$ | De la Tabla N° 16, seleccionamos el conductor 25 mm² NY |

⁵³ Fuente: elaboración propia del autor

Tabla N° 15: Características eléctricas de los conductores NYY



| TABLA DE DATOS TECNICOS NYY DUPLEX | | | | | | | | | |
|------------------------------------|----------|-------------|----------|-------------------|------|----------------------------|---------|-----------|------|
| CALIBRE | Nº HILOS | ESPESORES | | DIÁMETRO EXTERIOR | PESO | CAPACIDAD DE CORRIENTE (*) | | | |
| | | AISLAMIENTO | CUBIERTA | | | mm | (Kg/Km) | ENTERRADO | AIRE |
| 2x1x6 | 1 | 1 | 1.4 | 15.4 | 218 | 77 | 58 | 62 | |
| 2x1x10 | 1 | 1 | 1.4 | 17 | 307 | 105 | 80 | 85 | |
| 2x1x16 | 7 | 1 | 1.4 | 19.3 | 454 | 136 | 108 | 112 | |
| 2x1x25 | 7 | 1.2 | 1.4 | 22.5 | 672 | 170 | 140 | 140 | |
| 2x1x35 | 7 | 1.2 | 1.4 | 24.6 | 880 | 205 | 175 | 170 | |

Fuente: Catalogo de INDECO⁵⁴ (ANEXO 08)

5.5.2.6. Angulo óptimo de inclinación:

El Angulo de inclinación óptima de una superficie fija se usa a ecuación

$$\beta_{opt} = 3,7 + (0,69 \times |-Latitud|) \dots (19)$$

Sabiendo que la latitud es de

Latitud: -5.11677

Luego el ángulo óptimo es de 7,23°, consideraremos 15° con la finalidad de evitar la acumulación de polvo humedad.

⁵⁴ <http://www.promelsa.com.pe/pdf/1016482.pdf>

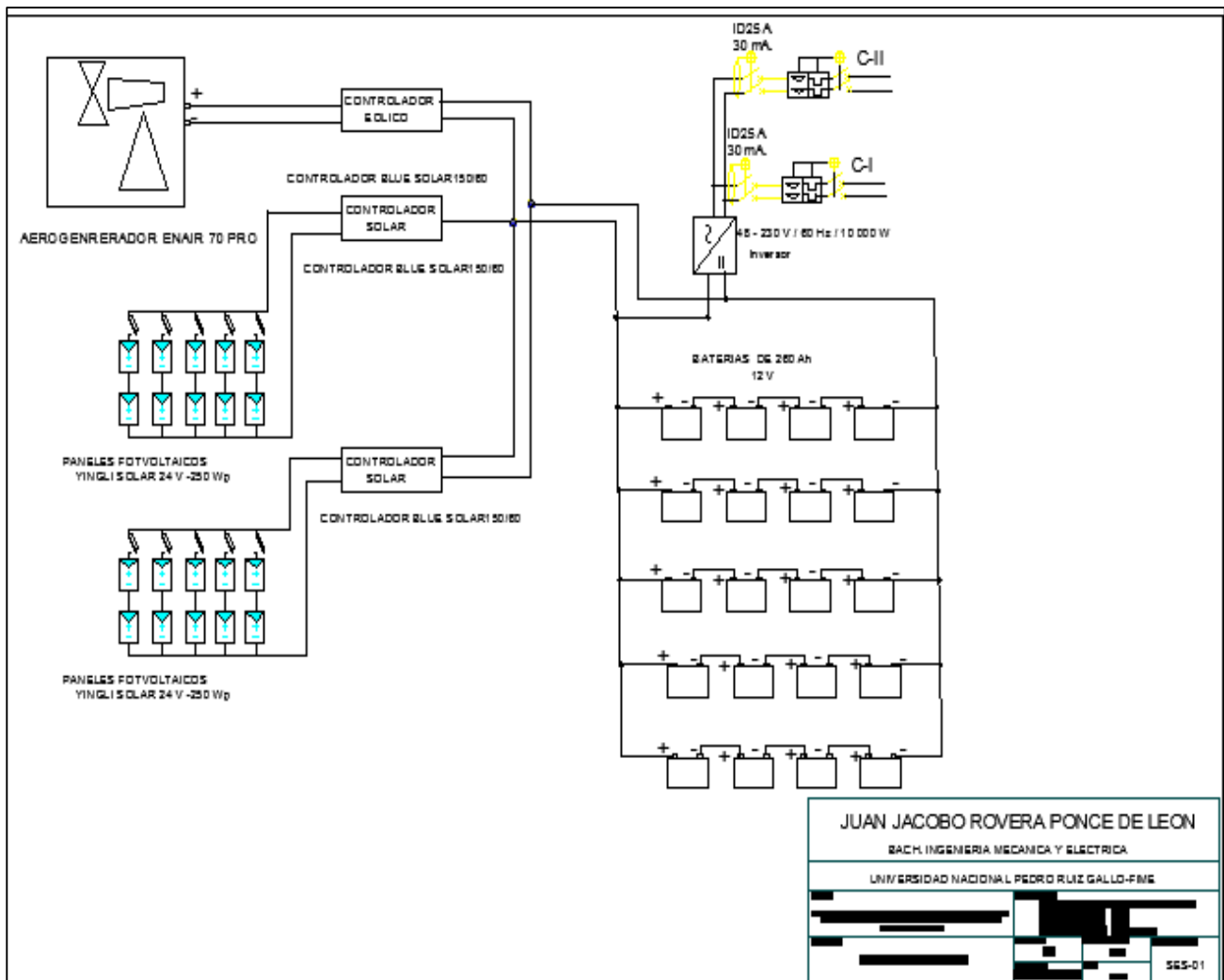


Figura N° 20: sistema eólico - solar⁵⁵

5.6. Dimensionamiento del sistema de distribución en 220 V

Para el dimensionamiento de la red secundaria utilizaremos la norma: Bases para el Diseño de Líneas y redes Secundarias con Conductor Autoportante para Electrificación Rural. (RD031-2003-EM 2003) Donde establece que la caída máxima de tensión en la red secundaria es de 7,0 % de la tensión nominal. Proponemos en la red de distribución secundaria usar el conductor 2x25+1x16/25.

⁵⁵ Fuente: elaboración propia

5.6.1. Cálculos eléctricos

5.6.1.1. Máxima caída de tensión permisible

La máxima de tensión entre el sistema eólico solar y el extremo terminal más alejado de la red no deberá exceder el 7,0 % de la tensión nominal.

La ecuación para calcular la calidad de tensión es la siguiente:

$$\Delta V = K \times L \times I \times 10^{-3} \dots (20)$$

Donde:

I = Corriente eléctrica que recorre el circuito, en A

L = Longitud del tramo, en m

K = Factor de caída de tensión

Los valores de K, se pueden observar en el **ANEXO N°11**

Por capacidad de corriente:

Consideraremos la potencia del inversor

$$I_{MAX\ carga} = 10\ 000 / (220 \times 0,9)$$

$$I_{MAX\ carga} = 20,20\ A$$

Comparando con la, la capacidad de corriente del conductor propuesto es de 64 A (**Del anexo N° 11**), por lo tanto

$$20,20\ A < 64\ A \text{ ok}$$

Tabla N° 16: Caída de Tensión

| Circuito | | C-1 | | | | | | C-2 | | | | | | | | | | | | | | | | |
|----------------------|-----------|------------|---------|------------|-----|-------------------------|--------------|------------------|-----------|------------------|----------------|------------------------|--------|-------------------|-------|-------------|------------------|---------|----------|------|-----------|--------|-----|-------|
| Servicio | | Total | Tablero | Particular | | Alumbrado | Particular | | Alumbrado | | | | | | | | | | | | | | | |
| M.D. - kW | | 7.48 | | 2 | | 0.12 | 5 | | 0.36 | | | | | | | | | | | | | | | |
| Pérdidas- kW (%) | | 0.03 (0.4) | 0 | 0.01 | | 0 | 0.02 | | 0 | | | | | | | | | | | | | | | |
| Pérdidas kWh-año (%) | | 40 (0.2) | 0 | 13 | | 0 | 27 | | 0 | | | | | | | | | | | | | | | |
| %ΔV max | | 0.70% | | 0.50% | | 0.10% | 0.70% | | 0.20% | | | | | | | | | | | | | | | |
| Servicio Particular | | | | | | | | | | | | | | Alumbrado Público | | | | | | | | | | |
| Nodo | Long. (m) | Lotes (kW) | | | | Formación del Conductor | K (Ohm /km) | Resist (Ohm /km) | Cor (A) | Caída de Tensión | | | | Pérdi (W) | Carga | K (Ohm /km) | Resist (Ohm /km) | Cor (A) | Caída de | | Pérdi (W) | | | |
| | | SP | CE | SP | CE | | | | | Fase-Fase (V) | Fase-Neutr (V) | Tensión Fase-Neutro(V) | %Δ V | | | | | | Lámp. | kW | | (V) | (V) | %Δ V |
| Bornes BT | 0 | 0 | 0 | 0 | 0 | | 0 | 0 | 0 | 0 | 220 | 0 | 0.00 | 0.0 | 0.00 | 0.00 | 0.0 | 0.00 | 0.00 | 0.00 | | | | |
| Tablero | 2 | 25 | 3 | 5 | 2 | 7 | 2x25+1x16/25 | 2.577 | 1.2 | 15.9 | 0.08 | 0.04 | 219.96 | 0 | 1.21 | 1.0 | 0.48 | 3.530 | 1.91 | 2.4 | 0.02 | 219.98 | 0.0 | 0.020 |
| Círculo C-1 | | | | | | | | | | | | | | Círculo C-2 | | | | | | | | | | |
| Salida | 0 | 0 | 0 | 0 | 0 | 2 | 1x25+1x16/25 | 2.577 | 1.2 | 4.5 | 0 | 0 | 219.96 | 0 | 0 | 1 | 0.12 | 3.53 | 1.91 | 0.6 | 0.00 | 219.98 | 0.0 | 0.000 |
| 1 | 15.1 | 0 | 0 | 0 | 0 | 2 | 1x25+1x16/25 | 2.577 | 1.2 | 4.5 | 0.18 | 0.09 | 219.87 | 0.1 | 0.73 | 0 | 0.06 | 3.53 | 1.91 | 0.3 | 0.02 | 219.96 | 0.0 | 0.000 |
| 2 | 14.8 | 0 | 0 | 0 | 0 | 2 | 1x25+1x16/25 | 2.577 | 1.2 | 4.5 | 0.17 | 0.09 | 219.78 | 0.1 | 0.72 | 0 | 0.06 | 3.53 | 1.91 | 0.3 | 0.02 | 219.94 | 0.0 | 0.000 |
| 3 | 36.1 | 1 | 0 | 0.2 | 0 | 1.8 | 1x25+1x16/25 | 2.577 | 1.2 | 4.1 | 0.38 | 0.19 | 219.59 | 0.2 | 1.46 | 0 | 0.06 | 3.53 | 1.91 | 0.3 | 0.04 | 219.9 | 0.0 | 0.010 |
| 4 | 34.4 | 0 | 0 | 0 | 0 | 1.6 | 1x25+1x16/25 | 2.577 | 1.2 | 3.6 | 0.32 | 0.16 | 219.43 | 0.3 | 1.07 | 0 | 0.06 | 3.53 | 1.91 | 0.3 | 0.04 | 219.86 | 0.1 | 0.010 |
| 5 | 23.7 | 1 | 0 | 0.2 | 0 | 1.6 | 1x25+1x16/25 | 2.577 | 1.2 | 3.6 | 0.22 | 0.11 | 219.32 | 0.3 | 0.74 | 0 | 0.06 | 3.53 | 1.91 | 0.3 | 0.03 | 219.83 | 0.1 | 0.000 |
| 6 | 45.4 | 0 | 0 | 0 | 0 | 1.4 | 1x25+1x16/25 | 2.577 | 1.2 | 3.2 | 0.37 | 0.19 | 219.13 | 0.4 | 1.12 | 0 | 0.06 | 3.53 | 1.91 | 0.3 | 0.05 | 219.78 | 0.1 | 0.010 |
| 7 | 30.4 | 0 | 0 | 0 | 0 | 1 | 1x25+1x16/25 | 2.577 | 1.2 | 2.3 | 0.18 | 0.09 | 219.04 | 0.4 | 0.39 | 0 | 0.06 | 3.53 | 1.91 | 0.3 | 0.03 | 219.75 | 0.1 | 0.010 |
| 8 | 31.5 | 0 | 1 | 0 | 1 | 1 | 1x25+1x16/25 | 2.577 | 1.2 | 2.3 | 0.19 | 0.1 | 218.94 | 0.5 | 0.4 | 1 | 0.06 | 3.53 | 1.91 | 0.3 | 0.03 | 219.72 | 0.1 | 0.010 |
| 9 | 19.3 | 0 | 0 | 0 | 0 | 0.4 | 1x25+1x16/25 | 2.577 | 1.2 | 0.9 | 0.04 | 0.02 | 219.11 | 0.4 | 0.04 | 0 | 0.00 | 3.53 | 1.91 | 0.0 | 0.00 | 219.78 | 0.1 | 0.000 |
| 10 | 32.6 | 2 | 0 | 0.4 | 0 | 0.4 | 1x25+1x16/25 | 2.577 | 1.2 | 0.9 | 0.08 | 0.04 | 219.07 | 0.4 | 0.06 | 0 | 0.00 | 3.53 | 1.91 | 0.0 | 0.00 | 219.78 | 0.1 | 0.000 |
| 11 | 34.4 | 0 | 0 | 0 | 0 | 0.2 | 1x25+1x16/25 | 2.577 | 1.2 | 0.5 | 0.04 | 0.02 | 219.76 | 0.1 | 0.02 | 0 | 0.00 | 3.53 | 1.91 | 0.0 | 0.00 | 219.94 | 0.0 | 0.000 |
| 12 | 51.3 | 1 | 0 | 0.2 | 0 | 0.2 | 1x25+1x16/25 | 2.577 | 1.2 | 0.5 | 0.07 | 0.04 | 219.72 | 0.1 | 0.03 | 0 | 0.00 | 3.53 | 1.91 | 0.0 | 0.00 | 219.94 | 0.0 | 0.000 |
| Salida | 0 | 0 | 0 | 0 | 0 | 5 | 1x25+1x16/25 | 2.577 | 1.2 | 11.4 | 0 | 0 | 219.96 | 0 | 0 | 0 | 0.36 | 3.53 | 1.91 | 1.8 | 0.00 | 219.98 | 0.0 | 0.000 |
| 13 | 17.6 | 0 | 0 | 0 | 0 | 5 | 1x25+1x16/25 | 2.577 | 1.2 | 11.4 | 0.52 | 0.26 | 219.7 | 0.1 | 5.49 | 0 | 0.36 | 3.53 | 1.91 | 1.8 | 0.11 | 219.87 | 0.1 | 0.110 |
| 14 | 16 | 0 | 1 | 0 | 0.5 | 1.9 | 1x25+1x16/25 | 2.577 | 1.2 | 4.3 | 0.18 | 0.09 | 219.61 | 0.2 | 0.71 | 0 | 0.18 | 3.53 | 1.91 | 0.9 | 0.05 | 219.82 | 0.1 | 0.020 |
| 15 | 27.6 | 1 | 0 | 0.2 | 0 | 1.4 | 1x25+1x16/25 | 2.577 | 1.2 | 3.2 | 0.23 | 0.12 | 219.49 | 0.2 | 0.68 | 0 | 0.18 | 3.53 | 1.91 | 0.9 | 0.09 | 219.73 | 0.1 | 0.040 |
| N01 | 7.1 | 0 | 0 | 0 | 0 | 1.2 | 1x25+1x16/25 | 2.577 | 1.2 | 2.7 | 0.05 | 0.03 | 219.46 | 0.2 | 0.12 | 0 | 0.18 | 3.53 | 1.91 | 0.9 | 0.02 | 219.71 | 0.1 | 0.010 |
| 16 | 8.1 | 1 | 0 | 0.2 | 0 | 1.2 | 1x25+1x16/25 | 2.577 | 1.2 | 2.7 | 0.06 | 0.03 | 219.43 | 0.3 | 0.14 | 1 | 0.18 | 3.53 | 1.91 | 0.9 | 0.03 | 219.68 | 0.1 | 0.010 |
| 17 | 25.4 | 3 | 0 | 0.6 | 0 | 1 | 1x25/25 | 2.577 | 1.2 | 2.3 | 0.15 | 0.08 | 219.35 | 0.3 | 0.32 | 0 | 0.12 | 3.53 | 1.91 | 0.6 | 0.05 | 219.63 | 0.2 | 0.020 |
| 18 | 49.5 | 1 | 0 | 0.2 | 0 | 0.4 | 1x25/25 | 2.577 | 1.2 | 0.9 | 0.11 | 0.06 | 219.29 | 0.3 | 0.1 | 0 | 0.06 | 3.53 | 1.91 | 0.3 | 0.05 | 219.58 | 0.2 | 0.010 |
| 19 | 41.6 | 1 | 0 | 0.2 | 0 | 0.2 | 1x25/25 | 2.577 | 1.2 | 0.5 | 0.05 | 0.03 | 219.26 | 0.3 | 0.02 | 0 | 0.06 | 3.53 | 1.91 | 0.3 | 0.04 | 219.54 | 0.2 | 0.010 |
| N02 | 4.8 | 0 | 0 | 0 | 0 | 3.1 | 1x25/25 | 2.577 | 1.2 | 7.1 | 0.09 | 0.05 | 219.65 | 0.2 | 0.58 | 0 | 0.18 | 3.53 | 1.91 | 0.9 | 0.02 | 219.85 | 0.1 | 0.010 |
| 20 | 8 | 0 | 0 | 0 | 0 | 3.1 | 1x25/25 | 2.577 | 1.2 | 7.1 | 0.15 | 0.08 | 219.57 | 0.2 | 0.97 | 0 | 0.18 | 3.53 | 1.91 | 0.9 | 0.03 | 219.82 | 0.1 | 0.010 |
| 21 | 24.5 | 1 | 0 | 0.2 | 0 | 1.5 | 1x25/25 | 2.577 | 1.2 | 3.4 | 0.21 | 0.11 | 219.46 | 0.2 | 0.68 | 0 | 0.12 | 3.53 | 1.91 | 0.6 | 0.05 | 219.77 | 0.1 | 0.020 |
| 22 | 12.8 | 2 | 0 | 0.4 | 0 | 1.3 | 1x25/25 | 2.577 | 1.2 | 3 | 0.1 | 0.05 | 219.41 | 0.3 | 0.28 | 0 | 0.06 | 3.53 | 1.91 | 0.3 | 0.01 | 219.76 | 0.1 | 0.000 |
| 23 | 35.4 | 2 | 1 | 0.4 | 0.5 | 0.9 | 1x25/25 | 2.577 | 1.2 | 2.1 | 0.19 | 0.1 | 219.31 | 0.3 | 0.37 | 0 | 0.06 | 3.53 | 1.91 | 0.3 | 0.04 | 219.72 | 0.1 | 0.010 |
| 24 | 14.7 | 1 | 0 | 0.2 | 0 | 1.6 | 1x25/25 | 2.577 | 1.2 | 3.6 | 0.14 | 0.07 | 219.5 | 0.2 | 0.46 | 0 | 0.00 | 3.53 | 1.91 | 0.0 | 0.00 | 219.82 | 0.1 | 0.000 |
| 25 | 34.4 | 0 | 0 | 0 | 0 | 1.4 | 1x25/25 | 2.577 | 1.2 | 3.2 | 0.28 | 0.14 | 219.36 | 0.3 | 0.85 | 0 | 0.00 | 3.53 | 1.91 | 0.0 | 0.00 | 219.82 | 0.1 | 0.000 |
| 26 | 39.3 | 2 | 0 | 0.4 | 0 | 1.4 | 1x25/25 | 2.577 | 1.2 | 3.2 | 0.32 | 0.16 | 219.2 | 0.4 | 0.97 | 0 | 0.00 | 3.53 | 1.91 | 0.0 | 0.00 | 219.82 | 0.1 | 0.000 |
| 27 | 37.7 | 0 | 0 | 0 | 0 | 1 | 1x25/25 | 2.577 | 1.2 | 2.3 | 0.22 | 0.11 | 219.09 | 0.4 | 0.48 | 0 | 0.00 | 3.53 | 1.91 | 0.0 | 0.00 | 219.82 | 0.1 | 0.000 |
| 28 | 57.6 | 0 | 0 | 0 | 0 | 1 | 1x25/25 | 2.577 | 1.2 | 2.3 | 0.34 | 0.17 | 218.92 | 0.5 | 0.73 | 0 | 0.00 | 3.53 | 1.91 | 0.0 | 0.00 | 219.82 | 0.1 | 0.000 |
| 29 | 26.8 | 0 | 0 | 0 | 0 | 1 | 1x25/25 | 2.577 | 1.2 | 2.3 | 0.16 | 0.08 | 218.84 | 0.5 | 0.34 | 0 | 0.00 | 3.53 | 1.91 | 0.0 | 0.00 | 219.82 | 0.1 | 0.000 |
| 30 | 29.1 | 1 | 0 | 0.2 | 0 | 1 | 1x25/25 | 2.577 | 1.2 | 2.3 | 0.17 | 0.09 | 218.75 | 0.6 | 0.37 | 0 | 0.00 | 3.53 | 1.91 | 0.0 | 0.00 | 219.82 | 0.1 | 0.000 |
| 31 | 47.9 | 0 | 0 | 0 | 0 | 0.8 | 1x25/25 | 2.577 | 1.2 | 1.8 | 0.22 | 0.11 | 218.64 | 0.6 | 0.37 | 0 | 0.00 | 3.53 | 1.91 | 0.0 | 0.00 | 219.82 | 0.1 | 0.000 |
| 32 | 59.7 | 2 | 0 | 0.4 | 0 | 0.4 | 1x25/25 | 2.577 | 1.2 | 0.9 | 0.14 | 0.07 | 218.57 | 0.7 | 0.12 | 0 | 0.00 | 3.53 | 1.91 | 0.0 | 0.00 | 219.82 | 0.1 | 0.000 |
| 33 | 28.7 | 2 | 0 | 0.4 | 0 | 0.4 | 1x25/25 | 2.577 | 1.2 | 0.9 | 0.07 | 0.04 | 218.6 | 0.6 | 0.06 | 0 | 0.00 | 3.53 | 1.91 | 0.0 | 0.00 | 219.82 | 0.1 | 0.000 |

Fuente: Elaboración Propia

5.6.2. Cálculos mecánicos

5.6.2.1. Distancias mínimas del conductor a superficie del terreno

- a) En lugares accesibles sólo a peatones: 5,0 m.
- b) En zonas no accesibles a vehículos a personas: 3,0 m.
- c) En lugares con circulación de maquinaria agrícola: 6,0 m.
- d) A lo largo de calles y caminos en zonas urbanas: 6,0 m.
- e) En cruce de calles, avenidas y vías férreas: 6,5 m.

Los cálculos mecánicos tienen la finalidad de determinar las tensiones y Flechas en las diversas condiciones de operación.

Tabla N° 17: Características de los cables autoportantes⁵⁶

| FORMACION | SECCION DEL CONDUCTOR PORTANTE (mm ²) | DIAM EXTERIOR TOTAL (mm) | MASA TOTAL (kg/m) | MODULO DE ELAST.DEL PORTANTE (kN/mm ²) | COEFICIENTE DE DILAT. TERMICA (1/°C) |
|------------|---|--------------------------|-------------------|--|--------------------------------------|
| 3x35+16/25 | 25 | 20,0 | 0,481 | 60,82 | 21x10-6 |
| 3x25+16/25 | 25 | 18,5 | 0,397 | 60,82 | 21x10-6 |
| 3x16+16/25 | 25 | 16,5 | 0,310 | 60,82 | 21x10-6 |
| 3x35/25 | 25 | 20,0 | 0,419 | 60,82 | 21x10-6 |
| 3x25/25 | 25 | 18,5 | 0,336 | 60,82 | 21x10-6 |
| 3x16/25 | 25 | 16,5 | 0,249 | 60,82 | 21x10-6 |
| 2x35+16/25 | 25 | 20,0 | 0,362 | 60,82 | 21x10-6 |
| 2x25+16/25 | 25 | 18,5 | 0,307 | 60,82 | 21x10-6 |
| 2x16+16/25 | 25 | 16,5 | 0,249 | 60,82 | 21x10-6 |
| 2x16/25 | 25 | 16,5 | 0,187 | 60,82 | 21x10-6 |
| 1x16/25 | 25 | 16,5 | 0,125 | 60,82 | 21x10-6 |

⁵⁶ (RD031-2003-EM 2003)

Características de los postes de concreto armado

Tabla N° 18: Características De Los Postes De Concreto Armado

| | | |
|---|------|------|
| Longitud del poste (m) | 8 | 8 |
| Longitud de empotramiento del poste (m) | 1,0 | 1,0 |
| Diámetro mínima en la cabeza (mm) | 120 | 120 |
| Diámetro mínima en la base (mm) | 240 | 240 |
| Diámetro de empotramiento (mm) | 225 | 225 |
| Altura donde se aplica la fuerza del viento (m) | 3,14 | 3,14 |
| Carga de trabajo a 0,15 m de la cabeza (kg) | 200 | 300 |
| Carga de rotura (kg) | 400 | 400 |
| Masa por unidad (kg) | 385 | 406 |

Fuente: Elaborado por el propio Autor

Con relación a los soportes para redes secundarias utilizaremos la norma:
especificaciones técnicas de soportes normalizados para líneas y redes
primarias para electrificación rural⁵⁷

⁵⁷ (RD024-2003-EM 2003)

5.6.3. Presupuesto referencial del sistema eólico - fotovoltaico

5.6.3.1. Costo del sistema eólico- fotovoltaico

Tabla N° 19: valor referencial para el suministro de materiales para el sistema eólico-fotovoltaico⁵⁸

| Descripción | Costo/unitario (S/.) | Costo (S.) |
|---|---------------------------------|-------------------|
| 01 Aerogenerador E70 PRO de 5kW, incluido controlador eólico | 30 110,19 | 30 110,19 |
| 01 Torre de 15 m, más extensión de 4m , incluyendo accesorios | 13 163,56 | 13 163,56 |
| 20 paneles solares YINGLI SOLAR 250 Wp | 895,40 | 17 908,00 |
| 20 Baterías FORMULA STAR de 260 Ah | 1 341,03 | 26 820,60 |
| 01 Inversor MUST Solar de 10 kW | 6 734,24 | 6 734,24 |
| 02 estructura para 10 paneles solares | 2 370,30 | 4 740,60 |
| 01 Controlador 150/60 | 3 807,23 | 3 807,23 |
| Accesorios | 500,00 | 500,00 |
| Total, del Suministro | | 103 784,42 |

⁵⁸ Fuente: elaboración propia del autor

Tabla N° 20: costo directo del sistema eólico solar⁵⁹

| RESUMEN DEL VALOR REFERENCIAL - SISTEMA EOLICO SOLAR | | |
|--|--|-------------------|
| REDES SECUNDARIAS Y CONEXIONES DOMICILIARIAS 220 V, PARA : "DISEÑO DE UN SISTEMA HIBRIDO EOLICO SOLAR PARA LA GENERACION DE ENERGIA ELECTRICA PARA EL CASERIO VIRGEN DEL CARMEN DISTRITO DE JAEN PROVINCIA DE JAEN DEPARTAMENTO DE CAJAMARCA" | | |
| ITEM | DESCRIPCION | TOTAL |
| A | SUMINISTROS DE MATERIALES | 103 784,42 |
| B | MONTAJE ELECTROMECANICO | 8 302,75 |
| C | TRANSPORTE DE MATERIALES | 5 189,22 |
| F | TOTAL COSTO DIRECTO (C.D.) (S.) | 117 276,39 |

5.6.3.2. Costo del sistema de distribución

Tabla N° 21: presupuesto de La red secundaria- suministro⁶⁰

| ITEM | DESCRIPCION DE PARTIDAS | UND | PRECIO UNITARIO S/.. | COSTO PARCIAL S./. | METRADO PARCIAL |
|-------------|--|-----|----------------------|--------------------|-----------------|
| | SUMINISTRO DE MATERIALES | | | | |
| 1,00 | POSTES DE CONCRETO ARMADO CENTRIFUGADO | | | | |
| 1,01 | POSTE DE C.A.C. de 8 m/200/120/240 daN (INCLUYE PERILLA) | u | 430,00 | 8 170,00 | 19,00 |
| 1,02 | POSTE DE C.A.C. de 8 m/300/120/240 daN (INCLUYE PERILLA) | u | 460,00 | 5 520,00 | 12,00 |
| 2,00 | CABLES Y CONDUCTORES DE ALUMINIO | km | 6 451,80 | 7 096,98 | 1,10 |
| 2,01 | CONDUCTOR AUTOORTANTE DE ALUMINIO 2x25+16/25 mm ² | | | | |
| 3,00 | ACCESORIOS DE CABLES AUTOORTANTES | | | | |
| 3,01 | GRAPA DE SUSPENSION ANGULAR PARA CONDUCTOR DE ALEACION DE 25 mm ² | u | 7,50 | 105,00 | 14,00 |
| 3,02 | GRAPA DE ANCLAJE CONICA PARA CONDUCTOR DE ALEACION DE ALUMINIO DE 25 mm ² | u | 12,68 | 481,84 | 38,00 |
| 3,03 | CONECTOR PARA AL/AL CUÑA TIPO I | u | 12,50 | 300,00 | 24,00 |
| 3,04 | CONECTOR PARA AL/AL CUÑA TIPO II | u | 10,50 | 63,00 | 6,00 |
| 3,05 | CORREA PLASTICA DE AMARRE, COLOR NEGRA | u | 0,36 | 65,52 | 182,00 |
| 3,06 | CINTA AUTOFUNDENTE | m | 3,57 | 199,92 | 56,00 |
| 3,07 | CINTA AISLANTE SCOTCH3 | m | 1,50 | 42,00 | 28,00 |
| 3,08 | TERMINAL DE COMPRESION TIPO AGUJA PARA CONDUCTOR DE 16 mm ² | u | 12,53 | 25,06 | 2,00 |
| 3,09 | TERMINAL DE COMPRESION TIPO AGUJA PARA CONDUCTOR DE 25 mm ² | u | 17,55 | 70,20 | 4,00 |
| 3,10 | TERMINAL DE COMPRESION TIPO OREJERA PARA CONDUCTOR DE 25 mm ² | u | 18,22 | 36,44 | 2,00 |
| 4,00 | CABLES Y CONDUCTORES DE COBRE | | | | |
| 4,01 | CONDUCTOR DE COBRE RECOCIDO, TIPO N2XY, BIPOLEAR, 2 x 2,5 mm ² | m | 7,50 | 180,00 | 24,00 |
| 4,02 | CONDUCTOR DE COBRE CONCENTRICO, 2 x 4 mm ² , CON AISLAMIENTO Y CUBIERTA DE PVC | m | 6,50 | 3 965,00 | 610,00 |
| 4,03 | CONDUCTOR DE Cu RECOCIDO, CABLEADO, DE 25 mm ² | m | 8,50 | 595,00 | 70,00 |
| 5,00 | LUMINARIAS, LAMPARAS Y ACCESORIOS | | | | |
| 5,01 | PASTORAL TUBO A°G° 38 mm Ø INTERIOR, 1500 mm AVANCE HORIZONTAL, 1100 mm ALTURA Y 20° INCLINACION, PROVISTO DE 2 ABRAZADERAS DOBLES DE 120 mm Ø PARA POSTE DE CONCRETO DE 8m Y DE 250 mm Ø PARA POSTE DE CONCRETO DE 13m. | u | 75,56 | 604,48 | 8,00 |
| 5,02 | LUMINARIA COMPLETA MODELO NOVA DE JOSFEL O SIMILAR CON EQUIPO PARA LÁMPARA DE VAPOR DE SODIO ALTA PRESIÓN HST DE 50 W (TIPO MONOCUERPO INCLUYE FUSIBLE) | u | 250,50 | 2 004,00 | 8,00 |
| 5,03 | LÁMPARA DE VAPOR DE SODIO DE ALTA PRESIÓN HST DE 50 W | u | 27,56 | 220,48 | 8,00 |
| 5,04 | CONECTOR BIMETÁLICO PARA AL/CU CUÑA TIPO III | u | 7,56 | 60,48 | 8,00 |
| 5,05 | CONECTOR BIMETÁLICO PARA AL/CU CUÑA TIPO IV | u | 5,65 | 45,20 | 8,00 |
| 5,06 | CINTA AUTOFUNDENTE | m | 3,57 | 28,56 | 8,00 |
| 5,07 | CINTA AISLANTE | m | 1,50 | 6,00 | 4,00 |
| 6,00 | RETENIDAS Y ANCLAJES | | | | |
| 6,01 | CABLE DE ACERO GRADO SIEMENS MARTIN, DE 10 mm ø, 7 HILOS | m | 4,80 | 811,20 | 169,00 |
| 6,02 | PERNO ANGULAR CON OJAL GUARDACABO DE A°G°, 16 mm Ø x 203 mm, PROVISTO DE TUERCA Y CONTRATUERCA | u | 8,88 | 159,84 | 18,00 |
| 6,03 | AISSLADOR TIPO TRACCIÓN DE PORCELANA, CLASE ANSI 54-1 | u | 25,78 | 541,38 | 21,00 |
| 6,04 | VARILLA DE ANCLAJE DE A° G° de 16 mm ø x 2,40 m, PROV. DE OJAL GUARD. EN UN EXTREMO; TCA Y CTCA EN EL OTRO | u | 42,78 | 898,38 | 21,00 |
| 6,05 | ARANDELA DE ANCLAJE, de A° G°, 102 x 102 x 6,35 mm, AGUJERO DE 18 mmø | u | 5,50 | 115,50 | 21,00 |
| 6,06 | MORDAZA PREFORMADA DE A°G° PARA CABLE DE 10mmØ | u | 15,78 | 1 325,52 | 84,00 |
| 6,07 | SOPORTE DE CONTRAPUNTA DE 51 mm ø x 1000 mm DE LONGITUD, CON ABRAZADERA PARTIDA EN UN EXTREMO Y GRAPA DE AJUSTE PARA CABLE EN EL OTRO DE 150 mm.Ø DIAMETRO | u | 85,59 | 855,90 | 10,00 |
| 6,08 | ARANDELA CUADRADA CURVA DE A° G°, 57 x 57 x 5 mm, AGUJERO DE 18 mmø | u | 2,00 | 72,00 | 36,00 |
| 6,09 | ALAMBRE DE ACERO N° 12; PARA ENTORCHADO | m | 1,00 | 63,00 | 63,00 |
| 6,10 | BLOQUE DE CONCRETO DE 0,40 x 0,40 x 0,15 m | u | 38,50 | 808,50 | 21,00 |
| 6,11 | CANAleta GUARDACABLE DE A°G° 87mm x 1,6mm, 2,40 LONG. CON PERNO/SEGUR | u | 25,35 | 532,35 | 21,00 |
| 6,12 | ABRAZADERA PARA RETENIDA DE 120 mm ø x 100 mm x 5 mm, PROVISTO DE GUARDACABO | u | 45,53 | 136,59 | 3,00 |
| 7,00 | ACCESORIOS DE FERRETERIA PARA ESTRUCTURAS | | | | |
| 7,01 | PERNO CON GANCHO DE 16mm Ø, PROVISTO DE ARANDELA, TUERCA Y CONTRAT, LONG. 203 mm | u | 9,03 | 126,42 | 14,00 |
| 7,02 | PERNO DE A°G° DE 13mm Ø, PROVISTO DE TUERCA Y CONTRAT, LONG. 203 mm | u | 6,56 | 104,96 | 16,00 |
| 7,03 | PERNO DE A°G° de 13mm Ø, PROVISTO DE TUERCA Y CONTRAT, LONG. 305 mm | u | 7,22 | 14,44 | 2,00 |
| 7,04 | PERNO CON OJAL, DE A°G° de 16mm Ø, PROVISTO DE TUERCA Y CONTRAT, LONG. 203 mm | u | 9,54 | 209,88 | 22,00 |
| 7,05 | PERNO CON OJAL, DE A°G° de 16mm Ø, PROVISTO DE TUERCA Y CONTRAT, long. 305 mm | u | 12,78 | 38,34 | 3,00 |
| 7,06 | TUERCA-OJAL DE A°G° PARA PERNO DE 16 mmØ | u | 6,50 | 84,50 | 13,00 |
| 7,07 | ARANDELA CUADRADA CURVA DE A°G° 57x57 mm, AGUJERO DE 18mmØ | u | 2,00 | 164,00 | 82,00 |
| 7,08 | PORTALINEA UNIPOLAR DE A°G°, PROVISTO DE PIN DE 10 mm Ø | u | 6,65 | 239,75 | 35,00 |
| 8,00 | PUESTA A TIERRA | | | | |
| 8,01 | ELECTRODO DE ACERO RECUBIERTO DE COBRE DE 16 mm ø x,2,40 m | u | 45,35 | 317,45 | 7,00 |
| 8,02 | CONECTOR DE BRONCE PARA ELECTRODO DE 16 mm Ø Y CONDUCTOR DE COBRE 25 mm ² | u | 6,32 | 44,24 | 7,00 |
| 8,03 | CONECTOR BIMETÁLICO PARA AL/CU CUÑA TIPO I | u | 12,50 | 87,50 | 7,00 |
| 8,04 | CAJA REGISTRO CIRCULAR DE CONCRETO PARA PUESTA A TIERRA 396 mm ø x 300 mm | u | 35,50 | 248,50 | 7,00 |
| 8,05 | TUBO PLASTICO DE PVC SAP DE 19 mmØ DE 3m DE LONGITUD | u | 4,50 | 31,50 | 7,00 |
| 8,06 | BENTONITA SODICA DE 30kg | Bls | 23,50 | 329,00 | 14,00 |
| 8,07 | CINTA AUTOFUNDENTE | m | 3,57 | 24,99 | 7,00 |
| 8,08 | CINTA AISLANTE | m | 1,50 | 5,25 | 3,50 |
| 9,00 | CONEXIONES DOMICILIARIAS | | | | |
| 9,01 | TUBO DE A°G° STANDARD / REDONDO DE 19 mm Ø x 1,5 mm x 2,5 m, PROVISTO DE CODO | u | 38,56 | 347,04 | 9,00 |
| 9,02 | TUBO DE A°G° STANDARD / REDONDO DE 19 mm Ø x 1,5 mm x 4,0 m, PROVISTO DE CODO | u | 55,36 | 387,52 | 7,00 |
| 9,03 | TUBO DE A°G° STANDARD / REDONDO DE 38 mm Ø x 2 mm x 6,0 m, PROVISTO DE CODO | u | 95,45 | 954,50 | 10,00 |
| 9,05 | TUBO DE A°G° STANDARD / REDONDO DE 38 mm Ø x 2 mm x 4,0 m, PROVISTO DE CODO | u | 65,45 | 130,90 | 2,00 |
| 9,06 | ARMELLA TIRAFONDO DE 10 mm Ø x 64 mm DE LONGITUD | u | 0,84 | 5,88 | 7,00 |
| 9,07 | TARUGO DE CEDRO DE 13 mm x 50 mm | u | 0,18 | 1,26 | 7,00 |
| 9,08 | ALAMBRE GALVANIZADO N° 12 AWG | m | 0,80 | 66,40 | 83,00 |
| 9,09 | CONECTOR BIMETÁLICO PARA AL/CU CUÑA TIPO III | u | 7,56 | 423,36 | 56,00 |
| 9,10 | TEMPLADOR DE A°G° | u | 2,90 | 174,00 | 60,00 |
| 9,11 | CAJA PORTAMEVIDOR MONOFÁSICA DE MATERIAL POLIMÉRICO, EQUIPADO CON INTERRUPTOR TERMOMAGNETICO 15A | u | 60,00 | 1 680,00 | 28,00 |
| 9,12 | MEDIDOR MONOFÁSICO DE ENERGÍA ACTIVA, TIPO ELECTRÓNICO CON MICRO PROCESADOR DE 220V:10-40A, 50Hz, CLASE 1 | u | 65,23 | 1 826,44 | 28,00 |
| 9,12 | CINTA AUTOFUNDENTE | m | 3,57 | 99,96 | 28,00 |
| 9,13 | CINTA AISLANTE | m | 1,50 | 21,00 | 14,00 |

82670,34

Tabla N° 22: Montaje de la red secundaria⁶¹

| | | | | | |
|------------------|--|-----|----------|----------|-------|
| 1,00 | MONTAJE ELECTROMECANICO | | | | |
| 1,01 | OBRAS PRELIMINARES VERIFICACION DE UBICACIÓN DE ESTRUCTURAS DE REDES SECUNDARIAS | Loc | 731,28 | 731,28 | 1,00 |
| 2,00 | INSTALACIÓN DE POSTES | | | | |
| 2,01 | EXCAVACIÓN EN TERRENO TIPO I (ARCILLOSO Y CONGLOMERADO) | m3 | 71,93 | 848,77 | 11,80 |
| 2,02 | EXCAVACIÓN EN TERRENO TIPO II (ROCO) | m3 | 206,46 | 270,46 | 1,31 |
| 2,03 | TRANSPORTE DE POSTE DE 8 m/200/120/240 daN DE ALMACEN A PUNTO DE IZAJE | u | 152,72 | 2 901,68 | 19,00 |
| 2,04 | TRANSPORTE DE POSTE DE 8 m/300/120/240 daN DE ALMACEN A PUNTO DE IZAJE | u | 164,04 | 1 968,48 | 12,00 |
| 2,05 | IZAJE, IDENTIFICACIÓN Y SEÑALIZACIÓN DE POSTE DE 8 m/200/120/240 daN | u | 93,57 | 1 777,83 | 19,00 |
| 2,06 | IZAJE, IDENTIFICACIÓN Y SEÑALIZACIÓN DE POSTE DE 8 m/300/120/240 daN | u | 108,14 | 1 297,68 | 12,00 |
| 2,07 | CIMENTACIÓN CON CONCRETO CICLÓPEO DE POSTE DE 8m EN TERRENO TIPO I (ARCILLOSO Y CONGLOMERADO) | u | 129,40 | 4 011,40 | 31,00 |
| 2,08 | SOLADO DE CONCRETO Fc 140 kg/cm ² | u | 20,00 | 620,00 | 31,00 |
| 3,00 | INSTALACION DE RETENIDAS | | | | |
| 3,01 | EXCAVACIÓN EN TERRENO TIPO I (ARCILLOSO Y CONGLOMERADO) | m3 | 71,93 | 1 317,04 | 18,31 |
| 3,02 | EXCAVACIÓN EN TERRENO TIPO II (ROCO) | m3 | 206,46 | 811,39 | 3,93 |
| 3,03 | INSTALACIÓN DE RETENIDA INCLINADA | u | 51,10 | 562,10 | 11,00 |
| 3,04 | INSTALACIÓN DE RETENIDA VERTICAL | u | 59,35 | 593,50 | 10,00 |
| 3,05 | RELLENO Y COMPACTACIÓN DE RETENIDA EN TERRENO TIPO I | m3 | 63,11 | 1 129,04 | 17,89 |
| 3,06 | RELLENO Y COMPACTACIÓN DE RETENIDA EN TERRENO TIPO II | m3 | 65,54 | 251,67 | 3,84 |
| 4,00 | MONTAJE DE ARMADOS | | | | |
| 4,01 | ARMADO TIPO E1/S, SIN CAJA DE DERIVACIÓN PARA ACOMETIDA | u | 20,29 | 202,90 | 10,00 |
| 4,02 | ARMADO TIPO E'1/S, SIN CAJA DE DERIVACIÓN PARA ACOMETIDA | | 21,90 | 21,90 | 1,00 |
| 4,02 | ARMADO TIPO E2/S, SIN CAJA DE DERIVACIÓN PARA ACOMETIDA | u | 25,53 | 25,53 | 1,00 |
| 4,03 | ARMADO TIPO E3/S, SIN CAJA DE DERIVACIÓN PARA ACOMETIDA | u | 20,10 | 180,90 | 9,00 |
| 4,04 | ARMADO TIPO E4/S, SIN CAJA DE DERIVACIÓN PARA ACOMETIDA | u | 25,53 | 178,71 | 7,00 |
| 4,05 | ARMADO TIPO E5/S, SIN CAJA DE DERIVACIÓN PARA ACOMETIDA | u | 32,97 | 65,94 | 2,00 |
| 4,06 | ARMADO TIPO E6/S, SIN CAJA DE DERIVACIÓN PARA ACOMETIDA | u | 39,47 | 78,94 | 2,00 |
| 4,07 | ARMADO TIPO E'3/S, CON CAJA DE DERIVACIÓN PARA ACOMETIDA | u | 21,69 | 43,38 | 2,00 |
| 4,08 | ARMADO TIPO E'4/S, CON CAJA DE DERIVACIÓN PARA ACOMETIDA | u | 28,50 | 57,00 | 2,00 |
| 5,00 | MONTAJE DE CONDUCTORES AUTOORTANTES | | | | |
| 5,01 | CONDUCTOR AUTOORTANTE DE ALUMINIO 2x25+16/25 mm ² | km | 1 068,26 | 1 175,09 | 1,10 |
| 6,00 | INSTALACION DE PUESTA A TIERRA | | | | |
| 6,01 | EXCAVACIÓN EN TERRENO TIPO I (ARCILLOSO Y CONGLOMERADO) | m3 | 71,93 | 649,53 | 9,03 |
| 6,02 | EXCAVACIÓN EN TERRENO TIPO II (ROCO) | m3 | 206,46 | 386,08 | 1,87 |
| 6,03 | INSTALACION DE PUESTA A TIERRA TIPO PAT-1 | u | 33,23 | 232,61 | 7,00 |
| 6,04 | RELLENO Y COMPACTACIÓN DE PUESTA A TIERRA TIPO PAT-1 CON MATERIAL ADECUADO. | m3 | 87,41 | 891,58 | 10,20 |
| 7,00 | PASTORALES, LUMINARIAS Y LÁMPARAS | | | | |
| 7,01 | INSTALACIÓN DE PASTORAL DE A° G° | u | 26,26 | 210,08 | 8,00 |
| 7,02 | INSTALACIÓN DE LUMINARIA, LÁMPARA Y ACCESORIOS | u | 48,19 | 385,52 | 8,00 |
| 8,00 | CONEXIONES DOMICILIARIAS | | | | |
| 8,01 | CONEXIÓN DE ACOMETIDAS DOMICILIARIAS, CONFIGURACIÓN: CORTA EN MURETE | u | 34,46 | 103,38 | 3,00 |
| 8,02 | CONEXIÓN DE ACOMETIDAS DOMICILIARIAS, CONFIGURACIÓN: LARGA EN MURETE | u | 48,66 | 97,32 | 2,00 |
| 8,03 | CONEXIÓN DE ACOMETIDAS DOMICILIARIAS, CONFIGURACIÓN: CORTA | u | 43,80 | 569,40 | 13,00 |
| 8,04 | CONEXIÓN DE ACOMETIDA DOMICILIARIAS, CONFIGURACIÓN: LARGA | u | 54,78 | 547,80 | 10,00 |
| 8,05 | INSTALACIÓN DE MEDIDOR MONOFÁSICO DE ENERGÍA ACTIVA Y CAJA | u | 15,53 | 434,84 | 28,00 |
| 8,06 | CONTRASTE DE MEDIDOR MONOFÁSICO DE ENERGÍA ACTIVA - ELECTRÓNICO | u | 21,75 | 609,00 | 28,00 |
| 8,07 | MURETE DE CONCRETO DE 1,80 m DE ALTURA LIBRE Y 0,30m DE PROFUNDIDAD. Fc=175 kg/cm ² . INCLUYE TRANSPORTE (ACORDE A LAMINA DE DETALLE RS-36) | u | 172,80 | 864,00 | 5,00 |
| 9,00 | PRUEBAS Y PUESTA EN SERVICIO | | | | |
| 9,01 | PRUEBAS Y PUESTA EN SERVICIO | Loc | 724,41 | 724,41 | 1,00 |
| 9,02 | EXPEDIENTES TÉCNICOS FINAL CONFORME A OBRA Y DE CONCESIÓN RURAL DE REDES SECUNDARIAS (1 ORIGINAL + 3 COPIAS), INCLUYE LA PRESENTACION DIGITALIZADA DE TEXTOS Y PLANOS EN CD. | Loc | 1 980,07 | 1 980,07 | 1,00 |
| 29 808,23 | | | | | |

⁶¹ Fuente: elaboración propia

Tabla N° 23: Costo directo de la red de distribución secundaria⁶²

| REDES SECUNDARIAS Y CONEXIONES DOMICILIARIAS 220 V, PARA : "DISEÑO DE UN SISTEMA HIBRIDO EOLICO SOLAR PARA LA GENERACION DE ENERGIA ELECTRICA PARA EL CASERIO VIRGEN DEL CARMEN DISTRITO DE JAEN PROVINCIA DE JAEN DEPARTAMENTO DE CAJAMARCA" | | |
|--|--|-----------------------|
| RESUMEN GENERAL DE REDES SECUNDARIAS | | |
| ITEM | DESCRIPCION | TOTAL (S.) |
| A | SUMINISTROS DE MATERIALES | 82 670,34 |
| B | MONTAJE ELECTROMECANICO | 29 808,23 |
| C | TRANSPORTE DE MATERIALES | 6 613,63 |
| F | TOTAL COSTO DIRECTO (C.D.) (S.) | 119 092,20 |

⁶² Fuente: elaboración propia del autor

5.6.3.1. Costo total del sistema eólico solar

Tabla N° 24: Costo total del sistema eólico solar⁶³

| <i>REDES SECUNDARIAS Y CONEXIONES DOMICILIARIAS 220 V, PARA : "DISEÑO DE UN SISTEMA HIBRIDO EOLICO SOLAR PARA LA GENERACION DE ENERGIA ELECTRICA PARA EL CASERIO VIRGEN DEL CARMEN DISTRITO DE JAEN PROVINCIA DE JAEN DEPARTAMENTO DE CAJAMARCA"</i> | | |
|---|---|-------------------|
| ITEM | DESCRIPCION | TOTAL |
| A | PRESUPUESTO DE LA RED DE DISTRIBUCION | 119 092,20 |
| B | PRESUPUESTO DEL SISTEMA HIBRIDO EOLICO SOLAR | 117 276,39 |
| | TOTAL S/. | 236 368,59 |
| C | GASTOS GENERALES | 18 909,49 |
| D | UTILIDADES | 18 909,49 |
| E | COSTO TOTAL SIN I.G.V. (S/.) | 274 187,57 |
| F | I.G.V. (S/.) | 49 353,76 |
| G | VALOR REFERENCIAL (S/.) | 323 541,33 |
| H | CAPACITACION (S/.) | 3 000,00 |
| PRESUPUESTO TOTAL (S/.) | | 326 541,33 |

⁶³ Fuente: elaboración propia del autor

CAPITULO VI: CONCLUSIONES

6.1. Conclusiones

- a) La energía promedia diaria requerida por el caserío Virgen del Carmen es de 18,258 kWh, con una máxima demanda de 6,286 kW.
- b) Según el SENAMHI se ha obtenido un valor de 4,75 kWh/m²/día y según el software SOLARIUS PLUS 6,15 kWh/m²/día. Para el dimensionamiento se ha considerado 4,75 kWh/m²/día. Con respecto de la velocidad del viento se ha obtenido los valores de la estación meteorológica automática Chota. Los datos se encuentran en el **ANEXO 01.**
- c) Se dimensionó el sistema eólico- solar el cual está compuesto por 01 aerogenerador ENAIR 70 PRO de 5kW, 20 paneles fotovoltaicos yingli solar de 250 Wp, 20 baterías de 260 Ah, 02 controladores de carga 150/60 y 01 inversor 48/10 000-230 V.
- d) El Costo referencial para el sistema eólico- fotovoltaico es de S/. 326 541,33

BIBLIOGRAFÍA

- 1) Agustin Castejon, German Santamaria. *instalaciones solares fotovoltaicas.* España, s.f.
- 2) Alata Rey, Josue Eliezer. *Dimensionamiento de un sistema de bombeo con paneles solares- caso UNALM.* Lima, 2015.
- 3) Cabrera peña, Ignacio, y Rigoberto Fermin Montiel. «Celdas fotovoltaicas para energizar un sistema de bombeo de agua.» Mexico, 2003.
- 4) Campuzano Bautista, Luis David, y Carlos Javier Campuzano Bautista. *Estudio de perfil de un sistema fotovoltaico para bombeo de agua en la comunidad de San Antonio del municipio Dirimaba.* Managua, 2016.
- 5) Canales Ciudad, Carlos. «Guia solar fotovoltaica 2012.» 2012.
- 6) Castejon, Agustin. *Instalaciones solares fotovoltaicas.* España, 1998.
- 7) Cerdan Cabrera, Ana Maria. «Diseño de un sistema solar eolico para consumo de agua en cabañas ecoturisticas en la Pitaya Veracruz Mexico.» Veracruz, 2011.
- 8) CHAVEZ SOTO, JUAN CARLOS, y JUAN PABLO MEDINA SANCHEZ. «"ESTUDIO Y DIMENSIONAMIENTO DE UN SISTEMA HÍBRIDO EÓLICO SOLAR PARA EL ALUMBRADO DE LAS VÍAS Y EL CERCO PERIMÉTRICO DEL CAMPUS UNIVERSITARIO DE LA UNIVERSIDAD NACIONAL DEL SANTA".» CHIMBOTE, 2014.
- 9) CORONEL VILLAVICENCIO, IVAN ALBERTO. «"ESTUDIO DE SISTEMAS HIBRIDOS CON SEGUIMIENTO SOLAR PARA LA COMUNIDAD DE YUWINTS EN EL ORIENTE ECUATORIANO".» Leiria, 2017.
- 10) Diaz Corcobado, Tomas. *Instalaciones solares fotovoltaicas.* Mexico, 2008.
- 11) DIAZ GALINOS, LUIS ALVARO. «"ANALISIS ENERGETICO DE UN SISTEMA HIBRIDO EOLICO-FOTOVOLTAICO EN EL SECTOR TIPICO IV UTILIZANDO EL METODO DE SERIES SINTETICAS" .» HUANCAYO, 2010.
- 12) Energia Innovadora. «Cotizacion del sistema fotovoltaico de bombeo de agua.» 2017.
- 13) Fernandez zayas, Jose Lius. «Diseño de un aerogenerador de eje vertical.» Mexico, 2010.
- 14) FOTOVOLTAICA, ENERGIA. «manual sobre tecnologias, proyecto e instalacao .» s.f.

- 15)GÓMEZ ARBOLEDA, CARLOS ANDRÉS, y HELENA PATRICIA MORA MADRIGAL. «"SISTEMAS HÍBRIDOS EÓLICO-SOLAR Y EÓLICO-DIESEL (ES/ED)".» Medellin, 2009.
- 16)Heras Sanchez, Miguel Armando. «Análisis de un sistema de riego automatizado alimentado por energía fotovoltaica utilizando PLC.» Ecuador, 2017.
- 17)Herbas Morerira, Jhonatan Alberto, y Miguel Fernando Moscoso Noroña. «“ANÁLISIS DEL POTENCIAL EÓLICO Y SOLAR PARA LA IMPLEMENTACIÓN DE UN SISTEMA HÍBRIDO DE GENERACIÓN ELÉCTRICA EN BASE AL USO DE ENERGÍAS ALTERNATIVAS EN EL PÁRAMO CHALUPAS, PERIODO 2015.”.» Latacunga-Ecuador, 2015.
- 18)Hernandez Quijaita, Luis Eugenio. «Bombeo de agua con energia solar en el departamento de Ica.» Ica, s.f.
- 19)HUALPA HUAMANÍ, MAIMER TOMÁS. «“ESTUDIO DE FACTIBILIDAD DE SISTEMAS HÍBRIDOS EÓLICO-SOLAR EN EL DEPARTAMENTO DE MOQUEGUA”.» LIMA, 2006.
- 20)Ixtebe Portabelle, Cilveti. «Proceso de creacion de una planta solar fotovoltaica conectada a red.» Barcelona, 2010.
- 21)Joachin Barrios, Carmencita De los Angeles. «Diseño de un sistema solar fotovoltaico aisado para el suministro de energia electrica ala comunidad Buena Vista, San Marcos.» Guatemala, 2008.
- 22)Lima Solares, Job Lizardo. «Control electronico de un sistema de bombeo de agua accionado por energia solar.» 1997.
- 23)Llaucha Chozo, Anthony Joel. «“IMPLEMENTACIÓN DE SISTEMA FOTOVOLTAICO PARA REDUCIR EL CONSUMO DE COMBUSTIBLES FÓSILES EN LA GENERACIÓN DE ENERGÍA ELÉCTRICA EN EL RESTAURANT EL CRUCEÑITO, UBICADO EN EL KM 901, CARRETERA LAMBAYEQUE – PIURA”.» Lambayeque, 2016.
- 24)Maldonado Rodas, Eddi Alberth. «Paneles solares como fuente de energía eléctrica para sistemas de mini riego en producción de hortalizas en el departamento de quiché.» 2011.
- 25)Moran Santamaria, Jorge Maximo. «Análisis y Evaluación para la Viabilidad Técnico Económico en el uso de la Energía Solar Fotovoltaica para el Centro Poblado Cruz de Pañalá – Distrito de Mórrope.» Lambayeque, 2013.
- 26)Muñoz Anticona, Delfor Flavio. «Aplicacion de la energia solar para electrificacion rural en zonas marginales del pais.» Lima, 2005.

- 27)Natael Elenes, Felix. «Análisis de factibilidad de un sistema de bombeo de agua con energía solar como propuesta de adaptación para riego en rayón, Sonora.» Sonora, 2012.
- 28)Natanael Elenes, Felix. «Análisis de factibilidad de un sistema de bombeo de agua con energía solar como propuesta de adaptación para riego en rayón, Sonora.» 2012.
- 29)Paredes Rubio, Arturo Romero. «Guia para el desarrollo de proyectos de bombeo de agua con energia fotovoltaica.» Mexico, 2001.
- 30)RD031-2003-EM. «Bases para el Diseño de Líneas y redes Secundarias con Conductor Autoportante para Electrificación Rural.» LIOMA, 2003.
- 31)Salmeron Rodrigues, David Antonio, y Jimmy Alexander Blando Rivas. «“ESTUDIO DE PREINVERSION DE UN SISTEMA FOTOVOLTAICO PARA BOMBEO DE AGUA EN LA COMUNIDAD DE SAN ANTONIO DEL MUNICIPIO DE JINOTEPE”.» Managua, 2014.
- 32)Santillán Tituaña, Alberto. «"ESTUDIO DE LA INCORPORACIÓN DE BATERIAS EN SISTEMAS FOTOVOLTAICOS".» BARCELONA, 2015-2016.
- 33)SENAMHI. «Atlas de energia solar del Peru.» 2003.
- 34)Toapanta Aguilar, Rodrigo Sebastian, y Jorge Lius Hidalgo Guerrero. «Análisis e implementación de una pico central híbrida solar eólica para generar 500w en la hacienda “La Merced” ubicada en el barrio Santa Ana del Pedregal, Parque Nacional Cotopaxi en el periodo 2014.» Ecuador, 2016.
- 35)Valdiviezo Salas, Paulo Daniel. «Diseño de un sistema fotovoltaico para el suministro de energia electrica a 15 computadoras portatiles en la PUCP.» Lima, 2014.
- 36)Velazquez Cespedes, Roberto Andres. «Proyecto de instalacion solar fotovoltaica en el departamento de Ingenieria Electrica de la Uniersidad Santiago de Chile.» tesis, Uniersidad de Santiago de Chile, Santiago-Chile, 2012.

ANEXOS

ANEXO N°01. DATOS DE LA VELOCIDAD DEL VIENTO DE LA ESTACIÓN METEOROLÓGICA FIME

ANEXO N°02. VELOCIDAD DEL VIENTO A 19 m DE ALTURA

ANEXO N°03. FICHA TÉCNICA DEL AEROGENERADOR ENAIR 70 PRO

ANEXO N°04. FICHA TÉCNICA DE LOS PANELES FOTOVOLTAICOS YINGLI SOLAR DE 250 Wp

ANEXO N°05. FICHA TÉCNICA DEL CONTROLADOR 150 /60 VICTRON ENERGY

ANEXO N°06. FICHA TÉCNICA DE LA BATERÍA DE 260 A.h

ANEXO N°07. FICHA TÉCNICA DEL INVERSOR VICTRON ENERGY

10 000 W

ANEXO N°08. FICHA TÉCNICA DE CABLES NY

ANEXO N° 09. SISTEMA EÓLICO SOLAR

ANEXO N° 10. RED DE DISTRIBUCIÓN SECUNDARIA

ANEXO N° 11. CARACTERÍSTICAS DE LOS CABLES AUTOPORTANTES

**ANEXO N°01. DATOS DE LA VELOCIDAD DEL VIENTO DE
LA ESTACIÓN METEOROLÓGICA FIME**

| Fecha | Hora | v(m/s) | Dir.(°) |
|------------|----------|--------|---------|------------|----------|--------|---------|------------|----------|--------|---------|------------|----------|--------|---------|
| 01/03/2017 | 00:00:00 | 0,3 | 252 | 01/03/2017 | 01:00:00 | 0,5 | 230 | 01/03/2017 | 03:00:00 | 1,3 | 12 | 01/03/2017 | 04:00:00 | 0,4 | 243 |
| 01/03/2017 | 05:00:00 | 0,3 | 164 | 01/03/2017 | 06:00:00 | 0,1 | 284 | 01/03/2017 | 07:00:00 | 0,7 | 9 | 01/03/2017 | 08:00:00 | 0,4 | 16 |
| 01/03/2017 | 09:00:00 | 0,5 | 64 | 01/03/2017 | 10:00:00 | 0,5 | 65 | 01/03/2017 | 11:00:00 | 0,6 | 254 | 01/03/2017 | 12:00:00 | 2,1 | 23 |
| 01/03/2017 | 13:00:00 | 1,1 | 27 | 01/03/2017 | 14:00:00 | 1,3 | 331 | 01/03/2017 | 15:00:00 | 0,8 | 225 | 01/03/2017 | 16:00:00 | 1,8 | 8 |
| 01/03/2017 | 17:00:00 | 2,3 | 2 | 01/03/2017 | 18:00:00 | 0,4 | 114 | 01/03/2017 | 19:00:00 | 0,1 | 222 | 01/03/2017 | 21:00:00 | 0,7 | 156 |
| 01/03/2017 | 22:00:00 | 0,5 | 340 | 01/03/2017 | 23:00:00 | 0,1 | 327 | 02/03/2017 | 00:00:00 | 0,3 | 172 | 02/03/2017 | 01:00:00 | 0,5 | 31 |
| 02/03/2017 | 02:00:00 | 0,3 | 224 | 02/03/2017 | 03:00:00 | 0,7 | 319 | 02/03/2017 | 04:00:00 | 0,8 | 108 | 02/03/2017 | 05:00:00 | 0,5 | 59 |
| 02/03/2017 | 06:00:00 | 0,9 | 88 | 02/03/2017 | 07:00:00 | 0,2 | 137 | 02/03/2017 | 09:00:00 | 1 | 303 | 02/03/2017 | 10:00:00 | 1,3 | 118 |
| 02/03/2017 | 11:00:00 | 0,6 | 224 | 02/03/2017 | 12:00:00 | 1,8 | 42 | 02/03/2017 | 13:00:00 | 2,5 | 329 | 02/03/2017 | 14:00:00 | 3 | 34 |
| 02/03/2017 | 15:00:00 | 2,9 | 246 | 02/03/2017 | 16:00:00 | 2,6 | 251 | 02/03/2017 | 17:00:00 | 1,6 | 273 | 02/03/2017 | 18:00:00 | 3,1 | 5 |
| 02/03/2017 | 19:00:00 | 2,1 | 2 | 02/03/2017 | 20:00:00 | 1,8 | 335 | 02/03/2017 | 21:00:00 | 0,7 | 359 | 02/03/2017 | 22:00:00 | 0,7 | 2 |
| 02/03/2017 | 23:00:00 | 0,1 | 259 | 03/03/2017 | 00:00:00 | 0,6 | 11 | 03/03/2017 | 01:00:00 | 0,4 | 359 | 03/03/2017 | 02:00:00 | 0,6 | 272 |
| 03/03/2017 | 03:00:00 | 0,8 | 279 | 03/03/2017 | 04:00:00 | 0,1 | 209 | 03/03/2017 | 05:00:00 | 0,7 | 2 | 03/03/2017 | 06:00:00 | 0,5 | 266 |
| 03/03/2017 | 07:00:00 | 0,8 | 125 | 03/03/2017 | 08:00:00 | 0,6 | 57 | 03/03/2017 | 09:00:00 | 0,5 | 36 | 03/03/2017 | 10:00:00 | 1,2 | 278 |
| 03/03/2017 | 11:00:00 | 1,7 | 92 | 03/03/2017 | 12:00:00 | 1,8 | 336 | 03/03/2017 | 13:00:00 | 1,8 | 11 | 03/03/2017 | 14:00:00 | 2 | 14 |
| 03/03/2017 | 15:00:00 | 0,5 | 181 | 03/03/2017 | 16:00:00 | 0,7 | 3 | 03/03/2017 | 17:00:00 | 0,7 | 24 | 03/03/2017 | 18:00:00 | 1,4 | 174 |
| 03/03/2017 | 19:00:00 | 0,5 | 122 | 03/03/2017 | 20:00:00 | 0,2 | 197 | 03/03/2017 | 21:00:00 | 0,4 | 178 | 03/03/2017 | 22:00:00 | 0,2 | 36 |
| 03/03/2017 | 23:00:00 | 0,6 | 356 | 04/03/2017 | 00:00:00 | 0,8 | 259 | 04/03/2017 | 01:00:00 | 0,2 | 161 | 04/03/2017 | 02:00:00 | 1,6 | 173 |
| 04/03/2017 | 04:00:00 | 1 | 91 | 04/03/2017 | 05:00:00 | 0,7 | 146 | 04/03/2017 | 06:00:00 | 0,6 | 182 | 04/03/2017 | 07:00:00 | 0,1 | 71 |
| 04/03/2017 | 08:00:00 | 0,1 | 317 | 04/03/2017 | 09:00:00 | 1,8 | 127 | 04/03/2017 | 10:00:00 | 1,1 | 122 | 04/03/2017 | 11:00:00 | 1 | 154 |
| 04/03/2017 | 12:00:00 | 2,9 | 22 | 04/03/2017 | 13:00:00 | 2 | 327 | 04/03/2017 | 14:00:00 | 4,2 | 345 | 04/03/2017 | 15:00:00 | 0,2 | 210 |
| 04/03/2017 | 16:00:00 | 1,4 | 38 | 04/03/2017 | 17:00:00 | 3,4 | 338 | 04/03/2017 | 18:00:00 | 0,7 | 302 | 04/03/2017 | 19:00:00 | 0,2 | 301 |
| 04/03/2017 | 20:00:00 | 1,3 | 76 | 04/03/2017 | 21:00:00 | 0,8 | 24 | 04/03/2017 | 22:00:00 | 0,2 | 43 | 04/03/2017 | 23:00:00 | 0,1 | 244 |
| 05/03/2017 | 00:00:00 | 0,2 | 199 | 05/03/2017 | 01:00:00 | 0,5 | 250 | 05/03/2017 | 02:00:00 | 0,4 | 279 | 05/03/2017 | 03:00:00 | 0,5 | 250 |
| 05/03/2017 | 04:00:00 | 0,6 | 141 | 05/03/2017 | 05:00:00 | 0,1 | 17 | 05/03/2017 | 06:00:00 | 1 | 160 | 05/03/2017 | 07:00:00 | 0,1 | 131 |
| 05/03/2017 | 08:00:00 | 0,1 | 255 | 05/03/2017 | 09:00:00 | 1,6 | 354 | 05/03/2017 | 10:00:00 | 1,9 | 10 | 05/03/2017 | 11:00:00 | 1,8 | 43 |
| 05/03/2017 | 12:00:00 | 2,7 | 22 | 05/03/2017 | 13:00:00 | 2,6 | 345 | 05/03/2017 | 14:00:00 | 4,5 | 354 | 05/03/2017 | 15:00:00 | 4,3 | 341 |
| 05/03/2017 | 16:00:00 | 3,7 | 5 | 05/03/2017 | 17:00:00 | 3,8 | 339 | 05/03/2017 | 18:00:00 | 3,2 | 7 | 05/03/2017 | 19:00:00 | 1,6 | 347 |

| Fecha | Hora | v(m/s) | Dir.(°) |
|------------|----------|--------|---------|------------|----------|--------|---------|------------|----------|--------|---------|------------|----------|--------|---------|
| 06/03/2017 | 00:00:00 | 0,4 | 166 | 06/03/2017 | 02:00:00 | 0,7 | 242 | 06/03/2017 | 03:00:00 | 0,2 | 217 | 06/03/2017 | 04:00:00 | 0,3 | 224 |
| 06/03/2017 | 05:00:00 | 0,8 | 230 | 06/03/2017 | 06:00:00 | 0,6 | 177 | 06/03/2017 | 07:00:00 | 0,1 | 54 | 06/03/2017 | 08:00:00 | 1 | 344 |
| 06/03/2017 | 09:00:00 | 2,6 | 35 | 06/03/2017 | 10:00:00 | 5,7 | 21 | 06/03/2017 | 11:00:00 | 4 | 5 | 06/03/2017 | 12:00:00 | 0,9 | 22 |
| 06/03/2017 | 13:00:00 | 3,3 | 358 | 06/03/2017 | 14:00:00 | 2,2 | 61 | 06/03/2017 | 15:00:00 | 1,8 | 288 | 06/03/2017 | 16:00:00 | 3,1 | 273 |
| 06/03/2017 | 17:00:00 | 0,5 | 287 | 06/03/2017 | 18:00:00 | 1,1 | 339 | 06/03/2017 | 19:00:00 | 0,5 | 157 | 06/03/2017 | 20:00:00 | 0,1 | 12 |
| 06/03/2017 | 21:00:00 | 0,6 | 316 | 06/03/2017 | 22:00:00 | 0,9 | 10 | 06/03/2017 | 23:00:00 | 0,2 | 221 | 07/03/2017 | 00:00:00 | 0,1 | 168 |
| 07/03/2017 | 01:00:00 | 0,5 | 212 | 07/03/2017 | 02:00:00 | 0,1 | 5 | 07/03/2017 | 03:00:00 | 0,8 | 21 | 07/03/2017 | 04:00:00 | 0,5 | 131 |
| 07/03/2017 | 05:00:00 | 0,4 | 64 | 07/03/2017 | 06:00:00 | 0,2 | 239 | 07/03/2017 | 07:00:00 | 1,4 | 124 | 07/03/2017 | 08:00:00 | 0,2 | 97 |
| 07/03/2017 | 09:00:00 | 0,3 | 135 | 07/03/2017 | 10:00:00 | 2,2 | 343 | 07/03/2017 | 11:00:00 | 2,2 | 11 | 07/03/2017 | 12:00:00 | 2,6 | 18 |
| 07/03/2017 | 13:00:00 | 2,2 | 341 | 07/03/2017 | 14:00:00 | 2,3 | 13 | 07/03/2017 | 15:00:00 | 2,7 | 6 | 07/03/2017 | 16:00:00 | 1,7 | 284 |
| 07/03/2017 | 17:00:00 | 0,6 | 324 | 07/03/2017 | 18:00:00 | 0,3 | 227 | 07/03/2017 | 19:00:00 | 0,9 | 347 | 07/03/2017 | 20:00:00 | 1 | 332 |
| 07/03/2017 | 21:00:00 | 0,1 | 321 | 07/03/2017 | 22:00:00 | 0,5 | 278 | 07/03/2017 | 23:00:00 | 0,2 | 176 | 08/03/2017 | 00:00:00 | 0,5 | 331 |
| 08/03/2017 | 01:00:00 | 0,4 | 93 | 08/03/2017 | 02:00:00 | 0,4 | 328 | 08/03/2017 | 03:00:00 | 0,4 | 300 | 08/03/2017 | 04:00:00 | 0,8 | 67 |
| 08/03/2017 | 05:00:00 | 0,4 | 237 | 08/03/2017 | 06:00:00 | 0,5 | 102 | 08/03/2017 | 07:00:00 | 0,1 | 102 | 08/03/2017 | 08:00:00 | 0,9 | 128 |
| 08/03/2017 | 09:00:00 | 0,5 | 69 | 08/03/2017 | 10:00:00 | 2 | 342 | 08/03/2017 | 11:00:00 | 2,8 | 352 | 08/03/2017 | 12:00:00 | 1,5 | 35 |
| 08/03/2017 | 13:00:00 | 3,1 | 353 | 08/03/2017 | 14:00:00 | 1,5 | 86 | 08/03/2017 | 15:00:00 | 1,6 | 359 | 08/03/2017 | 16:00:00 | 1,4 | 291 |
| 08/03/2017 | 17:00:00 | 1,7 | 242 | 08/03/2017 | 18:00:00 | 0,5 | 90 | 08/03/2017 | 19:00:00 | 0,2 | 97 | 08/03/2017 | 20:00:00 | 0,8 | 122 |
| 08/03/2017 | 21:00:00 | 0,4 | 301 | 08/03/2017 | 22:00:00 | 0,5 | 105 | 08/03/2017 | 23:00:00 | 0,3 | 244 | 09/03/2017 | 00:00:00 | 0,2 | 268 |
| 09/03/2017 | 01:00:00 | 0,5 | 340 | 09/03/2017 | 02:00:00 | 0,4 | 134 | 09/03/2017 | 03:00:00 | 0,1 | 262 | 09/03/2017 | 04:00:00 | 0,2 | 209 |
| 09/03/2017 | 05:00:00 | 0,4 | 203 | 09/03/2017 | 06:00:00 | 0,2 | 265 | 09/03/2017 | 07:00:00 | 0,6 | 258 | 09/03/2017 | 08:00:00 | 0,3 | 109 |
| 09/03/2017 | 09:00:00 | 0,6 | 119 | 09/03/2017 | 10:00:00 | 0,3 | 158 | 09/03/2017 | 11:00:00 | 2,6 | 154 | 09/03/2017 | 12:00:00 | 0,7 | 88 |
| 09/03/2017 | 13:00:00 | 1,4 | 22 | 09/03/2017 | 14:00:00 | 1 | 214 | 09/03/2017 | 15:00:00 | 0,2 | 330 | 09/03/2017 | 16:00:00 | 2,9 | 351 |
| 09/03/2017 | 17:00:00 | 0,9 | 133 | 09/03/2017 | 18:00:00 | 2,5 | 342 | 09/03/2017 | 19:00:00 | 0,6 | 230 | 09/03/2017 | 20:00:00 | 0,5 | 355 |
| 09/03/2017 | 21:00:00 | 0,4 | 356 | 09/03/2017 | 22:00:00 | 0,5 | 299 | 09/03/2017 | 23:00:00 | 0,2 | 2 | 10/03/2017 | 01:00:00 | 0,8 | 3 |
| 10/03/2017 | 02:00:00 | 1,9 | 318 | 10/03/2017 | 03:00:00 | 0,2 | 222 | 10/03/2017 | 04:00:00 | 0,3 | 89 | 10/03/2017 | 05:00:00 | 0,1 | 304 |
| 10/03/2017 | 06:00:00 | 0,5 | 107 | 10/03/2017 | 07:00:00 | 0,4 | 225 | 10/03/2017 | 08:00:00 | 0,7 | 218 | 10/03/2017 | 09:00:00 | 1,9 | 78 |
| 10/03/2017 | 10:00:00 | 2,9 | 142 | 10/03/2017 | 11:00:00 | 1,8 | 164 | 10/03/2017 | 12:00:00 | 1,7 | 30 | 10/03/2017 | 13:00:00 | 3,7 | 17 |
| 10/03/2017 | 14:00:00 | 3,7 | 18 | 10/03/2017 | 15:00:00 | 1 | 3 | 10/03/2017 | 16:00:00 | 0,8 | 29 | 10/03/2017 | 17:00:00 | 0,9 | 327 |

| Fecha | Hora | v(m/s) | Dir.(°) |
|------------|----------|--------|---------|------------|----------|--------|---------|------------|----------|--------|---------|------------|----------|--------|---------|
| 10/03/2017 | 22:00:00 | 0,1 | 197 | 10/03/2017 | 23:00:00 | 0,4 | 219 | 11/03/2017 | 00:00:00 | 0,1 | 164 | 11/03/2017 | 01:00:00 | 0,4 | 136 |
| 11/03/2017 | 02:00:00 | 0,4 | 124 | 11/03/2017 | 03:00:00 | 0,4 | 248 | 11/03/2017 | 04:00:00 | 0,7 | 182 | 11/03/2017 | 05:00:00 | 0,3 | 183 |
| 11/03/2017 | 06:00:00 | 0,3 | 229 | 11/03/2017 | 07:00:00 | 0,2 | 249 | 11/03/2017 | 08:00:00 | 0,9 | 90 | 11/03/2017 | 09:00:00 | 1,3 | 9 |
| 11/03/2017 | 10:00:00 | 3 | 355 | 11/03/2017 | 11:00:00 | 5,1 | 349 | 11/03/2017 | 12:00:00 | 1 | 19 | 11/03/2017 | 13:00:00 | 1,2 | 83 |
| 11/03/2017 | 14:00:00 | 1,9 | 3 | 11/03/2017 | 15:00:00 | 0,5 | 228 | 11/03/2017 | 16:00:00 | 1,4 | 139 | 11/03/2017 | 17:00:00 | 0,3 | 201 |
| 11/03/2017 | 18:00:00 | 0,3 | 154 | 11/03/2017 | 19:00:00 | 0,2 | 262 | 11/03/2017 | 20:00:00 | 0,2 | 209 | 11/03/2017 | 21:00:00 | 0,4 | 231 |
| 11/03/2017 | 22:00:00 | 0,6 | 111 | 11/03/2017 | 23:00:00 | 0,5 | 216 | 12/03/2017 | 00:00:00 | 0,2 | 180 | 12/03/2017 | 01:00:00 | 0,3 | 149 |
| 12/03/2017 | 02:00:00 | 0,4 | 25 | 12/03/2017 | 03:00:00 | 0,1 | 119 | 12/03/2017 | 04:00:00 | 0,4 | 187 | 12/03/2017 | 05:00:00 | 0,2 | 199 |
| 12/03/2017 | 06:00:00 | 0,4 | 114 | 12/03/2017 | 07:00:00 | 0,2 | 196 | 12/03/2017 | 08:00:00 | 0,4 | 30 | 12/03/2017 | 09:00:00 | 0,6 | 69 |
| 12/03/2017 | 10:00:00 | 0,7 | 93 | 12/03/2017 | 11:00:00 | 2,2 | 15 | 12/03/2017 | 12:00:00 | 6 | 0 | 12/03/2017 | 13:00:00 | 3,4 | 19 |
| 12/03/2017 | 14:00:00 | 3,4 | 2 | 12/03/2017 | 15:00:00 | 1,2 | 140 | 12/03/2017 | 16:00:00 | 2,2 | 13 | 12/03/2017 | 17:00:00 | 0,9 | 348 |
| 12/03/2017 | 18:00:00 | 1,4 | 335 | 12/03/2017 | 19:00:00 | 0,5 | 342 | 12/03/2017 | 20:00:00 | 0,4 | 5 | 12/03/2017 | 21:00:00 | 1 | 165 |
| 12/03/2017 | 22:00:00 | 0,2 | 157 | 12/03/2017 | 23:00:00 | 0,2 | 324 | 13/03/2017 | 00:00:00 | 0,6 | 180 | 13/03/2017 | 01:00:00 | 0,1 | 309 |
| 13/03/2017 | 02:00:00 | 0,2 | 155 | 13/03/2017 | 03:00:00 | 0,5 | 248 | 13/03/2017 | 04:00:00 | 0,2 | 136 | 13/03/2017 | 05:00:00 | 0,4 | 167 |
| 13/03/2017 | 06:00:00 | 0,1 | 266 | 13/03/2017 | 07:00:00 | 0,9 | 21 | 13/03/2017 | 08:00:00 | 0,7 | 51 | 13/03/2017 | 09:00:00 | 0,3 | 171 |
| 13/03/2017 | 10:00:00 | 0,9 | 319 | 13/03/2017 | 11:00:00 | 1,1 | 4 | 13/03/2017 | 12:00:00 | 2,9 | 269 | 13/03/2017 | 13:00:00 | 3,2 | 230 |
| 13/03/2017 | 14:00:00 | 0,9 | 219 | 13/03/2017 | 15:00:00 | 1,6 | 315 | 13/03/2017 | 16:00:00 | 0,9 | 249 | 13/03/2017 | 17:00:00 | 1,4 | 339 |
| 13/03/2017 | 18:00:00 | 0,8 | 142 | 13/03/2017 | 19:00:00 | 0,6 | 165 | 13/03/2017 | 20:00:00 | 0,6 | 260 | 13/03/2017 | 21:00:00 | 0,7 | 67 |
| 13/03/2017 | 22:00:00 | 0,3 | 224 | 13/03/2017 | 23:00:00 | 1 | 9 | 14/03/2017 | 00:00:00 | 0,3 | 243 | 14/03/2017 | 01:00:00 | 0,3 | 208 |
| 14/03/2017 | 02:00:00 | 0,4 | 161 | 14/03/2017 | 03:00:00 | 0,8 | 317 | 14/03/2017 | 04:00:00 | 0,2 | 22 | 14/03/2017 | 05:00:00 | 0,2 | 161 |
| 14/03/2017 | 06:00:00 | 0,5 | 217 | 14/03/2017 | 07:00:00 | 0,8 | 54 | 14/03/2017 | 08:00:00 | 0,6 | 92 | 14/03/2017 | 09:00:00 | 0,5 | 253 |
| 14/03/2017 | 10:00:00 | 0,2 | 134 | 14/03/2017 | 11:00:00 | 1,2 | 29 | 14/03/2017 | 12:00:00 | 0,5 | 137 | 14/03/2017 | 13:00:00 | 2,1 | 325 |
| 14/03/2017 | 14:00:00 | 0,6 | 230 | 14/03/2017 | 15:00:00 | 1,2 | 4 | 14/03/2017 | 16:00:00 | 1,7 | 291 | 14/03/2017 | 17:00:00 | 0,7 | 32 |
| 14/03/2017 | 18:00:00 | 1,6 | 337 | 14/03/2017 | 19:00:00 | 0,8 | 356 | 14/03/2017 | 20:00:00 | 1,6 | 344 | 14/03/2017 | 21:00:00 | 0,8 | 326 |
| 14/03/2017 | 22:00:00 | 0,4 | 324 | 15/03/2017 | 00:00:00 | 1,2 | 324 | 15/03/2017 | 01:00:00 | 0,5 | 91 | 15/03/2017 | 02:00:00 | 0,3 | 221 |
| 15/03/2017 | 03:00:00 | 0,3 | 127 | 15/03/2017 | 04:00:00 | 0,6 | 356 | 15/03/2017 | 05:00:00 | 0,3 | 323 | 15/03/2017 | 06:00:00 | 0,3 | 209 |
| 15/03/2017 | 07:00:00 | 0,5 | 1 | 15/03/2017 | 08:00:00 | 0,6 | 273 | 15/03/2017 | 09:00:00 | 1,4 | 352 | 15/03/2017 | 10:00:00 | 1,3 | 263 |
| 15/03/2017 | 11:00:00 | 2,3 | 291 | 15/03/2017 | 12:00:00 | 2,7 | 309 | 15/03/2017 | 13:00:00 | 4,5 | 252 | 15/03/2017 | 14:00:00 | 0,7 | 314 |

| Fecha | Hora | v(m/s) | Dir.(°) |
|------------|----------|--------|---------|------------|----------|--------|---------|------------|----------|--------|---------|------------|----------|--------|---------|
| 15/03/2017 | 19:00:00 | 1,3 | 11 | 15/03/2017 | 20:00:00 | 0,1 | 235 | 15/03/2017 | 21:00:00 | 0,9 | 146 | 15/03/2017 | 22:00:00 | 0,5 | 163 |
| 15/03/2017 | 23:00:00 | 0,5 | 55 | 16/03/2017 | 00:00:00 | 0,4 | 212 | 16/03/2017 | 01:00:00 | 0,8 | 136 | 16/03/2017 | 02:00:00 | 0,2 | 184 |
| 16/03/2017 | 03:00:00 | 0,2 | 250 | 16/03/2017 | 04:00:00 | 0,1 | 267 | 16/03/2017 | 05:00:00 | 0,3 | 182 | 16/03/2017 | 06:00:00 | 0,1 | 83 |
| 16/03/2017 | 08:00:00 | 1,1 | 94 | 16/03/2017 | 09:00:00 | 0,6 | 304 | 16/03/2017 | 10:00:00 | 1,5 | 18 | 16/03/2017 | 11:00:00 | 1,8 | 229 |
| 16/03/2017 | 12:00:00 | 0,7 | 105 | 16/03/2017 | 13:00:00 | 2,5 | 320 | 16/03/2017 | 14:00:00 | 2,5 | 285 | 16/03/2017 | 15:00:00 | 3,3 | 316 |
| 16/03/2017 | 16:00:00 | 4,5 | 309 | 16/03/2017 | 17:00:00 | 1,5 | 255 | 16/03/2017 | 18:00:00 | 0,8 | 292 | 16/03/2017 | 19:00:00 | 1,7 | 10 |
| 16/03/2017 | 20:00:00 | 1,7 | 334 | 16/03/2017 | 21:00:00 | 2,4 | 285 | 16/03/2017 | 22:00:00 | 1,4 | 299 | 16/03/2017 | 23:00:00 | 2,1 | 231 |
| 17/03/2017 | 00:00:00 | 2,5 | 277 | 17/03/2017 | 01:00:00 | 2 | 269 | 17/03/2017 | 02:00:00 | 1,1 | 252 | 17/03/2017 | 03:00:00 | 1,5 | 288 |
| 17/03/2017 | 04:00:00 | 1,5 | 321 | 17/03/2017 | 05:00:00 | 1,1 | 260 | 17/03/2017 | 06:00:00 | 0,3 | 93 | 17/03/2017 | 07:00:00 | 0,3 | 28 |
| 17/03/2017 | 08:00:00 | 0,5 | 95 | 17/03/2017 | 09:00:00 | 0,6 | 9 | 17/03/2017 | 10:00:00 | 2,1 | 19 | 17/03/2017 | 11:00:00 | 1,5 | 351 |
| 17/03/2017 | 12:00:00 | 3,5 | 331 | 17/03/2017 | 13:00:00 | 2,6 | 279 | 17/03/2017 | 14:00:00 | 3,6 | 315 | 17/03/2017 | 15:00:00 | 3,5 | 320 |
| 17/03/2017 | 16:00:00 | 0,2 | 292 | 17/03/2017 | 17:00:00 | 1,8 | 232 | 17/03/2017 | 18:00:00 | 0,8 | 290 | 17/03/2017 | 19:00:00 | 1,1 | 293 |
| 17/03/2017 | 20:00:00 | 0,8 | 348 | 17/03/2017 | 21:00:00 | 0,7 | 222 | 17/03/2017 | 22:00:00 | 1,1 | 264 | 17/03/2017 | 23:00:00 | 0,6 | 178 |
| 18/03/2017 | 00:00:00 | 0,4 | 187 | 18/03/2017 | 01:00:00 | 0,6 | 169 | 18/03/2017 | 02:00:00 | 0,7 | 339 | 18/03/2017 | 03:00:00 | 0,2 | 29 |
| 18/03/2017 | 04:00:00 | 0,3 | 249 | 18/03/2017 | 05:00:00 | 0,3 | 269 | 18/03/2017 | 06:00:00 | 0,3 | 207 | 18/03/2017 | 07:00:00 | 0,6 | 121 |
| 18/03/2017 | 08:00:00 | 0,3 | 243 | 18/03/2017 | 09:00:00 | 0,1 | 352 | 18/03/2017 | 10:00:00 | 0,8 | 316 | 18/03/2017 | 11:00:00 | 1,4 | 13 |
| 18/03/2017 | 12:00:00 | 1,2 | 245 | 18/03/2017 | 13:00:00 | 0,6 | 55 | 18/03/2017 | 14:00:00 | 0,4 | 213 | 18/03/2017 | 15:00:00 | 0,7 | 28 |
| 18/03/2017 | 16:00:00 | 1,3 | 316 | 18/03/2017 | 17:00:00 | 0,6 | 339 | 18/03/2017 | 18:00:00 | 0,2 | 35 | 18/03/2017 | 19:00:00 | 0,7 | 331 |
| 18/03/2017 | 20:00:00 | 0,8 | 235 | 18/03/2017 | 21:00:00 | 1,7 | 326 | 18/03/2017 | 22:00:00 | 1,3 | 345 | 18/03/2017 | 23:00:00 | 0,3 | 256 |
| 19/03/2017 | 00:00:00 | 0,6 | 9 | 19/03/2017 | 02:00:00 | 0,1 | 40 | 19/03/2017 | 03:00:00 | 0,3 | 314 | 19/03/2017 | 04:00:00 | 0,3 | 32 |
| 19/03/2017 | 05:00:00 | 0,4 | 98 | 19/03/2017 | 06:00:00 | 0,5 | 165 | 19/03/2017 | 07:00:00 | 0,1 | 100 | 19/03/2017 | 08:00:00 | 0,4 | 264 |
| 19/03/2017 | 09:00:00 | 0,7 | 71 | 19/03/2017 | 10:00:00 | 1,3 | 130 | 19/03/2017 | 11:00:00 | 1,3 | 85 | 19/03/2017 | 12:00:00 | 2,3 | 346 |
| 19/03/2017 | 13:00:00 | 1,1 | 171 | 19/03/2017 | 14:00:00 | 1 | 1 | 19/03/2017 | 15:00:00 | 0,3 | 199 | 19/03/2017 | 16:00:00 | 0,7 | 255 |
| 19/03/2017 | 17:00:00 | 1,1 | 358 | 19/03/2017 | 18:00:00 | 1,6 | 358 | 19/03/2017 | 19:00:00 | 0,5 | 270 | 19/03/2017 | 20:00:00 | 0,3 | 26 |
| 19/03/2017 | 21:00:00 | 0,3 | 11 | 19/03/2017 | 22:00:00 | 0,6 | 174 | 19/03/2017 | 23:00:00 | 0,5 | 90 | 20/03/2017 | 00:00:00 | 0,2 | 277 |
| 20/03/2017 | 01:00:00 | 0,3 | 214 | 20/03/2017 | 02:00:00 | 0,2 | 306 | 20/03/2017 | 03:00:00 | 0,3 | 66 | 20/03/2017 | 04:00:00 | 0,6 | 89 |
| 20/03/2017 | 05:00:00 | 0,3 | 284 | 20/03/2017 | 06:00:00 | 0,4 | 289 | 20/03/2017 | 07:00:00 | 0,1 | 77 | 20/03/2017 | 08:00:00 | 0,2 | 52 |
| 20/03/2017 | 09:00:00 | 1 | 54 | 20/03/2017 | 10:00:00 | 0,7 | 181 | 20/03/2017 | 11:00:00 | 0,2 | 339 | 20/03/2017 | 12:00:00 | 2,3 | 24 |

| Fecha | Hora | v(m/s) | Dir.(°) |
|------------|----------|--------|---------|------------|----------|--------|---------|------------|----------|--------|---------|------------|----------|--------|---------|
| 20/03/2017 | 17:00:00 | 0,9 | 144 | 20/03/2017 | 18:00:00 | 0,5 | 2 | 20/03/2017 | 19:00:00 | 0,8 | 331 | 20/03/2017 | 20:00:00 | 0,6 | 276 |
| 20/03/2017 | 21:00:00 | 0,6 | 263 | 20/03/2017 | 22:00:00 | 0,4 | 193 | 20/03/2017 | 23:00:00 | 0,9 | 85 | 21/03/2017 | 00:00:00 | 0,3 | 176 |
| 21/03/2017 | 01:00:00 | 0,4 | 193 | 21/03/2017 | 02:00:00 | 0,1 | 231 | 21/03/2017 | 03:00:00 | 0,3 | 188 | 21/03/2017 | 04:00:00 | 0,4 | 235 |
| 21/03/2017 | 05:00:00 | 0,4 | 45 | 21/03/2017 | 06:00:00 | 0,3 | 21 | 21/03/2017 | 07:00:00 | 0,3 | 102 | 21/03/2017 | 08:00:00 | 1,7 | 3 |
| 21/03/2017 | 09:00:00 | 0,9 | 332 | 21/03/2017 | 10:00:00 | 2 | 78 | 21/03/2017 | 11:00:00 | 1,1 | 77 | 21/03/2017 | 12:00:00 | 4,4 | 25 |
| 21/03/2017 | 13:00:00 | 1,9 | 86 | 21/03/2017 | 14:00:00 | 0,5 | 188 | 21/03/2017 | 15:00:00 | 3,6 | 26 | 21/03/2017 | 16:00:00 | 1,3 | 279 |
| 21/03/2017 | 17:00:00 | 1,1 | 28 | 21/03/2017 | 18:00:00 | 0,2 | 158 | 21/03/2017 | 20:00:00 | 0,4 | 349 | 21/03/2017 | 21:00:00 | 0,6 | 175 |
| 21/03/2017 | 22:00:00 | 0,7 | 140 | 21/03/2017 | 23:00:00 | 0,5 | 273 | 22/03/2017 | 00:00:00 | 0,3 | 90 | 22/03/2017 | 01:00:00 | 0,5 | 318 |
| 22/03/2017 | 02:00:00 | 0,3 | 218 | 22/03/2017 | 03:00:00 | 0,2 | 310 | 22/03/2017 | 04:00:00 | 0,3 | 66 | 22/03/2017 | 05:00:00 | 0,1 | 124 |
| 22/03/2017 | 06:00:00 | 0,5 | 247 | 22/03/2017 | 07:00:00 | 0,1 | 4 | 22/03/2017 | 08:00:00 | 0,7 | 101 | 22/03/2017 | 09:00:00 | 1 | 121 |
| 22/03/2017 | 10:00:00 | 1,5 | 313 | 22/03/2017 | 11:00:00 | 0,8 | 350 | 22/03/2017 | 12:00:00 | 0,6 | 56 | 22/03/2017 | 13:00:00 | 1,3 | 332 |
| 22/03/2017 | 14:00:00 | 1,4 | 279 | 22/03/2017 | 15:00:00 | 1,2 | 158 | 22/03/2017 | 16:00:00 | 1,8 | 262 | 22/03/2017 | 17:00:00 | 0,7 | 280 |
| 22/03/2017 | 18:00:00 | 0,6 | 48 | 22/03/2017 | 19:00:00 | 0,3 | 5 | 22/03/2017 | 20:00:00 | 0,2 | 310 | 22/03/2017 | 21:00:00 | 0,3 | 168 |
| 22/03/2017 | 22:00:00 | 1,2 | 9 | 22/03/2017 | 23:00:00 | 0,9 | 56 | 23/03/2017 | 00:00:00 | 0,6 | 355 | 23/03/2017 | 01:00:00 | 0,1 | 91 |
| 23/03/2017 | 02:00:00 | 0,4 | 216 | 23/03/2017 | 03:00:00 | 0,5 | 313 | 23/03/2017 | 04:00:00 | 0,1 | 195 | 23/03/2017 | 05:00:00 | 0,6 | 28 |
| 23/03/2017 | 06:00:00 | 0,3 | 205 | 23/03/2017 | 07:00:00 | 0,4 | 145 | 23/03/2017 | 08:00:00 | 0,3 | 19 | 23/03/2017 | 09:00:00 | 0,6 | 183 |
| 23/03/2017 | 10:00:00 | 1 | 312 | 23/03/2017 | 11:00:00 | 2,8 | 319 | 23/03/2017 | 12:00:00 | 1,3 | 253 | 23/03/2017 | 13:00:00 | 2,2 | 308 |
| 23/03/2017 | 14:00:00 | 1,1 | 337 | 23/03/2017 | 15:00:00 | 2,2 | 350 | 23/03/2017 | 16:00:00 | 0,6 | 220 | 23/03/2017 | 17:00:00 | 0,5 | 53 |
| 23/03/2017 | 18:00:00 | 0,6 | 314 | 23/03/2017 | 19:00:00 | 1,2 | 281 | 23/03/2017 | 20:00:00 | 0,4 | 340 | 23/03/2017 | 21:00:00 | 0,9 | 325 |
| 23/03/2017 | 22:00:00 | 0,3 | 137 | 23/03/2017 | 23:00:00 | 0,4 | 321 | 24/03/2017 | 00:00:00 | 0,5 | 227 | 24/03/2017 | 01:00:00 | 0,3 | 345 |
| 24/03/2017 | 02:00:00 | 0,5 | 166 | 24/03/2017 | 03:00:00 | 0,5 | 38 | 24/03/2017 | 04:00:00 | 0,3 | 173 | 24/03/2017 | 05:00:00 | 1,3 | 114 |
| 24/03/2017 | 06:00:00 | 0,3 | 74 | 24/03/2017 | 07:00:00 | 0,3 | 313 | 24/03/2017 | 08:00:00 | 2 | 120 | 24/03/2017 | 09:00:00 | 1,2 | 335 |
| 24/03/2017 | 10:00:00 | 2,8 | 345 | 24/03/2017 | 11:00:00 | 3,7 | 17 | 24/03/2017 | 12:00:00 | 1,4 | 5 | 24/03/2017 | 13:00:00 | 0,5 | 342 |
| 24/03/2017 | 14:00:00 | 3,4 | 258 | 24/03/2017 | 15:00:00 | 1,6 | 8 | 24/03/2017 | 16:00:00 | 0,2 | 166 | 24/03/2017 | 17:00:00 | 0,9 | 34 |
| 24/03/2017 | 18:00:00 | 0,1 | 216 | 24/03/2017 | 19:00:00 | 0,8 | 178 | 24/03/2017 | 20:00:00 | 0,6 | 237 | 24/03/2017 | 21:00:00 | 0,3 | 168 |
| 24/03/2017 | 22:00:00 | 0,2 | 195 | 24/03/2017 | 23:00:00 | 0,7 | 72 | 25/03/2017 | 00:00:00 | 0,3 | 181 | 25/03/2017 | 01:00:00 | 0,3 | 246 |
| 25/03/2017 | 02:00:00 | 1,6 | 81 | 25/03/2017 | 03:00:00 | 0,4 | 132 | 25/03/2017 | 04:00:00 | 0,6 | 313 | 25/03/2017 | 05:00:00 | 0,4 | 186 |
| 25/03/2017 | 06:00:00 | 1 | 254 | 25/03/2017 | 07:00:00 | 0,3 | 235 | 25/03/2017 | 08:00:00 | 0,6 | 133 | 25/03/2017 | 09:00:00 | 0,5 | 266 |

| Fecha | Hora | v(m/s) | Dir.(°) |
|------------|----------|--------|---------|------------|----------|--------|---------|------------|----------|--------|---------|------------|----------|--------|---------|
| 25/03/2017 | 14:00:00 | 2,3 | 352 | 25/03/2017 | 15:00:00 | 0,6 | 23 | 25/03/2017 | 16:00:00 | 2,7 | 283 | 25/03/2017 | 17:00:00 | 2,2 | 301 |
| 25/03/2017 | 18:00:00 | 2 | 330 | 25/03/2017 | 19:00:00 | 2,4 | 267 | 25/03/2017 | 20:00:00 | 0,9 | 263 | 25/03/2017 | 21:00:00 | 1,1 | 20 |
| 25/03/2017 | 22:00:00 | 1,1 | 0 | 25/03/2017 | 23:00:00 | 2,2 | 14 | 26/03/2017 | 00:00:00 | 0,6 | 56 | 26/03/2017 | 01:00:00 | 0,5 | 10 |
| 26/03/2017 | 02:00:00 | 0,1 | 207 | 26/03/2017 | 03:00:00 | 0,3 | 9 | 26/03/2017 | 04:00:00 | 0,2 | 47 | 26/03/2017 | 05:00:00 | 0,2 | 51 |
| 26/03/2017 | 06:00:00 | 0,3 | 273 | 26/03/2017 | 07:00:00 | 0,5 | 344 | 26/03/2017 | 08:00:00 | 0,9 | 266 | 26/03/2017 | 09:00:00 | 0,5 | 239 |
| 26/03/2017 | 10:00:00 | 1,1 | 79 | 26/03/2017 | 11:00:00 | 0,9 | 146 | 26/03/2017 | 12:00:00 | 1,1 | 7 | 26/03/2017 | 13:00:00 | 1,2 | 83 |
| 26/03/2017 | 14:00:00 | 0,6 | 310 | 26/03/2017 | 15:00:00 | 0,8 | 163 | 26/03/2017 | 16:00:00 | 2 | 321 | 26/03/2017 | 17:00:00 | 0,5 | 167 |
| 26/03/2017 | 18:00:00 | 3,1 | 308 | 26/03/2017 | 19:00:00 | 1,6 | 284 | 26/03/2017 | 20:00:00 | 0,7 | 298 | 26/03/2017 | 21:00:00 | 0,6 | 307 |
| 26/03/2017 | 22:00:00 | 0,8 | 354 | 26/03/2017 | 23:00:00 | 0,5 | 195 | 27/03/2017 | 00:00:00 | 0,4 | 141 | 27/03/2017 | 01:00:00 | 0,2 | 82 |
| 27/03/2017 | 02:00:00 | 0,5 | 146 | 27/03/2017 | 03:00:00 | 0,6 | 128 | 27/03/2017 | 04:00:00 | 0,2 | 33 | 27/03/2017 | 05:00:00 | 0,3 | 245 |
| 27/03/2017 | 06:00:00 | 0,5 | 301 | 27/03/2017 | 07:00:00 | 0,3 | 134 | 27/03/2017 | 08:00:00 | 0,2 | 201 | 27/03/2017 | 09:00:00 | 0,4 | 3 |
| 27/03/2017 | 10:00:00 | 1,1 | 53 | 27/03/2017 | 11:00:00 | 1,6 | 6 | 27/03/2017 | 12:00:00 | 0,7 | 329 | 27/03/2017 | 13:00:00 | 0,4 | 265 |
| 27/03/2017 | 14:00:00 | 1,7 | 347 | 27/03/2017 | 15:00:00 | 0,9 | 210 | 27/03/2017 | 16:00:00 | 0,8 | 177 | 27/03/2017 | 17:00:00 | 0,6 | 263 |
| 27/03/2017 | 18:00:00 | 1,1 | 326 | 27/03/2017 | 19:00:00 | 0,7 | 217 | 27/03/2017 | 20:00:00 | 0,5 | 180 | 27/03/2017 | 21:00:00 | 0,7 | 28 |
| 27/03/2017 | 22:00:00 | 0,2 | 314 | 27/03/2017 | 23:00:00 | 0,3 | 93 | 28/03/2017 | 00:00:00 | 0,8 | 356 | 28/03/2017 | 01:00:00 | 0,1 | 77 |
| 28/03/2017 | 02:00:00 | 0,2 | 328 | 28/03/2017 | 03:00:00 | 0,4 | 341 | 28/03/2017 | 04:00:00 | 0,5 | 136 | 28/03/2017 | 05:00:00 | 0,4 | 141 |
| 28/03/2017 | 06:00:00 | 0,4 | 338 | 28/03/2017 | 08:00:00 | 0,4 | 237 | 28/03/2017 | 09:00:00 | 2,2 | 145 | 28/03/2017 | 10:00:00 | 0,7 | 77 |
| 28/03/2017 | 11:00:00 | 0,3 | 144 | 28/03/2017 | 12:00:00 | 3,5 | 1 | 28/03/2017 | 13:00:00 | 2,8 | 6 | 28/03/2017 | 14:00:00 | 1,2 | 230 |
| 28/03/2017 | 15:00:00 | 1,1 | 216 | 28/03/2017 | 16:00:00 | 0,6 | 161 | 28/03/2017 | 17:00:00 | 1,8 | 231 | 28/03/2017 | 18:00:00 | 1,1 | 349 |
| 28/03/2017 | 19:00:00 | 0,5 | 216 | 28/03/2017 | 20:00:00 | 0,7 | 223 | 28/03/2017 | 21:00:00 | 0,9 | 231 | 28/03/2017 | 22:00:00 | 0,7 | 354 |
| 28/03/2017 | 23:00:00 | 0,2 | 190 | 29/03/2017 | 01:00:00 | 0,6 | 147 | 29/03/2017 | 02:00:00 | 0,4 | 49 | 29/03/2017 | 03:00:00 | 0,3 | 262 |
| 29/03/2017 | 04:00:00 | 0,1 | 107 | 29/03/2017 | 05:00:00 | 0,3 | 172 | 29/03/2017 | 06:00:00 | 0,1 | 70 | 29/03/2017 | 07:00:00 | 0,3 | 222 |
| 29/03/2017 | 08:00:00 | 1,1 | 90 | 29/03/2017 | 09:00:00 | 0,3 | 49 | 29/03/2017 | 10:00:00 | 1,3 | 268 | 29/03/2017 | 11:00:00 | 1,4 | 359 |
| 29/03/2017 | 12:00:00 | 1,6 | 347 | 29/03/2017 | 13:00:00 | 1,5 | 21 | 29/03/2017 | 14:00:00 | 4,1 | 247 | 29/03/2017 | 15:00:00 | 2,6 | 275 |
| 29/03/2017 | 16:00:00 | 0,2 | 95 | 29/03/2017 | 17:00:00 | 1 | 165 | 29/03/2017 | 18:00:00 | 1,5 | 354 | 29/03/2017 | 19:00:00 | 0,4 | 285 |
| 29/03/2017 | 20:00:00 | 0,1 | 94 | 29/03/2017 | 21:00:00 | 1 | 0 | 29/03/2017 | 22:00:00 | 0,1 | 135 | 29/03/2017 | 23:00:00 | 0,3 | 315 |
| 30/03/2017 | 00:00:00 | 0,3 | 356 | 30/03/2017 | 02:00:00 | 0,4 | 144 | 30/03/2017 | 03:00:00 | 0,6 | 275 | 30/03/2017 | 04:00:00 | 0,1 | 176 |
| 30/03/2017 | 05:00:00 | 0,2 | 256 | 30/03/2017 | 06:00:00 | 0,1 | 226 | 30/03/2017 | 07:00:00 | 0,6 | 130 | 30/03/2017 | 08:00:00 | 0,4 | 39 |

| Fecha | Hora | v(m/s) | Dir.(°) |
|------------|----------|--------|---------|------------|----------|--------|---------|------------|----------|--------|---------|------------|----------|--------|---------|
| 30/03/2017 | 13:00:00 | 3,6 | 131 | 30/03/2017 | 14:00:00 | 2,1 | 66 | 30/03/2017 | 15:00:00 | 1,3 | 246 | 30/03/2017 | 16:00:00 | 1,5 | 263 |
| 30/03/2017 | 17:00:00 | 2,4 | 289 | 30/03/2017 | 19:00:00 | 0,1 | 46 | 30/03/2017 | 20:00:00 | 0,3 | 260 | 30/03/2017 | 22:00:00 | 0,1 | 201 |
| 30/03/2017 | 23:00:00 | 1,2 | 342 | 31/03/2017 | 00:00:00 | 1,5 | 327 | 31/03/2017 | 01:00:00 | 0,6 | 7 | 31/03/2017 | 02:00:00 | 0,7 | 341 |
| 31/03/2017 | 03:00:00 | 0,6 | 51 | 31/03/2017 | 04:00:00 | 0,8 | 339 | 31/03/2017 | 05:00:00 | 0,8 | 346 | 31/03/2017 | 06:00:00 | 0,3 | 311 |
| 31/03/2017 | 07:00:00 | 0,5 | 347 | 31/03/2017 | 08:00:00 | 1,2 | 40 | 31/03/2017 | 09:00:00 | 1 | 142 | 31/03/2017 | 10:00:00 | 1,3 | 185 |
| 31/03/2017 | 11:00:00 | 1,4 | 179 | 31/03/2017 | 12:00:00 | 0,2 | 167 | 31/03/2017 | 13:00:00 | 0,3 | 113 | 31/03/2017 | 14:00:00 | 0,5 | 59 |
| 31/03/2017 | 15:00:00 | 0,5 | 183 | 31/03/2017 | 16:00:00 | 0,5 | 82 | 31/03/2017 | 17:00:00 | 1,5 | 338 | 31/03/2017 | 18:00:00 | 0,6 | 329 |
| 31/03/2017 | 19:00:00 | 0,3 | 32 | 31/03/2017 | 20:00:00 | 0,1 | 211 | 31/03/2017 | 21:00:00 | 0,6 | 12 | 31/03/2017 | 22:00:00 | 0,9 | 19 |
| 31/03/2017 | 23:00:00 | 0,9 | 233 | 01/04/2017 | 00:00:00 | 1,2 | 18 | 01/04/2017 | 01:00:00 | 0,6 | 330 | 01/04/2017 | 02:00:00 | 0,2 | 216 |
| 01/04/2017 | 03:00:00 | 0,2 | 47 | 01/04/2017 | 04:00:00 | 0,3 | 267 | 01/04/2017 | 05:00:00 | 0,3 | 110 | 01/04/2017 | 06:00:00 | 1 | 123 |
| 01/04/2017 | 07:00:00 | 0,1 | 55 | 01/04/2017 | 08:00:00 | 0,6 | 236 | 01/04/2017 | 09:00:00 | 4,2 | 2 | 01/04/2017 | 10:00:00 | 3,3 | 356 |
| 01/04/2017 | 11:00:00 | 0,9 | 43 | 01/04/2017 | 12:00:00 | 1,9 | 62 | 01/04/2017 | 13:00:00 | 3,1 | 9 | 01/04/2017 | 14:00:00 | 3,6 | 47 |
| 01/04/2017 | 15:00:00 | 2,5 | 355 | 01/04/2017 | 16:00:00 | 0,8 | 10 | 01/04/2017 | 17:00:00 | 0,8 | 224 | 01/04/2017 | 18:00:00 | 1,8 | 350 |
| 01/04/2017 | 19:00:00 | 0,5 | 303 | 01/04/2017 | 20:00:00 | 0,7 | 227 | 01/04/2017 | 21:00:00 | 0,8 | 329 | 01/04/2017 | 22:00:00 | 0,4 | 100 |
| 01/04/2017 | 23:00:00 | 0,9 | 311 | 02/04/2017 | 00:00:00 | 0,6 | 118 | 02/04/2017 | 01:00:00 | 0,9 | 351 | 02/04/2017 | 02:00:00 | 0,5 | 227 |
| 02/04/2017 | 03:00:00 | 0,3 | 245 | 02/04/2017 | 04:00:00 | 0,2 | 113 | 02/04/2017 | 05:00:00 | 0,4 | 232 | 02/04/2017 | 06:00:00 | 0,2 | 195 |
| 02/04/2017 | 07:00:00 | 0,5 | 140 | 02/04/2017 | 08:00:00 | 1,1 | 161 | 02/04/2017 | 09:00:00 | 5 | 3 | 02/04/2017 | 10:00:00 | 0,8 | 16 |
| 02/04/2017 | 11:00:00 | 2,6 | 4 | 02/04/2017 | 12:00:00 | 3,8 | 11 | 02/04/2017 | 13:00:00 | 3,2 | 23 | 02/04/2017 | 14:00:00 | 3 | 36 |
| 02/04/2017 | 15:00:00 | 2,5 | 6 | 02/04/2017 | 16:00:00 | 2,3 | 19 | 02/04/2017 | 17:00:00 | 1,1 | 349 | 02/04/2017 | 18:00:00 | 2,4 | 9 |
| 02/04/2017 | 19:00:00 | 1,8 | 13 | 02/04/2017 | 20:00:00 | 0,7 | 86 | 02/04/2017 | 21:00:00 | 1,6 | 138 | 02/04/2017 | 22:00:00 | 0,7 | 183 |
| 02/04/2017 | 23:00:00 | 0,3 | 151 | 03/04/2017 | 01:00:00 | 0,5 | 132 | 03/04/2017 | 02:00:00 | 0,4 | 137 | 03/04/2017 | 03:00:00 | 1,7 | 165 |
| 03/04/2017 | 04:00:00 | 0,2 | 216 | 03/04/2017 | 05:00:00 | 1,2 | 161 | 03/04/2017 | 06:00:00 | 0,2 | 178 | 03/04/2017 | 07:00:00 | 0,6 | 231 |
| 03/04/2017 | 08:00:00 | 0,4 | 48 | 03/04/2017 | 09:00:00 | 1,5 | 10 | 03/04/2017 | 10:00:00 | 0,8 | 171 | 03/04/2017 | 11:00:00 | 0,7 | 32 |
| 03/04/2017 | 12:00:00 | 2 | 121 | 03/04/2017 | 13:00:00 | 2,9 | 7 | 03/04/2017 | 14:00:00 | 1,3 | 327 | 03/04/2017 | 15:00:00 | 2,5 | 346 |
| 03/04/2017 | 16:00:00 | 1,6 | 313 | 03/04/2017 | 17:00:00 | 2,5 | 3 | 03/04/2017 | 18:00:00 | 0,2 | 152 | 03/04/2017 | 19:00:00 | 0,6 | 131 |
| 03/04/2017 | 20:00:00 | 0,8 | 280 | 03/04/2017 | 21:00:00 | 0,5 | 230 | 03/04/2017 | 22:00:00 | 1,1 | 326 | 03/04/2017 | 23:00:00 | 0,6 | 140 |
| 04/04/2017 | 00:00:00 | 0,5 | 151 | 04/04/2017 | 01:00:00 | 0,7 | 151 | 04/04/2017 | 02:00:00 | 0,3 | 177 | 04/04/2017 | 03:00:00 | 0,5 | 357 |
| 04/04/2017 | 04:00:00 | 1 | 167 | 04/04/2017 | 05:00:00 | 0,5 | 189 | 04/04/2017 | 06:00:00 | 1,3 | 122 | 04/04/2017 | 07:00:00 | 0,4 | 26 |

| Fecha | Hora | v(m/s) | Dir.(°) |
|------------|----------|--------|---------|------------|----------|--------|---------|------------|----------|--------|---------|------------|----------|--------|---------|
| 04/04/2017 | 12:00:00 | 2,2 | 116 | 04/04/2017 | 13:00:00 | 2,1 | 104 | 04/04/2017 | 14:00:00 | 1,8 | 21 | 04/04/2017 | 15:00:00 | 3,8 | 357 |
| 04/04/2017 | 16:00:00 | 1,2 | 68 | 04/04/2017 | 17:00:00 | 0,6 | 139 | 04/04/2017 | 18:00:00 | 1,2 | 141 | 04/04/2017 | 19:00:00 | 0,2 | 46 |
| 04/04/2017 | 20:00:00 | 0,6 | 146 | 04/04/2017 | 21:00:00 | 0,5 | 179 | 04/04/2017 | 22:00:00 | 0,9 | 181 | 04/04/2017 | 23:00:00 | 0,7 | 219 |
| 05/04/2017 | 00:00:00 | 0,3 | 6 | 05/04/2017 | 01:00:00 | 1,2 | 219 | 05/04/2017 | 02:00:00 | 1 | 170 | 05/04/2017 | 03:00:00 | 2 | 141 |
| 05/04/2017 | 04:00:00 | 0,7 | 13 | 05/04/2017 | 05:00:00 | 0,8 | 248 | 05/04/2017 | 06:00:00 | 0,8 | 218 | 05/04/2017 | 07:00:00 | 0,7 | 109 |
| 05/04/2017 | 08:00:00 | 2,7 | 0 | 05/04/2017 | 09:00:00 | 2,4 | 1 | 05/04/2017 | 10:00:00 | 1,9 | 25 | 05/04/2017 | 11:00:00 | 2 | 356 |
| 05/04/2017 | 12:00:00 | 4,5 | 3 | 05/04/2017 | 13:00:00 | 6,3 | 2 | 05/04/2017 | 14:00:00 | 2,8 | 6 | 05/04/2017 | 15:00:00 | 1,5 | 75 |
| 05/04/2017 | 16:00:00 | 0,7 | 87 | 05/04/2017 | 17:00:00 | 0,6 | 309 | 05/04/2017 | 18:00:00 | 1,1 | 42 | 05/04/2017 | 19:00:00 | 0,8 | 127 |
| 05/04/2017 | 20:00:00 | 3,4 | 75 | 05/04/2017 | 21:00:00 | 1,6 | 125 | 05/04/2017 | 22:00:00 | 1,8 | 292 | 05/04/2017 | 23:00:00 | 1,6 | 267 |
| 06/04/2017 | 00:00:00 | 1,4 | 124 | 06/04/2017 | 01:00:00 | 1,7 | 351 | 06/04/2017 | 02:00:00 | 0,6 | 285 | 06/04/2017 | 03:00:00 | 1,5 | 17 |
| 06/04/2017 | 04:00:00 | 0,1 | 58 | 06/04/2017 | 05:00:00 | 0,3 | 140 | 06/04/2017 | 06:00:00 | 0,8 | 226 | 06/04/2017 | 07:00:00 | 0,7 | 177 |
| 06/04/2017 | 08:00:00 | 0,6 | 4 | 06/04/2017 | 09:00:00 | 3,2 | 28 | 06/04/2017 | 10:00:00 | 1,7 | 343 | 06/04/2017 | 11:00:00 | 3,3 | 6 |
| 06/04/2017 | 12:00:00 | 3 | 15 | 06/04/2017 | 13:00:00 | 2,8 | 353 | 06/04/2017 | 14:00:00 | 1,3 | 356 | 06/04/2017 | 15:00:00 | 2,8 | 19 |
| 06/04/2017 | 16:00:00 | 2,8 | 31 | 06/04/2017 | 17:00:00 | 0,4 | 263 | 06/04/2017 | 18:00:00 | 0,5 | 255 | 06/04/2017 | 19:00:00 | 0,9 | 359 |
| 06/04/2017 | 20:00:00 | 0,4 | 16 | 06/04/2017 | 21:00:00 | 0,5 | 205 | 06/04/2017 | 22:00:00 | 0,1 | 254 | 06/04/2017 | 23:00:00 | 0,9 | 211 |
| 07/04/2017 | 00:00:00 | 0,3 | 205 | 07/04/2017 | 01:00:00 | 0,4 | 2 | 07/04/2017 | 02:00:00 | 0,5 | 192 | 07/04/2017 | 03:00:00 | 0,5 | 7 |
| 07/04/2017 | 04:00:00 | 1 | 128 | 07/04/2017 | 05:00:00 | 0,5 | 183 | 07/04/2017 | 06:00:00 | 0,4 | 21 | 07/04/2017 | 07:00:00 | 0,9 | 132 |
| 07/04/2017 | 08:00:00 | 1,6 | 96 | 07/04/2017 | 09:00:00 | 2,8 | 13 | 07/04/2017 | 10:00:00 | 1,4 | 337 | 07/04/2017 | 11:00:00 | 1,7 | 67 |
| 07/04/2017 | 12:00:00 | 3,8 | 359 | 07/04/2017 | 13:00:00 | 3,3 | 319 | 07/04/2017 | 14:00:00 | 1,9 | 322 | 07/04/2017 | 15:00:00 | 0,7 | 331 |
| 07/04/2017 | 16:00:00 | 1 | 335 | 07/04/2017 | 17:00:00 | 2,9 | 252 | 07/04/2017 | 18:00:00 | 1,2 | 5 | 07/04/2017 | 19:00:00 | 0,6 | 19 |
| 07/04/2017 | 20:00:00 | 1,4 | 120 | 07/04/2017 | 21:00:00 | 1 | 25 | 07/04/2017 | 22:00:00 | 0,3 | 325 | 07/04/2017 | 23:00:00 | 0,5 | 336 |
| 08/04/2017 | 00:00:00 | 0,3 | 285 | 08/04/2017 | 01:00:00 | 1,1 | 333 | 08/04/2017 | 02:00:00 | 0,4 | 359 | 08/04/2017 | 03:00:00 | 0,5 | 96 |
| 08/04/2017 | 04:00:00 | 0,7 | 356 | 08/04/2017 | 05:00:00 | 0,3 | 261 | 08/04/2017 | 06:00:00 | 0,2 | 204 | 08/04/2017 | 07:00:00 | 1,4 | 5 |
| 08/04/2017 | 08:00:00 | 0,9 | 6 | 08/04/2017 | 09:00:00 | 1,9 | 338 | 08/04/2017 | 10:00:00 | 1,8 | 9 | 08/04/2017 | 11:00:00 | 2,2 | 117 |
| 08/04/2017 | 12:00:00 | 0,8 | 79 | 08/04/2017 | 13:00:00 | 2,9 | 277 | 08/04/2017 | 14:00:00 | 2,8 | 325 | 08/04/2017 | 15:00:00 | 1 | 273 |
| 08/04/2017 | 16:00:00 | 2,1 | 12 | 08/04/2017 | 17:00:00 | 0,5 | 299 | 08/04/2017 | 18:00:00 | 0,7 | 1 | 08/04/2017 | 19:00:00 | 0,4 | 207 |
| 08/04/2017 | 20:00:00 | 0,5 | 283 | 08/04/2017 | 21:00:00 | 0,2 | 89 | 08/04/2017 | 22:00:00 | 0,2 | 50 | 08/04/2017 | 23:00:00 | 0,2 | 133 |
| 09/04/2017 | 00:00:00 | 0,2 | 222 | 09/04/2017 | 01:00:00 | 0,6 | 347 | 09/04/2017 | 02:00:00 | 0,7 | 333 | 09/04/2017 | 03:00:00 | 0,3 | 61 |

| Fecha | Hora | v(m/s) | Dir.(°) |
|------------|----------|--------|---------|------------|----------|--------|---------|------------|----------|--------|---------|------------|----------|--------|---------|
| 09/04/2017 | 08:00:00 | 1,4 | 19 | 09/04/2017 | 09:00:00 | 0,6 | 137 | 09/04/2017 | 10:00:00 | 1,5 | 143 | 09/04/2017 | 11:00:00 | 1,3 | 176 |
| 09/04/2017 | 12:00:00 | 1 | 278 | 09/04/2017 | 13:00:00 | 0,6 | 211 | 09/04/2017 | 14:00:00 | 1,5 | 325 | 09/04/2017 | 15:00:00 | 1,3 | 152 |
| 09/04/2017 | 16:00:00 | 2,5 | 318 | 09/04/2017 | 17:00:00 | 3,2 | 339 | 09/04/2017 | 18:00:00 | 1,3 | 19 | 09/04/2017 | 19:00:00 | 1,2 | 351 |
| 09/04/2017 | 20:00:00 | 0,4 | 84 | 09/04/2017 | 21:00:00 | 0,7 | 11 | 09/04/2017 | 22:00:00 | 0,5 | 144 | 09/04/2017 | 23:00:00 | 0,2 | 204 |
| 10/04/2017 | 00:00:00 | 0,4 | 186 | 10/04/2017 | 01:00:00 | 0,2 | 180 | 10/04/2017 | 02:00:00 | 0,4 | 291 | 10/04/2017 | 03:00:00 | 0,8 | 73 |
| 10/04/2017 | 04:00:00 | 0,5 | 88 | 10/04/2017 | 05:00:00 | 0,3 | 100 | 10/04/2017 | 06:00:00 | 0,3 | 204 | 10/04/2017 | 07:00:00 | 1,2 | 109 |
| 10/04/2017 | 08:00:00 | 0,2 | 112 | 10/04/2017 | 09:00:00 | 1,6 | 18 | 10/04/2017 | 10:00:00 | 1,7 | 87 | 10/04/2017 | 11:00:00 | 2,4 | 14 |
| 10/04/2017 | 12:00:00 | 5,6 | 341 | 10/04/2017 | 13:00:00 | 2 | 40 | 10/04/2017 | 14:00:00 | 2,6 | 36 | 10/04/2017 | 15:00:00 | 1,2 | 256 |
| 10/04/2017 | 16:00:00 | 2,6 | 341 | 10/04/2017 | 17:00:00 | 0,7 | 19 | 10/04/2017 | 18:00:00 | 0,8 | 283 | 10/04/2017 | 19:00:00 | 1 | 100 |
| 10/04/2017 | 20:00:00 | 0,4 | 353 | 10/04/2017 | 21:00:00 | 0,3 | 138 | 10/04/2017 | 22:00:00 | 0,4 | 199 | 10/04/2017 | 23:00:00 | 0,5 | 182 |
| 11/04/2017 | 00:00:00 | 0,5 | 160 | 11/04/2017 | 01:00:00 | 0,2 | 236 | 11/04/2017 | 03:00:00 | 0,3 | 201 | 11/04/2017 | 04:00:00 | 0,7 | 177 |
| 11/04/2017 | 05:00:00 | 0,4 | 251 | 11/04/2017 | 07:00:00 | 0,7 | 129 | 11/04/2017 | 08:00:00 | 1 | 5 | 11/04/2017 | 09:00:00 | 1,3 | 115 |
| 11/04/2017 | 10:00:00 | 2,2 | 9 | 11/04/2017 | 11:00:00 | 1,9 | 336 | 11/04/2017 | 12:00:00 | 3,1 | 10 | 11/04/2017 | 13:00:00 | 3,3 | 25 |
| 11/04/2017 | 14:00:00 | 4 | 13 | 11/04/2017 | 15:00:00 | 4,9 | 322 | 11/04/2017 | 16:00:00 | 2,3 | 261 | 11/04/2017 | 17:00:00 | 2,7 | 10 |
| 11/04/2017 | 18:00:00 | 0,9 | 336 | 11/04/2017 | 19:00:00 | 1,5 | 295 | 11/04/2017 | 20:00:00 | 0,9 | 344 | 11/04/2017 | 21:00:00 | 0,5 | 155 |
| 11/04/2017 | 22:00:00 | 1,2 | 161 | 11/04/2017 | 23:00:00 | 1,5 | 128 | 12/04/2017 | 00:00:00 | 0,2 | 116 | 12/04/2017 | 01:00:00 | 0,5 | 148 |
| 12/04/2017 | 02:00:00 | 0,2 | 113 | 12/04/2017 | 03:00:00 | 0,6 | 171 | 12/04/2017 | 04:00:00 | 0,5 | 154 | 12/04/2017 | 05:00:00 | 0,3 | 180 |
| 12/04/2017 | 06:00:00 | 0,9 | 54 | 12/04/2017 | 07:00:00 | 0,4 | 214 | 12/04/2017 | 08:00:00 | 0,4 | 111 | 12/04/2017 | 09:00:00 | 0,7 | 137 |
| 12/04/2017 | 10:00:00 | 0,7 | 209 | 12/04/2017 | 11:00:00 | 4,6 | 4 | 12/04/2017 | 12:00:00 | 3,4 | 11 | 12/04/2017 | 13:00:00 | 1 | 73 |
| 12/04/2017 | 14:00:00 | 3,1 | 357 | 12/04/2017 | 15:00:00 | 2,5 | 359 | 12/04/2017 | 16:00:00 | 4,8 | 16 | 12/04/2017 | 17:00:00 | 1,4 | 243 |
| 12/04/2017 | 18:00:00 | 1,7 | 351 | 12/04/2017 | 19:00:00 | 0,4 | 320 | 12/04/2017 | 20:00:00 | 1,5 | 346 | 12/04/2017 | 21:00:00 | 1,3 | 349 |
| 12/04/2017 | 22:00:00 | 1 | 31 | 13/04/2017 | 00:00:00 | 0,7 | 11 | 13/04/2017 | 01:00:00 | 3,7 | 332 | 13/04/2017 | 02:00:00 | 0,3 | 230 |
| 13/04/2017 | 03:00:00 | 0,5 | 182 | 13/04/2017 | 04:00:00 | 0,5 | 199 | 13/04/2017 | 05:00:00 | 1 | 174 | 13/04/2017 | 06:00:00 | 1,2 | 167 |
| 13/04/2017 | 07:00:00 | 1,3 | 236 | 13/04/2017 | 08:00:00 | 2,3 | 0 | 13/04/2017 | 09:00:00 | 4,8 | 2 | 13/04/2017 | 10:00:00 | 1,2 | 356 |
| 13/04/2017 | 11:00:00 | 5,3 | 7 | 13/04/2017 | 12:00:00 | 5,7 | 12 | 13/04/2017 | 13:00:00 | 5 | 9 | 13/04/2017 | 14:00:00 | 1,6 | 352 |
| 13/04/2017 | 15:00:00 | 3,7 | 2 | 13/04/2017 | 16:00:00 | 2,4 | 358 | 13/04/2017 | 17:00:00 | 1,5 | 277 | 13/04/2017 | 18:00:00 | 0,7 | 279 |
| 13/04/2017 | 19:00:00 | 1 | 41 | 13/04/2017 | 20:00:00 | 0,2 | 337 | 13/04/2017 | 21:00:00 | 0,3 | 25 | 13/04/2017 | 22:00:00 | 1,4 | 326 |
| 13/04/2017 | 23:00:00 | 0,5 | 202 | 14/04/2017 | 00:00:00 | 0,4 | 200 | 14/04/2017 | 01:00:00 | 1,9 | 115 | 14/04/2017 | 02:00:00 | 0,2 | 266 |

| Fecha | Hora | v(m/s) | Dir.(°) |
|------------|----------|--------|---------|------------|----------|--------|---------|------------|----------|--------|---------|------------|----------|--------|---------|
| 14/04/2017 | 07:00:00 | 1,6 | 138 | 14/04/2017 | 08:00:00 | 3,1 | 359 | 14/04/2017 | 09:00:00 | 3 | 346 | 14/04/2017 | 10:00:00 | 0,9 | 12 |
| 14/04/2017 | 11:00:00 | 2,1 | 336 | 14/04/2017 | 12:00:00 | 0,8 | 324 | 14/04/2017 | 13:00:00 | 3,2 | 9 | 14/04/2017 | 14:00:00 | 3,1 | 346 |
| 14/04/2017 | 15:00:00 | 2,2 | 49 | 14/04/2017 | 16:00:00 | 0,9 | 39 | 14/04/2017 | 17:00:00 | 0,9 | 40 | 14/04/2017 | 18:00:00 | 0,4 | 299 |
| 14/04/2017 | 19:00:00 | 2,3 | 254 | 14/04/2017 | 20:00:00 | 0,4 | 211 | 14/04/2017 | 21:00:00 | 0,8 | 137 | 14/04/2017 | 22:00:00 | 0,2 | 240 |
| 14/04/2017 | 23:00:00 | 0,3 | 164 | 15/04/2017 | 00:00:00 | 0,7 | 283 | 15/04/2017 | 01:00:00 | 0,6 | 234 | 15/04/2017 | 02:00:00 | 0,4 | 142 |
| 15/04/2017 | 03:00:00 | 1 | 84 | 15/04/2017 | 04:00:00 | 1,1 | 158 | 15/04/2017 | 05:00:00 | 1,2 | 261 | 15/04/2017 | 06:00:00 | 0,5 | 255 |
| 15/04/2017 | 07:00:00 | 0,5 | 207 | 15/04/2017 | 08:00:00 | 0,8 | 322 | 15/04/2017 | 09:00:00 | 3,4 | 45 | 15/04/2017 | 10:00:00 | 2,4 | 359 |
| 15/04/2017 | 11:00:00 | 2,3 | 22 | 15/04/2017 | 12:00:00 | 3,2 | 51 | 15/04/2017 | 13:00:00 | 2,6 | 73 | 15/04/2017 | 14:00:00 | 5,8 | 3 |
| 15/04/2017 | 15:00:00 | 4,7 | 19 | 15/04/2017 | 16:00:00 | 5,8 | 2 | 15/04/2017 | 17:00:00 | 2,7 | 46 | 15/04/2017 | 18:00:00 | 2,8 | 21 |
| 15/04/2017 | 19:00:00 | 2 | 306 | 15/04/2017 | 20:00:00 | 1,4 | 346 | 15/04/2017 | 21:00:00 | 2,5 | 73 | 15/04/2017 | 22:00:00 | 0,4 | 210 |
| 15/04/2017 | 23:00:00 | 1,2 | 169 | 16/04/2017 | 00:00:00 | 0,7 | 98 | 16/04/2017 | 01:00:00 | 0,3 | 84 | 16/04/2017 | 02:00:00 | 0,6 | 92 |
| 16/04/2017 | 03:00:00 | 0,2 | 327 | 16/04/2017 | 04:00:00 | 0,6 | 147 | 16/04/2017 | 05:00:00 | 0,7 | 175 | 16/04/2017 | 06:00:00 | 0,1 | 170 |
| 16/04/2017 | 07:00:00 | 0,1 | 143 | 16/04/2017 | 08:00:00 | 0,9 | 359 | 16/04/2017 | 09:00:00 | 3,2 | 40 | 16/04/2017 | 10:00:00 | 0,8 | 31 |
| 16/04/2017 | 11:00:00 | 5,2 | 17 | 16/04/2017 | 12:00:00 | 0,8 | 140 | 16/04/2017 | 13:00:00 | 1,7 | 31 | 16/04/2017 | 14:00:00 | 4 | 40 |
| 16/04/2017 | 15:00:00 | 4,4 | 345 | 16/04/2017 | 16:00:00 | 2,7 | 7 | 16/04/2017 | 17:00:00 | 1,5 | 327 | 16/04/2017 | 18:00:00 | 0,4 | 195 |
| 16/04/2017 | 19:00:00 | 1,2 | 325 | 16/04/2017 | 20:00:00 | 0,2 | 235 | 16/04/2017 | 21:00:00 | 0,9 | 237 | 16/04/2017 | 22:00:00 | 0,2 | 1 |
| 16/04/2017 | 23:00:00 | 0,5 | 231 | 17/04/2017 | 00:00:00 | 0,6 | 140 | 17/04/2017 | 01:00:00 | 0,5 | 158 | 17/04/2017 | 02:00:00 | 0,1 | 241 |
| 17/04/2017 | 03:00:00 | 0,3 | 202 | 17/04/2017 | 04:00:00 | 0,3 | 137 | 17/04/2017 | 05:00:00 | 0,3 | 332 | 17/04/2017 | 06:00:00 | 0,7 | 100 |
| 17/04/2017 | 07:00:00 | 2,2 | 121 | 17/04/2017 | 08:00:00 | 1 | 37 | 17/04/2017 | 09:00:00 | 1 | 60 | 17/04/2017 | 10:00:00 | 1,7 | 4 |
| 17/04/2017 | 11:00:00 | 4,3 | 31 | 17/04/2017 | 12:00:00 | 3,5 | 33 | 17/04/2017 | 13:00:00 | 3,8 | 356 | 17/04/2017 | 14:00:00 | 4,3 | 84 |
| 17/04/2017 | 15:00:00 | 4 | 325 | 17/04/2017 | 16:00:00 | 0,7 | 30 | 17/04/2017 | 17:00:00 | 2,7 | 294 | 17/04/2017 | 18:00:00 | 1,1 | 253 |
| 17/04/2017 | 19:00:00 | 0,5 | 348 | 17/04/2017 | 20:00:00 | 0,1 | 307 | 17/04/2017 | 21:00:00 | 0,4 | 192 | 17/04/2017 | 23:00:00 | 0,5 | 197 |
| 18/04/2017 | 00:00:00 | 0,6 | 340 | 18/04/2017 | 01:00:00 | 0,3 | 163 | 18/04/2017 | 02:00:00 | 0,1 | 184 | 18/04/2017 | 03:00:00 | 0,7 | 173 |
| 18/04/2017 | 04:00:00 | 1,3 | 109 | 18/04/2017 | 05:00:00 | 0,1 | 226 | 18/04/2017 | 06:00:00 | 0,8 | 332 | 18/04/2017 | 07:00:00 | 0,8 | 116 |
| 18/04/2017 | 08:00:00 | 0,6 | 326 | 18/04/2017 | 09:00:00 | 0,4 | 53 | 18/04/2017 | 10:00:00 | 3,5 | 349 | 18/04/2017 | 11:00:00 | 2,1 | 35 |
| 18/04/2017 | 12:00:00 | 3 | 33 | 18/04/2017 | 13:00:00 | 2,7 | 6 | 18/04/2017 | 14:00:00 | 4,2 | 347 | 18/04/2017 | 15:00:00 | 3,9 | 295 |
| 18/04/2017 | 16:00:00 | 3,3 | 245 | 18/04/2017 | 17:00:00 | 1 | 244 | 18/04/2017 | 18:00:00 | 1,6 | 332 | 18/04/2017 | 19:00:00 | 1,3 | 25 |
| 18/04/2017 | 20:00:00 | 1,1 | 330 | 18/04/2017 | 21:00:00 | 0,6 | 11 | 18/04/2017 | 22:00:00 | 0,3 | 256 | 19/04/2017 | 00:00:00 | 0,4 | 328 |

| Fecha | Hora | v(m/s) | Dir.(°) |
|------------|----------|--------|---------|------------|----------|--------|---------|------------|----------|--------|---------|------------|----------|--------|---------|
| 19/04/2017 | 05:00:00 | 0,1 | 286 | 19/04/2017 | 06:00:00 | 0,1 | 224 | 19/04/2017 | 07:00:00 | 0,2 | 87 | 19/04/2017 | 08:00:00 | 0,3 | 35 |
| 19/04/2017 | 09:00:00 | 0,4 | 48 | 19/04/2017 | 10:00:00 | 1 | 292 | 19/04/2017 | 11:00:00 | 1,1 | 276 | 19/04/2017 | 12:00:00 | 2,9 | 312 |
| 19/04/2017 | 13:00:00 | 1,8 | 277 | 19/04/2017 | 14:00:00 | 3,9 | 247 | 19/04/2017 | 15:00:00 | 3,6 | 257 | 19/04/2017 | 16:00:00 | 0,9 | 290 |
| 19/04/2017 | 17:00:00 | 2 | 295 | 19/04/2017 | 18:00:00 | 1,8 | 302 | 19/04/2017 | 19:00:00 | 0,7 | 272 | 19/04/2017 | 20:00:00 | 0,4 | 5 |
| 19/04/2017 | 21:00:00 | 2,3 | 325 | 19/04/2017 | 22:00:00 | 1 | 254 | 19/04/2017 | 23:00:00 | 1,4 | 357 | 20/04/2017 | 00:00:00 | 0,8 | 73 |
| 20/04/2017 | 01:00:00 | 0,2 | 37 | 20/04/2017 | 02:00:00 | 0,3 | 98 | 20/04/2017 | 03:00:00 | 0,3 | 24 | 20/04/2017 | 04:00:00 | 0,5 | 356 |
| 20/04/2017 | 05:00:00 | 0,4 | 31 | 20/04/2017 | 06:00:00 | 0,6 | 351 | 20/04/2017 | 07:00:00 | 1,2 | 340 | 20/04/2017 | 08:00:00 | 0,2 | 325 |
| 20/04/2017 | 09:00:00 | 0,1 | 84 | 20/04/2017 | 10:00:00 | 0,4 | 23 | 20/04/2017 | 11:00:00 | 1,7 | 351 | 20/04/2017 | 12:00:00 | 0,6 | 43 |
| 20/04/2017 | 13:00:00 | 1,9 | 235 | 20/04/2017 | 14:00:00 | 1,8 | 283 | 20/04/2017 | 15:00:00 | 2,3 | 277 | 20/04/2017 | 16:00:00 | 0,2 | 117 |
| 20/04/2017 | 17:00:00 | 1,1 | 345 | 20/04/2017 | 18:00:00 | 0,4 | 180 | 20/04/2017 | 20:00:00 | 2,2 | 352 | 20/04/2017 | 21:00:00 | 0,8 | 3 |
| 20/04/2017 | 22:00:00 | 1,1 | 206 | 21/04/2017 | 00:00:00 | 0,3 | 76 | 21/04/2017 | 01:00:00 | 0,2 | 179 | 21/04/2017 | 02:00:00 | 0,2 | 204 |
| 21/04/2017 | 03:00:00 | 0,2 | 334 | 21/04/2017 | 04:00:00 | 0,9 | 319 | 21/04/2017 | 05:00:00 | 0,1 | 137 | 21/04/2017 | 06:00:00 | 0,2 | 135 |
| 21/04/2017 | 08:00:00 | 0,4 | 152 | 21/04/2017 | 09:00:00 | 0,5 | 205 | 21/04/2017 | 10:00:00 | 2,6 | 343 | 21/04/2017 | 11:00:00 | 0,7 | 6 |
| 21/04/2017 | 12:00:00 | 2,2 | 14 | 21/04/2017 | 13:00:00 | 0,7 | 170 | 21/04/2017 | 14:00:00 | 1,3 | 45 | 21/04/2017 | 15:00:00 | 4,7 | 255 |
| 21/04/2017 | 16:00:00 | 3,2 | 277 | 21/04/2017 | 17:00:00 | 3,4 | 256 | 21/04/2017 | 18:00:00 | 0,8 | 92 | 21/04/2017 | 19:00:00 | 0,6 | 267 |
| 21/04/2017 | 20:00:00 | 1,5 | 333 | 21/04/2017 | 21:00:00 | 2,5 | 296 | 21/04/2017 | 22:00:00 | 0,7 | 136 | 21/04/2017 | 23:00:00 | 0,2 | 214 |
| 22/04/2017 | 00:00:00 | 0,9 | 338 | 22/04/2017 | 01:00:00 | 1 | 329 | 22/04/2017 | 02:00:00 | 0,1 | 335 | 22/04/2017 | 03:00:00 | 0,6 | 80 |
| 22/04/2017 | 04:00:00 | 0,5 | 168 | 22/04/2017 | 05:00:00 | 0,7 | 216 | 22/04/2017 | 06:00:00 | 0,6 | 80 | 22/04/2017 | 07:00:00 | 0,1 | 184 |
| 22/04/2017 | 08:00:00 | 0,3 | 306 | 22/04/2017 | 10:00:00 | 2 | 18 | 22/04/2017 | 11:00:00 | 3,1 | 341 | 22/04/2017 | 12:00:00 | 3,9 | 357 |
| 22/04/2017 | 13:00:00 | 3,5 | 348 | 22/04/2017 | 14:00:00 | 2,4 | 350 | 22/04/2017 | 15:00:00 | 5,4 | 359 | 22/04/2017 | 16:00:00 | 4,6 | 14 |
| 22/04/2017 | 17:00:00 | 2,3 | 359 | 22/04/2017 | 18:00:00 | 0,2 | 10 | 22/04/2017 | 19:00:00 | 1,4 | 323 | 22/04/2017 | 20:00:00 | 1,9 | 7 |
| 22/04/2017 | 21:00:00 | 1,1 | 132 | 22/04/2017 | 22:00:00 | 0,4 | 244 | 22/04/2017 | 23:00:00 | 0,5 | 246 | 23/04/2017 | 00:00:00 | 0,4 | 294 |
| 23/04/2017 | 01:00:00 | 0,2 | 193 | 23/04/2017 | 02:00:00 | 0,6 | 148 | 23/04/2017 | 03:00:00 | 0,1 | 199 | 23/04/2017 | 04:00:00 | 0,6 | 344 |
| 23/04/2017 | 05:00:00 | 1 | 329 | 23/04/2017 | 06:00:00 | 0,3 | 273 | 23/04/2017 | 07:00:00 | 0,5 | 132 | 23/04/2017 | 08:00:00 | 1,3 | 14 |
| 23/04/2017 | 09:00:00 | 1,1 | 26 | 23/04/2017 | 10:00:00 | 1,8 | 10 | 23/04/2017 | 11:00:00 | 3,9 | 19 | 23/04/2017 | 12:00:00 | 6,9 | 343 |
| 23/04/2017 | 13:00:00 | 5,2 | 30 | 23/04/2017 | 14:00:00 | 4,6 | 19 | 23/04/2017 | 15:00:00 | 4,4 | 18 | 23/04/2017 | 16:00:00 | 1,4 | 270 |
| 23/04/2017 | 17:00:00 | 1,2 | 357 | 23/04/2017 | 18:00:00 | 0,4 | 49 | 23/04/2017 | 19:00:00 | 0,7 | 358 | 23/04/2017 | 20:00:00 | 0,5 | 124 |
| 23/04/2017 | 21:00:00 | 0,8 | 340 | 23/04/2017 | 22:00:00 | 1,1 | 171 | 23/04/2017 | 23:00:00 | 0,7 | 97 | 24/04/2017 | 00:00:00 | 0,8 | 119 |

| Fecha | Hora | v(m/s) | Dir.(°) |
|------------|----------|--------|---------|------------|----------|--------|---------|------------|----------|--------|---------|------------|----------|--------|---------|
| 24/04/2017 | 05:00:00 | 0,1 | 194 | 24/04/2017 | 06:00:00 | 0,3 | 137 | 24/04/2017 | 07:00:00 | 0,6 | 9 | 24/04/2017 | 08:00:00 | 0,3 | 70 |
| 24/04/2017 | 09:00:00 | 2,3 | 100 | 24/04/2017 | 10:00:00 | 2,2 | 327 | 24/04/2017 | 11:00:00 | 5,5 | 352 | 24/04/2017 | 12:00:00 | 4,2 | 26 |
| 24/04/2017 | 13:00:00 | 1,7 | 1 | 24/04/2017 | 14:00:00 | 4,5 | 353 | 24/04/2017 | 15:00:00 | 1,9 | 358 | 24/04/2017 | 16:00:00 | 1,7 | 7 |
| 24/04/2017 | 17:00:00 | 0,8 | 231 | 24/04/2017 | 18:00:00 | 1,9 | 252 | 24/04/2017 | 19:00:00 | 1,9 | 278 | 24/04/2017 | 20:00:00 | 0,6 | 284 |
| 24/04/2017 | 21:00:00 | 1,2 | 33 | 24/04/2017 | 22:00:00 | 0,4 | 23 | 24/04/2017 | 23:00:00 | 0,1 | 240 | 25/04/2017 | 02:00:00 | 1 | 335 |
| 25/04/2017 | 05:00:00 | 0,2 | 94 | 25/04/2017 | 06:00:00 | 0,5 | 344 | 25/04/2017 | 07:00:00 | 0,4 | 45 | 25/04/2017 | 08:00:00 | 0,2 | 13 |
| 25/04/2017 | 09:00:00 | 0,2 | 172 | 25/04/2017 | 10:00:00 | 1,5 | 121 | 25/04/2017 | 11:00:00 | 1 | 257 | 25/04/2017 | 12:00:00 | 2,5 | 89 |
| 25/04/2017 | 13:00:00 | 0,6 | 342 | 25/04/2017 | 14:00:00 | 0,9 | 350 | 25/04/2017 | 15:00:00 | 1,3 | 333 | 25/04/2017 | 16:00:00 | 1,4 | 147 |
| 25/04/2017 | 17:00:00 | 1,2 | 129 | 25/04/2017 | 18:00:00 | 0,5 | 249 | 25/04/2017 | 19:00:00 | 0,5 | 143 | 25/04/2017 | 20:00:00 | 0,9 | 240 |
| 25/04/2017 | 21:00:00 | 0,4 | 219 | 25/04/2017 | 22:00:00 | 0,5 | 208 | 25/04/2017 | 23:00:00 | 0,2 | 202 | 26/04/2017 | 00:00:00 | 1,3 | 101 |
| 26/04/2017 | 01:00:00 | 1 | 265 | 26/04/2017 | 02:00:00 | 0,4 | 201 | 26/04/2017 | 03:00:00 | 0,4 | 190 | 26/04/2017 | 04:00:00 | 0,2 | 100 |
| 26/04/2017 | 05:00:00 | 0,2 | 179 | 26/04/2017 | 06:00:00 | 0,1 | 203 | 26/04/2017 | 07:00:00 | 0,7 | 351 | 26/04/2017 | 08:00:00 | 0,2 | 341 |
| 26/04/2017 | 09:00:00 | 1,2 | 336 | 26/04/2017 | 10:00:00 | 1,1 | 144 | 26/04/2017 | 11:00:00 | 1,6 | 10 | 26/04/2017 | 12:00:00 | 1,5 | 175 |
| 26/04/2017 | 13:00:00 | 0,4 | 127 | 26/04/2017 | 14:00:00 | 0,8 | 132 | 26/04/2017 | 15:00:00 | 1,4 | 50 | 26/04/2017 | 16:00:00 | 0,1 | 292 |
| 26/04/2017 | 17:00:00 | 0,3 | 65 | 26/04/2017 | 18:00:00 | 2,5 | 258 | 26/04/2017 | 19:00:00 | 1,6 | 343 | 26/04/2017 | 20:00:00 | 1,2 | 247 |
| 26/04/2017 | 21:00:00 | 0,4 | 86 | 26/04/2017 | 22:00:00 | 1,1 | 240 | 26/04/2017 | 23:00:00 | 0,7 | 209 | 27/04/2017 | 00:00:00 | 0,5 | 281 |
| 27/04/2017 | 01:00:00 | 0,5 | 157 | 27/04/2017 | 02:00:00 | 0,3 | 239 | 27/04/2017 | 03:00:00 | 0,2 | 127 | 27/04/2017 | 04:00:00 | 0,5 | 130 |
| 27/04/2017 | 05:00:00 | 0,3 | 348 | 27/04/2017 | 07:00:00 | 0,5 | 166 | 27/04/2017 | 08:00:00 | 0,4 | 141 | 27/04/2017 | 09:00:00 | 0,3 | 271 |
| 27/04/2017 | 10:00:00 | 0,9 | 344 | 27/04/2017 | 11:00:00 | 2,8 | 87 | 27/04/2017 | 12:00:00 | 2,4 | 9 | 27/04/2017 | 13:00:00 | 3,4 | 3 |
| 27/04/2017 | 14:00:00 | 2,4 | 355 | 27/04/2017 | 15:00:00 | 1,8 | 18 | 27/04/2017 | 16:00:00 | 1,5 | 68 | 27/04/2017 | 17:00:00 | 1,5 | 83 |
| 27/04/2017 | 18:00:00 | 0,4 | 93 | 27/04/2017 | 19:00:00 | 0,6 | 333 | 27/04/2017 | 20:00:00 | 0,2 | 213 | 27/04/2017 | 21:00:00 | 0,6 | 267 |
| 27/04/2017 | 22:00:00 | 0,8 | 151 | 27/04/2017 | 23:00:00 | 0,6 | 137 | 28/04/2017 | 00:00:00 | 0,8 | 192 | 28/04/2017 | 01:00:00 | 0,5 | 174 |
| 28/04/2017 | 02:00:00 | 0,3 | 162 | 28/04/2017 | 03:00:00 | 2,3 | 332 | 28/04/2017 | 04:00:00 | 1,5 | 16 | 28/04/2017 | 05:00:00 | 0,4 | 159 |
| 28/04/2017 | 06:00:00 | 0,1 | 32 | 28/04/2017 | 07:00:00 | 0,5 | 326 | 28/04/2017 | 08:00:00 | 1,3 | 1 | 28/04/2017 | 09:00:00 | 2,1 | 351 |
| 28/04/2017 | 10:00:00 | 2,8 | 25 | 28/04/2017 | 11:00:00 | 3,9 | 333 | 28/04/2017 | 12:00:00 | 4,8 | 330 | 28/04/2017 | 13:00:00 | 4,8 | 14 |
| 28/04/2017 | 14:00:00 | 4,5 | 355 | 28/04/2017 | 15:00:00 | 1,2 | 30 | 28/04/2017 | 16:00:00 | 2,4 | 7 | 28/04/2017 | 17:00:00 | 1,1 | 351 |
| 28/04/2017 | 18:00:00 | 2,6 | 14 | 28/04/2017 | 19:00:00 | 1,2 | 0 | 28/04/2017 | 20:00:00 | 1,1 | 174 | 28/04/2017 | 21:00:00 | 0,5 | 57 |
| 28/04/2017 | 22:00:00 | 0,5 | 192 | 28/04/2017 | 23:00:00 | 1,5 | 323 | 29/04/2017 | 00:00:00 | 2,3 | 87 | 29/04/2017 | 01:00:00 | 0,2 | 247 |

**ANEXO N°02. VELOCIDAD DEL VIENTO A 19 m DE
ALTURA**

| Fecha | Hora | v(m/s) | Dir.(°) |
|------------|----------|--------|---------|------------|----------|--------|---------|------------|----------|--------|---------|------------|----------|--------|---------|
| 01/03/2017 | 00:00:00 | 0,471 | 252 | 01/03/2017 | 01:00:00 | 0,784 | 230 | 01/03/2017 | 03:00:00 | 2,039 | 12 | 01/03/2017 | 04:00:00 | 0,627 | 243 |
| 01/03/2017 | 05:00:00 | 0,471 | 164 | 01/03/2017 | 06:00:00 | 0,157 | 284 | 01/03/2017 | 07:00:00 | 1,098 | 9 | 01/03/2017 | 08:00:00 | 0,627 | 16 |
| 01/03/2017 | 09:00:00 | 0,784 | 64 | 01/03/2017 | 10:00:00 | 0,784 | 65 | 01/03/2017 | 11:00:00 | 0,941 | 254 | 01/03/2017 | 12:00:00 | 3,294 | 23 |
| 01/03/2017 | 13:00:00 | 1,726 | 27 | 01/03/2017 | 14:00:00 | 2,039 | 331 | 01/03/2017 | 15:00:00 | 1,255 | 225 | 01/03/2017 | 16:00:00 | 2,824 | 8 |
| 01/03/2017 | 17:00:00 | 3,608 | 2 | 01/03/2017 | 18:00:00 | 0,627 | 114 | 01/03/2017 | 19:00:00 | 0,157 | 222 | 01/03/2017 | 21:00:00 | 1,098 | 156 |
| 01/03/2017 | 22:00:00 | 0,784 | 340 | 01/03/2017 | 23:00:00 | 0,157 | 327 | 02/03/2017 | 00:00:00 | 0,471 | 172 | 02/03/2017 | 01:00:00 | 0,784 | 31 |
| 02/03/2017 | 02:00:00 | 0,471 | 224 | 02/03/2017 | 03:00:00 | 1,098 | 319 | 02/03/2017 | 04:00:00 | 1,255 | 108 | 02/03/2017 | 05:00:00 | 0,784 | 59 |
| 02/03/2017 | 06:00:00 | 1,412 | 88 | 02/03/2017 | 07:00:00 | 0,314 | 137 | 02/03/2017 | 09:00:00 | 1,569 | 303 | 02/03/2017 | 10:00:00 | 2,039 | 118 |
| 02/03/2017 | 11:00:00 | 0,941 | 224 | 02/03/2017 | 12:00:00 | 2,824 | 42 | 02/03/2017 | 13:00:00 | 3,922 | 329 | 02/03/2017 | 14:00:00 | 4,706 | 34 |
| 02/03/2017 | 15:00:00 | 4,549 | 246 | 02/03/2017 | 16:00:00 | 4,079 | 251 | 02/03/2017 | 17:00:00 | 2,510 | 273 | 02/03/2017 | 18:00:00 | 4,863 | 5 |
| 02/03/2017 | 19:00:00 | 3,294 | 2 | 02/03/2017 | 20:00:00 | 2,824 | 335 | 02/03/2017 | 21:00:00 | 1,098 | 359 | 02/03/2017 | 22:00:00 | 1,098 | 2 |
| 02/03/2017 | 23:00:00 | 0,157 | 259 | 03/03/2017 | 00:00:00 | 0,941 | 11 | 03/03/2017 | 01:00:00 | 0,627 | 359 | 03/03/2017 | 02:00:00 | 0,941 | 272 |
| 03/03/2017 | 03:00:00 | 1,255 | 279 | 03/03/2017 | 04:00:00 | 0,157 | 209 | 03/03/2017 | 05:00:00 | 1,098 | 2 | 03/03/2017 | 06:00:00 | 0,784 | 266 |
| 03/03/2017 | 07:00:00 | 1,255 | 125 | 03/03/2017 | 08:00:00 | 0,941 | 57 | 03/03/2017 | 09:00:00 | 0,784 | 36 | 03/03/2017 | 10:00:00 | 1,882 | 278 |
| 03/03/2017 | 11:00:00 | 2,667 | 92 | 03/03/2017 | 12:00:00 | 2,824 | 336 | 03/03/2017 | 13:00:00 | 2,824 | 11 | 03/03/2017 | 14:00:00 | 3,137 | 14 |
| 03/03/2017 | 15:00:00 | 0,784 | 181 | 03/03/2017 | 16:00:00 | 1,098 | 3 | 03/03/2017 | 17:00:00 | 1,098 | 24 | 03/03/2017 | 18:00:00 | 2,196 | 174 |
| 03/03/2017 | 19:00:00 | 0,784 | 122 | 03/03/2017 | 20:00:00 | 0,314 | 197 | 03/03/2017 | 21:00:00 | 0,627 | 178 | 03/03/2017 | 22:00:00 | 0,314 | 36 |
| 03/03/2017 | 23:00:00 | 0,941 | 356 | 04/03/2017 | 00:00:00 | 1,255 | 259 | 04/03/2017 | 01:00:00 | 0,314 | 161 | 04/03/2017 | 02:00:00 | 2,510 | 173 |
| 04/03/2017 | 04:00:00 | 1,569 | 91 | 04/03/2017 | 05:00:00 | 1,098 | 146 | 04/03/2017 | 06:00:00 | 0,941 | 182 | 04/03/2017 | 07:00:00 | 0,157 | 71 |
| 04/03/2017 | 08:00:00 | 0,157 | 317 | 04/03/2017 | 09:00:00 | 2,824 | 127 | 04/03/2017 | 10:00:00 | 1,726 | 122 | 04/03/2017 | 11:00:00 | 1,569 | 154 |
| 04/03/2017 | 12:00:00 | 4,549 | 22 | 04/03/2017 | 13:00:00 | 3,137 | 327 | 04/03/2017 | 14:00:00 | 6,589 | 345 | 04/03/2017 | 15:00:00 | 0,314 | 210 |
| 04/03/2017 | 16:00:00 | 2,196 | 38 | 04/03/2017 | 17:00:00 | 5,334 | 338 | 04/03/2017 | 18:00:00 | 1,098 | 302 | 04/03/2017 | 19:00:00 | 0,314 | 301 |
| 04/03/2017 | 20:00:00 | 2,039 | 76 | 04/03/2017 | 21:00:00 | 1,255 | 24 | 04/03/2017 | 22:00:00 | 0,314 | 43 | 04/03/2017 | 23:00:00 | 0,157 | 244 |
| 05/03/2017 | 00:00:00 | 0,314 | 199 | 05/03/2017 | 01:00:00 | 0,784 | 250 | 05/03/2017 | 02:00:00 | 0,627 | 279 | 05/03/2017 | 03:00:00 | 0,784 | 250 |
| 05/03/2017 | 04:00:00 | 0,941 | 141 | 05/03/2017 | 05:00:00 | 0,157 | 17 | 05/03/2017 | 06:00:00 | 1,569 | 160 | 05/03/2017 | 07:00:00 | 0,157 | 131 |
| 05/03/2017 | 08:00:00 | 0,157 | 255 | 05/03/2017 | 09:00:00 | 2,510 | 354 | 05/03/2017 | 10:00:00 | 2,981 | 10 | 05/03/2017 | 11:00:00 | 2,824 | 43 |
| 05/03/2017 | 12:00:00 | 4,236 | 22 | 05/03/2017 | 13:00:00 | 4,079 | 345 | 05/03/2017 | 14:00:00 | 7,059 | 354 | 05/03/2017 | 15:00:00 | 6,745 | 341 |
| 05/03/2017 | 16:00:00 | 5,804 | 5 | 05/03/2017 | 17:00:00 | 5,961 | 339 | 05/03/2017 | 18:00:00 | 5,020 | 7 | 05/03/2017 | 19:00:00 | 2,510 | 347 |

| Fecha | Hora | v(m/s) | Dir.(°) |
|------------|----------|--------|---------|------------|----------|--------|---------|------------|----------|--------|---------|------------|----------|--------|---------|
| 06/03/2017 | 00:00:00 | 0,627 | 166 | 06/03/2017 | 02:00:00 | 1,098 | 242 | 06/03/2017 | 03:00:00 | 0,314 | 217 | 06/03/2017 | 04:00:00 | 0,471 | 224 |
| 06/03/2017 | 05:00:00 | 1,255 | 230 | 06/03/2017 | 06:00:00 | 0,941 | 177 | 06/03/2017 | 07:00:00 | 0,157 | 54 | 06/03/2017 | 08:00:00 | 1,569 | 344 |
| 06/03/2017 | 09:00:00 | 4,079 | 35 | 06/03/2017 | 10:00:00 | 8,942 | 21 | 06/03/2017 | 11:00:00 | 6,275 | 5 | 06/03/2017 | 12:00:00 | 1,412 | 22 |
| 06/03/2017 | 13:00:00 | 5,177 | 358 | 06/03/2017 | 14:00:00 | 3,451 | 61 | 06/03/2017 | 15:00:00 | 2,824 | 288 | 06/03/2017 | 16:00:00 | 4,863 | 273 |
| 06/03/2017 | 17:00:00 | 0,784 | 287 | 06/03/2017 | 18:00:00 | 1,726 | 339 | 06/03/2017 | 19:00:00 | 0,784 | 157 | 06/03/2017 | 20:00:00 | 0,157 | 12 |
| 06/03/2017 | 21:00:00 | 0,941 | 316 | 06/03/2017 | 22:00:00 | 1,412 | 10 | 06/03/2017 | 23:00:00 | 0,314 | 221 | 07/03/2017 | 00:00:00 | 0,157 | 168 |
| 07/03/2017 | 01:00:00 | 0,784 | 212 | 07/03/2017 | 02:00:00 | 0,157 | 5 | 07/03/2017 | 03:00:00 | 1,255 | 21 | 07/03/2017 | 04:00:00 | 0,784 | 131 |
| 07/03/2017 | 05:00:00 | 0,627 | 64 | 07/03/2017 | 06:00:00 | 0,314 | 239 | 07/03/2017 | 07:00:00 | 2,196 | 124 | 07/03/2017 | 08:00:00 | 0,314 | 97 |
| 07/03/2017 | 09:00:00 | 0,471 | 135 | 07/03/2017 | 10:00:00 | 3,451 | 343 | 07/03/2017 | 11:00:00 | 3,451 | 11 | 07/03/2017 | 12:00:00 | 4,079 | 18 |
| 07/03/2017 | 13:00:00 | 3,451 | 341 | 07/03/2017 | 14:00:00 | 3,608 | 13 | 07/03/2017 | 15:00:00 | 4,236 | 6 | 07/03/2017 | 16:00:00 | 2,667 | 284 |
| 07/03/2017 | 17:00:00 | 0,941 | 324 | 07/03/2017 | 18:00:00 | 0,471 | 227 | 07/03/2017 | 19:00:00 | 1,412 | 347 | 07/03/2017 | 20:00:00 | 1,569 | 332 |
| 07/03/2017 | 21:00:00 | 0,157 | 321 | 07/03/2017 | 22:00:00 | 0,784 | 278 | 07/03/2017 | 23:00:00 | 0,314 | 176 | 08/03/2017 | 00:00:00 | 0,784 | 331 |
| 08/03/2017 | 01:00:00 | 0,627 | 93 | 08/03/2017 | 02:00:00 | 0,627 | 328 | 08/03/2017 | 03:00:00 | 0,627 | 300 | 08/03/2017 | 04:00:00 | 1,255 | 67 |
| 08/03/2017 | 05:00:00 | 0,627 | 237 | 08/03/2017 | 06:00:00 | 0,784 | 102 | 08/03/2017 | 07:00:00 | 0,157 | 102 | 08/03/2017 | 08:00:00 | 1,412 | 128 |
| 08/03/2017 | 09:00:00 | 0,784 | 69 | 08/03/2017 | 10:00:00 | 3,137 | 342 | 08/03/2017 | 11:00:00 | 4,392 | 352 | 08/03/2017 | 12:00:00 | 2,353 | 35 |
| 08/03/2017 | 13:00:00 | 4,863 | 353 | 08/03/2017 | 14:00:00 | 2,353 | 86 | 08/03/2017 | 15:00:00 | 2,510 | 359 | 08/03/2017 | 16:00:00 | 2,196 | 291 |
| 08/03/2017 | 17:00:00 | 2,667 | 242 | 08/03/2017 | 18:00:00 | 0,784 | 90 | 08/03/2017 | 19:00:00 | 0,314 | 97 | 08/03/2017 | 20:00:00 | 1,255 | 122 |
| 08/03/2017 | 21:00:00 | 0,627 | 301 | 08/03/2017 | 22:00:00 | 0,784 | 105 | 08/03/2017 | 23:00:00 | 0,471 | 244 | 09/03/2017 | 00:00:00 | 0,314 | 268 |
| 09/03/2017 | 01:00:00 | 0,784 | 340 | 09/03/2017 | 02:00:00 | 0,627 | 134 | 09/03/2017 | 03:00:00 | 0,157 | 262 | 09/03/2017 | 04:00:00 | 0,314 | 209 |
| 09/03/2017 | 05:00:00 | 0,627 | 203 | 09/03/2017 | 06:00:00 | 0,314 | 265 | 09/03/2017 | 07:00:00 | 0,941 | 258 | 09/03/2017 | 08:00:00 | 0,471 | 109 |
| 09/03/2017 | 09:00:00 | 0,941 | 119 | 09/03/2017 | 10:00:00 | 0,471 | 158 | 09/03/2017 | 11:00:00 | 4,079 | 154 | 09/03/2017 | 12:00:00 | 1,098 | 88 |
| 09/03/2017 | 13:00:00 | 2,196 | 22 | 09/03/2017 | 14:00:00 | 1,569 | 214 | 09/03/2017 | 15:00:00 | 0,314 | 330 | 09/03/2017 | 16:00:00 | 4,549 | 351 |
| 09/03/2017 | 17:00:00 | 1,412 | 133 | 09/03/2017 | 18:00:00 | 3,922 | 342 | 09/03/2017 | 19:00:00 | 0,941 | 230 | 09/03/2017 | 20:00:00 | 0,784 | 355 |
| 09/03/2017 | 21:00:00 | 0,627 | 356 | 09/03/2017 | 22:00:00 | 0,784 | 299 | 09/03/2017 | 23:00:00 | 0,314 | 2 | 10/03/2017 | 01:00:00 | 1,255 | 3 |
| 10/03/2017 | 02:00:00 | 2,981 | 318 | 10/03/2017 | 03:00:00 | 0,314 | 222 | 10/03/2017 | 04:00:00 | 0,471 | 89 | 10/03/2017 | 05:00:00 | 0,157 | 304 |
| 10/03/2017 | 06:00:00 | 0,784 | 107 | 10/03/2017 | 07:00:00 | 0,627 | 225 | 10/03/2017 | 08:00:00 | 1,098 | 218 | 10/03/2017 | 09:00:00 | 2,981 | 78 |
| 10/03/2017 | 10:00:00 | 4,549 | 142 | 10/03/2017 | 11:00:00 | 2,824 | 164 | 10/03/2017 | 12:00:00 | 2,667 | 30 | 10/03/2017 | 13:00:00 | 5,804 | 17 |
| 10/03/2017 | 14:00:00 | 5,804 | 18 | 10/03/2017 | 15:00:00 | 1,569 | 3 | 10/03/2017 | 16:00:00 | 1,255 | 29 | 10/03/2017 | 17:00:00 | 1,412 | 327 |

| Fecha | Hora | v(m/s) | Dir.(°) |
|------------|----------|--------|---------|------------|----------|--------|---------|------------|----------|--------|---------|------------|----------|--------|---------|
| 10/03/2017 | 22:00:00 | 0,157 | 197 | 10/03/2017 | 23:00:00 | 0,627 | 219 | 11/03/2017 | 00:00:00 | 0,157 | 164 | 11/03/2017 | 01:00:00 | 0,627 | 136 |
| 11/03/2017 | 02:00:00 | 0,627 | 124 | 11/03/2017 | 03:00:00 | 0,627 | 248 | 11/03/2017 | 04:00:00 | 1,098 | 182 | 11/03/2017 | 05:00:00 | 0,471 | 183 |
| 11/03/2017 | 06:00:00 | 0,471 | 229 | 11/03/2017 | 07:00:00 | 0,314 | 249 | 11/03/2017 | 08:00:00 | 1,412 | 90 | 11/03/2017 | 09:00:00 | 2,039 | 9 |
| 11/03/2017 | 10:00:00 | 4,706 | 355 | 11/03/2017 | 11:00:00 | 8,000 | 349 | 11/03/2017 | 12:00:00 | 1,569 | 19 | 11/03/2017 | 13:00:00 | 1,882 | 83 |
| 11/03/2017 | 14:00:00 | 2,981 | 3 | 11/03/2017 | 15:00:00 | 0,784 | 228 | 11/03/2017 | 16:00:00 | 2,196 | 139 | 11/03/2017 | 17:00:00 | 0,471 | 201 |
| 11/03/2017 | 18:00:00 | 0,471 | 154 | 11/03/2017 | 19:00:00 | 0,314 | 262 | 11/03/2017 | 20:00:00 | 0,314 | 209 | 11/03/2017 | 21:00:00 | 0,627 | 231 |
| 11/03/2017 | 22:00:00 | 0,941 | 111 | 11/03/2017 | 23:00:00 | 0,784 | 216 | 12/03/2017 | 00:00:00 | 0,314 | 180 | 12/03/2017 | 01:00:00 | 0,471 | 149 |
| 12/03/2017 | 02:00:00 | 0,627 | 25 | 12/03/2017 | 03:00:00 | 0,157 | 119 | 12/03/2017 | 04:00:00 | 0,627 | 187 | 12/03/2017 | 05:00:00 | 0,314 | 199 |
| 12/03/2017 | 06:00:00 | 0,627 | 114 | 12/03/2017 | 07:00:00 | 0,314 | 196 | 12/03/2017 | 08:00:00 | 0,627 | 30 | 12/03/2017 | 09:00:00 | 0,941 | 69 |
| 12/03/2017 | 10:00:00 | 1,098 | 93 | 12/03/2017 | 11:00:00 | 3,451 | 15 | 12/03/2017 | 12:00:00 | 9,412 | 0 | 12/03/2017 | 13:00:00 | 5,334 | 19 |
| 12/03/2017 | 14:00:00 | 5,334 | 2 | 12/03/2017 | 15:00:00 | 1,882 | 140 | 12/03/2017 | 16:00:00 | 3,451 | 13 | 12/03/2017 | 17:00:00 | 1,412 | 348 |
| 12/03/2017 | 18:00:00 | 2,196 | 335 | 12/03/2017 | 19:00:00 | 0,784 | 342 | 12/03/2017 | 20:00:00 | 0,627 | 5 | 12/03/2017 | 21:00:00 | 1,569 | 165 |
| 12/03/2017 | 22:00:00 | 0,314 | 157 | 12/03/2017 | 23:00:00 | 0,314 | 324 | 13/03/2017 | 00:00:00 | 0,941 | 180 | 13/03/2017 | 01:00:00 | 0,157 | 309 |
| 13/03/2017 | 02:00:00 | 0,314 | 155 | 13/03/2017 | 03:00:00 | 0,784 | 248 | 13/03/2017 | 04:00:00 | 0,314 | 136 | 13/03/2017 | 05:00:00 | 0,627 | 167 |
| 13/03/2017 | 06:00:00 | 0,157 | 266 | 13/03/2017 | 07:00:00 | 1,412 | 21 | 13/03/2017 | 08:00:00 | 1,098 | 51 | 13/03/2017 | 09:00:00 | 0,471 | 171 |
| 13/03/2017 | 10:00:00 | 1,412 | 319 | 13/03/2017 | 11:00:00 | 1,726 | 4 | 13/03/2017 | 12:00:00 | 4,549 | 269 | 13/03/2017 | 13:00:00 | 5,020 | 230 |
| 13/03/2017 | 14:00:00 | 1,412 | 219 | 13/03/2017 | 15:00:00 | 2,510 | 315 | 13/03/2017 | 16:00:00 | 1,412 | 249 | 13/03/2017 | 17:00:00 | 2,196 | 339 |
| 13/03/2017 | 18:00:00 | 1,255 | 142 | 13/03/2017 | 19:00:00 | 0,941 | 165 | 13/03/2017 | 20:00:00 | 0,941 | 260 | 13/03/2017 | 21:00:00 | 1,098 | 67 |
| 13/03/2017 | 22:00:00 | 0,471 | 224 | 13/03/2017 | 23:00:00 | 1,569 | 9 | 14/03/2017 | 00:00:00 | 0,471 | 243 | 14/03/2017 | 01:00:00 | 0,471 | 208 |
| 14/03/2017 | 02:00:00 | 0,627 | 161 | 14/03/2017 | 03:00:00 | 1,255 | 317 | 14/03/2017 | 04:00:00 | 0,314 | 22 | 14/03/2017 | 05:00:00 | 0,314 | 161 |
| 14/03/2017 | 06:00:00 | 0,784 | 217 | 14/03/2017 | 07:00:00 | 1,255 | 54 | 14/03/2017 | 08:00:00 | 0,941 | 92 | 14/03/2017 | 09:00:00 | 0,784 | 253 |
| 14/03/2017 | 10:00:00 | 0,314 | 134 | 14/03/2017 | 11:00:00 | 1,882 | 29 | 14/03/2017 | 12:00:00 | 0,784 | 137 | 14/03/2017 | 13:00:00 | 3,294 | 325 |
| 14/03/2017 | 14:00:00 | 0,941 | 230 | 14/03/2017 | 15:00:00 | 1,882 | 4 | 14/03/2017 | 16:00:00 | 2,667 | 291 | 14/03/2017 | 17:00:00 | 1,098 | 32 |
| 14/03/2017 | 18:00:00 | 2,510 | 337 | 14/03/2017 | 19:00:00 | 1,255 | 356 | 14/03/2017 | 20:00:00 | 2,510 | 344 | 14/03/2017 | 21:00:00 | 1,255 | 326 |
| 14/03/2017 | 22:00:00 | 0,627 | 324 | 15/03/2017 | 00:00:00 | 1,882 | 324 | 15/03/2017 | 01:00:00 | 0,784 | 91 | 15/03/2017 | 02:00:00 | 0,471 | 221 |
| 15/03/2017 | 03:00:00 | 0,471 | 127 | 15/03/2017 | 04:00:00 | 0,941 | 356 | 15/03/2017 | 05:00:00 | 0,471 | 323 | 15/03/2017 | 06:00:00 | 0,471 | 209 |
| 15/03/2017 | 07:00:00 | 0,784 | 1 | 15/03/2017 | 08:00:00 | 0,941 | 273 | 15/03/2017 | 09:00:00 | 2,196 | 352 | 15/03/2017 | 10:00:00 | 2,039 | 263 |
| 15/03/2017 | 11:00:00 | 3,608 | 291 | 15/03/2017 | 12:00:00 | 4,236 | 309 | 15/03/2017 | 13:00:00 | 7,059 | 252 | 15/03/2017 | 14:00:00 | 1,098 | 314 |

| Fecha | Hora | v(m/s) | Dir.(°) |
|------------|----------|--------|---------|------------|----------|--------|---------|------------|----------|--------|---------|------------|----------|--------|---------|
| 15/03/2017 | 19:00:00 | 2,039 | 11 | 15/03/2017 | 20:00:00 | 0,157 | 235 | 15/03/2017 | 21:00:00 | 1,412 | 146 | 15/03/2017 | 22:00:00 | 0,784 | 163 |
| 15/03/2017 | 23:00:00 | 0,784 | 55 | 16/03/2017 | 00:00:00 | 0,627 | 212 | 16/03/2017 | 01:00:00 | 1,255 | 136 | 16/03/2017 | 02:00:00 | 0,314 | 184 |
| 16/03/2017 | 03:00:00 | 0,314 | 250 | 16/03/2017 | 04:00:00 | 0,157 | 267 | 16/03/2017 | 05:00:00 | 0,471 | 182 | 16/03/2017 | 06:00:00 | 0,157 | 83 |
| 16/03/2017 | 08:00:00 | 1,726 | 94 | 16/03/2017 | 09:00:00 | 0,941 | 304 | 16/03/2017 | 10:00:00 | 2,353 | 18 | 16/03/2017 | 11:00:00 | 2,824 | 229 |
| 16/03/2017 | 12:00:00 | 1,098 | 105 | 16/03/2017 | 13:00:00 | 3,922 | 320 | 16/03/2017 | 14:00:00 | 3,922 | 285 | 16/03/2017 | 15:00:00 | 5,177 | 316 |
| 16/03/2017 | 16:00:00 | 7,059 | 309 | 16/03/2017 | 17:00:00 | 2,353 | 255 | 16/03/2017 | 18:00:00 | 1,255 | 292 | 16/03/2017 | 19:00:00 | 2,667 | 10 |
| 16/03/2017 | 20:00:00 | 2,667 | 334 | 16/03/2017 | 21:00:00 | 3,765 | 285 | 16/03/2017 | 22:00:00 | 2,196 | 299 | 16/03/2017 | 23:00:00 | 3,294 | 231 |
| 17/03/2017 | 00:00:00 | 3,922 | 277 | 17/03/2017 | 01:00:00 | 3,137 | 269 | 17/03/2017 | 02:00:00 | 1,726 | 252 | 17/03/2017 | 03:00:00 | 2,353 | 288 |
| 17/03/2017 | 04:00:00 | 2,353 | 321 | 17/03/2017 | 05:00:00 | 1,726 | 260 | 17/03/2017 | 06:00:00 | 0,471 | 93 | 17/03/2017 | 07:00:00 | 0,471 | 28 |
| 17/03/2017 | 08:00:00 | 0,784 | 95 | 17/03/2017 | 09:00:00 | 0,941 | 9 | 17/03/2017 | 10:00:00 | 3,294 | 19 | 17/03/2017 | 11:00:00 | 2,353 | 351 |
| 17/03/2017 | 12:00:00 | 5,491 | 331 | 17/03/2017 | 13:00:00 | 4,079 | 279 | 17/03/2017 | 14:00:00 | 5,647 | 315 | 17/03/2017 | 15:00:00 | 5,491 | 320 |
| 17/03/2017 | 16:00:00 | 0,314 | 292 | 17/03/2017 | 17:00:00 | 2,824 | 232 | 17/03/2017 | 18:00:00 | 1,255 | 290 | 17/03/2017 | 19:00:00 | 1,726 | 293 |
| 17/03/2017 | 20:00:00 | 1,255 | 348 | 17/03/2017 | 21:00:00 | 1,098 | 222 | 17/03/2017 | 22:00:00 | 1,726 | 264 | 17/03/2017 | 23:00:00 | 0,941 | 178 |
| 18/03/2017 | 00:00:00 | 0,627 | 187 | 18/03/2017 | 01:00:00 | 0,941 | 169 | 18/03/2017 | 02:00:00 | 1,098 | 339 | 18/03/2017 | 03:00:00 | 0,314 | 29 |
| 18/03/2017 | 04:00:00 | 0,471 | 249 | 18/03/2017 | 05:00:00 | 0,471 | 269 | 18/03/2017 | 06:00:00 | 0,471 | 207 | 18/03/2017 | 07:00:00 | 0,941 | 121 |
| 18/03/2017 | 08:00:00 | 0,471 | 243 | 18/03/2017 | 09:00:00 | 0,157 | 352 | 18/03/2017 | 10:00:00 | 1,255 | 316 | 18/03/2017 | 11:00:00 | 2,196 | 13 |
| 18/03/2017 | 12:00:00 | 1,882 | 245 | 18/03/2017 | 13:00:00 | 0,941 | 55 | 18/03/2017 | 14:00:00 | 0,627 | 213 | 18/03/2017 | 15:00:00 | 1,098 | 28 |
| 18/03/2017 | 16:00:00 | 2,039 | 316 | 18/03/2017 | 17:00:00 | 0,941 | 339 | 18/03/2017 | 18:00:00 | 0,314 | 35 | 18/03/2017 | 19:00:00 | 1,098 | 331 |
| 18/03/2017 | 20:00:00 | 1,255 | 235 | 18/03/2017 | 21:00:00 | 2,667 | 326 | 18/03/2017 | 22:00:00 | 2,039 | 345 | 18/03/2017 | 23:00:00 | 0,471 | 256 |
| 19/03/2017 | 00:00:00 | 0,941 | 9 | 19/03/2017 | 02:00:00 | 0,157 | 40 | 19/03/2017 | 03:00:00 | 0,471 | 314 | 19/03/2017 | 04:00:00 | 0,471 | 32 |
| 19/03/2017 | 05:00:00 | 0,627 | 98 | 19/03/2017 | 06:00:00 | 0,784 | 165 | 19/03/2017 | 07:00:00 | 0,157 | 100 | 19/03/2017 | 08:00:00 | 0,627 | 264 |
| 19/03/2017 | 09:00:00 | 1,098 | 71 | 19/03/2017 | 10:00:00 | 2,039 | 130 | 19/03/2017 | 11:00:00 | 2,039 | 85 | 19/03/2017 | 12:00:00 | 3,608 | 346 |
| 19/03/2017 | 13:00:00 | 1,726 | 171 | 19/03/2017 | 14:00:00 | 1,569 | 1 | 19/03/2017 | 15:00:00 | 0,471 | 199 | 19/03/2017 | 16:00:00 | 1,098 | 255 |
| 19/03/2017 | 17:00:00 | 1,726 | 358 | 19/03/2017 | 18:00:00 | 2,510 | 358 | 19/03/2017 | 19:00:00 | 0,784 | 270 | 19/03/2017 | 20:00:00 | 0,471 | 26 |
| 19/03/2017 | 21:00:00 | 0,471 | 11 | 19/03/2017 | 22:00:00 | 0,941 | 174 | 19/03/2017 | 23:00:00 | 0,784 | 90 | 20/03/2017 | 00:00:00 | 0,314 | 277 |
| 20/03/2017 | 01:00:00 | 0,471 | 214 | 20/03/2017 | 02:00:00 | 0,314 | 306 | 20/03/2017 | 03:00:00 | 0,471 | 66 | 20/03/2017 | 04:00:00 | 0,941 | 89 |
| 20/03/2017 | 05:00:00 | 0,471 | 284 | 20/03/2017 | 06:00:00 | 0,627 | 289 | 20/03/2017 | 07:00:00 | 0,157 | 77 | 20/03/2017 | 08:00:00 | 0,314 | 52 |
| 20/03/2017 | 09:00:00 | 1,569 | 54 | 20/03/2017 | 10:00:00 | 1,098 | 181 | 20/03/2017 | 11:00:00 | 0,314 | 339 | 20/03/2017 | 12:00:00 | 3,608 | 24 |

| Fecha | Hora | v(m/s) | Dir.(°) |
|------------|----------|--------|---------|------------|----------|--------|---------|------------|----------|--------|---------|------------|----------|--------|---------|
| 20/03/2017 | 17:00:00 | 1,412 | 144 | 20/03/2017 | 18:00:00 | 0,784 | 2 | 20/03/2017 | 19:00:00 | 1,255 | 331 | 20/03/2017 | 20:00:00 | 0,941 | 276 |
| 20/03/2017 | 21:00:00 | 0,941 | 263 | 20/03/2017 | 22:00:00 | 0,627 | 193 | 20/03/2017 | 23:00:00 | 1,412 | 85 | 21/03/2017 | 00:00:00 | 0,471 | 176 |
| 21/03/2017 | 01:00:00 | 0,627 | 193 | 21/03/2017 | 02:00:00 | 0,157 | 231 | 21/03/2017 | 03:00:00 | 0,471 | 188 | 21/03/2017 | 04:00:00 | 0,627 | 235 |
| 21/03/2017 | 05:00:00 | 0,627 | 45 | 21/03/2017 | 06:00:00 | 0,471 | 21 | 21/03/2017 | 07:00:00 | 0,471 | 102 | 21/03/2017 | 08:00:00 | 2,667 | 3 |
| 21/03/2017 | 09:00:00 | 1,412 | 332 | 21/03/2017 | 10:00:00 | 3,137 | 78 | 21/03/2017 | 11:00:00 | 1,726 | 77 | 21/03/2017 | 12:00:00 | 6,902 | 25 |
| 21/03/2017 | 13:00:00 | 2,981 | 86 | 21/03/2017 | 14:00:00 | 0,784 | 188 | 21/03/2017 | 15:00:00 | 5,647 | 26 | 21/03/2017 | 16:00:00 | 2,039 | 279 |
| 21/03/2017 | 17:00:00 | 1,726 | 28 | 21/03/2017 | 18:00:00 | 0,314 | 158 | 21/03/2017 | 20:00:00 | 0,627 | 349 | 21/03/2017 | 21:00:00 | 0,941 | 175 |
| 21/03/2017 | 22:00:00 | 1,098 | 140 | 21/03/2017 | 23:00:00 | 0,784 | 273 | 22/03/2017 | 00:00:00 | 0,471 | 90 | 22/03/2017 | 01:00:00 | 0,784 | 318 |
| 22/03/2017 | 02:00:00 | 0,471 | 218 | 22/03/2017 | 03:00:00 | 0,314 | 310 | 22/03/2017 | 04:00:00 | 0,471 | 66 | 22/03/2017 | 05:00:00 | 0,157 | 124 |
| 22/03/2017 | 06:00:00 | 0,784 | 247 | 22/03/2017 | 07:00:00 | 0,157 | 4 | 22/03/2017 | 08:00:00 | 1,098 | 101 | 22/03/2017 | 09:00:00 | 1,569 | 121 |
| 22/03/2017 | 10:00:00 | 2,353 | 313 | 22/03/2017 | 11:00:00 | 1,255 | 350 | 22/03/2017 | 12:00:00 | 0,941 | 56 | 22/03/2017 | 13:00:00 | 2,039 | 332 |
| 22/03/2017 | 14:00:00 | 2,196 | 279 | 22/03/2017 | 15:00:00 | 1,882 | 158 | 22/03/2017 | 16:00:00 | 2,824 | 262 | 22/03/2017 | 17:00:00 | 1,098 | 280 |
| 22/03/2017 | 18:00:00 | 0,941 | 48 | 22/03/2017 | 19:00:00 | 0,471 | 5 | 22/03/2017 | 20:00:00 | 0,314 | 310 | 22/03/2017 | 21:00:00 | 0,471 | 168 |
| 22/03/2017 | 22:00:00 | 1,882 | 9 | 22/03/2017 | 23:00:00 | 1,412 | 56 | 23/03/2017 | 00:00:00 | 0,941 | 355 | 23/03/2017 | 01:00:00 | 0,157 | 91 |
| 23/03/2017 | 02:00:00 | 0,627 | 216 | 23/03/2017 | 03:00:00 | 0,784 | 313 | 23/03/2017 | 04:00:00 | 0,157 | 195 | 23/03/2017 | 05:00:00 | 0,941 | 28 |
| 23/03/2017 | 06:00:00 | 0,471 | 205 | 23/03/2017 | 07:00:00 | 0,627 | 145 | 23/03/2017 | 08:00:00 | 0,471 | 19 | 23/03/2017 | 09:00:00 | 0,941 | 183 |
| 23/03/2017 | 10:00:00 | 1,569 | 312 | 23/03/2017 | 11:00:00 | 4,392 | 319 | 23/03/2017 | 12:00:00 | 2,039 | 253 | 23/03/2017 | 13:00:00 | 3,451 | 308 |
| 23/03/2017 | 14:00:00 | 1,726 | 337 | 23/03/2017 | 15:00:00 | 3,451 | 350 | 23/03/2017 | 16:00:00 | 0,941 | 220 | 23/03/2017 | 17:00:00 | 0,784 | 53 |
| 23/03/2017 | 18:00:00 | 0,941 | 314 | 23/03/2017 | 19:00:00 | 1,882 | 281 | 23/03/2017 | 20:00:00 | 0,627 | 340 | 23/03/2017 | 21:00:00 | 1,412 | 325 |
| 23/03/2017 | 22:00:00 | 0,471 | 137 | 23/03/2017 | 23:00:00 | 0,627 | 321 | 24/03/2017 | 00:00:00 | 0,784 | 227 | 24/03/2017 | 01:00:00 | 0,471 | 345 |
| 24/03/2017 | 02:00:00 | 0,784 | 166 | 24/03/2017 | 03:00:00 | 0,784 | 38 | 24/03/2017 | 04:00:00 | 0,471 | 173 | 24/03/2017 | 05:00:00 | 2,039 | 114 |
| 24/03/2017 | 06:00:00 | 0,471 | 74 | 24/03/2017 | 07:00:00 | 0,471 | 313 | 24/03/2017 | 08:00:00 | 3,137 | 120 | 24/03/2017 | 09:00:00 | 1,882 | 335 |
| 24/03/2017 | 10:00:00 | 4,392 | 345 | 24/03/2017 | 11:00:00 | 5,804 | 17 | 24/03/2017 | 12:00:00 | 2,196 | 5 | 24/03/2017 | 13:00:00 | 0,784 | 342 |
| 24/03/2017 | 14:00:00 | 5,334 | 258 | 24/03/2017 | 15:00:00 | 2,510 | 8 | 24/03/2017 | 16:00:00 | 0,314 | 166 | 24/03/2017 | 17:00:00 | 1,412 | 34 |
| 24/03/2017 | 18:00:00 | 0,157 | 216 | 24/03/2017 | 19:00:00 | 1,255 | 178 | 24/03/2017 | 20:00:00 | 0,941 | 237 | 24/03/2017 | 21:00:00 | 0,471 | 168 |
| 24/03/2017 | 22:00:00 | 0,314 | 195 | 24/03/2017 | 23:00:00 | 1,098 | 72 | 25/03/2017 | 00:00:00 | 0,471 | 181 | 25/03/2017 | 01:00:00 | 0,471 | 246 |
| 25/03/2017 | 02:00:00 | 2,510 | 81 | 25/03/2017 | 03:00:00 | 0,627 | 132 | 25/03/2017 | 04:00:00 | 0,941 | 313 | 25/03/2017 | 05:00:00 | 0,627 | 186 |
| 25/03/2017 | 06:00:00 | 1,569 | 254 | 25/03/2017 | 07:00:00 | 0,471 | 235 | 25/03/2017 | 08:00:00 | 0,941 | 133 | 25/03/2017 | 09:00:00 | 0,784 | 266 |

| Fecha | Hora | v(m/s) | Dir.(°) |
|------------|----------|--------|---------|------------|----------|--------|---------|------------|----------|--------|---------|------------|----------|--------|---------|
| 25/03/2017 | 14:00:00 | 3,608 | 352 | 25/03/2017 | 15:00:00 | 0,941 | 23 | 25/03/2017 | 16:00:00 | 4,236 | 283 | 25/03/2017 | 17:00:00 | 3,451 | 301 |
| 25/03/2017 | 18:00:00 | 3,137 | 330 | 25/03/2017 | 19:00:00 | 3,765 | 267 | 25/03/2017 | 20:00:00 | 1,412 | 263 | 25/03/2017 | 21:00:00 | 1,726 | 20 |
| 25/03/2017 | 22:00:00 | 1,726 | 0 | 25/03/2017 | 23:00:00 | 3,451 | 14 | 26/03/2017 | 00:00:00 | 0,941 | 56 | 26/03/2017 | 01:00:00 | 0,784 | 10 |
| 26/03/2017 | 02:00:00 | 0,157 | 207 | 26/03/2017 | 03:00:00 | 0,471 | 9 | 26/03/2017 | 04:00:00 | 0,314 | 47 | 26/03/2017 | 05:00:00 | 0,314 | 51 |
| 26/03/2017 | 06:00:00 | 0,471 | 273 | 26/03/2017 | 07:00:00 | 0,784 | 344 | 26/03/2017 | 08:00:00 | 1,412 | 266 | 26/03/2017 | 09:00:00 | 0,784 | 239 |
| 26/03/2017 | 10:00:00 | 1,726 | 79 | 26/03/2017 | 11:00:00 | 1,412 | 146 | 26/03/2017 | 12:00:00 | 1,726 | 7 | 26/03/2017 | 13:00:00 | 1,882 | 83 |
| 26/03/2017 | 14:00:00 | 0,941 | 310 | 26/03/2017 | 15:00:00 | 1,255 | 163 | 26/03/2017 | 16:00:00 | 3,137 | 321 | 26/03/2017 | 17:00:00 | 0,784 | 167 |
| 26/03/2017 | 18:00:00 | 4,863 | 308 | 26/03/2017 | 19:00:00 | 2,510 | 284 | 26/03/2017 | 20:00:00 | 1,098 | 298 | 26/03/2017 | 21:00:00 | 0,941 | 307 |
| 26/03/2017 | 22:00:00 | 1,255 | 354 | 26/03/2017 | 23:00:00 | 0,784 | 195 | 27/03/2017 | 00:00:00 | 0,627 | 141 | 27/03/2017 | 01:00:00 | 0,314 | 82 |
| 27/03/2017 | 02:00:00 | 0,784 | 146 | 27/03/2017 | 03:00:00 | 0,941 | 128 | 27/03/2017 | 04:00:00 | 0,314 | 33 | 27/03/2017 | 05:00:00 | 0,471 | 245 |
| 27/03/2017 | 06:00:00 | 0,784 | 301 | 27/03/2017 | 07:00:00 | 0,471 | 134 | 27/03/2017 | 08:00:00 | 0,314 | 201 | 27/03/2017 | 09:00:00 | 0,627 | 3 |
| 27/03/2017 | 10:00:00 | 1,726 | 53 | 27/03/2017 | 11:00:00 | 2,510 | 6 | 27/03/2017 | 12:00:00 | 1,098 | 329 | 27/03/2017 | 13:00:00 | 0,627 | 265 |
| 27/03/2017 | 14:00:00 | 2,667 | 347 | 27/03/2017 | 15:00:00 | 1,412 | 210 | 27/03/2017 | 16:00:00 | 1,255 | 177 | 27/03/2017 | 17:00:00 | 0,941 | 263 |
| 27/03/2017 | 18:00:00 | 1,726 | 326 | 27/03/2017 | 19:00:00 | 1,098 | 217 | 27/03/2017 | 20:00:00 | 0,784 | 180 | 27/03/2017 | 21:00:00 | 1,098 | 28 |
| 27/03/2017 | 22:00:00 | 0,314 | 314 | 27/03/2017 | 23:00:00 | 0,471 | 93 | 28/03/2017 | 00:00:00 | 1,255 | 356 | 28/03/2017 | 01:00:00 | 0,157 | 77 |
| 28/03/2017 | 02:00:00 | 0,314 | 328 | 28/03/2017 | 03:00:00 | 0,627 | 341 | 28/03/2017 | 04:00:00 | 0,784 | 136 | 28/03/2017 | 05:00:00 | 0,627 | 141 |
| 28/03/2017 | 06:00:00 | 0,627 | 338 | 28/03/2017 | 08:00:00 | 0,627 | 237 | 28/03/2017 | 09:00:00 | 3,451 | 145 | 28/03/2017 | 10:00:00 | 1,098 | 77 |
| 28/03/2017 | 11:00:00 | 0,471 | 144 | 28/03/2017 | 12:00:00 | 5,491 | 1 | 28/03/2017 | 13:00:00 | 4,392 | 6 | 28/03/2017 | 14:00:00 | 1,882 | 230 |
| 28/03/2017 | 15:00:00 | 1,726 | 216 | 28/03/2017 | 16:00:00 | 0,941 | 161 | 28/03/2017 | 17:00:00 | 2,824 | 231 | 28/03/2017 | 18:00:00 | 1,726 | 349 |
| 28/03/2017 | 19:00:00 | 0,784 | 216 | 28/03/2017 | 20:00:00 | 1,098 | 223 | 28/03/2017 | 21:00:00 | 1,412 | 231 | 28/03/2017 | 22:00:00 | 1,098 | 354 |
| 28/03/2017 | 23:00:00 | 0,314 | 190 | 29/03/2017 | 01:00:00 | 0,941 | 147 | 29/03/2017 | 02:00:00 | 0,627 | 49 | 29/03/2017 | 03:00:00 | 0,471 | 262 |
| 29/03/2017 | 04:00:00 | 0,157 | 107 | 29/03/2017 | 05:00:00 | 0,471 | 172 | 29/03/2017 | 06:00:00 | 0,157 | 70 | 29/03/2017 | 07:00:00 | 0,471 | 222 |
| 29/03/2017 | 08:00:00 | 1,726 | 90 | 29/03/2017 | 09:00:00 | 0,471 | 49 | 29/03/2017 | 10:00:00 | 2,039 | 268 | 29/03/2017 | 11:00:00 | 2,196 | 359 |
| 29/03/2017 | 12:00:00 | 2,510 | 347 | 29/03/2017 | 13:00:00 | 2,353 | 21 | 29/03/2017 | 14:00:00 | 6,432 | 247 | 29/03/2017 | 15:00:00 | 4,079 | 275 |
| 29/03/2017 | 16:00:00 | 0,314 | 95 | 29/03/2017 | 17:00:00 | 1,569 | 165 | 29/03/2017 | 18:00:00 | 2,353 | 354 | 29/03/2017 | 19:00:00 | 0,627 | 285 |
| 29/03/2017 | 20:00:00 | 0,157 | 94 | 29/03/2017 | 21:00:00 | 1,569 | 0 | 29/03/2017 | 22:00:00 | 0,157 | 135 | 29/03/2017 | 23:00:00 | 0,471 | 315 |
| 30/03/2017 | 00:00:00 | 0,471 | 356 | 30/03/2017 | 02:00:00 | 0,627 | 144 | 30/03/2017 | 03:00:00 | 0,941 | 275 | 30/03/2017 | 04:00:00 | 0,157 | 176 |
| 30/03/2017 | 05:00:00 | 0,314 | 256 | 30/03/2017 | 06:00:00 | 0,157 | 226 | 30/03/2017 | 07:00:00 | 0,941 | 130 | 30/03/2017 | 08:00:00 | 0,627 | 39 |

| Fecha | Hora | v(m/s) | Dir.(°) |
|------------|----------|--------|---------|------------|----------|--------|---------|------------|----------|--------|---------|------------|----------|--------|---------|
| 30/03/2017 | 13:00:00 | 5,647 | 131 | 30/03/2017 | 14:00:00 | 3,294 | 66 | 30/03/2017 | 15:00:00 | 2,039 | 246 | 30/03/2017 | 16:00:00 | 2,353 | 263 |
| 30/03/2017 | 17:00:00 | 3,765 | 289 | 30/03/2017 | 19:00:00 | 0,157 | 46 | 30/03/2017 | 20:00:00 | 0,471 | 260 | 30/03/2017 | 22:00:00 | 0,157 | 201 |
| 30/03/2017 | 23:00:00 | 1,882 | 342 | 31/03/2017 | 00:00:00 | 2,353 | 327 | 31/03/2017 | 01:00:00 | 0,941 | 7 | 31/03/2017 | 02:00:00 | 1,098 | 341 |
| 31/03/2017 | 03:00:00 | 0,941 | 51 | 31/03/2017 | 04:00:00 | 1,255 | 339 | 31/03/2017 | 05:00:00 | 1,255 | 346 | 31/03/2017 | 06:00:00 | 0,471 | 311 |
| 31/03/2017 | 07:00:00 | 0,784 | 347 | 31/03/2017 | 08:00:00 | 1,882 | 40 | 31/03/2017 | 09:00:00 | 1,569 | 142 | 31/03/2017 | 10:00:00 | 2,039 | 185 |
| 31/03/2017 | 11:00:00 | 2,196 | 179 | 31/03/2017 | 12:00:00 | 0,314 | 167 | 31/03/2017 | 13:00:00 | 0,471 | 113 | 31/03/2017 | 14:00:00 | 0,784 | 59 |
| 31/03/2017 | 15:00:00 | 0,784 | 183 | 31/03/2017 | 16:00:00 | 0,784 | 82 | 31/03/2017 | 17:00:00 | 2,353 | 338 | 31/03/2017 | 18:00:00 | 0,941 | 329 |
| 31/03/2017 | 19:00:00 | 0,471 | 32 | 31/03/2017 | 20:00:00 | 0,157 | 211 | 31/03/2017 | 21:00:00 | 0,941 | 12 | 31/03/2017 | 22:00:00 | 1,412 | 19 |
| 31/03/2017 | 23:00:00 | 1,412 | 233 | 01/04/2017 | 00:00:00 | 1,882 | 18 | 01/04/2017 | 01:00:00 | 0,941 | 330 | 01/04/2017 | 02:00:00 | 0,314 | 216 |
| 01/04/2017 | 03:00:00 | 0,314 | 47 | 01/04/2017 | 04:00:00 | 0,471 | 267 | 01/04/2017 | 05:00:00 | 0,471 | 110 | 01/04/2017 | 06:00:00 | 1,569 | 123 |
| 01/04/2017 | 07:00:00 | 0,157 | 55 | 01/04/2017 | 08:00:00 | 0,941 | 236 | 01/04/2017 | 09:00:00 | 6,589 | 2 | 01/04/2017 | 10:00:00 | 5,177 | 356 |
| 01/04/2017 | 11:00:00 | 1,412 | 43 | 01/04/2017 | 12:00:00 | 2,981 | 62 | 01/04/2017 | 13:00:00 | 4,863 | 9 | 01/04/2017 | 14:00:00 | 5,647 | 47 |
| 01/04/2017 | 15:00:00 | 3,922 | 355 | 01/04/2017 | 16:00:00 | 1,255 | 10 | 01/04/2017 | 17:00:00 | 1,255 | 224 | 01/04/2017 | 18:00:00 | 2,824 | 350 |
| 01/04/2017 | 19:00:00 | 0,784 | 303 | 01/04/2017 | 20:00:00 | 1,098 | 227 | 01/04/2017 | 21:00:00 | 1,255 | 329 | 01/04/2017 | 22:00:00 | 0,627 | 100 |
| 01/04/2017 | 23:00:00 | 1,412 | 311 | 02/04/2017 | 00:00:00 | 0,941 | 118 | 02/04/2017 | 01:00:00 | 1,412 | 351 | 02/04/2017 | 02:00:00 | 0,784 | 227 |
| 02/04/2017 | 03:00:00 | 0,471 | 245 | 02/04/2017 | 04:00:00 | 0,314 | 113 | 02/04/2017 | 05:00:00 | 0,627 | 232 | 02/04/2017 | 06:00:00 | 0,314 | 195 |
| 02/04/2017 | 07:00:00 | 0,784 | 140 | 02/04/2017 | 08:00:00 | 1,726 | 161 | 02/04/2017 | 09:00:00 | 7,844 | 3 | 02/04/2017 | 10:00:00 | 1,255 | 16 |
| 02/04/2017 | 11:00:00 | 4,079 | 4 | 02/04/2017 | 12:00:00 | 5,961 | 11 | 02/04/2017 | 13:00:00 | 5,020 | 23 | 02/04/2017 | 14:00:00 | 4,706 | 36 |
| 02/04/2017 | 15:00:00 | 3,922 | 6 | 02/04/2017 | 16:00:00 | 3,608 | 19 | 02/04/2017 | 17:00:00 | 1,726 | 349 | 02/04/2017 | 18:00:00 | 3,765 | 9 |
| 02/04/2017 | 19:00:00 | 2,824 | 13 | 02/04/2017 | 20:00:00 | 1,098 | 86 | 02/04/2017 | 21:00:00 | 2,510 | 138 | 02/04/2017 | 22:00:00 | 1,098 | 183 |
| 02/04/2017 | 23:00:00 | 0,471 | 151 | 03/04/2017 | 01:00:00 | 0,784 | 132 | 03/04/2017 | 02:00:00 | 0,627 | 137 | 03/04/2017 | 03:00:00 | 2,667 | 165 |
| 03/04/2017 | 04:00:00 | 0,314 | 216 | 03/04/2017 | 05:00:00 | 1,882 | 161 | 03/04/2017 | 06:00:00 | 0,314 | 178 | 03/04/2017 | 07:00:00 | 0,941 | 231 |
| 03/04/2017 | 08:00:00 | 0,627 | 48 | 03/04/2017 | 09:00:00 | 2,353 | 10 | 03/04/2017 | 10:00:00 | 1,255 | 171 | 03/04/2017 | 11:00:00 | 1,098 | 32 |
| 03/04/2017 | 12:00:00 | 3,137 | 121 | 03/04/2017 | 13:00:00 | 4,549 | 7 | 03/04/2017 | 14:00:00 | 2,039 | 327 | 03/04/2017 | 15:00:00 | 3,922 | 346 |
| 03/04/2017 | 16:00:00 | 2,510 | 313 | 03/04/2017 | 17:00:00 | 3,922 | 3 | 03/04/2017 | 18:00:00 | 0,314 | 152 | 03/04/2017 | 19:00:00 | 0,941 | 131 |
| 03/04/2017 | 20:00:00 | 1,255 | 280 | 03/04/2017 | 21:00:00 | 0,784 | 230 | 03/04/2017 | 22:00:00 | 1,726 | 326 | 03/04/2017 | 23:00:00 | 0,941 | 140 |
| 04/04/2017 | 00:00:00 | 0,784 | 151 | 04/04/2017 | 01:00:00 | 1,098 | 151 | 04/04/2017 | 02:00:00 | 0,471 | 177 | 04/04/2017 | 03:00:00 | 0,784 | 357 |
| 04/04/2017 | 04:00:00 | 1,569 | 167 | 04/04/2017 | 05:00:00 | 0,784 | 189 | 04/04/2017 | 06:00:00 | 2,039 | 122 | 04/04/2017 | 07:00:00 | 0,627 | 26 |

| Fecha | Hora | v(m/s) | Dir.(°) |
|------------|----------|--------|---------|------------|----------|--------|---------|------------|----------|--------|---------|------------|----------|--------|---------|
| 04/04/2017 | 12:00:00 | 3,451 | 116 | 04/04/2017 | 13:00:00 | 3,294 | 104 | 04/04/2017 | 14:00:00 | 2,824 | 21 | 04/04/2017 | 15:00:00 | 5,961 | 357 |
| 04/04/2017 | 16:00:00 | 1,882 | 68 | 04/04/2017 | 17:00:00 | 0,941 | 139 | 04/04/2017 | 18:00:00 | 1,882 | 141 | 04/04/2017 | 19:00:00 | 0,314 | 46 |
| 04/04/2017 | 20:00:00 | 0,941 | 146 | 04/04/2017 | 21:00:00 | 0,784 | 179 | 04/04/2017 | 22:00:00 | 1,412 | 181 | 04/04/2017 | 23:00:00 | 1,098 | 219 |
| 05/04/2017 | 00:00:00 | 0,471 | 6 | 05/04/2017 | 01:00:00 | 1,882 | 219 | 05/04/2017 | 02:00:00 | 1,569 | 170 | 05/04/2017 | 03:00:00 | 3,137 | 141 |
| 05/04/2017 | 04:00:00 | 1,098 | 13 | 05/04/2017 | 05:00:00 | 1,255 | 248 | 05/04/2017 | 06:00:00 | 1,255 | 218 | 05/04/2017 | 07:00:00 | 1,098 | 109 |
| 05/04/2017 | 08:00:00 | 4,236 | 0 | 05/04/2017 | 09:00:00 | 3,765 | 1 | 05/04/2017 | 10:00:00 | 2,981 | 25 | 05/04/2017 | 11:00:00 | 3,137 | 356 |
| 05/04/2017 | 12:00:00 | 7,059 | 3 | 05/04/2017 | 13:00:00 | 9,883 | 2 | 05/04/2017 | 14:00:00 | 4,392 | 6 | 05/04/2017 | 15:00:00 | 2,353 | 75 |
| 05/04/2017 | 16:00:00 | 1,098 | 87 | 05/04/2017 | 17:00:00 | 0,941 | 309 | 05/04/2017 | 18:00:00 | 1,726 | 42 | 05/04/2017 | 19:00:00 | 1,255 | 127 |
| 05/04/2017 | 20:00:00 | 5,334 | 75 | 05/04/2017 | 21:00:00 | 2,510 | 125 | 05/04/2017 | 22:00:00 | 2,824 | 292 | 05/04/2017 | 23:00:00 | 2,510 | 267 |
| 06/04/2017 | 00:00:00 | 2,196 | 124 | 06/04/2017 | 01:00:00 | 2,667 | 351 | 06/04/2017 | 02:00:00 | 0,941 | 285 | 06/04/2017 | 03:00:00 | 2,353 | 17 |
| 06/04/2017 | 04:00:00 | 0,157 | 58 | 06/04/2017 | 05:00:00 | 0,471 | 140 | 06/04/2017 | 06:00:00 | 1,255 | 226 | 06/04/2017 | 07:00:00 | 1,098 | 177 |
| 06/04/2017 | 08:00:00 | 0,941 | 4 | 06/04/2017 | 09:00:00 | 5,020 | 28 | 06/04/2017 | 10:00:00 | 2,667 | 343 | 06/04/2017 | 11:00:00 | 5,177 | 6 |
| 06/04/2017 | 12:00:00 | 4,706 | 15 | 06/04/2017 | 13:00:00 | 4,392 | 353 | 06/04/2017 | 14:00:00 | 2,039 | 356 | 06/04/2017 | 15:00:00 | 4,392 | 19 |
| 06/04/2017 | 16:00:00 | 4,392 | 31 | 06/04/2017 | 17:00:00 | 0,627 | 263 | 06/04/2017 | 18:00:00 | 0,784 | 255 | 06/04/2017 | 19:00:00 | 1,412 | 359 |
| 06/04/2017 | 20:00:00 | 0,627 | 16 | 06/04/2017 | 21:00:00 | 0,784 | 205 | 06/04/2017 | 22:00:00 | 0,157 | 254 | 06/04/2017 | 23:00:00 | 1,412 | 211 |
| 07/04/2017 | 00:00:00 | 0,471 | 205 | 07/04/2017 | 01:00:00 | 0,627 | 2 | 07/04/2017 | 02:00:00 | 0,784 | 192 | 07/04/2017 | 03:00:00 | 0,784 | 7 |
| 07/04/2017 | 04:00:00 | 1,569 | 128 | 07/04/2017 | 05:00:00 | 0,784 | 183 | 07/04/2017 | 06:00:00 | 0,627 | 21 | 07/04/2017 | 07:00:00 | 1,412 | 132 |
| 07/04/2017 | 08:00:00 | 2,510 | 96 | 07/04/2017 | 09:00:00 | 4,392 | 13 | 07/04/2017 | 10:00:00 | 2,196 | 337 | 07/04/2017 | 11:00:00 | 2,667 | 67 |
| 07/04/2017 | 12:00:00 | 5,961 | 359 | 07/04/2017 | 13:00:00 | 5,177 | 319 | 07/04/2017 | 14:00:00 | 2,981 | 322 | 07/04/2017 | 15:00:00 | 1,098 | 331 |
| 07/04/2017 | 16:00:00 | 1,569 | 335 | 07/04/2017 | 17:00:00 | 4,549 | 252 | 07/04/2017 | 18:00:00 | 1,882 | 5 | 07/04/2017 | 19:00:00 | 0,941 | 19 |
| 07/04/2017 | 20:00:00 | 2,196 | 120 | 07/04/2017 | 21:00:00 | 1,569 | 25 | 07/04/2017 | 22:00:00 | 0,471 | 325 | 07/04/2017 | 23:00:00 | 0,784 | 336 |
| 08/04/2017 | 00:00:00 | 0,471 | 285 | 08/04/2017 | 01:00:00 | 1,726 | 333 | 08/04/2017 | 02:00:00 | 0,627 | 359 | 08/04/2017 | 03:00:00 | 0,784 | 96 |
| 08/04/2017 | 04:00:00 | 1,098 | 356 | 08/04/2017 | 05:00:00 | 0,471 | 261 | 08/04/2017 | 06:00:00 | 0,314 | 204 | 08/04/2017 | 07:00:00 | 2,196 | 5 |
| 08/04/2017 | 08:00:00 | 1,412 | 6 | 08/04/2017 | 09:00:00 | 2,981 | 338 | 08/04/2017 | 10:00:00 | 2,824 | 9 | 08/04/2017 | 11:00:00 | 3,451 | 117 |
| 08/04/2017 | 12:00:00 | 1,255 | 79 | 08/04/2017 | 13:00:00 | 4,549 | 277 | 08/04/2017 | 14:00:00 | 4,392 | 325 | 08/04/2017 | 15:00:00 | 1,569 | 273 |
| 08/04/2017 | 16:00:00 | 3,294 | 12 | 08/04/2017 | 17:00:00 | 0,784 | 299 | 08/04/2017 | 18:00:00 | 1,098 | 1 | 08/04/2017 | 19:00:00 | 0,627 | 207 |
| 08/04/2017 | 20:00:00 | 0,784 | 283 | 08/04/2017 | 21:00:00 | 0,314 | 89 | 08/04/2017 | 22:00:00 | 0,314 | 50 | 08/04/2017 | 23:00:00 | 0,314 | 133 |
| 09/04/2017 | 00:00:00 | 0,314 | 222 | 09/04/2017 | 01:00:00 | 0,941 | 347 | 09/04/2017 | 02:00:00 | 1,098 | 333 | 09/04/2017 | 03:00:00 | 0,471 | 61 |

| Fecha | Hora | v(m/s) | Dir.(°) |
|------------|----------|--------|---------|------------|----------|--------|---------|------------|----------|--------|---------|------------|----------|--------|---------|
| 09/04/2017 | 08:00:00 | 2,196 | 19 | 09/04/2017 | 09:00:00 | 0,941 | 137 | 09/04/2017 | 10:00:00 | 2,353 | 143 | 09/04/2017 | 11:00:00 | 2,039 | 176 |
| 09/04/2017 | 12:00:00 | 1,569 | 278 | 09/04/2017 | 13:00:00 | 0,941 | 211 | 09/04/2017 | 14:00:00 | 2,353 | 325 | 09/04/2017 | 15:00:00 | 2,039 | 152 |
| 09/04/2017 | 16:00:00 | 3,922 | 318 | 09/04/2017 | 17:00:00 | 5,020 | 339 | 09/04/2017 | 18:00:00 | 2,039 | 19 | 09/04/2017 | 19:00:00 | 1,882 | 351 |
| 09/04/2017 | 20:00:00 | 0,627 | 84 | 09/04/2017 | 21:00:00 | 1,098 | 11 | 09/04/2017 | 22:00:00 | 0,784 | 144 | 09/04/2017 | 23:00:00 | 0,314 | 204 |
| 10/04/2017 | 00:00:00 | 0,627 | 186 | 10/04/2017 | 01:00:00 | 0,314 | 180 | 10/04/2017 | 02:00:00 | 0,627 | 291 | 10/04/2017 | 03:00:00 | 1,255 | 73 |
| 10/04/2017 | 04:00:00 | 0,784 | 88 | 10/04/2017 | 05:00:00 | 0,471 | 100 | 10/04/2017 | 06:00:00 | 0,471 | 204 | 10/04/2017 | 07:00:00 | 1,882 | 109 |
| 10/04/2017 | 08:00:00 | 0,314 | 112 | 10/04/2017 | 09:00:00 | 2,510 | 18 | 10/04/2017 | 10:00:00 | 2,667 | 87 | 10/04/2017 | 11:00:00 | 3,765 | 14 |
| 10/04/2017 | 12:00:00 | 8,785 | 341 | 10/04/2017 | 13:00:00 | 3,137 | 40 | 10/04/2017 | 14:00:00 | 4,079 | 36 | 10/04/2017 | 15:00:00 | 1,882 | 256 |
| 10/04/2017 | 16:00:00 | 4,079 | 341 | 10/04/2017 | 17:00:00 | 1,098 | 19 | 10/04/2017 | 18:00:00 | 1,255 | 283 | 10/04/2017 | 19:00:00 | 1,569 | 100 |
| 10/04/2017 | 20:00:00 | 0,627 | 353 | 10/04/2017 | 21:00:00 | 0,471 | 138 | 10/04/2017 | 22:00:00 | 0,627 | 199 | 10/04/2017 | 23:00:00 | 0,784 | 182 |
| 11/04/2017 | 00:00:00 | 0,784 | 160 | 11/04/2017 | 01:00:00 | 0,314 | 236 | 11/04/2017 | 03:00:00 | 0,471 | 201 | 11/04/2017 | 04:00:00 | 1,098 | 177 |
| 11/04/2017 | 05:00:00 | 0,627 | 251 | 11/04/2017 | 07:00:00 | 1,098 | 129 | 11/04/2017 | 08:00:00 | 1,569 | 5 | 11/04/2017 | 09:00:00 | 2,039 | 115 |
| 11/04/2017 | 10:00:00 | 3,451 | 9 | 11/04/2017 | 11:00:00 | 2,981 | 336 | 11/04/2017 | 12:00:00 | 4,863 | 10 | 11/04/2017 | 13:00:00 | 5,177 | 25 |
| 11/04/2017 | 14:00:00 | 6,275 | 13 | 11/04/2017 | 15:00:00 | 7,687 | 322 | 11/04/2017 | 16:00:00 | 3,608 | 261 | 11/04/2017 | 17:00:00 | 4,236 | 10 |
| 11/04/2017 | 18:00:00 | 1,412 | 336 | 11/04/2017 | 19:00:00 | 2,353 | 295 | 11/04/2017 | 20:00:00 | 1,412 | 344 | 11/04/2017 | 21:00:00 | 0,784 | 155 |
| 11/04/2017 | 22:00:00 | 1,882 | 161 | 11/04/2017 | 23:00:00 | 2,353 | 128 | 12/04/2017 | 00:00:00 | 0,314 | 116 | 12/04/2017 | 01:00:00 | 0,784 | 148 |
| 12/04/2017 | 02:00:00 | 0,314 | 113 | 12/04/2017 | 03:00:00 | 0,941 | 171 | 12/04/2017 | 04:00:00 | 0,784 | 154 | 12/04/2017 | 05:00:00 | 0,471 | 180 |
| 12/04/2017 | 06:00:00 | 1,412 | 54 | 12/04/2017 | 07:00:00 | 0,627 | 214 | 12/04/2017 | 08:00:00 | 0,627 | 111 | 12/04/2017 | 09:00:00 | 1,098 | 137 |
| 12/04/2017 | 10:00:00 | 1,098 | 209 | 12/04/2017 | 11:00:00 | 7,216 | 4 | 12/04/2017 | 12:00:00 | 5,334 | 11 | 12/04/2017 | 13:00:00 | 1,569 | 73 |
| 12/04/2017 | 14:00:00 | 4,863 | 357 | 12/04/2017 | 15:00:00 | 3,922 | 359 | 12/04/2017 | 16:00:00 | 7,530 | 16 | 12/04/2017 | 17:00:00 | 2,196 | 243 |
| 12/04/2017 | 18:00:00 | 2,667 | 351 | 12/04/2017 | 19:00:00 | 0,627 | 320 | 12/04/2017 | 20:00:00 | 2,353 | 346 | 12/04/2017 | 21:00:00 | 2,039 | 349 |
| 12/04/2017 | 22:00:00 | 1,569 | 31 | 13/04/2017 | 00:00:00 | 1,098 | 11 | 13/04/2017 | 01:00:00 | 5,804 | 332 | 13/04/2017 | 02:00:00 | 0,471 | 230 |
| 13/04/2017 | 03:00:00 | 0,784 | 182 | 13/04/2017 | 04:00:00 | 0,784 | 199 | 13/04/2017 | 05:00:00 | 1,569 | 174 | 13/04/2017 | 06:00:00 | 1,882 | 167 |
| 13/04/2017 | 07:00:00 | 2,039 | 236 | 13/04/2017 | 08:00:00 | 3,608 | 0 | 13/04/2017 | 09:00:00 | 7,530 | 2 | 13/04/2017 | 10:00:00 | 1,882 | 356 |
| 13/04/2017 | 11:00:00 | 8,314 | 7 | 13/04/2017 | 12:00:00 | 8,942 | 12 | 13/04/2017 | 13:00:00 | 7,844 | 9 | 13/04/2017 | 14:00:00 | 2,510 | 352 |
| 13/04/2017 | 15:00:00 | 5,804 | 2 | 13/04/2017 | 16:00:00 | 3,765 | 358 | 13/04/2017 | 17:00:00 | 2,353 | 277 | 13/04/2017 | 18:00:00 | 1,098 | 279 |
| 13/04/2017 | 19:00:00 | 1,569 | 41 | 13/04/2017 | 20:00:00 | 0,314 | 337 | 13/04/2017 | 21:00:00 | 0,471 | 25 | 13/04/2017 | 22:00:00 | 2,196 | 326 |
| 13/04/2017 | 23:00:00 | 0,784 | 202 | 14/04/2017 | 00:00:00 | 0,627 | 200 | 14/04/2017 | 01:00:00 | 2,981 | 115 | 14/04/2017 | 02:00:00 | 0,314 | 266 |

| Fecha | Hora | v(m/s) | Dir.(°) |
|------------|----------|--------|---------|------------|----------|--------|---------|------------|----------|--------|---------|------------|----------|--------|---------|
| 14/04/2017 | 07:00:00 | 2,510 | 138 | 14/04/2017 | 08:00:00 | 4,863 | 359 | 14/04/2017 | 09:00:00 | 4,706 | 346 | 14/04/2017 | 10:00:00 | 1,412 | 12 |
| 14/04/2017 | 11:00:00 | 3,294 | 336 | 14/04/2017 | 12:00:00 | 1,255 | 324 | 14/04/2017 | 13:00:00 | 5,020 | 9 | 14/04/2017 | 14:00:00 | 4,863 | 346 |
| 14/04/2017 | 15:00:00 | 3,451 | 49 | 14/04/2017 | 16:00:00 | 1,412 | 39 | 14/04/2017 | 17:00:00 | 1,412 | 40 | 14/04/2017 | 18:00:00 | 0,627 | 299 |
| 14/04/2017 | 19:00:00 | 3,608 | 254 | 14/04/2017 | 20:00:00 | 0,627 | 211 | 14/04/2017 | 21:00:00 | 1,255 | 137 | 14/04/2017 | 22:00:00 | 0,314 | 240 |
| 14/04/2017 | 23:00:00 | 0,471 | 164 | 15/04/2017 | 00:00:00 | 1,098 | 283 | 15/04/2017 | 01:00:00 | 0,941 | 234 | 15/04/2017 | 02:00:00 | 0,627 | 142 |
| 15/04/2017 | 03:00:00 | 1,569 | 84 | 15/04/2017 | 04:00:00 | 1,726 | 158 | 15/04/2017 | 05:00:00 | 1,882 | 261 | 15/04/2017 | 06:00:00 | 0,784 | 255 |
| 15/04/2017 | 07:00:00 | 0,784 | 207 | 15/04/2017 | 08:00:00 | 1,255 | 322 | 15/04/2017 | 09:00:00 | 5,334 | 45 | 15/04/2017 | 10:00:00 | 3,765 | 359 |
| 15/04/2017 | 11:00:00 | 3,608 | 22 | 15/04/2017 | 12:00:00 | 5,020 | 51 | 15/04/2017 | 13:00:00 | 4,079 | 73 | 15/04/2017 | 14:00:00 | 9,099 | 3 |
| 15/04/2017 | 15:00:00 | 7,373 | 19 | 15/04/2017 | 16:00:00 | 9,099 | 2 | 15/04/2017 | 17:00:00 | 4,236 | 46 | 15/04/2017 | 18:00:00 | 4,392 | 21 |
| 15/04/2017 | 19:00:00 | 3,137 | 306 | 15/04/2017 | 20:00:00 | 2,196 | 346 | 15/04/2017 | 21:00:00 | 3,922 | 73 | 15/04/2017 | 22:00:00 | 0,627 | 210 |
| 15/04/2017 | 23:00:00 | 1,882 | 169 | 16/04/2017 | 00:00:00 | 1,098 | 98 | 16/04/2017 | 01:00:00 | 0,471 | 84 | 16/04/2017 | 02:00:00 | 0,941 | 92 |
| 16/04/2017 | 03:00:00 | 0,314 | 327 | 16/04/2017 | 04:00:00 | 0,941 | 147 | 16/04/2017 | 05:00:00 | 1,098 | 175 | 16/04/2017 | 06:00:00 | 0,157 | 170 |
| 16/04/2017 | 07:00:00 | 0,157 | 143 | 16/04/2017 | 08:00:00 | 1,412 | 359 | 16/04/2017 | 09:00:00 | 5,020 | 40 | 16/04/2017 | 10:00:00 | 1,255 | 31 |
| 16/04/2017 | 11:00:00 | 8,157 | 17 | 16/04/2017 | 12:00:00 | 1,255 | 140 | 16/04/2017 | 13:00:00 | 2,667 | 31 | 16/04/2017 | 14:00:00 | 6,275 | 40 |
| 16/04/2017 | 15:00:00 | 6,902 | 345 | 16/04/2017 | 16:00:00 | 4,236 | 7 | 16/04/2017 | 17:00:00 | 2,353 | 327 | 16/04/2017 | 18:00:00 | 0,627 | 195 |
| 16/04/2017 | 19:00:00 | 1,882 | 325 | 16/04/2017 | 20:00:00 | 0,314 | 235 | 16/04/2017 | 21:00:00 | 1,412 | 237 | 16/04/2017 | 22:00:00 | 0,314 | 1 |
| 16/04/2017 | 23:00:00 | 0,784 | 231 | 17/04/2017 | 00:00:00 | 0,941 | 140 | 17/04/2017 | 01:00:00 | 0,784 | 158 | 17/04/2017 | 02:00:00 | 0,157 | 241 |
| 17/04/2017 | 03:00:00 | 0,471 | 202 | 17/04/2017 | 04:00:00 | 0,471 | 137 | 17/04/2017 | 05:00:00 | 0,471 | 332 | 17/04/2017 | 06:00:00 | 1,098 | 100 |
| 17/04/2017 | 07:00:00 | 3,451 | 121 | 17/04/2017 | 08:00:00 | 1,569 | 37 | 17/04/2017 | 09:00:00 | 1,569 | 60 | 17/04/2017 | 10:00:00 | 2,667 | 4 |
| 17/04/2017 | 11:00:00 | 6,745 | 31 | 17/04/2017 | 12:00:00 | 5,491 | 33 | 17/04/2017 | 13:00:00 | 5,961 | 356 | 17/04/2017 | 14:00:00 | 6,745 | 84 |
| 17/04/2017 | 15:00:00 | 6,275 | 325 | 17/04/2017 | 16:00:00 | 1,098 | 30 | 17/04/2017 | 17:00:00 | 4,236 | 294 | 17/04/2017 | 18:00:00 | 1,726 | 253 |
| 17/04/2017 | 19:00:00 | 0,784 | 348 | 17/04/2017 | 20:00:00 | 0,157 | 307 | 17/04/2017 | 21:00:00 | 0,627 | 192 | 17/04/2017 | 23:00:00 | 0,784 | 197 |
| 18/04/2017 | 00:00:00 | 0,941 | 340 | 18/04/2017 | 01:00:00 | 0,471 | 163 | 18/04/2017 | 02:00:00 | 0,157 | 184 | 18/04/2017 | 03:00:00 | 1,098 | 173 |
| 18/04/2017 | 04:00:00 | 2,039 | 109 | 18/04/2017 | 05:00:00 | 0,157 | 226 | 18/04/2017 | 06:00:00 | 1,255 | 332 | 18/04/2017 | 07:00:00 | 1,255 | 116 |
| 18/04/2017 | 08:00:00 | 0,941 | 326 | 18/04/2017 | 09:00:00 | 0,627 | 53 | 18/04/2017 | 10:00:00 | 5,491 | 349 | 18/04/2017 | 11:00:00 | 3,294 | 35 |
| 18/04/2017 | 12:00:00 | 4,706 | 33 | 18/04/2017 | 13:00:00 | 4,236 | 6 | 18/04/2017 | 14:00:00 | 6,589 | 347 | 18/04/2017 | 15:00:00 | 6,118 | 295 |
| 18/04/2017 | 16:00:00 | 5,177 | 245 | 18/04/2017 | 17:00:00 | 1,569 | 244 | 18/04/2017 | 18:00:00 | 2,510 | 332 | 18/04/2017 | 19:00:00 | 2,039 | 25 |
| 18/04/2017 | 20:00:00 | 1,726 | 330 | 18/04/2017 | 21:00:00 | 0,941 | 11 | 18/04/2017 | 22:00:00 | 0,471 | 256 | 19/04/2017 | 00:00:00 | 0,627 | 328 |

| Fecha | Hora | v(m/s) | Dir.(°) |
|------------|----------|--------|---------|------------|----------|--------|---------|------------|----------|--------|---------|------------|----------|--------|---------|
| 19/04/2017 | 05:00:00 | 0,157 | 286 | 19/04/2017 | 06:00:00 | 0,157 | 224 | 19/04/2017 | 07:00:00 | 0,314 | 87 | 19/04/2017 | 08:00:00 | 0,471 | 35 |
| 19/04/2017 | 09:00:00 | 0,627 | 48 | 19/04/2017 | 10:00:00 | 1,569 | 292 | 19/04/2017 | 11:00:00 | 1,726 | 276 | 19/04/2017 | 12:00:00 | 4,549 | 312 |
| 19/04/2017 | 13:00:00 | 2,824 | 277 | 19/04/2017 | 14:00:00 | 6,118 | 247 | 19/04/2017 | 15:00:00 | 5,647 | 257 | 19/04/2017 | 16:00:00 | 1,412 | 290 |
| 19/04/2017 | 17:00:00 | 3,137 | 295 | 19/04/2017 | 18:00:00 | 2,824 | 302 | 19/04/2017 | 19:00:00 | 1,098 | 272 | 19/04/2017 | 20:00:00 | 0,627 | 5 |
| 19/04/2017 | 21:00:00 | 3,608 | 325 | 19/04/2017 | 22:00:00 | 1,569 | 254 | 19/04/2017 | 23:00:00 | 2,196 | 357 | 20/04/2017 | 00:00:00 | 1,255 | 73 |
| 20/04/2017 | 01:00:00 | 0,314 | 37 | 20/04/2017 | 02:00:00 | 0,471 | 98 | 20/04/2017 | 03:00:00 | 0,471 | 24 | 20/04/2017 | 04:00:00 | 0,784 | 356 |
| 20/04/2017 | 05:00:00 | 0,627 | 31 | 20/04/2017 | 06:00:00 | 0,941 | 351 | 20/04/2017 | 07:00:00 | 1,882 | 340 | 20/04/2017 | 08:00:00 | 0,314 | 325 |
| 20/04/2017 | 09:00:00 | 0,157 | 84 | 20/04/2017 | 10:00:00 | 0,627 | 23 | 20/04/2017 | 11:00:00 | 2,667 | 351 | 20/04/2017 | 12:00:00 | 0,941 | 43 |
| 20/04/2017 | 13:00:00 | 2,981 | 235 | 20/04/2017 | 14:00:00 | 2,824 | 283 | 20/04/2017 | 15:00:00 | 3,608 | 277 | 20/04/2017 | 16:00:00 | 0,314 | 117 |
| 20/04/2017 | 17:00:00 | 1,726 | 345 | 20/04/2017 | 18:00:00 | 0,627 | 180 | 20/04/2017 | 20:00:00 | 3,451 | 352 | 20/04/2017 | 21:00:00 | 1,255 | 3 |
| 20/04/2017 | 22:00:00 | 1,726 | 206 | 21/04/2017 | 00:00:00 | 0,471 | 76 | 21/04/2017 | 01:00:00 | 0,314 | 179 | 21/04/2017 | 02:00:00 | 0,314 | 204 |
| 21/04/2017 | 03:00:00 | 0,314 | 334 | 21/04/2017 | 04:00:00 | 1,412 | 319 | 21/04/2017 | 05:00:00 | 0,157 | 137 | 21/04/2017 | 06:00:00 | 0,314 | 135 |
| 21/04/2017 | 08:00:00 | 0,627 | 152 | 21/04/2017 | 09:00:00 | 0,784 | 205 | 21/04/2017 | 10:00:00 | 4,079 | 343 | 21/04/2017 | 11:00:00 | 1,098 | 6 |
| 21/04/2017 | 12:00:00 | 3,451 | 14 | 21/04/2017 | 13:00:00 | 1,098 | 170 | 21/04/2017 | 14:00:00 | 2,039 | 45 | 21/04/2017 | 15:00:00 | 7,373 | 255 |
| 21/04/2017 | 16:00:00 | 5,020 | 277 | 21/04/2017 | 17:00:00 | 5,334 | 256 | 21/04/2017 | 18:00:00 | 1,255 | 92 | 21/04/2017 | 19:00:00 | 0,941 | 267 |
| 21/04/2017 | 20:00:00 | 2,353 | 333 | 21/04/2017 | 21:00:00 | 3,922 | 296 | 21/04/2017 | 22:00:00 | 1,098 | 136 | 21/04/2017 | 23:00:00 | 0,314 | 214 |
| 22/04/2017 | 00:00:00 | 1,412 | 338 | 22/04/2017 | 01:00:00 | 1,569 | 329 | 22/04/2017 | 02:00:00 | 0,157 | 335 | 22/04/2017 | 03:00:00 | 0,941 | 80 |
| 22/04/2017 | 04:00:00 | 0,784 | 168 | 22/04/2017 | 05:00:00 | 1,098 | 216 | 22/04/2017 | 06:00:00 | 0,941 | 80 | 22/04/2017 | 07:00:00 | 0,157 | 184 |
| 22/04/2017 | 08:00:00 | 0,471 | 306 | 22/04/2017 | 10:00:00 | 3,137 | 18 | 22/04/2017 | 11:00:00 | 4,863 | 341 | 22/04/2017 | 12:00:00 | 6,118 | 357 |
| 22/04/2017 | 13:00:00 | 5,491 | 348 | 22/04/2017 | 14:00:00 | 3,765 | 350 | 22/04/2017 | 15:00:00 | 8,471 | 359 | 22/04/2017 | 16:00:00 | 7,216 | 14 |
| 22/04/2017 | 17:00:00 | 3,608 | 359 | 22/04/2017 | 18:00:00 | 0,314 | 10 | 22/04/2017 | 19:00:00 | 2,196 | 323 | 22/04/2017 | 20:00:00 | 2,981 | 7 |
| 22/04/2017 | 21:00:00 | 1,726 | 132 | 22/04/2017 | 22:00:00 | 0,627 | 244 | 22/04/2017 | 23:00:00 | 0,784 | 246 | 23/04/2017 | 00:00:00 | 0,627 | 294 |
| 23/04/2017 | 01:00:00 | 0,314 | 193 | 23/04/2017 | 02:00:00 | 0,941 | 148 | 23/04/2017 | 03:00:00 | 0,157 | 199 | 23/04/2017 | 04:00:00 | 0,941 | 344 |
| 23/04/2017 | 05:00:00 | 1,569 | 329 | 23/04/2017 | 06:00:00 | 0,471 | 273 | 23/04/2017 | 07:00:00 | 0,784 | 132 | 23/04/2017 | 08:00:00 | 2,039 | 14 |
| 23/04/2017 | 09:00:00 | 1,726 | 26 | 23/04/2017 | 10:00:00 | 2,824 | 10 | 23/04/2017 | 11:00:00 | 6,118 | 19 | 23/04/2017 | 12:00:00 | 10,824 | 343 |
| 23/04/2017 | 13:00:00 | 8,157 | 30 | 23/04/2017 | 14:00:00 | 7,216 | 19 | 23/04/2017 | 15:00:00 | 6,902 | 18 | 23/04/2017 | 16:00:00 | 2,196 | 270 |
| 23/04/2017 | 17:00:00 | 1,882 | 357 | 23/04/2017 | 18:00:00 | 0,627 | 49 | 23/04/2017 | 19:00:00 | 1,098 | 358 | 23/04/2017 | 20:00:00 | 0,784 | 124 |
| 23/04/2017 | 21:00:00 | 1,255 | 340 | 23/04/2017 | 22:00:00 | 1,726 | 171 | 23/04/2017 | 23:00:00 | 1,098 | 97 | 24/04/2017 | 00:00:00 | 1,255 | 119 |

| Fecha | Hora | v(m/s) | Dir.(°) |
|------------|----------|--------|---------|------------|----------|--------|---------|------------|----------|--------|---------|------------|----------|--------|---------|
| 24/04/2017 | 05:00:00 | 0,157 | 194 | 24/04/2017 | 06:00:00 | 0,471 | 137 | 24/04/2017 | 07:00:00 | 0,941 | 9 | 24/04/2017 | 08:00:00 | 0,471 | 70 |
| 24/04/2017 | 09:00:00 | 3,608 | 100 | 24/04/2017 | 10:00:00 | 3,451 | 327 | 24/04/2017 | 11:00:00 | 8,628 | 352 | 24/04/2017 | 12:00:00 | 6,589 | 26 |
| 24/04/2017 | 13:00:00 | 2,667 | 1 | 24/04/2017 | 14:00:00 | 7,059 | 353 | 24/04/2017 | 15:00:00 | 2,981 | 358 | 24/04/2017 | 16:00:00 | 2,667 | 7 |
| 24/04/2017 | 17:00:00 | 1,255 | 231 | 24/04/2017 | 18:00:00 | 2,981 | 252 | 24/04/2017 | 19:00:00 | 2,981 | 278 | 24/04/2017 | 20:00:00 | 0,941 | 284 |
| 24/04/2017 | 21:00:00 | 1,882 | 33 | 24/04/2017 | 22:00:00 | 0,627 | 23 | 24/04/2017 | 23:00:00 | 0,157 | 240 | 25/04/2017 | 02:00:00 | 1,569 | 335 |
| 25/04/2017 | 05:00:00 | 0,314 | 94 | 25/04/2017 | 06:00:00 | 0,784 | 344 | 25/04/2017 | 07:00:00 | 0,627 | 45 | 25/04/2017 | 08:00:00 | 0,314 | 13 |
| 25/04/2017 | 09:00:00 | 0,314 | 172 | 25/04/2017 | 10:00:00 | 2,353 | 121 | 25/04/2017 | 11:00:00 | 1,569 | 257 | 25/04/2017 | 12:00:00 | 3,922 | 89 |
| 25/04/2017 | 13:00:00 | 0,941 | 342 | 25/04/2017 | 14:00:00 | 1,412 | 350 | 25/04/2017 | 15:00:00 | 2,039 | 333 | 25/04/2017 | 16:00:00 | 2,196 | 147 |
| 25/04/2017 | 17:00:00 | 1,882 | 129 | 25/04/2017 | 18:00:00 | 0,784 | 249 | 25/04/2017 | 19:00:00 | 0,784 | 143 | 25/04/2017 | 20:00:00 | 1,412 | 240 |
| 25/04/2017 | 21:00:00 | 0,627 | 219 | 25/04/2017 | 22:00:00 | 0,784 | 208 | 25/04/2017 | 23:00:00 | 0,314 | 202 | 26/04/2017 | 00:00:00 | 2,039 | 101 |
| 26/04/2017 | 01:00:00 | 1,569 | 265 | 26/04/2017 | 02:00:00 | 0,627 | 201 | 26/04/2017 | 03:00:00 | 0,627 | 190 | 26/04/2017 | 04:00:00 | 0,314 | 100 |
| 26/04/2017 | 05:00:00 | 0,314 | 179 | 26/04/2017 | 06:00:00 | 0,157 | 203 | 26/04/2017 | 07:00:00 | 1,098 | 351 | 26/04/2017 | 08:00:00 | 0,314 | 341 |
| 26/04/2017 | 09:00:00 | 1,882 | 336 | 26/04/2017 | 10:00:00 | 1,726 | 144 | 26/04/2017 | 11:00:00 | 2,510 | 10 | 26/04/2017 | 12:00:00 | 2,353 | 175 |
| 26/04/2017 | 13:00:00 | 0,627 | 127 | 26/04/2017 | 14:00:00 | 1,255 | 132 | 26/04/2017 | 15:00:00 | 2,196 | 50 | 26/04/2017 | 16:00:00 | 0,157 | 292 |
| 26/04/2017 | 17:00:00 | 0,471 | 65 | 26/04/2017 | 18:00:00 | 3,922 | 258 | 26/04/2017 | 19:00:00 | 2,510 | 343 | 26/04/2017 | 20:00:00 | 1,882 | 247 |
| 26/04/2017 | 21:00:00 | 0,627 | 86 | 26/04/2017 | 22:00:00 | 1,726 | 240 | 26/04/2017 | 23:00:00 | 1,098 | 209 | 27/04/2017 | 00:00:00 | 0,784 | 281 |
| 27/04/2017 | 01:00:00 | 0,784 | 157 | 27/04/2017 | 02:00:00 | 0,471 | 239 | 27/04/2017 | 03:00:00 | 0,314 | 127 | 27/04/2017 | 04:00:00 | 0,784 | 130 |
| 27/04/2017 | 05:00:00 | 0,471 | 348 | 27/04/2017 | 07:00:00 | 0,784 | 166 | 27/04/2017 | 08:00:00 | 0,627 | 141 | 27/04/2017 | 09:00:00 | 0,471 | 271 |
| 27/04/2017 | 10:00:00 | 1,412 | 344 | 27/04/2017 | 11:00:00 | 4,392 | 87 | 27/04/2017 | 12:00:00 | 3,765 | 9 | 27/04/2017 | 13:00:00 | 5,334 | 3 |
| 27/04/2017 | 14:00:00 | 3,765 | 355 | 27/04/2017 | 15:00:00 | 2,824 | 18 | 27/04/2017 | 16:00:00 | 2,353 | 68 | 27/04/2017 | 17:00:00 | 2,353 | 83 |
| 27/04/2017 | 18:00:00 | 0,627 | 93 | 27/04/2017 | 19:00:00 | 0,941 | 333 | 27/04/2017 | 20:00:00 | 0,314 | 213 | 27/04/2017 | 21:00:00 | 0,941 | 267 |
| 27/04/2017 | 22:00:00 | 1,255 | 151 | 27/04/2017 | 23:00:00 | 0,941 | 137 | 28/04/2017 | 00:00:00 | 1,255 | 192 | 28/04/2017 | 01:00:00 | 0,784 | 174 |
| 28/04/2017 | 02:00:00 | 0,471 | 162 | 28/04/2017 | 03:00:00 | 3,608 | 332 | 28/04/2017 | 04:00:00 | 2,353 | 16 | 28/04/2017 | 05:00:00 | 0,627 | 159 |
| 28/04/2017 | 06:00:00 | 0,157 | 32 | 28/04/2017 | 07:00:00 | 0,784 | 326 | 28/04/2017 | 08:00:00 | 2,039 | 1 | 28/04/2017 | 09:00:00 | 3,294 | 351 |
| 28/04/2017 | 10:00:00 | 4,392 | 25 | 28/04/2017 | 11:00:00 | 6,118 | 333 | 28/04/2017 | 12:00:00 | 7,530 | 330 | 28/04/2017 | 13:00:00 | 7,530 | 14 |
| 28/04/2017 | 14:00:00 | 7,059 | 355 | 28/04/2017 | 15:00:00 | 1,882 | 30 | 28/04/2017 | 16:00:00 | 3,765 | 7 | 28/04/2017 | 17:00:00 | 1,726 | 351 |
| 28/04/2017 | 18:00:00 | 4,079 | 14 | 28/04/2017 | 19:00:00 | 1,882 | 0 | 28/04/2017 | 20:00:00 | 1,726 | 174 | 28/04/2017 | 21:00:00 | 0,784 | 57 |
| 28/04/2017 | 22:00:00 | 0,784 | 192 | 28/04/2017 | 23:00:00 | 2,353 | 323 | 29/04/2017 | 00:00:00 | 3,608 | 87 | 29/04/2017 | 01:00:00 | 0,314 | 247 |

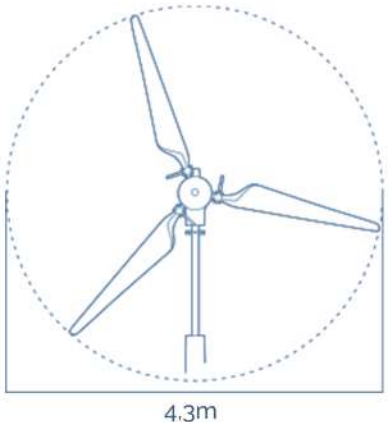
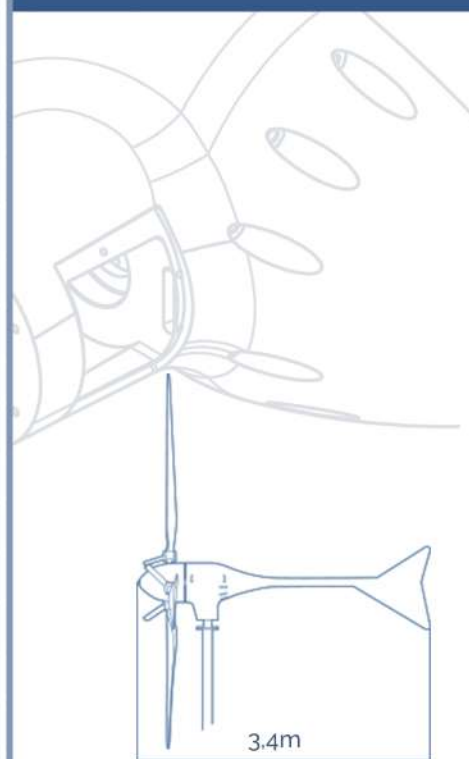
**ANEXO N°03. FICHA TÉCNICA DEL AEROGENERADOR
ENAIR 70 PRO**

FICHA TÉCNICA

Con una velocidad de viento medio situado en la nominal de 11m/s el modelo Enair 70PRO es capaz de generar más de 70kWh/día

CARACTERÍSTICAS TÉCNICAS, ELÉCTRICAS Y DE FUNCIONAMIENTO

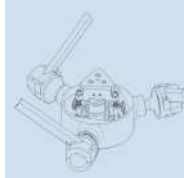
| | |
|-------------------------------|--|
| Numero de palas | 3 |
| Material de palas | Fibra de vidrio con resinas y núcleo de poliuretano |
| Generador | 250rpm nominales imanes de neodimio |
| Potencia | 5500W |
| Potencia Nominal | 4000W (según IEC 61400-2) |
| Tensión | 24/48/220V |
| Clase de viento | CLASS I-IEC 61400-2/NVNI-A |
| Diámetro | 4.30m |
| Sentido de Giro | Horario |
| Área de barrido | 14.5m ² |
| Peso | 165kg |
| Aplicaciones | Carga de baterías 24 o 48V y conexión a red |
| Viento de arranque | 2m/s |
| Velocidad nominal | 11m/s |
| Vel. regulación paso variable | 12m/s |
| Velocidad de supervivencia | 60m/s |
| Rango de generación eficiente | De 2 a 60m/s |
| Tipo | Rotor de eje horizontal a barlovento |
| Orientación | Sistema pasivo con timón de orientación |
| Control de potencia | Sistema de paso variable pasivo centrífugo con dos vel. |
| Transmisión | Directa |
| Freno | - Electromagnético por cortocircuito - Mecánico (opcional) - Aerodinámico mediante paso variable - Manual o automático por viento o por tensión de baterías |
| Controlador | Carga de baterías y conexión a red |
| Inversor eólico | Eficiencia 97%, algoritmo MPPT |
| Ruido | 48dB Reducción al mínimo gracias al diseño de las palas y a las bajas revoluciones. 1% más que el ruido ambiente del viento |
| Protección anti-corrosión | Hermético, pintura epoxi de secado al horno de alta temperatura, generando un recubrimiento plástico |
| Torre | Celosia, presilla y tubular, abatibles o fijas, altura variable |



E30PRO Wind Turbine

FICHA TÉCNICA

PASO VARIABLE PASIVO

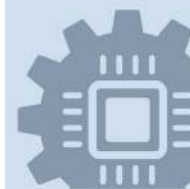


Tecnología patentada para maximizar la producción de energía. Es un sistema mecánico que gracias a la fuerza centrífuga, modifica el ángulo de las palas y nunca se sobrepasan sus rpm de diseño.

Obteniendo:

- Menos ruido
- Más capacidad de absorber rachas de viento
- Más constancia en la generación
- Más energía con menos viento

CONTROL ELECTRÓNICO



Sistema de gestión de la energía inteligente

Conexión de baterías:

7 tipos de baterías programables (lítio, plomo, gel, etc.)
Cargador con pulsos de derivación a resistencias en caso de sobrecarga. Solo deriva el exceso que no puede cargar para proteger las baterías

Conexión a red:

Los inversores MPPT programados con la curva de potencia eólica maximizan la producción en todo momento. Compatibles con redes trifásicas y monofásicas en sistemas europeos y americanos

CLASS I WIND TURBINE

IEC 61400-2/NVI-A

W

4 800
4 600
4 400
4 200
4 000
3 800
3 600
3 400
3 200
3 000
2 800
2 600
2 400
2 200
2 000
1 800
1 600
1 400
1 200
1 000
800
600
400
200
0

W/h

26 400
25 200
24 000
22 800
21 600
20 400
19 200
18 000
16 800
15 600
14 400
13 200
12 000
10 800
9 600
8 400
7 200
6 000
4 800
3 600
2 400
1 200
0

CURVA DE POTENCIA

PRODUCCIÓN ANUAL



MAYOR ENERGÍA



MAYOR EFICIENCIA



MAYOR ROBUSTEZ



MAYOR SEGURIDAD



Mínimo ruido

El ruido está en torno a un 1% por encima del ruido ambiente siendo prácticamente inapreciable para nuestro oído.



Safety-Brake

Nuevo sistema de seguridad mecánica acoplada al eje que garantiza el frenado bajo las condiciones más adversas, para vientos incluso mayores de 70m/s



Anticorrosivo

El uso de pintura epoxy lo convierte en un conjunto anticorrosivo y antisalino ideal para islas y costas



Anti-Icing and Hermetic

Ureto acrílico de resina estructural con una composición química antiadherente al hielo y de máxima resistencia para temperaturas de hasta -50°C. Sellado hermético



Storm-detection

Algoritmo inteligente de detección de tormentas y bloqueo de seguridad del aerogenerador totalmente automático combinado con el Safety-Brake



Remote-Control

Control combinado con el Venus de Victron que permite la marcha/paro del aerogenerador de forma remota



BBS (Battery Brake System)

Sistema inteligente que mide el nivel de carga de la batería y permite detener el aerogenerador cuando la batería llega a la tensión de consigna retomando la marcha cuando baja su carga



**ANEXO N°04. FICHA TÉCNICA DE LOS PANELES
FOTOVOLTAICOS YINGLI SOLAR DE 250 Wp**

YGE 60 Cell 40mm SERIES

Powered by YINGLI

YL260P-29b
YL255P-29b
YL250P-29b
YL245P-29b
YL240P-29b
YL235P-29b
YL230P-29b



YINGLI GREEN ENERGY

Yingli Green Energy (NYSE: YGE) es uno de los mayores fabricantes fotovoltaicos verticalmente integrado, comercializa sus productos bajo la marca "Yingli Solar". Con más de 4,5GW de módulos instalados a nivel mundial, somos una empresa líder en energía solar basándonos en la fiabilidad de un producto probado y un rendimiento sostenible. Yingli es la primera empresa de energías renovables y la primera compañía China que patrocina la Copa del Mundo de la FIFA.

RENDIMIENTO

- Células solares multicristalinas de alta eficiencia y un vidrio texturizado de alta transmitancia que permiten alcanzar una eficiencia del módulo de hasta el 16,2% lo que minimiza los costes de instalación y maximiza la producción energética del sistema por unidad de superficie.
- Tolerancia positiva ajustada de 0W a +5W asegurando una potencia en los módulos igual o superior a la nominal, contribuyendo a su vez a minimizar las pérdidas por dispersión de parámetros y a mejorar el rendimiento del sistema.
- Alta clasificación en el ensayo de rendimiento energético realizado por TÜV "TÜV Rheinland Energy Yield Test" y en el "Photon Test", demostrando un alto rendimiento y una producción anual elevada.

FIABILIDAD

- Ensayos de laboratorios independientes demuestran que los módulos Yingli Solar:
 - ✓ Cumplen completamente con los certificados y normativas vigentes.
 - ✓ Soportan cargas de viento de hasta 2,4kPa y cargas de nieve de hasta 5,4kPa, confirmando así su estabilidad mecánica.
 - ✓ Resisten satisfactoriamente la exposición a niebla salina en su punto más severo y en ambientes de alto contenido en amoniaco, asegurando así el rendimiento en condiciones adversas.
- Empresa certificada por TÜV Rheinland para la ISO 9001: 2008, la ISO140001: 2004 y la BS OHSAS 18001: 2007.

GARANTÍAS

- Garantía de producto limitada de 10 años¹.
- Gartantía de potencia limitada¹: 10 años al 91,2% de la potencia de salida mínima y 25 años al 80,7% de la potencia de salida mínima.

¹ En cumplimiento de nuestros términos y condiciones de garantía.

CUALIFICACIONES Y CERTIFICADOS

IEC 61215, IEC 61730, CE, ISO 9001:2008, ISO 14001:2004, BS OHSAS 18001:2007, SA 8000, PV Cycle



YGE 60 Cell 40mm SERIES

CARACTERÍSTICAS ELÉCTRICAS

Parámetros eléctricos para STC

| Tipo de Módulo | P_{max} | W | 260 | 255 | 250 | 245 | 240 | 235 | 230 |
|-----------------------------|------------------|---|------|------|-------|------|------|------|------|
| Potencia de salida | P_{max} | W | 260 | 255 | 250 | 245 | 240 | 235 | 230 |
| Tolerancia | ΔP_{max} | W | | | 0 / 5 | | | | |
| Eficiencia del módulo | η_m | % | 15,9 | 15,6 | 15,3 | 15,0 | 14,7 | 14,4 | 14,1 |
| Tensión en P_{max} | V_{mpp} | V | 30,9 | 30,6 | 30,4 | 30,2 | 29,5 | 29,5 | 29,5 |
| Intensidad en P_{max} | I_{mpp} | A | 8,41 | 8,32 | 8,24 | 8,11 | 8,14 | 7,97 | 7,80 |
| Tensión en circuito abierto | V_{oc} | V | 38,9 | 38,7 | 38,4 | 37,8 | 37,5 | 37,0 | 37,0 |
| Intensidad en cortocircuito | I_{sc} | A | 8,98 | 8,88 | 8,79 | 8,63 | 8,65 | 8,54 | 8,40 |

STC: 1000 W/m² Irradiación, 25°C Tmódulo, AM1,5 distribución espectral según EN 60904-3

Reducción media de la eficiencia relativa de 5% a 200 W/m² según EN 60904-1

Parámetros Eléctricos en Temperatura de Operación Nominal de la Célula(TONC)

| | | | | | | | | | |
|-----------------------------|-----------|---|-------|-------|-------|-------|-------|-------|-------|
| Potencia de salida | P_{max} | W | 188,3 | 184,7 | 181,1 | 177,9 | 174,3 | 170,7 | 167,0 |
| Tensión en P_{max} | V_{mpp} | V | 28,1 | 27,9 | 27,6 | 27,2 | 26,6 | 26,6 | 26,6 |
| Intensidad en P_{max} | I_{mpp} | A | 6,70 | 6,63 | 6,56 | 6,54 | 6,56 | 6,42 | 6,29 |
| Tensión en circuito abierto | V_{oc} | V | 35,9 | 35,7 | 35,4 | 34,5 | 34,2 | 33,8 | 33,8 |
| Intensidad en cortocircuito | I_{sc} | A | 7,27 | 7,19 | 7,12 | 6,99 | 7,01 | 6,92 | 6,81 |

TONC: Temperatura en circuito abierto del módulo a 800W/m² de Irradiación, 20°C de temperatura ambiente y 1m/s de velocidad del viento

CARACTERÍSTICAS TÉRMICAS

| | | | |
|---|----------------|------|----------|
| Temperatura de Operación Nominal de la Célula | TONC | °C | 46 +/- 2 |
| Coeficiente de temperatura para P_{max} | γ | %/°C | -0,45 |
| Coeficiente de temperatura para V_{oc} | β_{Voc} | %/°C | -0,33 |
| Coeficiente de temperatura para I_{sc} | α_{sc} | %/°C | 0,06 |
| Coeficiente de temperatura para v_{mpp} | β_{Vmpp} | %/°C | -0,45 |

CONDICIONES DE OPERACIÓN

| | |
|---|---------------------|
| Máxima tensión del sistema | 1000V _{DC} |
| Valor máximo del fusible en serie | 15A |
| Limitación de corriente inversa | 15A |
| Rango de temperaturas de funcionamiento | -40°C hasta 85°C |
| Máxima carga estática frontal (nieve y viento) | 5400Pa |
| Máxima carga estática posterior (viento) | 2400Pa |
| Max. impacto por granizo (diámetro / velocidad) | 25mm / 23m/s |

MATERIALES

| | |
|--|--|
| Cubierta frontal (material / espesor) | Vidrio templado de bajo contenido en hierro / 3,2 mm |
| Célula solar (cantidad / tipo / dimensiones / Número de Busbars) | 60 / silicio multicristalino / 156 x156 mm / 2 ó 3 |
| Encapsulante (material) | Etilvinilacetato (EVA) |
| Marco (material / color / color del anodizado / sellado del marco) | Aluminio anodizado / plata / claro / silicona o cinta adhesiva |
| Caja de conexiones (grado de protección) | \geq IP65 |
| Cable (longitud / sección) | 1100mm / 4mm ² |
| Conector (tipo / grado de protección) | MC4 / IP67 o YT08-1 / IP67 o Amphenol H4 / IP68 |

• Debido a la continua innovación, investigación y mejora de producto, la información y las especificaciones citadas en esta hoja de características están sujetas a cambios sin previo aviso. Las especificaciones pueden variar ligeramente y no están garantizadas.

• Los datos no están referidos a un solo módulo y no son parte de la oferta, sirvan sólo para su comparación entre diferentes tipos de módulos.

Yingli Green Energy Holding Co. Ltd.

service@yinglisolar.com

Tel: 0086-312-8929802

YINGLISOLAR.COM

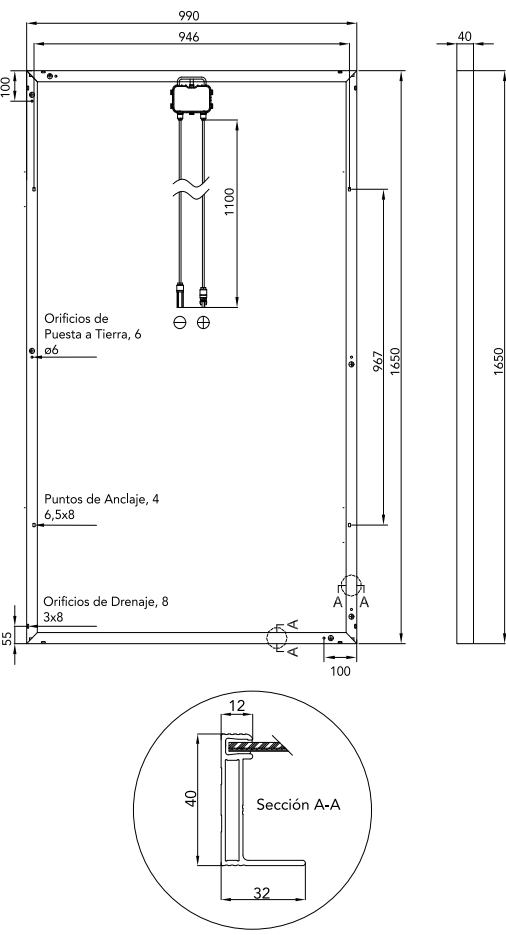
CARACTERÍSTICAS GENERALES

| | |
|---|-----------------------|
| Dimensiones (longitud / anchura / profundidad) | 1650mm / 990mm / 40mm |
| Peso | 19,1kg |

ESPECIFICACIONES DEL EMBALAJE

| | |
|--|--------------------------|
| Número de módulos por palé | 26 |
| Número de palés por contenedor (40') | 28 |
| Dimensiones del Embalaje (longitud / anchura / profundidad) | 1700mm / 1150mm / 1190mm |
| Peso del palé | 534kg |

Unidades: mm



Advertencia: Leer el Manual de Instalación y Uso en su totalidad antes de manejar, instalar y operar módulos Yingli.

Nuestros Colaboradores:



YINGLI SOLAR PV MODULES

Installation and User Manual

Revision Date December 24, 2011 | Applicable for IEC certified products



This manual applies to photovoltaic modules ("PV modules", also commonly known as solar panels) manufactured by Yingli Green Energy Holding Co. Ltd. ("Yingli Solar"), and is explicitly written for qualified professionals ("Installer" or "Installers"), including without limitation licensed electricians and RAL Certified PV Installers.

INTRODUCTION

Thank you for choosing Yingli Solar as your PV module provider. We appreciate your business! This manual contains important information pertaining to the electrical and mechanical installation and maintenance of PV modules, and contains safety information that you must read carefully and be familiar with before handling, installing, and/or maintaining Yingli Solar PV modules.

Yingli Solar does not assume responsibility and expressly disclaims liability for losses, damages, or expenses arising out of, or in any way connected with this Installation and User Manual. Yingli Solar assumes no responsibility for any infringement of patents or other rights of third parties, which may result from using Yingli Solar PV modules. No license is granted expressly or by implication or under any patent or patent rights. The information in this manual is believed to be reliable, but does not constitute an expressed or implied warranty. Yingli Solar reserves the right to make changes to its PV modules and other products, their specifications, or this manual without prior notice.

Yingli Solar and its subsidiaries are not liable for any damages caused by inappropriate installation, use, or maintenance of Yingli Solar PV modules, including without limitation damages, losses, and expenses caused by non-observance of the instructions of this manual or caused by or in connection with products of other manufacturers.

Yingli Solar PV modules are designed to meet the requirements for the standards IEC 61215 and IEC 61730, application class A. Modules rated for use in this application class may be used in systems operating at greater than 50 V DC or 240 W, where general contact access is anticipated. Modules qualified for safety through IEC 61730-1 and IEC 61730-2 and within this application class are considered to meet the requirements for safety class II. In the course of the PV module certification process, the compliance of this manual with the certification requirements has been verified by an independent certification laboratory.

This Installation and User Manual is available in different languages. In cases of discrepancy between versions, the English language version shall control.

Failure to comply with the requirements listed in this manual will invalidate the Limited Warranty for PV Modules as provided by Yingli Solar at the time of sale to the direct customer. Additional recommendations are provided to enhance safety practices and performance results. Please provide a copy of this manual to the PV system owner for their reference, and inform them of all relevant aspects of safety, operation, and maintenance.

SAFETY

General

You must understand and follow all applicable local, state, and federal regulations and standards for building construction, electrical design, fire, and safety, and must check with local authorities to determine applicable permitting requirements before attempting to install or maintain PV modules.

Rooftop PV systems should only be installed on dwellings that have been formally analyzed for structural integrity, and confirmed to be capable of handling the additional weighted load of PV system components, including PV modules, by a certified building specialist or engineer.



For your safety, do not attempt to work on a rooftop until safety precautions have been identified and taken, including without limitation fall protection measures, ladders or stairways, and personal protective equipment (PPE).

For your safety, do not install or handle PV modules under adverse conditions, including without limitation strong or gusty winds, and wet or frosted roof surfaces.

The flat-plate PV module construction consists of a laminated assembly of solar cells encapsulated within an insulating material with a rigid glass surface and an insulated substrate. The laminated assembly is supported by an aluminum frame that is also used for mounting the module. See Figure 1 for an illustration of the PV module components.

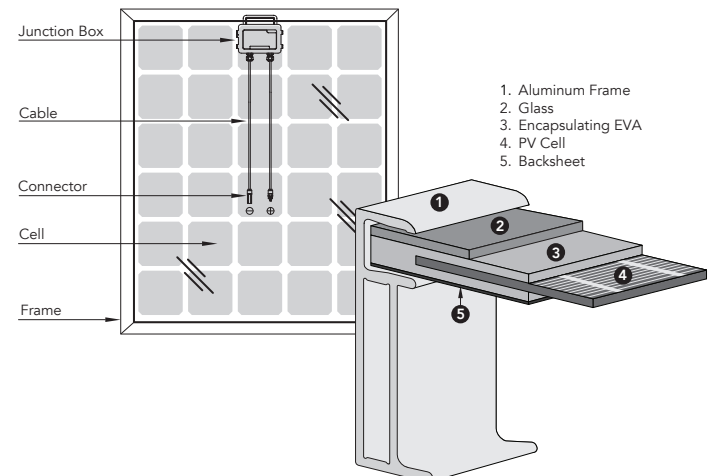


Figure 1: Module components and cross-section of the laminated assembly

Electrical



PV modules can produce current and voltage when exposed to light of any intensity. Electrical current increases with higher light intensity. DC voltage of 30 Volts or higher is potentially lethal. Contacting the live circuitry of a PV system operating under light can result in lethal electric shock.

De-energize PV modules by removing them entirely from light or by covering their front surface with an opaque material. Regard the safety regulations for live electrical equipment when working with modules that are exposed to any light. Use insulated tools and do not wear metallic jewelry while working with PV modules.

In order to avoid arcing and electrical shock, do not disconnect electrical connections under load. Faulty connections can also result in arcing and electrical shock. Keep connectors dry and clean, and ensure that they are in proper working condition. Never insert metallic objects into the connectors, or modify them in any way in order to secure an electrical connection.

Do not touch or handle PV modules with broken glass, separated frames or a damaged backsheet unless the PV modules are first disconnected and you are wearing proper PPE. Avoid handling PV modules when they are wet unless cleaning the PV modules as directed in this manual. Never touch electrical connections that are wet without protecting yourself with insulated gloves.

Transport and Handling

Yingli Solar PV modules must be transported in the supplied packaging only and kept in the packaging until they are ready to be installed. Protect pallets against movement and exposure to damage during transportation. Secure pallets from falling over. Do not exceed the maximum height of pallets to be stacked, as indicated on the pallet packaging. Store pallets in a cool and dry location until the PV modules are ready to be unpackaged.

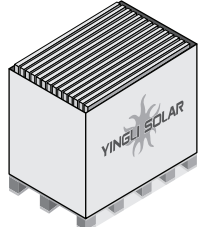


Figure 2: Pallet of PV modules

Yingli Solar PV modules are heavy, and should be handled with care. PV modules shall be handled at the frame; never use the junction box or cables as a grip. Do not exert mechanical stress on the cables. Never step on PV modules or drop or place heavy objects on them. Be careful when placing PV modules on hard surfaces, and secure them from falling. Broken glass can result in personal injury. PV modules with broken glass cannot be repaired and must not be used. Broken or damaged PV modules must be handled carefully and disposed of properly.

For unpacking PV modules from the Yingli Solar supplied packaging, first remove the pallet lid (after removing securing straps, if provided). Remove PV modules one at a time by sliding them up the channel in the package (see Figure 3). You may need to secure the remaining PV modules in the pallet packaging to prevent them from falling over.

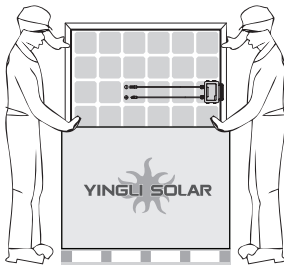


Figure 3: Removing PV modules from a pallet

Check PV modules for damage due to transportation before they are installed; do not install damaged modules. Contact the company you purchased the Yingli Solar PV modules from in order to obtain information on making claims for defective PV modules.

PV module surfaces are susceptible to damage that could affect the performance or safety of the PV module; do not damage or scratch the PV module surfaces, and do not apply paint or adhesive to any of the surfaces, including the frame. For your safety, do not disassemble or modify Yingli Solar PV modules in any way. Doing so may degrade performance or cause irreparable damage and will void any applicable warranties.

If it is necessary to store PV modules prior to installation, the PV modules should remain inside the packaging and protected from exposure that could compromise the durability of the packaging.

Fire

Yingli Solar PV Modules have a Class C fire resistance rating in accordance with the IEC 61730-2 certification. When PV modules are mounted on rooftops, the roof must have a fire resistant covering suitable for this application. PV modules are electrical generating devices that may affect the fire safety of a building.

The use of improper installation methods and/or defective parts may result in the unexpected occurrence of an electrical arc during operation. In order to mitigate the risk of fire in this event, PV modules should not be installed near flammable liquids, gases, or locations with hazardous materials.

In the event of a fire, PV modules may continue to produce a dangerous voltage, even if they have been disconnected from the inverter, have been partly or entirely destroyed, or the system wiring has been compromised or destroyed. In the event of fire, inform the fire crew about the particular hazards from the PV system, and stay away from all elements of the PV system during and after a fire until the necessary steps have been taken to make the PV system safe.

APPLICATION INFORMATION

Application Restrictions

Yingli Solar PV modules must be mounted on appropriate mounting structures positioned on suitable buildings, the ground, or other structures suitable for PV modules (e.g. carports, building facades or PV trackers). PV modules must not be mounted on moving vehicles of any kind. Yingli Solar PV modules must not be installed in locations where they could be submerged in water.

Yingli Solar PV modules must not be sited in locations where aggressive substances such as salt or salt-water, or any other type of corrosive agent, could affect the safety and/or performance of the PV modules. Although some types of Yingli Solar PV modules have passed the IEC 61701 salt-mist corrosion test with a salt concentration of 5% by weight, galvanic corrosion can occur between the aluminum frame of the PV module and mounting or grounding hardware if such hardware is comprised of dissimilar metals. Yingli Solar recommends that only stainless steel and aluminum metal directly contact PV modules in seaside installations to limit corrosion.

Artificially concentrated light must not be directed on Yingli Solar PV modules.

Design Recommendations

Yingli Solar recommends that PV modules be mounted at a minimum tilt angle of 10 degrees to allow for proper self-cleaning from normal rain showers.

Partial or complete shading of a PV module or modules can significantly reduce system performance. Yingli Solar recommends minimizing the amount of shade throughout the year to increase the amount of energy produced by the PV modules.

Lightning protection is recommended for PV systems that are to be installed in locations with high probability of lightning strikes.

High system voltages could be induced in the event of an indirect lightning strike, which could cause damage to PV system components. The open area of wire loops should be minimized, as shown in Figure 4, in order to reduce the risk of lightning induced voltage surges.

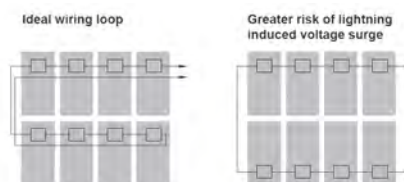


Figure 4: Wire loop design recommendation

ELECTRICAL INSTALLATION

Electrical Configuration

Under normal conditions, a photovoltaic module is likely to experience conditions that produce more current and/or voltage than reported at Standard Test Conditions (STC: 1000 W/m², AM 1.5, and 25°C cell temperature). The short-circuit current (I_{SC}) should be multiplied by a factor of 1.25 and the open-circuit voltage (V_{OC}) should be multiplied by a factor of up to 1.25 based on the lowest ambient temperature recorded for the installation location when determining component voltage ratings, conductor current ratings, fuse sizes, and size of controls connected to the PV output.

Voltages are additive when PV modules are connected directly in series, and module currents are additive when PV modules are connected directly in parallel, as illustrated in Figure 5. PV modules with different electrical characteristics must not be connected directly in series. The use of suitable third-party electronic devices connected to PV modules may enable different electrical connections and must be installed according to the manufacturer's specified instructions.

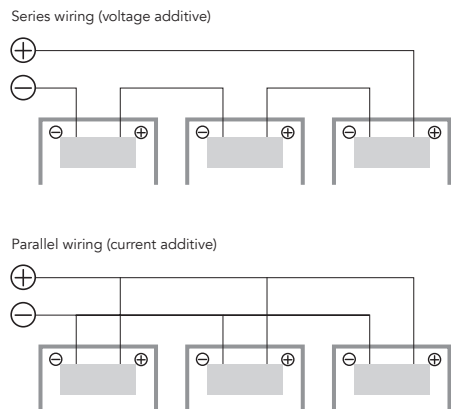


Figure 5: Electrical diagrams of series and parallel wiring

The maximum number of PV modules that can be connected in a series string must be calculated in accordance with applicable regulations in such a way that the specified maximum system voltage of the PV module and all other electrical DC components will not be exceeded in open-circuit operation at the lowest temperature expected at the PV system location.

An appropriately rated overcurrent protection device must be used when the reverse current could exceed the value of the maximum fuse rating of the module. An overcurrent protection device is required for each series string if more than two series strings are connected in parallel.

Cables and Wiring

Yingli Solar PV modules are provided with two (2) stranded, sunlight resistant output cables that are terminated with PV connectors ready for most installations. The positive (+) terminal has a female connector while the negative (-) terminal has a male connector. The module wiring is intended for series connections [i.e. female (+) to male (-) interconnections], but can also be used to connect suitable third-party electrical devices that may have alternative wiring configurations so long as the manufacturer's instructions are followed.

Use field wiring with suitable cross-sectional areas that are approved for use at the maximum short-circuit current of the PV module. Yingli Solar recommends installers use only sunlight resistant cables qualified for direct current (DC) wiring in PV systems. The minimum wire size should be 4mm².

| | Testing Standard | Wire Size | Temperature Rating |
|-------------------------------|------------------|------------------|--------------------|
| Required Minimum Field Wiring | TÜV 2 PFG 1169 | 4mm ² | -40°C to +90°C |

Table 1: Required minimum field wiring specifications

Cables should be fixed to the mounting structure in such a way that mechanical damage of the cable and/or the module is avoided. Do not apply stress to the cables. For fixing, use appropriate means, such as

sunlight resistant cable ties and/or wire management clips specifically designed to attach to the PV module frame. While the cables are sunlight resistant and waterproof, where possible, avoid direct sunlight exposure and water immersion of the cables.

Connectors



Keep connectors dry and clean, and ensure that connector caps are hand tight before connecting the modules. Do not attempt making an electrical connection with wet, soiled, or otherwise faulty connectors. Avoid sunlight exposure and water immersion of the connectors. Avoid connectors resting on the ground or roof surface.

Faulty connections can result in arcs and electrical shock. Check that all electrical connections are securely fastened. Make sure that all locking connectors are fully engaged and locked.

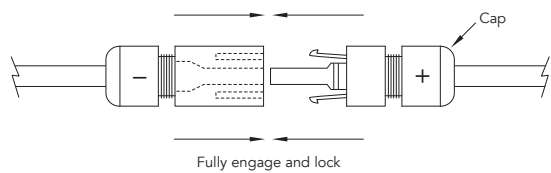


Figure 6: Series interconnection of a male (-) and female (+) connector

Bypass Diodes

The junction boxes used with Yingli Solar PV modules contain bypass diodes wired in parallel with the PV cell strings. In the case of partial shading, the diodes bypass the current generated by the non-shaded cells, thereby limiting module heating and performance losses. Bypass diodes are not overcurrent protection devices.

Bypass diodes divert current from the cell strings in the event of partial shading. See Figure 7 for a diagram showing how the cell strings are electrically connected with the diodes.

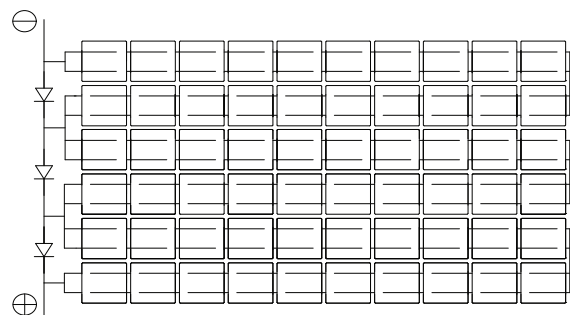


Figure 7: Electrical circuitry of cells and bypass diodes

In the event of a known or suspected diode failure, installers or maintenance providers should contact the company the PV modules were purchased from. Never attempt to open the junction box of a Yingli Solar PV module yourself.

Equipment Grounding

The frame of the PV module, as well as any exposed non-current-carrying metal parts of fixed equipment that are able to become energized by the PV system, must be connected to the equipment grounding conductor (EGC) in order to prevent electrical shock. Even when applicable regulations, code requirements, and standards do not require safety-related grounding, Yingli Solar recommends grounding all PV module frames in order to ensure the voltage between electrically conductive equipment and earth ground is zero in all circumstances.

Proper equipment grounding is achieved by bonding all exposed non-current-carrying metal equipment continuously to one another using an appropriately sized EGC or racking system that can be used for integrated grounding (see Option B in Grounding Methods below).

Yingli Solar PV modules employ a coated aluminum frame for corrosion resistance. In order to properly ground the module frame, the coating must be penetrated.

The potential for corrosion due to the electrochemical action between dissimilar metals in contact is minimized if the electrochemical voltage potential between the dissimilar metals is low. The grounding method must not result in the direct contact of dissimilar metals with the aluminum frame of the PV module that will result in galvanic corrosion. An addendum to UL Standard 1703 "Flat Plate Photovoltaic Modules and Panels" recommends metal combinations not exceed an electrochemical potential difference of 0.5 Volts.

The frame rails have pre-drilled holes marked with a grounding sign, as illustrated in Figure 8. These holes should be used for grounding purposes and must not be used for mounting the PV modules. Do not drill additional holes into the frame rails.

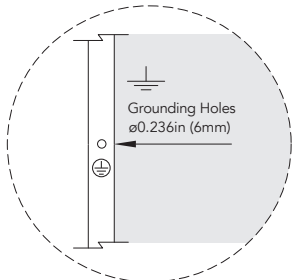


Figure 8: Grounding hole detail

The following grounding methods are available:

Option A: Screw Assembly (see Figure 9)

1. A grounding screw assembly must be attached at a designated grounding hole location using only stainless steel hardware. Insert an M5 stainless steel screw first through the stainless steel cup washer, and then through the grounding hole.
2. Loosely engage a stainless steel backing nut and toothed lock washer to the screw.

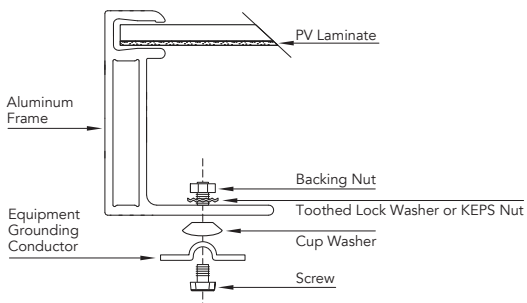


Figure 9: Grounding screw assembly detail

3. Bend the EGC into an omega (Ω) shape to tightly fit between the partially installed screw head and cup washer. The EGC shall be exclusively in contact with stainless steel.
4. Tighten the screw to 2.3 N·m torque. The toothed lock washer should be visibly engaged to the frame.
5. Route the appropriately sized EGC in such a way as to avoid contact with the aluminum module frame.

Option B: Racking Manufacturer Integrated Grounding Methods

Yingli Solar PV modules can be grounded by bonding PV modules to a grounded racking system. Integrated grounding methods must be certified for grounding PV modules and must be installed in accordance with the specified instructions of their respective manufacturers.

Option C: Additional Third-party Grounding Devices

Yingli Solar PV modules can be grounded using third party grounding devices so long as they are certified for grounding PV modules and the devices are installed according to the manufacturer's specified instructions.

MECHANICAL INSTALLATION

General

Yingli Solar PV Modules have been certified for a maximum static load on the back of the module of up to 2400 Pa (i.e. wind load) and a maximum static load on the front of the module of up to either 2400 Pa or 5400 Pa (i.e. wind and snow load), depending on the module type (please refer to the data sheet for this information).

Mounting structures and other mechanical parts must be designed and approved to withstand the design wind and snow loads applicable for a particular site. Yingli Solar PV modules must not be subjected to forces from the substructure, including forces caused by thermal expansion.

The mounting method must not result in the direct contact of dissimilar metals with the aluminum frame of the PV module that will result in galvanic corrosion. An addendum to UL Standard 1703 "Flat Plate Photovoltaic Modules and Panels" recommends metal combinations not exceed an electrochemical potential difference of 0.5 Volts.

Yingli Solar PV modules can be mounted in landscape or portrait orientation, as illustrated in Figure 10, provided that the mounting method follows one of the acceptable methods listed below.

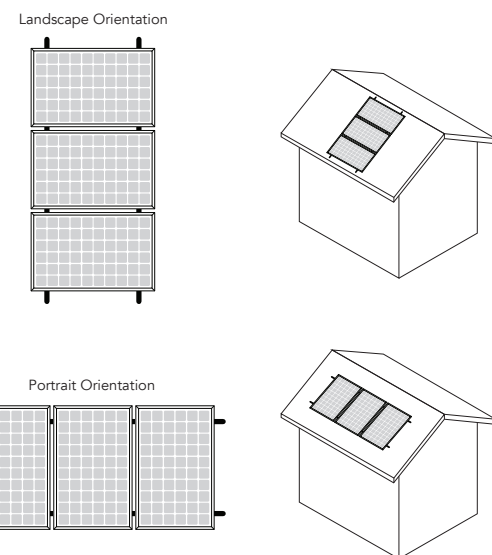


Figure 10: Landscape and portrait mounting

In order to maintain the fire class rating, the distance between the PV module front surface (glass) and the roof surface shall be at least 10 cm. This spacing also allows air flow to cool the PV module. Install PV modules with a minimum spacing of 1 cm between neighboring frames to allow for thermal expansion.

Mounting Methods

The following mounting methods are available:

Bolts or Clamps

Refer to the Module Supplement distributed with this manual to determine how many connection points are required for a specific module series. The locations of mounting holes and clamp tolerances are illustrated in the drawings located in the Module Supplement. Do not modify the existing mounting holes or drill new holes. Do not apply excessive pressure on the frame such that the frame deforms.

- Bolts:** Modules must be mounted using the mounting holes located on the rear side of the long frame parts using M6 stainless steel bolts, nuts, and washers. Refer to the racking manufacturer for specific torque requirements.

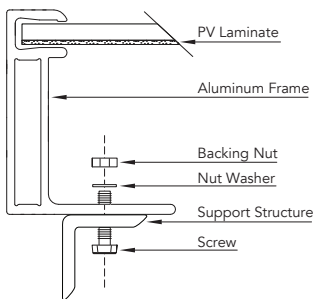


Figure 11: Detail of a bolt mounting attachment

- Top-down Clamps:** Third-party clamps that have been designed for PV mounting structures are an approved mounting attachment method for Yingli Solar PV modules. Modules must be fastened using clamps applied to the top side of the long frame parts. A clamp holds two modules except for the clamps at the beginning and end of a module row. The centerline of the clamps must be in line with the mounting hole positions plus or minus a distance of 50mm. Clamps must be installed according to the manufacturer's specified instructions.

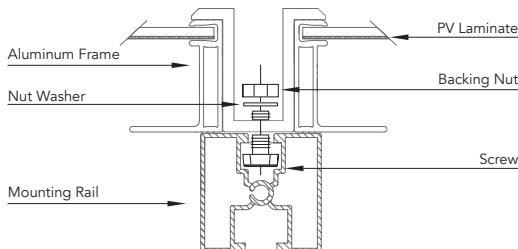


Figure 12: Detail of a top-down clamp mounting attachment

MAINTENANCE

General

Yingli Solar recommends that PV systems be periodically inspected by the installer, or other qualified person.

The purpose of the PV system inspection is to ensure that all system components are functioning properly. At a minimum, this inspection should confirm the following:

- All cables and connector attachments are undamaged and properly secured
- No sharp objects are in contact with the PV module surfaces
- PV modules are not shaded by unwanted obstacles and/or foreign material
- Mounting and grounding components are tightly secured with no corrosion

Defects should be addressed immediately.

Cleaning

Over time, dirt and dust can accumulate on the glass surface of the module, reducing its power output. Yingli Solar recommends periodic cleaning of PV modules to ensure maximum power output, especially in regions with low precipitation.

In order to reduce the potential for electrical and thermal shock, Yingli Solar recommends cleaning PV modules during early morning or late afternoon hours when solar radiation is low and the modules are cooler, especially in regions with hotter temperatures.

Never attempt to clean a PV module with broken glass or other signs of exposed wiring, as this presents a shock hazard.

Clean the glass surface of the PV modules with a soft brush using soft, clean water with a recommended pressure less than 690kPa, which is typical of most municipal water systems. Water with high mineral content may leave deposits on the glass surface and is not recommended.

Yingli Solar PV modules may contain a hydrophobic anti-reflective coating on the glass surface to enhance power output and reduce dirt and dust buildup. In order to avoid module damage, do not clean PV modules with a power washer or pressure washer. Do not use steam or corrosive chemicals to facilitate the cleaning of modules. Do not use aggressive tools or abrasive materials that could scratch or damage the glass surface. Failure to comply with these requirements may adversely affect the PV module performance.

Yingli Solar PV modules are designed to withstand high snow loads. However, if removing snow is desired to enhance production, use a brush to gently remove snow. Do not try to remove frozen snow or ice from PV modules.

DECOMMISSIONING

The dismantling of PV systems must be performed with the same care and safety precautions used during the initial installation. The PV system can generate hazardous voltage even after the system has been disconnected. Follow safety regulations for working with live electrical equipment.

RECYCLING

Yingli Solar is a member of PV Cycle, the European association for voluntary take back and recycling of PV modules. Please contact PV Cycle at www.pvcycle.org for details regarding the recycling process.

Yingli Green Energy Holding Co. Ltd.

service@yinglisolar.com

Tel: 0086 312 8922216

YINGLISOLAR.COM

MÓDULOS FOTOVOLTAICOS DE YINGLI SOLAR

GARANTÍA LIMITADA

Fecha de revisión: 1 de octubre de 2011

Yingli Green Energy Holding Company Limited ("Yingli Solar") establece la siguiente Garantía Limitada de Producto y Garantía Limitada de Potencia (conjuntamente la "Garantía Limitada") para ciertos tipos de sus módulos fotovoltaicos (los "Módulos Fotovoltaicos") de acuerdo con las condiciones, exclusiones y limitaciones establecidas a continuación.

1 GARANTÍA LIMITADA DE PRODUCTO

Yingli Solar garantiza al comprador original y usuario final (el "Cliente") que los Módulos Fotovoltaicos están libres de defectos de materiales y fabricación en condiciones normales de aplicación, uso y servicio durante el periodo comprendido entre la fecha en la que el Cliente compró los Módulos Fotovoltaicos o un (1) año después de su salida de fábrica (la "Fecha de Inicio de la Garantía") lo que suceda antes y hasta diez (10) años después de dicha Fecha de Inicio de la Garantía. Si un Módulo Fotovoltaico no cumple con la presente Garantía Limitada de Producto durante el citado periodo de diez años, Yingli Solar, a su elección razonable, a) reparará o sustituirá el módulo fotovoltaico defectuoso sin cargo alguno para el Cliente por módulos o piezas de sustitución, o b) efectuará un reembolso al Cliente equivalente al precio de mercado actual de un Módulo Fotovoltaico comparable en el momento de la reclamación del Cliente. La presente Garantía Limitada de Producto no garantiza una potencia de salida específica, lo que estará cubierto exclusivamente por la Garantía Limitada de Potencia detallada a continuación.

2 GARANTÍA LIMITADA DE POTENCIA

A. 10 años:

Yingli Solar asimismo garantiza que si, en un plazo de diez (10) años desde la Fecha de inicio de la garantía, cualquier Módulo Fotovoltaico genera una potencia de salida inferior al 91.2% de la potencia de salida nominal de dicho Módulo Fotovoltaico según lo especificado en la etiqueta original del producto (el "Umbral del 91.2%"), y si dicha pérdida de potencia por debajo del Umbral del 91.2% se debe a defectos de materiales o fabricación en condiciones normales de aplicación, uso y servicio, Yingli Solar compensará dicha pérdida de potencia mediante, a su elección razonable, a) la sustitución o reparación del Módulo Fotovoltaico defectuoso sin cargo alguno para el Cliente por módulos o piezas de sustitución, b) el suministro al Cliente Módulos Fotovoltaicos adicionales para compensar dicha pérdida de potencia de manera que la potencia de salida equivalga o supere el Umbral del 91.2%, habida cuenta de que el Cliente pueda montar dichos Módulos Fotovoltaicos adicionales o c) el reembolso de la diferencia entre la potencia de salida real del Módulo Fotovoltaico y el Umbral del 91.2%, tomando como base el precio de mercado actual de un Módulo Fotovoltaico comparable en el momento de la reclamación del Cliente.

B. 25 años:

Yingli Solar asimismo garantiza que si, en un plazo de veinticinco (25) años desde la Fecha de inicio de la garantía, cualquier Módulo Fotovoltaico genera una potencia de salida inferior al 80.7% de la potencia de salida nominal de dicho Módulo Fotovoltaico según lo especificado en la etiqueta original del producto (el "Umbral del 80.7%"), y si dicha pérdida de potencia por debajo del Umbral del 80.7% se debe a defectos de materiales o fabricación en condiciones normales de aplicación, uso y servicio, Yingli Solar compensará dicha pérdida de potencia mediante, a su elección



razonable, a) la sustitución o reparación del Módulo Fotovoltaico defectuoso sin cargo alguno para el Cliente por módulos o piezas de sustitución, b) el suministro al Cliente Módulos Fotovoltaicos adicionales para compensar dicha pérdida de potencia de manera que la potencia de salida equivalga o supere el Umbral del 80.7%, habida cuenta de que el Cliente pueda montar dichos Módulos Fotovoltaicos adicionales o c) el reembolso de la diferencia entre la potencia de salida real del Módulo Fotovoltaico y el Umbral del 80.2%, tomando como base el precio de mercado actual de un Módulo Fotovoltaico comparable en el momento de la reclamación del Cliente.

C. A los efectos de establecer la potencia de salida del Módulo Fotovoltaico, las mediciones se basarán en, o se normalizarán según, las condiciones de prueba estándar de 1000 W/m² de irradiación, 25 °C de temperatura de célula y un espectro de luz de AM 1.5. Las mediciones se realizarán de conformidad con lo dispuesto en la IEC 60904, y tendrán en cuenta los errores del sistema de medición de conformidad con la EN 50380.

3 CONDICIONES GENERALES, EXCLUSIONES Y LIMITACIONES

A. LAS GARANTÍAS LIMITADAS AQUÍ PREVISTAS SUSTITUYEN A CUALQUIER OTRA GARANTÍA EXPRESA. NINGUNA DE LAS GARANTÍAS IMPLÍCITAS, INCLUYENDO, PERO SIN LIMITARSE A ELLAS, LAS GARANTÍAS DE COMERCIABILIDAD, IDONEIDAD PARA UN FIN ESPECÍFICO, O NO INFRACCIÓN, PODRÁN EN NINGÚN CASO AMPLIARSE MÁS ALLÁ DEL PERÍODO DE GARANTÍA APPLICABLE PREVISTO EN LAS SECCIONES 1 Ó 2 MÁS ARRIBA. Algunos estados u otras jurisdicciones competentes no permiten la imposición de limitaciones sobre la duración de una garantía implícita, por lo que la limitación mencionada más arriba puede no ser aplicable en su caso. La presente garantía le confiere derechos legales específicos, pudiendo usted asimismo gozar de cualquier otro derecho que le corresponda según el estado. Ningún vendedor de Módulos Fotovoltaicos ni ninguna otra persona podrá, en nombre de Yingli Solar, prestar ninguna garantía distinta de las garantías aquí previstas, ni ampliar la duración de la Garantía Limitada del Producto o la Garantía Limitada de Potencia más allá de los períodos aquí previstos.

B. Las reclamaciones cubiertas por la Garantía Limitada deberán ser recibidas por Yingli Solar dentro del periodo de garantía aplicable para que la Garantía Limitada sea efectiva. Deberá presentarse el recibo de venta correspondiente a la compra del primer Cliente original, o cualquier otra prueba documental, para establecer la Fecha de inicio de la garantía.

C. La Garantía Limitada cubre exclusivamente al Cliente original y, siempre y cuando los Módulos Fotovoltaicos permanezcan instalados en el emplazamiento en el que fueron inicialmente instalados, a cualquier persona a la que se haya transferido la titularidad de los Módulos Fotovoltaicos (cada uno de ellos, un "Reclamante").

D. La Garantía Limitada no será aplicable a ningún Módulo Fotovoltaico que haya sido objeto de:

- una alteración, reparación o modificación sin el consentimiento previo por escrito de Yingli Solar
- retirada de los Módulos Fotovoltaicos y su nueva instalación en un nuevo emplazamiento
- retirada de los Módulos Fotovoltaicos y su nueva instalación en un nuevo emplazamiento
- un incumplimiento de lo previsto en el Manual de Instalación y Usuario de Yingli Solar
- un caso de uso incorrecto, abuso, negligencia o accidente durante su

MÓDULOS FOTOVOLTAICOS DE YINGLI SOLAR

GARANTÍA LIMITADA

almacenamiento, transporte, manipulación, instalación, aplicación, uso o servicio

- un caso de subida de tensión, rayos, inundación, incendio, vandalismo, manipulación, rotura accidental, moho, o cualquier otro evento más allá del control de Yingli Solar, incluyendo, sin limitación alguna, cualquier evento o condición de carácter tecnológico o físico que no sea razonablemente conocido o consabido en el momento de la adquisición de los Módulos Fotovoltaicos por parte del Cliente
- instalación en plataformas móviles o en un entorno marino; el contacto directo con agentes corrosivos o agua salada; daños por plagas de insectos; o un mal funcionamiento de los componentes del sistema fotovoltaico y demás condiciones operativas, que no estén expresamente permitidas en el Manual de Instalación y Usuario.

Asimismo, la Garantía Limitada no cubre imperfecciones estéticas asociadas a la instalación, o al desgaste normal y a la rotura normal de los Módulos Fotovoltaicos.

E. La Garantía Limitada no cubre ni la instalación de los Módulos Fotovoltaicos, ni la retirada de los Módulos Fotovoltaicos defectuosos, la reinstalación de Módulos Fotovoltaicos reparados, de sustitución o adicionales, ni los costes de todo lo anterior. Asimismo, la presente garantía no cubre ningún otro coste, lucro cesante o pérdida de ingresos en relación con el rendimiento o no rendimiento de los Módulos Fotovoltaicos defectuosos. No obstante, en el caso de las reclamaciones de garantía aceptadas, Yingli Solar asumirá los costes razonables, según el estándar local habitual, asociados al transporte de ida y vuelta alemplazamiento del Cliente de los Módulos Fotovoltaicos defectuosos, reparados, de sustitución o adicionales.

F. Cualquier Módulo Fotovoltaico adicional suministrado, y cualquier Módulo Fotovoltaico reparado o sustituido por Yingli Solar en virtud de una reclamación de garantía estará cubierto por las mismas Garantías Limitadas y términos que los primeros Módulos Fotovoltaicos adquiridos que hayan sido el objeto de la reclamación; ningún periodo o término de la garantía podrá ampliarse a causa de ninguna reclamación o resarcimiento en relación con la misma. Yingli Solar dedicará todos los esfuerzos comerciales razonables a sustituir los Módulos Fotovoltaicos defectuosos por módulos fotovoltaicos nuevos o renovados del mismo tamaño y apariencia, o de tamaño y apariencia similares, reservándose no obstante el derecho a suministrar otro tipo de Módulo Fotovoltaico en caso de que Yingli Solar haya interrumpido la producción del tipo de Módulo Fotovoltaico que sea el objeto de la reclamación de garantía, habida cuenta de que dicho otro tipo de Módulo Fotovoltaico sea compatible con el sistema fotovoltaico del Cliente. Los Módulos Fotovoltaicos y las piezas reemplazadas pasarán a ser propiedad de Yingli Solar.

4 OBTENCIÓN DE UN SERVICIO EN VIRTUD DE ESTA GARANTÍA

Para obtener un servicio en virtud de esta garantía, el Cliente o cualquier otro Reclamante debe ponerse en contacto inmediatamente con el proveedor al que haya comprado los Módulos Fotovoltaicos, el cual les dará instrucciones y les facilitará los impresos necesarios para presentar una reclamación. Si dicho proveedor ha dejado de existir o no se le puede contactar, el Cliente o cualquier otro Reclamante podrá ponerse en contacto directamente con Yingli Solar según lo indicado en nuestra página web, www.yinglisolar.com. Yingli Solar no aceptará la devolución de Módulos Fotovoltaicos supuestamente defectuosos a menos que Yingli Solar así

lo haya autorizado por escrito previamente. A menos que se indique lo contrario, los Módulos Fotovoltaicos cuya devolución haya sido autorizada por Yingli Solar se enviarán a un Centro de Servicio de Atención al Cliente local según lo indicado por Yingli Solar. En caso de que Yingli Solar rechace una reclamación, el Reclamante podrá recurrir esta decisión apelando a un laboratorio de pruebas acreditado.

5 RESARCIMIENTOS EXCLUSIVOS; LIMITACIÓN DE RESPONSABILIDAD

La Garantía Limitada de Producto y la Garantía Limitada de Potencia aquí previstas serán las únicas y exclusivas garantías concedidas por Yingli Solar, y constituirán los resarcimientos únicos y exclusivos a disposición del Cliente o de cualquier otro Reclamante por cualquier incumplimiento de garantía, expreso o implícito. La concesión de indemnizaciones, en la forma y durante los períodos aquí descritos, constituirá el completo cumplimiento de todas las responsabilidades de Yingli Solar frente al Cliente y a cualquier otro Reclamante por lo que respecta a los Módulos Fotovoltaicos. YINGLI SOLAR NO SERÁ RESPONSABLE EN NINGÚN CASO DE NINGÚN DAÑO CONSECUENCIAL, INCIDENTAL, ESPECIAL O PUNITIVO QUE PUDIERA DERIVARSE DE LOS MÓDULOS FOTOVOLTAICOS O DE SU INSTALACIÓN, USO, RENDIMIENTO O NO RENDIMIENTO, NI DE CUALQUIER DEFECTO O INCUMPLIMIENTO DE GARANTÍA, TANTO EN BASE A UN CONTRATO, UNA GARANTÍA, UN CASO DE NEGLIGENCIA, UN CASO DE RESPONSABILIDAD OBJETIVA O CUALQUIER OTRA TEORÍA. QUEDAN ESPECÍFICAMENTE EXCLUIDOS DE ESTA GARANTÍA LOS DAÑOS Y PERJUICIOS PROVOCADOS POR PÉRDIDA DE USO, LUCRO CESANTE, PÉRDIDA DE INGRESOS Y PÉRDIDA DE PRODUCCIÓN. Algunos estados no permiten la exclusión o limitación de daños incidentales o consecuenciales, por lo que la limitación mencionada más arriba puede no ser aplicable en su caso. LA RESPONSABILIDAD DE YINGLI SOLAR SOBRE LOS MÓDULOS FOTOVOLTAICOS NO CONFORMES EN NINGÚN CASO SUPERARÁ EL PRECIO DE COMPRA PAGADO POR EL CLIENTE POR LOS MÓDULOS FOTOVOLTAICOS EN CUESTIÓN, MÁS LOS COSTES DE TRANSPORTE RAZONABLES.

6 VIGENCIA

La presente Garantía Limitada es aplicable a todos los Módulos Fotovoltaicos que salgan de las fábricas de Yingli Solar a partir del 1 de octubre de 2011, y que pertenezcan a las siguientes familias de productos:

Serie YLXXXP (23b, 26b, 29b, 32b, 35b)

Serie YKXXXP-PC (23b, 29b)

Serie YLXXXPT (23b, 26b, 29b, 32b, 35b)

Serie YLXXXPT-PC (23b, 29b)

7 VARIOS

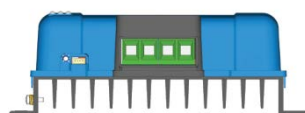
Si alguna parte o disposición de esta Garantía Limitada de Módulos Fotovoltaicos de Yingli Solar, o su aplicación a cualquier persona o circunstancia, se considerara inválida, nula o no aplicable, dicha condición no afectará a las demás partes, disposiciones o aplicaciones de esta Garantía Limitada de Módulos Fotovoltaicos de Yingli Solar, las cuales permanecerán en pleno vigor y efecto. La presente Garantía Limitada está disponible en varios idiomas. Si, por cualquier motivo, surge un conflicto entre la versión inglesa y cualquier otra versión, prevalecerá la versión inglesa.



**ANEXO N°05. FICHA TÉCNICA DEL CONTROLADOR
150 /60 VICTRON ENERGY**

Controladores de carga BlueSolar con conexión roscada- o MC4 PV

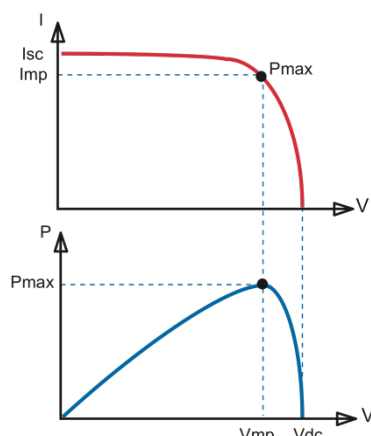
MPPT 150/45, MPPT 150/60, MPPT 150/70, MPPT 150/85, MPPT 150/100

www.victronenergy.com


Controlador de carga solar
MPPT 150/70-Tr



Controlador de carga solar
MPPT 150/70-MC4



Seguimiento del punto de potencia máxima

Curva superior:

Corriente de salida (I) de un panel solar como función de tensión de salida (V). El punto de máxima potencia (MPP) es el punto P_{max} de la curva en el que el producto de $I \times V$ alcanza su pico.

Curva inferior:

Potencia de salida $P = I \times V$ como función de tensión de salida. Si se utiliza un controlador PWM (no MPPT) la tensión de salida del panel solar será casi igual a la tensión de la batería, e inferior a V_{mp} .

Seguimiento ultrarrápido del punto de máxima potencia (MPPT, por sus siglas en inglés)

Especialmente con cielos nubosos, cuando la intensidad de la luz cambia continuamente, un controlador MPPT ultrarrápido mejorará la recogida de energía hasta en un 30%, en comparación con los controladores de carga PWM, y hasta en un 10% en comparación con controladores MPPT más lentos.

Detección Avanzada del Punto de Máxima Potencia en caso de nubosidad parcial

En casos de nubosidad parcial, pueden darse dos o más puntos de máxima potencia (MPP) en la curva de tensión de carga.

Los MPPT convencionales tienden a seleccionar un MPP local, que pudiera no ser el MPP óptimo. El innovador algoritmo de BlueSolar maximizará siempre la recogida de energía seleccionando el MPP óptimo.

Excepcional eficiencia de conversión

Sin ventilador. La eficiencia máxima excede el 98%.

Algoritmo de carga flexible

Algoritmo de carga totalmente programable (consulte la sección Asistencia y Descargas > Software en nuestra página web), y ocho algoritmos preprogramados, seleccionables mediante interruptor giratorio (ver manual para más información).

Amplia protección electrónica

Protección de sobrefecha y reducción de potencia en caso de alta temperatura.

Protección de cortocircuito y polaridad inversa en los paneles FV.

Protección de corriente inversa FV.

Sensor de temperatura interna

Compensa la tensión de carga de absorción y flotación, en función de la temperatura.

Opciones de datos en pantalla en tiempo real

- Smartphones, tabletas y otros dispositivos Apple y Android consulte "Mochila inteligente de conexión VE.Direct a Bluetooth"
- Panel ColorControl



| Controlador de carga BlueSolar | MPPT 150/45 | MPPT 150/60 | MPPT 150/70 | MPPT 150/85 | MPPT 150/100 |
|---|--|---|--------------------------------|-------------|--------------|
| Tensión de la batería | Selección automática 12 / 24 / 48 V (se necesita una herramienta de software) | | | | |
| Corriente de carga nominal | 45 A | 60 A | 70 A | 85 A | 100 A |
| Potencia FV máxima, 12V 1a,b) | 650 W | 860 W | 1000 W | 1200 W | 1450 W |
| Potencia FV máxima, 24V 1a,b) | 1300 W | 1720 W | 2000 W | 2400 W | 2900 W |
| Potencia FV máxima, 48V 1a,b) | 2600 W | 3440 W | 4000 W | 4900 W | 5800 W |
| Tensión máxima del circuito abierto FV | | 150 V máximo absoluto en las condiciones más frías 145 V en arranque y funcionando al máximo | | | |
| Eficacia máxima | | | 98 % | | |
| Autoconsumo | | | 10 mA | | |
| Tensión de carga de "absorción" | Valores predeterminados: 14,4 / 28,8 / 43,2 / 57,6 V (ajustable) | | | | |
| Tensión de carga de "flotación" | Valores predeterminados: 13,8 / 27,6 / 41,4 / 55,2 V (ajustable) | | | | |
| Algoritmo de carga | | | variable multietapas | | |
| Compensación de temperatura | | | -16 mV / °C, -32 mV / °C resp. | | |
| Protección | Polaridad inversa de la batería (fusible, no accesible por el usuario) Polaridad inversa/Cortocircuito de salida/Sobretemperatura | | | | |
| Temperatura de trabajo | -30 a +60°C (potencia nominal completa hasta los 40°C) | | | | |
| Humedad | 95 %, sin condensación | | | | |
| Puerto de comunicación de datos y on-off remoto | VE.Direct (consulte el libro blanco sobre comunicación de datos en nuestro sitio web) | | | | |
| Funcionamiento en paralelo | | | Sí (no sincronizado) | | |

| CARCASA | | |
|---------------------------|--|---|
| Color | Azul (RAL 5012) | |
| Terminales FV 2) | 35 mm ² /AWG2 (modelos Tr), o conectores Dual MC4 (modelos MC4) | |
| Bornes de batería | 35 mm ² / AWG2 | |
| Tipo de protección | IP43 (componentes electrónicos), IP22 (área de conexión) | |
| Peso | 3 kg | 4,5 kg |
| Dimensiones (al x an x p) | Modelos Tr: 185 x 250 x 95 mm Modelos MC4: 215 x 250 x 95 mm | Modelos Tr: 216 x 295 x 103 mm Modelos MC4: 246 x 295 x 103 mm |

| ESTÁNDARES | |
|--|--------------|
| Seguridad | EN/IEC 62109 |
| 1a) Si se conecta más potencia FV, el controlador limitará la potencia de entrada al máximo estipulado. | |
| 1b) La tensión FV debe exceder en 5V la Vbat (tensión de la batería) para que arranque el controlador. Una vez arrancado, la tensión FV mínima será de Vbat + 1V. | |
| 2) Modelos MC4: se necesitarán varios separadores para conectar en paralelo las cadenas de paneles solares | |

ANEXO N°06. FICHA TÉCNICA DE LA BATERÍA DE 260 A.h



FORMULA STAR MARINA | SOLAR

Formula Star
MARINA

Formula Star MARINA

- Reducida autodescarga
- Menor sensibilidad a las sobrecargas imprevistas
- **Filtro antillama**, desgasificación central

- Baterías **selladas, Antiderrames**.
- Tecnología **Calcio-Calcio**, Libre mantenimiento
- **Placas y separadores especiales**

Formula Star
SOLAR

Formula Star SOLAR

- Totalmente Libre de Mantenimiento
- **Placas y separadores especiales**
- **Alta resistencia a profundos y continuos ciclos de carga y descarga**

- Sistema de regulación por válvula con supresor de llama
- Larga Vida en servicio, Reducida autodescarga
- Baterías Hermética Estacionaria
(diseñada para instalaciones fotovoltaicas)

| FS MARINA | Modelo | V | Capacidad Ah C20 | Intensidad -18°C (EN) | Medidas max. (mm) | | | Precio BASE | Código AMP | Enero 2017 | |
|--------------------------|----------------------|----|------------------|-----------------------|-------------------|-------|------|---------------|------------|------------|--------|
| | | | | | Largo | Ancho | Alto | | | AMP | P.V.P. |
| 12 MESES GARANTÍA | | | | | | | | | | | |
| | FS 60 MARINA | 12 | 60 | 535 | 242 | 175 | 190 | 82,30 | G12E | 9,50 | 91,80 |
| | FS 75 MARINA | 12 | 74 | 670 | 278 | 175 | 190 | 100,60 | G12F | 11,75 | 112,35 |
| | FS 100 MARINA | 12 | 95 | 790 | 353 | 175 | 190 | 131,20 | G12H | 15,75 | 146,95 |
| | FS 145 MARINA | 12 | 145 | 800 | 513 | 189 | 223 | 211,40 | G12K | 22,75 | 234,15 |
| | FS 185 MARINA | 12 | 185 | 1.000 | 513 | 223 | 223 | 242,30 | G12L | 28,25 | 270,55 |
| | FS 230 MARINA | 12 | 230 | 1.150 | 518 | 276 | 242 | 305,60 | G12M | 36,25 | 341,85 |

| FS SOLAR | Modelo | V | Capacidad Ah C100 | Medidas max. (mm) | | | Precio BASE | Código AMP | Enero 2017 | |
|--------------------------|---------------------|----|-------------------|-------------------|-------|------|---------------|------------|------------|--------|
| | | | | Largo | Ancho | Alto | | | AMP | P.V.P. |
| 12 MESES GARANTÍA | | | | | | | | | | |
| | FS 70 SOLAR | 12 | 66 | 242 | 175 | 190 | 83,90 | G12F | 11,75 | 95,65 |
| | FS 80 SOLAR | 12 | 80 | 278 | 175 | 190 | 102,60 | G12G | 14,00 | 116,60 |
| | FS 110 SOLAR | 12 | 105 | 353 | 175 | 190 | 133,70 | G12H | 15,75 | 149,45 |
| | FS 155 SOLAR | 12 | 155 | 513 | 189 | 223 | 215,50 | G12L | 28,25 | 243,75 |
| | FS 200 SOLAR | 12 | 200 | 513 | 223 | 223 | 249,30 | G12L | 28,25 | 277,55 |
| | FS 260 SOLAR | 12 | 260 | 518 | 276 | 242 | 311,50 | G12M | 36,25 | 347,75 |

El Ajuste de Materia Prima cambiará mensualmente.

**ANEXO N°07. FICHA TÉCNICA DEL INVERSOR VICTRON
ENERGY 10 000 W**



PV3500 Series

Inversor solar de aislada y baja frecuencia

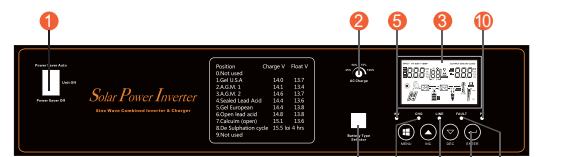
Características

- Potencia Nominal entre 4kVA y 12kVA
- Onda senoidal pura
- Configurable desde la pantalla LCD (Modos de trabajo, estado de cargas, voltaje de baterías y de campo solar, etc.)
- Regulador MPPT de hasta 120A según versiones
- MPPT con eficiencia máxima del 98%
- Cargador AC de alta potencia de 80A
- Transformador con bobinado íntegro de cobre
- Protección contra sobretensión, sobrecarga y descarga profunda
- Con programa para PC (CD Incluido) para programación del Inversor
- Sistema de monitorización WiFi (opcional)
- Compatible con generadores de gasolina o diésel
- Con aislamiento galvánico.

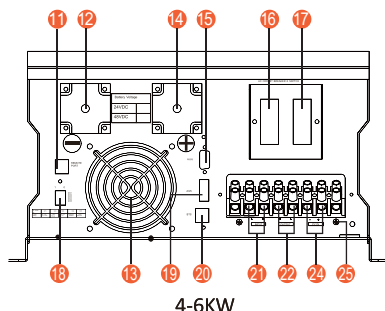
Introducción:

Inversor de onda pura con cargador AC y regulador de carga de tipo MPPT. Multifunción, con posibilidad de combinar al mismo tiempo los diferentes métodos de carga. Incorpora una pantalla LCD para su configuración a través de los botones que van instalados justo en la parte inferior. Es fácil y accesible para cualquier usuario, con opción de mostrar los valores de corriente de carga desde paneles solares, desde generador o red eléctrica, así como la opción de visualizar los consumos.

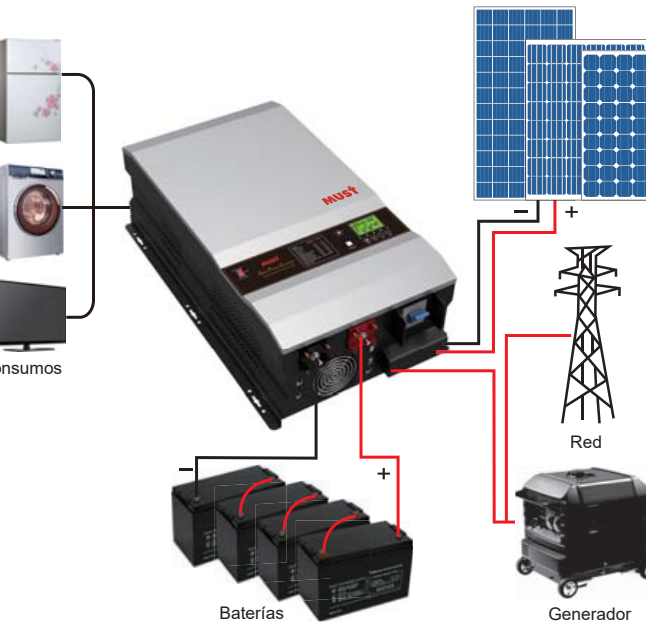
Información del Display LCD



1. Interruptor / bajo consumo
2. Ajuste cargador AC
3. Display LCD
4. Ajuste voltaje baterías
5. Indicador Inversor
6. Indicador carga
7. Indicador red
8. Indicador fallo
9. Función
10. Indicador FV
11. Puerto remoto
12. BAT⁻
13. Ventilador
14. BAT⁺
15. RS485/CAN puerto comunicaciones
16. termico entrada AC / bypass
17. Térmico salida consumos
18. Interruptores función (SW1-SW5)
19. AGS
20. BTS
21. Entrada AC desde generador o red
22. Salida AC para consumos
23. Segunda entrada fotovoltaica(opcional)
24. Primera entrada fotovoltaica
25. Tierra



Conexión del Sistema Solar



Especificaciones

| MODELO | PV35-4K | PV35-5K | PV35-6K | PV35-8K | PV35-10K | PV35-12K |
|-------------------------------------|---------|---------|---|---|-------------------------------|----------------------------|
| Voltaje de Baterías del Sistema | 24V | 48V | 48V | 48V | 48VDC | 48VDC |
| SALIDA INVERSOR | | | | | | |
| Potencia del Inversor | 4kW | 5kW | 6kW | 8.0kW | 10.0kW | 12.0kW |
| Pico potencia (20ms) | 12kW | 15.0kW | 18.0kW | 24.0kW | 30.0kW | 36.0kW |
| Capacidad arranque motores | 2HP | 2HP | 3HP | 4HP | 5HP | 6HP |
| Tipo de Onda | | | Onda pura / igual que en la entrada (modo bypass) | | | |
| Voltaje nominal salida RMS | | | 220V/230V/240VAC(+/-10% RMS) | | | |
| Frecuencia de salida | | | 50Hz/60Hz +/-0.3 Hz | | | |
| Eficiencia del inversor (Pico) | | >85% | | | | |
| Eficiencia modo red | | | | >95% | | |
| Factor de potencia | | | | 0.8 | | |
| Tiempo de transferencia típico | | | | 10ms(max) | | |
| ENTRADA AC | | | | | | |
| Voltaje | | | | 230VAC | | |
| Rango voltaje seleccionable | | | | 154-272VAC(Para ordenadores) | | |
| Rango frecuencia | | | | 50Hz/60Hz (Automático) | | |
| BATERÍA | | | | | | |
| Voltaje mínimo arranque | | | 20.0VDC/21.0VDC for 24VDC mode (40.0VDC/42.0VDC for 48VDC mode) | | | |
| Voltaje batería baja | | | 21.0VDC +/-0.3V for 24VDC mode (42.0VDC +/-0.6V for 48VDC mode) | | | |
| Voltaje desconexión batería baja | | | 20.0VDC +/-0.3V for 24VDC mode (40.0VDC +/-0.6V for 48VDC mode) | | | |
| Alarma alto voltaje | | | 32.0VDC +/-0.3V for 24VDC mode (64.0VDC +/-0.6V for 48VDC mode) | | | |
| Recuperacion alarma alto voltaje | | | 31.0VDC +/-0.3V for 24VDC mode (62.0VDC +/-0.6V for 48VDC mode) | | | |
| Consumo en vacío / modo espera | | | <25W con ahorro de energía | | | <25W con ahorro de energía |
| CARGADOR AC | | | | | | |
| Voltaje cargador | | | | En función voltaje batería | | |
| Térmico protección entrada AC | 30A | 30A | 30A | 40A | 50A | 63A |
| Protección sobrecarga | | | | 31.4VDC para modelo 24VDC (62.8VDC para modelo 48VDC) | | |
| Máxima corriente de carga | 65A | 40A | 35A | 40A | 70A | 80A |
| BTS | | | | | | |
| Potencia continua salida | | | | En función de la demandada y con regulación según temperatura batería | | |
| PROTECCIÓN Y BYPASS | | | | | | |
| Onda de entrada | | | | Senoídad (red o generador) | | |
| Frecuencia nominal entrada | | | | 50Hz o 60Hz | | |
| Protección sobrecarga | | | | Térmico | | |
| Protección cortocircuito salida | | | | Térmico | | |
| Potencia térmico de bypass | | | 40A | | 80A | 80A |
| Corriente máxima bypass | | | 40Amp | | | 80Amp |
| REGULADOR MPPT | | | | | | |
| Máxima corriente carga FV | | | 60A | | 60A(120A Opcional) | |
| Voltaje DC | | | 24V/48V Automático | | 48V | |
| Potencia carga FV | 1600W | 3200W | 3200W | 3200W | 3200W(6400W para modelo 120A) | |
| Rango operativo MPPT | | | 32-145VDC para 24V ,64-147V para 48V | | 64-147VDC | |
| Voltaje Maximo FV Circuito abierto | | | | | 147VDC | |
| Eficiencia máxima | | | | | >98% | |
| Consumo en stand-by | | | | | <2W | |
| CARACTERIST. FÍSICAS | | | | | En pared | |
| Instalación | | | | | 620*385*215mm | |
| Tamaño | | | | | 670*410*215mm | |
| Peso neto (Regulador solar) kg | 36 | 41 | 44 | 69+2.5 | 75.75+2.5 | 75.75+2.5 |
| Tamaño caja (W*H*D) | | | 755*515*455mm | | 884*618*443mm | |
| Peso caja (Regulador solar) kg | 56 | 61 | 64 | 89+2.5 | 95.5+2.5 | 95.5+2.5 |
| OTROS | | | | | | |
| Rango temperatura de trabajo | | | | | 0°C to 40°C | |
| Temperatura almacenamiento | | | | | -15°C to 60°C | |
| Nivel sonoro | | | | | 60dB MAX | |
| Pantalla | | | | | LED+LCD | |
| Unidades contenedor(20GP/40GP/40HQ) | | | | | 140pcs / 280pcs / 320pcs | |

Conexiones



ANEXO N°08. FICHA TÉCNICA DE CABLES NYY

NYY DUPLEX / TRIPLE

Usos

Aplicación general como cable de energía. En redes de distribución en baja tensión, instalaciones industriales, en edificios y estaciones de maniobra. En instalaciones fijas, en ambientes interiores (en bandejas, canaletas, etc.), directamente enterrado en lugares secos y húmedos.

Descripción

Conductores de cobre electrolítico recocido, sólido o cableado (comprimido, compactado), aislamiento y cubierta individual de PVC. En la conformación duplex los dos conductores son trenzados entre si. En la conformación triple, los tres conductores son ensamblados en forma paralela mediante una cinta de sujeción.

Características

Buenas propiedades eléctricas y mecánicas. La cubierta exterior de PVC le otorga una adecuada resistencia a los ácidos, grasas, aceites y a la abrasión. Facilita empalmes, derivaciones y terminaciones.

Menor peso que los cables NYY convencionales y mejor disipación de calor permitiendo obtener una mayor intensidad de corriente admisible. Retardante a la llama.

Marcación

INDECO S.A. NYY(80°) 0.6/1 kV 3-1x<Sección> <Año> <Metrado Secuencial>

Calibre

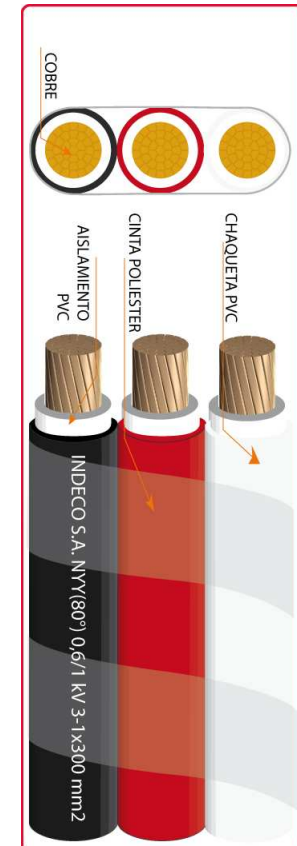
6 mm² – 500 mm²

Embalaje

En carretes de madera, en longitudes requeridas.

Colores

Aislamiento: Blanco
 Cubierta: Duplex : Blanco, negro.
 Triple : Blanco, negro, rojo.



Norma(s) de Fabricación

NTP-IEC 60502-1

Tensión de servicio

0.6/1 kV

Temperatura de operación

80 °C

TABLA DE DATOS TECNICOS NYY DUPLEX

| CALIBRE Nº x mm ² | Nº HILOS | ESPESORES | | DIÁMETRO EXTERIOR mm | PESO (Kg/Km) | CAPACIDAD DE CORRIENTE (*) | | |
|---------------------------------|----------|-------------------|----------------|-------------------------|-----------------|----------------------------|-----------|------------|
| | | AISLAMIENTO mm | CUBIERTA mm | | | ENTERRADO A | AIRE A | DUCTO A |
| | | mm | mm | | | mm | (Kg/Km) | |
| 2x1x6 | 1 | 1 | 1.4 | 15.4 | 218 | 77 | 58 | 62 |
| 2x1x10 | 1 | 1 | 1.4 | 17 | 307 | 105 | 80 | 85 |
| 2x1x16 | 7 | 1 | 1.4 | 19.3 | 454 | 136 | 108 | 112 |
| 2x1x25 | 7 | 1.2 | 1.4 | 22.5 | 672 | 170 | 140 | 140 |
| 2x1x35 | 7 | 1.2 | 1.4 | 24.6 | 880 | 205 | 175 | 170 |

TABLA DE DATOS TECNICOS NYY TRIPLE

| CALIBRE Nº x mm ² | Nº HILOS | ESPESORES | | DIMENSIONES | | PESO (Kg/Km) | CAPACIDAD DE CORRIENTE (*) | | |
|---------------------------------|----------|-------------------|----------------|-------------|-------------|-----------------|----------------------------|-----------|------------|
| | | AISLAMIENTO mm | CUBIERTA mm | ALTO mm | ANCHO mm | | ENTERRADO A | AIRE A | DUCTO A |
| | | mm | mm | mm | mm | | | | |
| 3 - 1 x 6 | 1 | 1 | 1.4 | 7.8 | 23.2 | 324 | 72 | 54 | 58 |
| 3 - 1 x 10 | 1 | 1 | 1.4 | 8.6 | 25.7 | 455 | 95 | 74 | 77 |
| 3 - 1 x 16 | 7 | 1 | 1.4 | 9.8 | 29.1 | 672 | 127 | 100 | 102 |
| 3 - 1 x 25 | 7 | 1.2 | 1.4 | 11.4 | 33.9 | 992 | 163 | 131 | 132 |
| 3 - 1 x 35 | 7 | 1.2 | 1.4 | 12.4 | 37.1 | 1298 | 195 | 161 | 157 |
| 3 - 1 x 50 | 19 | 1.4 | 1.4 | 14.1 | 42 | 1707 | 230 | 196 | 186 |
| 3 - 1 x 70 | 19 | 1.4 | 1.4 | 15.7 | 46.8 | 2339 | 282 | 250 | 222 |
| 3 - 1 x 95 | 19 | 1.6 | 1.5 | 18.2 | 54.3 | 3209 | 336 | 306 | 265 |
| 3 - 1 x 120 | 37 | 1.6 | 1.5 | 19.9 | 59.5 | 3975 | 382 | 356 | 301 |
| 3 - 1 x 150 | 37 | 1.8 | 1.6 | 21.7 | 64.9 | 4836 | 428 | 408 | 338 |
| 3 - 1 x 185 | 37 | 2 | 1.7 | 24.1 | 72 | 6027 | 483 | 470 | 367 |
| 3 - 1 x 240 | 37 | 2.2 | 1.8 | 27 | 80.8 | 7825 | 561 | 562 | 426 |
| 3 - 1 x 300 | 37 | 2.4 | 1.9 | 29.8 | 89.3 | 9736 | 632 | 646 | 480 |
| 3 - 1 x 400 | 61 | 2.6 | 2 | 33.2 | 99.4 | 12336 | 730 | 790 | 555 |
| 3 - 1 x 500 | 61 | 2.8 | 2.1 | 36.9 | 110.4 | 15590 | 823 | 895 | 567 |

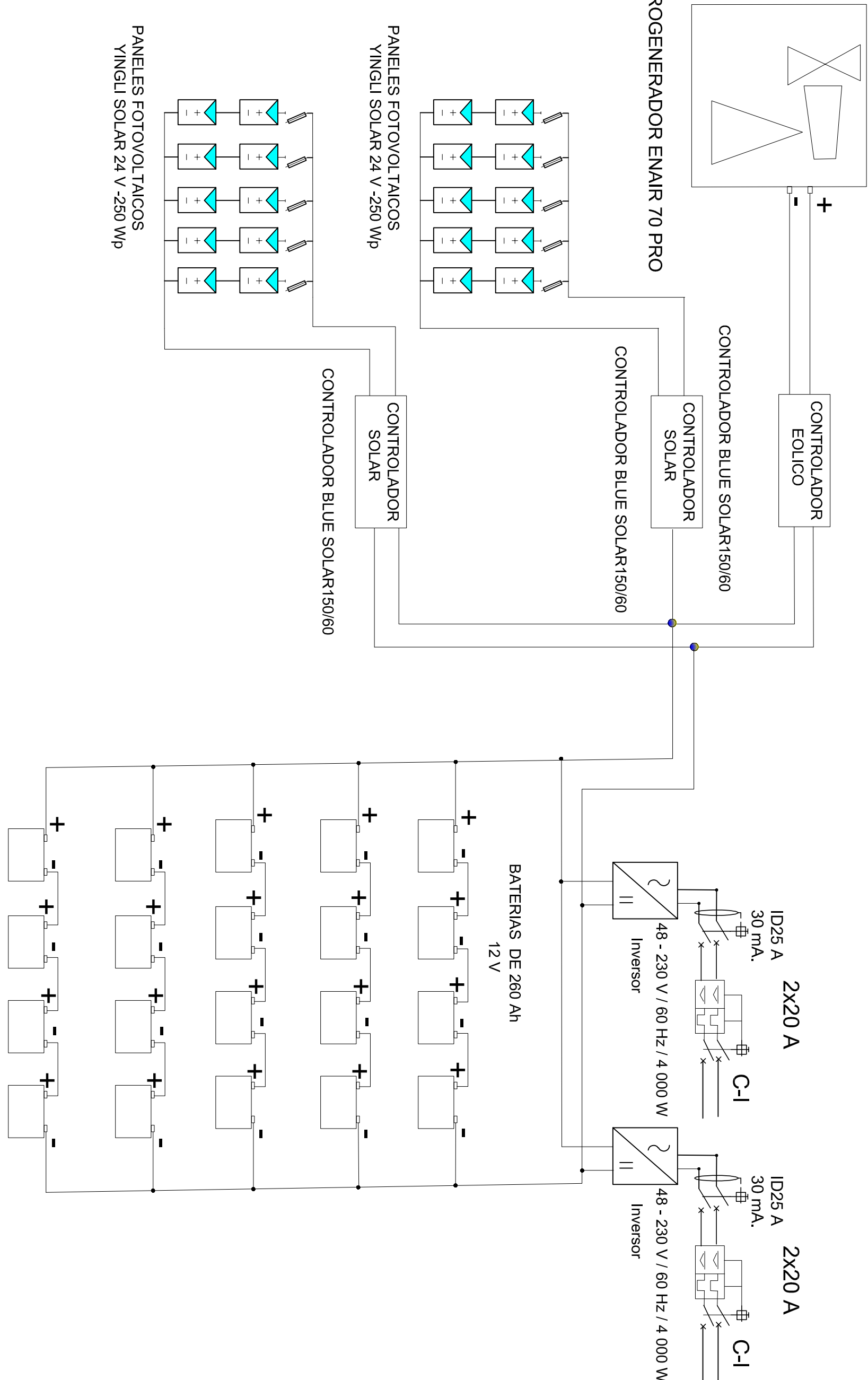
(*) Temperatura del suelo: 20°C

Temperatura ambiente: 30°C

Temperatura en el conductor: 80°C

Resistividad del suelo: 1 k.m/W

ANEXO N° 09. SISTEMA EÓLICO SOLAR



JUAN JACOBO ROVERA PONCE DE LEON

BACH. INGENIERIA MECANICA Y ELECTRICA

UNIVERSIDAD NACIONAL PEDRO RUIZ GALLO-FIME

TESIS:

DISEÑO DE UN SISTEMA HIBRIDO EOLICO-SOLAR PARA LA GENERACION DE ENERGIA ELECTRICA PARA EL CASINO VIRGEN DEL CARMEN JAEN-JAEN-CAJAMARCA

PLANO :

SISTEMA EOLICO - SOLAR

UBICACION :

CASERIO VIRGEN DEL CARMINE
DISTRITO JAEN
PROVINCIA JAEN
DPTO. CAJAMARCA

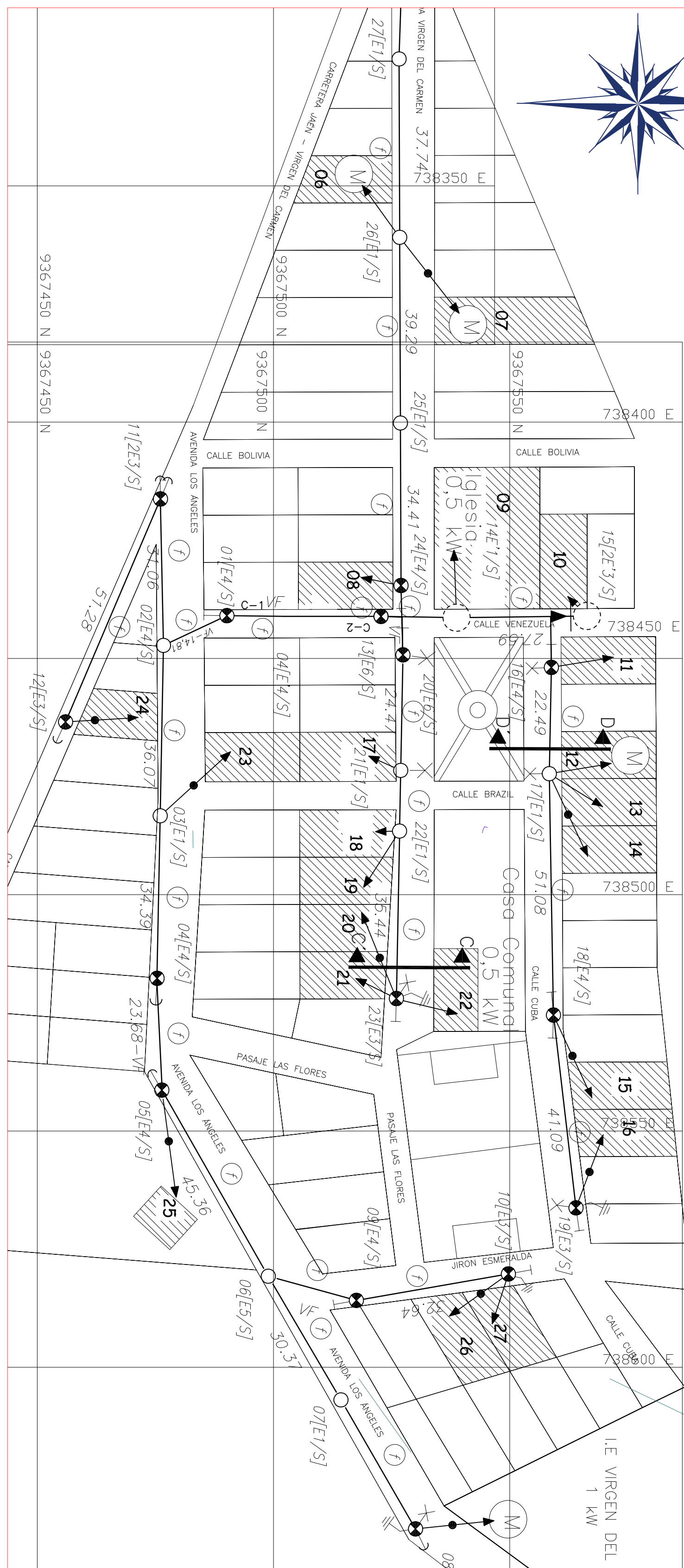
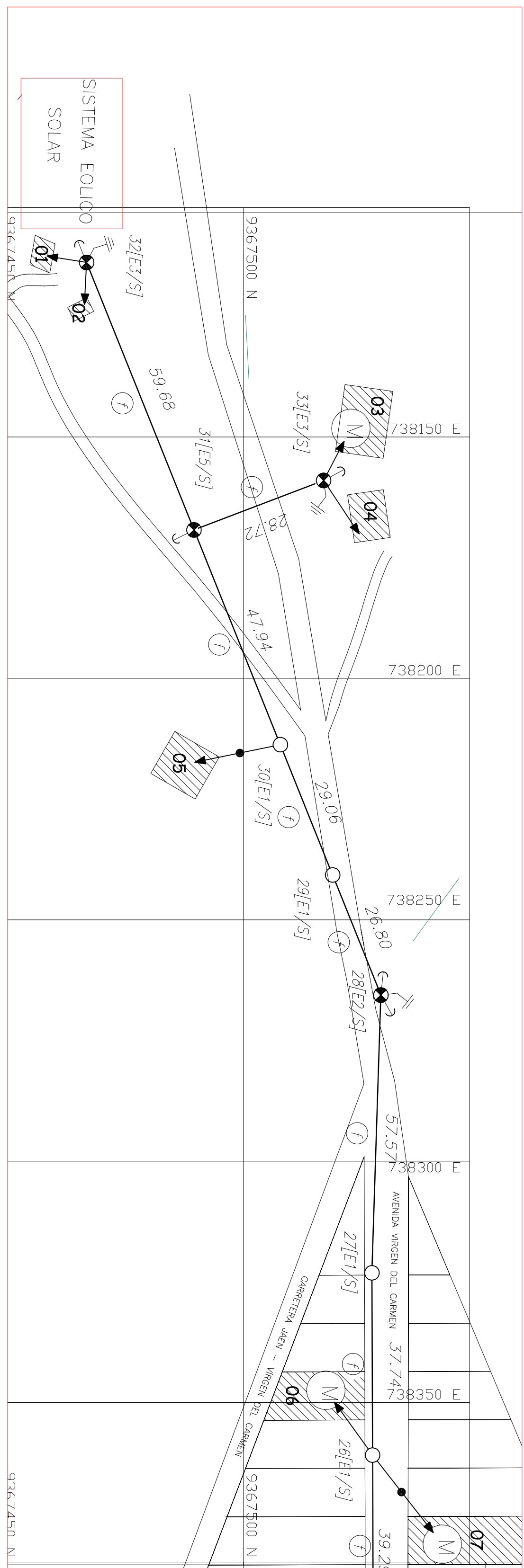
PROYECTISTA : J.R.P.L

FECHA : NOVIEMBRE 2018

CAD: J.R.P.L

Nº DE PLANO : SES-01

ANEXO N° 10. RED DE DISTRIBUCIÓN SECUNDARIA



JUAN JACOBO RIVERA PONCE DE LEÓN

BACH. INGENIERIA MECANICA Y ELECTRICA

AN ACCESSION

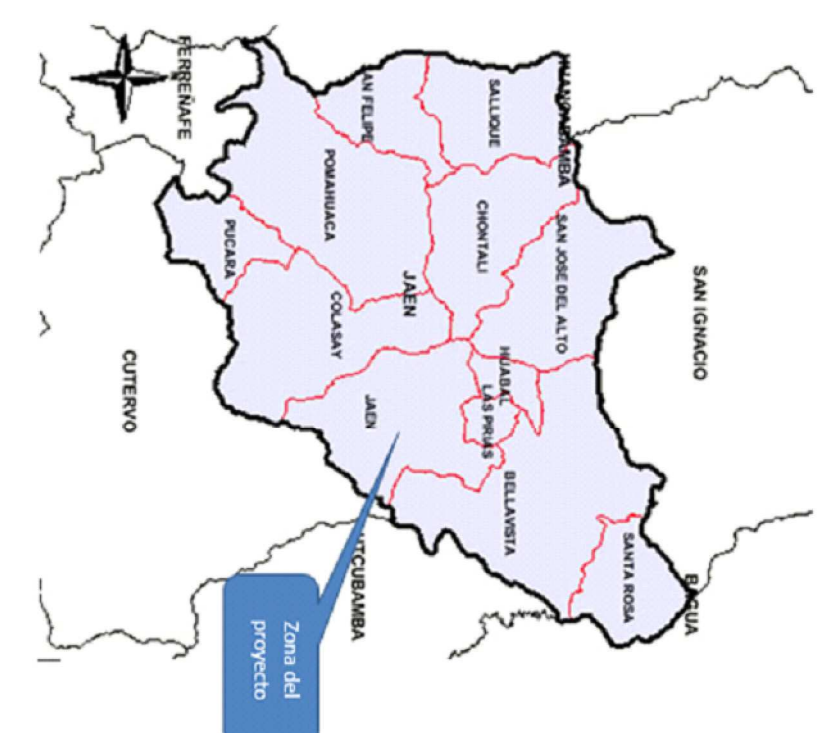
卷之三

BACH. INGENIERIA MECANICA Y ELECTRICA

| CUADRO DE CONDUCTORES | |
|-----------------------|-----------------------------|
| CÓDIGO | SECCIÓN |
| k | 1x16+1x16/25mm ² |
| i | 1x16/25mm ² |

| |
|--|
| Armado de Anclaje y/o Cambio de Dirección |
| Armado de Alineamiento y/o con Derivacion |
| Armado de Anclaje y/o con Derivacion |

| CUADRO DE LOTES | | | | |
|-----------------|-----------------|--------------|----|-------|
| S.H. | LOTES HABITADOS | LOTES VACIOS | CE | TOTAL |
| 00 | 25 | | 3 | 28 |



SISTEMA EOLICO

936745

9367450 N

| | |
|--|--|
| JUAN JACOBO RIVERA PONCE DE LEON | |
| BACH. INGENIERIA MECANICA Y ELECTRICA | |
| UNIVERSIDAD NACIONAL PEDRO RUIZ GALLO-FIME | |
| TESIS : DISEÑO DE UN SISTEMA HIBRIDO EOLICO SOLAR PARA LA GENERACION DE ENERGIA ELECTRICA PARA EL CASERIO VIRGEN DEL CARMEN JAEN -JAEN -CAJAMARCA | |
| PLANO : | UBICACION : CASERIO : VIRGEN DEL CARMEN DISTRITO : JAEN PROVINCIA : JAEN DPTO. : CAJAMARCA |
| RED DE DISTRIBUCION SECUNDARIA | ESCALA : 1/1000 FECHA : NOVIEMBRE 2018 PROYECTISTA : JJRPL CAD : JJRPL |
| | Nº DE PLANO : RDS-02 |

**ANEXO N° 11. CARACTERÍSTICAS DE LOS CABLES
AUTOPORTANTES**

PARAMETROS Y FACTORES DE CAIDA DE TENSION PARA CABLES AUTOORTANTES

| FORMACION | RESISTENCIA DEL CONDUCTOR DE FASE (O/Km) | | RESISTENCIA DEL CONDUCTOR DE ALUMBRADO PUBLICO (O/Km) | | RESISTENCIA DEL CONDUCTOR NEUTRO (O/Km) | | REACTANCIA INDUCTIVA (O/Km) | | FACTOR DE CAIDA DE TENSION | | | CAPACIDAD DE CORRIENTE A 40 °C (A) | |
|------------|--|---------|---|---------|---|---------|-----------------------------|---------|----------------------------|--------------|------------|------------------------------------|------------|
| | A 20 °C | A 40 °C | A 20 °C | A 40 °C | A 20 °C | A 40 °C | XL(30) | XL (10) | K (380-220 V) | K(440-220 V) | K(220 VAP) | Cond. Fase | Cond. A.P. |
| 3x35+16/25 | 0,868 | 0,929 | 1,910 | 2,045 | 1,38 | 1,478 | 0,094 | 0,123 | 1,607 | - | 3,272 | 102 | 64 |
| 3x25+16/25 | 1,200 | 1,285 | 1,910 | 2,045 | 1,38 | 1,478 | 0,100 | 0,116 | 2,223 | - | 3,272 | 83 | 64 |
| 3x16+16/25 | 1,910 | 2,045 | 1,910 | 2,045 | 1,38 | 1,478 | 0,110 | 0,110 | 3,538 | - | 3,272 | 64 | 64 |
| 3x35/25 | 0,868 | 0,929 | - | - | 1,38 | 1,478 | 0,091 | - | 1,607 | - | - | 102 | - |
| 3x25/25 | 1,200 | 1,285 | - | - | 1,38 | 1,478 | 0,095 | - | 2,223 | - | - | 83 | - |
| 3x16/25 | 1,910 | 2,045 | - | - | 1,38 | 1,478 | 0,103 | - | 3,538 | - | - | 64 | - |
| 2x35+16/25 | 0,868 | 0,929 | 1,910 | 2,045 | 1,38 | 1,478 | 0,086 | 0,114 | | 3,780 | 3,272 | 102 | 64 |
| 2x25+16/25 | 1,200 | 1,285 | 1,910 | 2,045 | 1,38 | 1,478 | 0,093 | 0,109 | | 3,776 | 3,272 | 83 | 64 |
| 2x16+16/25 | 1,910 | 2,045 | 1,910 | 2,045 | 1,38 | 1,478 | 0,096 | 0,096 | 3,538 | 3,765 | 3,272 | 64 | 64 |
| 2x16/25 | 1,910 | 2,045 | - | - | 1,38 | 1,478 | - | 0,096 | - | 3,765 | 3,272 | 64 | - |
| 1x16/25 | 1,910 | 2,045 | - | - | 1,38 | 1,478 | - | 0,094 | - | | 3,272 | 64 | - |